Földtani Közlöny

154/2

A Magyarhoni Földtani Társulat folyóirata
Bulletin of the Hungarian Geological Society

Budapest, 2024

Felelős kiadó
M. Tóth Tivadar, az MFT elnöke
Főszerkesztő
Sztanó Orsolya
Műszaki szerkesztők
Babinszki Edit
Kovács Zoltán
Bartha István Róbert
Nyelvi lektor
Lukoczki Georgina
Szerkesztőbizottság
Fodor László, Főzy István, Lukács Réka, Pósfai Mihály, Szanyi János, Török Ákos

Támogatók
Magyar Tudományos Akadémia, ANZO Perlit Kft., Biocentrum Kft., Colas Északkő Kft., Geo-Log Kft., Geoproduct Kft., Geoteam Kft., Mecsekérc Zrt., Mineralholding Kft., OMYA Hungária Kft., O&G Development Kft., Perlit-92 Kft., Terrapeuta Kft.

A kéziratokat az alábbi felületen kérjük benyújtani
www.foldtanikozlony.hu

* * *

Responsible publisher
Tivadar M. Tóth,
President of the Hungarian Geological Society
Editor-in-chief
Orsolya Sztanó
Technical editors
Edit Babinszki
Zoltán Kovács
István Róbert Bartha
Language editor
Georgina Lukoczki
Editorial board
László Fodor, István Főzy, Réka Lukács, Mihály Pósfai, János Szanyi, Ákos Török
Sponsors
Hungarian Academy of Sciences, ANZO Perlit Kft., Biocentrum Kft., Colas Északkő Kft., Geo-Log Kft., Geoproduct Kft., Geoteam Kft., Mecsekérc Zrt., Mineralholding Kft., OMYA Hungária Kft., O&G Development Kft., Perlit-92 Kft., Terrapeuta Kft.

Submission of manuscripts through
www.foldtanikozlony.hu

Földtani Közlöny is abstracted and indexed in
Crossref.org
Scopus
GeoRef (Washington),
Pascal Folio (Orleans),
Zentralblatt für Paläontologie (Stuttgart),
Referativny Zhurnal (Moscow) and
EPA, MTA REAL (Budapest)

Tartalom — Contents

Mindszenty Andrea: Rendhagyó köszöntő Galácz András és Vörös Attila barátaim 80. születésnapjára. 113

Budai, Tamás, Haas, János, Karádi, Viktor, Vadler, Emma, Tóth, Emőke: Reconstruction of Middle Triassic platform drowning and basin evolution of the Balaton Highland: new micropaleontological constraints. – *A Balaton-felvidéki középső triász platformok megfulladásának és medencefejlődésének rekonstrukciója új mikropaleontológiai adatok alapján.* 115

García Joral, Fernando, Baeza-Carratalá, José Francisco, Comas-Rengifo, María José, Goy, Antonio: Disparity, diversity and body size changes of the Toarcian Spiriferinides (Brachiopoda, Lower Jurassic) in the westernmost Tethys. – *Diszparitás, diverzitás és méretváltozás a toarci Spiriferidáknál (alsó jura, Brachiopoda) a Tethys legnyugatabbi területein.* 133

Müller, Tamás, Pálfy, József: The Toarcian (Early Jurassic) Jenkyns Event in Hungary: stratigraphic, geochemical, and fossil records and their global implications. – *A toarci (kora jura) Jenkyns esemény magyarországi rétegtani, geokémiai és őslénytani kutatása és globális vonatkozásai.* 149

Cresta, Stefano, Agostinelli, Giorgio: Early Jurassic Thecideids (Thecideidae, Brachiopoda) and associated fossils from Tivoli near Rome, Italy. – *Kora jura Thecideida brachiopodák és velük együtt előforduló egyéb ősmaradványok a Róma (Olaszország) melletti Tivoliból.* 169

Chandler, Robert: Bajocian stephanoceratid ammonites and their stratigraphy from Dorset, UK with reference to the work of András Galácz. – *Bajoci stephanoceratid ammoniteszek és rétegtanuk Dorsetből (Egyesült Királyság) hivatkozással Galácz András munkásságára.* 177

Szente, István: Two bivalve species, hitherto unrecorded, from the Upper Jurassic of the Transdanubian Range (Hungary). – *Két, a Dunántúli-középhegység felső jurájából eddig nem dokumentált kagylófaj.* 195

Gőgös, Gergő, Szives, Ottilia: Barremian Leptoceratoididae (Ammonoidea) from the Transdanubian Range (Hungary): taxonomic interpretation and new insights to their paleoecology. – *Barrémi korú Leptoceratoididae ammoniteszek a Dunántúli-középhegységből: taxonómiai revízió és új paleoökológiai felvetések.* 199

Héja Gábor, Budai Tamás, Csicsek Ádám: Triász medencegeometria és fáciesváltozások hatása a Balaton-felvidék és a Veszprémifennsík eoalpi szerkezetalakulására. – *The effect of Triassic basin geometry and lateral facies changes on the Eoalpine deformation of the Balaton Highland and the Veszprém Plateau (Transdanubian Range, Hungary).* 239

Kovács Zoltán: Galácz andrás és Vörös Attila tisztelete a rendszertanban. – *Tribute to András Galácz and Attila Vörös in taxonomy.* 257

Hírek, ismertetések (összeállította: Piros Olga) 261

Első borító: Stephanoceras (Skirroceras) *aff.* englandi *Chandler – stephanoceratid ammonitesz a dorseti (Anglia) középső jurából (the ammonite was prepared by Peter Langham)*
Hátsó borító: Securithyris adnethensis *(Suess) – a bakonyi alsó jura legnagyobb méretű pörgekarúja, eredeti méretben (Főzy István felvétele)*

Budapest, 2024 ISSN 0015-542X

Rövidített útmutató a Földtani Közlöny szerzői számára

Kérjük olvassa el részletes útmutatónkat a www.foldtanikozlony.hu weboldalon.

A Földtani Közlönybe a földtudományok széles köréből várunk a Kárpát–Pannon térség földtani felépítésével foglalkozó magyar vagy angol nyelvű kéziratokat. Magyar nyelvű cikkek esetében annak címét, kulcsszavait, összefoglalóját, az ábrák és táblázatok címét, feliratait angol nyelven is meg kell adni, angol nyelvű cikkek esetén fordítva. Az angol nyelvű szövegek elkészítése a szerző feladata.

A kéziratot bírálatra pdf formátumban, egyetlen fájlként kell benyújtani, a szöveg mögé sorrendben elhelyezett számozott ábraanyaggal. A fájl neve a szerző nevéből és a cikk témáját lefedő néhány szóból álljon (pl. szujo_etal_villanyi kavicsok). Kéziratok a fenti honlapon keresztül küldhetők be. Bármilyen technikai probléma esetén forduljon a technikai szerkesztőhöz (piros.olga@mbfsz.gov.hu) vagy a főszerkesztőhöz (sztano.orsolya@gmail.com).

Az **értekezések** eddig publikálatlan adatokat, új eredményeket következtetéseket közölnek, széles tudományterületi képbe helyezve. A rövid közlemények célja az adatközlés, adatmentés, vagy az új eredmény gyors közzététele. A szemle széleskörű, szakmailag közérthető áttekintést nyújt egy tudományterület új eredményeiről, vagy kevéssé ismert, új módszereiről, annak alkalmazásáról. Vitairat a vitatott cikk megjelenésétől számított hat hónapon belül küldhető be. A vitatott cikk szerzője lehetőséget kap arra, hogy válasza a vitázó cikkel együtt jelenjen meg. A gyakorlati rovatba a földtani kutatással – bányászattal kapcsolatos kéziratok kerülnek, melyek eredménye nem elsősorban tudományos értékű, hanem a szakközösség tájékoztatását, szolgálja. **A tömör fogalmazás, az állításokat alátámasztó adatszolgáltatás, a szabatos szaknyelv használata és a nem specialista olvasók érdekében a közérthetőség mindegyik műfajban alapkövetelmény.**

A KÉZIRAT TAGOLÁSA ÉS AZ EGYES FEJEZETEK JELLEMZŐI (kötelező, javasolt)

a) Cím (magyarul, angolul) Rövid, informatív és tárgyra törő, utal a fő mondandóra.

b) Szerző(k), munkahelye, postacímmel (e-mail cím)

c) Összefoglalás (magyarul, angolul) Kizárólag a tanulmány célját, az alkalmazott módszereket, az elért legfontosabb új eredményeket és következtetéseket tartalmazza, így önállóan is megállja a helyét. Hossza legfeljebb 300 szó. Az angol nyelvű összefoglaló lehet bővebb a magyarnál (max. 1000 szó).

d) Tárgyszavak (magyarul, angolul) Legfeljebb 8 szó / egyszerű kifejezés e) Bevezetés A munkához kapcsolódó legfontosabb korábbi szakirodalmi eredmények összefoglalása, és ebből következően a tanulmány egyértel- műen megfogalmazott célja.

f) *Anyag és módszerek* A vizsgált anyag, esetleg korábbról származó adatok, a mérési, kiértékelési eszközök és módszerek ismertetése. Standard eljárások esetén csak a hivatkozott módszertől való eltérést kell megfogalmazni.

g) Eredmények Az új adatok és kutatási eredmények ismertetése, dokumentációja ábrákkal és táblázatokkal.

h) Diszkusszió A kapott eredményeknek a saját korábbi eredményekkel és a szakirodalmi ismeretekkel való összevetése, beágyazása a tágabb tudományos környezetbe.

i) Következtetések Az új következtetések tézisszerű, rövid ismertetése az eredmények és a diszkusszió ismétlése nélkül.

j) Köszönetnyilvánítás

k) Hivatkozott irodalom Csak a szövegközi, az ábrákhoz és táblázatokhoz kapcsolódóan megjelenő hivatkozásokat foglalja magába (se többet, se kevesebbet).

l) *Ábrák, táblázatok és fényképtáblák (magyar és angol felirattal)* A szemléltetni kívánt jelenség, vagy összefüggés megértéséhez szükséges mennyiségű.

m) Ábra-, táblázat- és fényképmagyarázatok (magyarul és angolul) Az illusztrációk rövid, összefogott, tartalmában érdemi magyarázata.

FORMAI KÖVETELMÉNYEK

Értekezés, szemle maximális összesített **terjedelme** 20 nyomdai oldal (szöveg, ábra, táblázat, fénykép, tábla együttesen). Ezt meghaladó tanulmány csak abban az esetben közölhető, ha a szerző a többletoldal költségének térítésére kötelezettséget vállal. A rövid közlemények összesített terjedelme maximálisan 4 nyomdai oldal.

A **szöveg** doc, docx vagy rtf formátumban készüljön. Az alcímeknél ne alkalmazzanak automatikus számozást vagy ábécés jelölést, csak a tipográfiával jelezzék a címrendet. A hivatkozásokban, irodalomjegyzékben a SZERZŐK nevét kis kapitálissal, ősmaradványok faj- és nemzetségneveit dőlt betűvel, fajok leíróit szintén kis kapitálissal kell írni. A kézirat szövegében az ábrákra és a táblázatokra számozásuk növekvő sorrendjében a megfelelő helyen hivatkozni kell.

A szövegközi **hivatkozások** formája RADÓCZ 1974, vagy GALÁCZ & VÖRÖS 1972, míg három vagy több szerző esetén KUBOVICS et al. 1987. Több hivatkozás felsorolásakor ezek időrendben kövessék egymást. Az irodalomjegyzék tételei az alábbi minta szerint készüljenek, szoros ábécében, ezen belül időrendben álljanak. Kérjük a folyóiratok teljes nevének dőlt betűvel történő kiírását. Ezen kívül, ha a hivatkozott műnek van DOI száma, azt meg kell adni teljes URL formátumban. Hivatkozott egyedi kiadványok esetén a mű címét kérjük dőlt betűvel szedni. Magyar szerzők idegen nyelvű publi- kációi esetén a vezetéknév után vesszőt kell tenni.

CSONTOS, L., NAGYMAROSY, A., HORVÁTH, F. & KOVÁC, M. 1992: Tertiary evolution of the intra-Carpathian area: A model. — *Tectonophysics* **208,** 221–241. http://dx.doi.org/10.1016/0040-1951(92)90346-8

JÁMBOR Á. 1998: A Tiszai nagyszerkezeti egység karbon üledékes képződményei rétegtanának ismertetése. — In: BÉRCZI I. & JÁMBOR Á. (szerk.): *Magyarország geológiai képződményeinek rétegtana.* MOL Rt. — MÁFI kiadvány, Budapest, 173–185.

VARGA A. 2009: A dél-dunántúli paleozoos–alsó-triász sziliciklasztos kőzetek kőzettani és geokémiai vizsgálatának eredményei. — PhD értekezés, ELTE Kőzettan–Geokémiai Tanszék, Budapest, 150 p.

WEAVER, C. E. 1989: *Clays, Muds, and Shales.* — Developments in Sedimentology 44, Elsevier, Amsterdam, 819 p. http://dx.doi.org/10.1016/s0070-4571(08)×7036-0

Az **ábrákat** a szerzőknek kell elkészíteni, nyomdakész állapotban és minőségben a tükörméretbe (170×240 mm) álló, vagy fekvő helyzetben beilleszthetően. A fotótábla maximális magassága 230 mm lehet. Az ábrákon a vonalvastagság 0,3 pontnál, a betűméret 6 pontnál ne legyen kisebb. Az illusztrációkat X4-nél nem frissebb CorelDraw ábraként, az Excel táblázatokat és diagramokat word vagy cdr formátumban tudjuk elfogadni. Egyéb esetben a fekete és színes vonalas ábrákat 1200 dpi felbontással, tif kiterjesztéssel, a szürkeárnyalatos fényképeket 600, a színes fényképeket 300 dpi felbontással, tif vagy jpg kiterjesztéssel kérjük beküldeni. A színes illusztrációkat a megfelelő nyomdai minőség érdekében CMYK színprofillal kérjük előállítani, ezért az online megjelenő pdf esetében előfordulhat némi színváltozás. A színes ábrák, fotótáblák nyomtatási költségeit a szerzőknek kell fedezniük. Ha a költséget a szerzők nem tudják vállalni, már benyújtáskor szürkeárnyalatos illusztrációkat használjanak.

A cikk benyújtásakor, kérjük a szerzőket, hogy **nevezzenek meg legalább négy olyan szakértőt**, akik annak tartalmáról érdemi véleményt adhatnak, és adják meg e-mail címüket. A bírálatot követően a szerzőtől egy vagy két hónapon belül várjuk vissza a javított változatot, ekkor **még mindig egyetlen összesített pdf-ben** (eredeti fájl név_átdolgozott megjelöléssel). E mellé kérünk csatolni egy **tételes jegyzéket,** melyben bemutatják, hogy lektoraik megjegyzéseit, tanácsait hogyan vették figyelembe, valamint esetleges egyet nem értésüknek milyen szakmailag alátámasztható indokai vannak.

A közlésre elfogadott kéziratok szövegét, ábráit, táblázatait egyesével kérjük a szerkesztőségi felület megfelelő menüpontját használva feltölteni. Tördelést követően a szerzők feladata a korrektúrázás. Különlenyomatokat még külön költségért sem tudunk biztosítani.

Magyarhoni Földtani Társulat
Földtani Közlöny
Hungarian Geological Society
154/2, 113–114., Budapest, 2024

Rendhagyó köszöntő Galácz András és Vörös Attila barátaim 80. születésnapjára

Olyan volt, mintha évfolyamtársak lettünk volna. Ök ugyan egy évvel fölöttem jártak, de mivel akkor az évfolyamlétszámok kicsik voltak (max. 15–20 fő), s az egyetemi busz (mert akkor még ilyen is létezett!) kihasználtsága akkor teljesült, ha benne minden ülés foglalt volt; az évközi tanulmányi kirándulásokra (mert akkor még ez is szerves része volt a képzésnek) többnyire együtt ment a két évfolyam. De előfordult, hogy kötelező tantermi foglalkozásokban is közösen részesültünk, így pl. a *Műszaki földtan* előadásokat közösen hallgattuk. Mindemellett volt a geológus hallgatóknak egy kedvenc helye: az *Optikai gyakorló terem*, ahol a kőzetmikroszkópia, az ércmikroszkópia és esetenként az ásványhatározás gyakorlatok is zajlottak, s ahol szabad délutánjainkon (ha a terem nem volt épp foglalt) megengedett volt a gyakorlati feladatok megoldására való felkészülés, a mikroszkópi vizsgálatok önkéntes gyakorlása. A gyakorló „előszobájából" nyílt az Ásványtani és Kőzettani gyűjtemény amely ugyancsak találkozóhelye/tanulószobája volt a mindenkori geológus hallgatóknak I.-től akár V. évesig. Ez a közeg eredményezte azt, hogy a geológushallgatók, kicsik/nagyok vegyesen olyasféle közösséget képeztek a TTK-n belül, mint valami nagy család. Ismertük egymás érdeklődési körét; ha az órákon elhangzottakkal kapcsolatban kérdések merültek fel, a *kicsik* segítséget kérhettek és kaptak a *nagyoktól* (ezt ma „mentorálásnak" hívják – lám-lám, nincs új a nap alatt). Életünk e nagy közösségben zajlott: lubickoltunk a szakmában, vártuk a jövőt, amikor majd diplomával a kézben valódi geológusként kezdhetünk dolgozni.

András és Attila már akkor jóbarátok voltak. Mint afféle a paleontológia iránt érdeklődő „fosszília-vadászok", ők többnyire az Őslénytani Tanszék környékén voltak fellelhetők, s már hallgatóként bekapcsolódtak a tanszéken folyó tudományos kutatásokba. Mindkettőjük mestere GÉCZY Barnabás volt, következésképp mindketten az ő kedvenc témájában, a juraidőszak ősmaradványainak körében kezdtek kutakodni: András az ammoniteszek, Attila a brachiopodák iránt mutatott különös érdeklődést. Fő vadászterületük a Bakony hegység volt. Én – a „kicsi" – mindvégig áhítattal szemléltem munkálkodásukat, hiszen ők már „nagyok" voltak. Igyekeztem a példát követni – mint ők, így én is – irányt vettem a Tudományos Diákkör felé (érdeklődési területemnek megfelelően az Ásványtan-Ércteleptan területén). Azt akkor még nem sejtettem, hogy „felnőtt geológus"-ként tudományos érdeklődésünk egyszercsak konvergálni kezd majd. Az ő alapvetően mezozoos sztratigráfiai/szedimentológiai irányultságú kutatásaik meg az én, ugyancsak mezozoos, de inkább ásványtani/geokémiai/szedimentológiai munkásságom össze fog érni, s barátságunk, közös gondolkodásunk a tethysi régió legszebb, legizgalmasabb színterén, Dél-Itáliában fog „szárba szökkenni" (közös publikációt eredményezni).

Végzés után a sors egy időre szanaszét szórt bennünket: András és Attila az Őslénytani Tanszék, ill. a Természettudományi Múzeum kötelékében folytatták klasszikus alapkutatásnak minősülő tevékenységüket, engem azonban egy kis Ásványtani tanszéki kitérőt követően a gyakorlati „alkalmazott" kutatás vont bűvkörébe: csaknem tíz hosszú évre „beszippantott" az alumíniumipar s ezen belül a bauxitkutatás. A szakmai/baráti kapcsolat azonban ezalatt sem szakadt meg, s mikor a '80-as évek elején visszakerültem Budapestre az egyetemre, könnyű volt visszailleszkedni a tudományos szférába.

Ott akkor pezsgő élet folyt. Megindult az addigra már általánosan elfogadott *lemeztektonikai elmélet* globális kereteibe illeszthető regionális, sőt lokális ősföldrajzi rekonstrukciók kidolgozása. Ebben úttörő szerepe volt András és Attila mesterének, GÉCZY Barnabásnak aki paleobiogeográfiai megfontolások alapján jutott arra a következtetésre, hogy a Dunántúli-középhegységi és a Mecsek-Villányi szerkezeti zónák a jura időszakban a Tethys ellentétes oldalain kellett legyenek, s jelenlegi helyzetük nagyarányú lemeztektonikai mozgásokat igazol (GÉCZY B. 1973, *Acta Geol. Hung.* **17/4**, 421–428). Ez az akkor merésznek mondható feltételezés nemzetközi (főként olasz–magyar, de részben egyéb, a környező országok, így pl. Ausztria, Csehország részvételével folyó) összefogást eredményező kutatássorozatot indított el. E sorozat célja a mai Pannon-medencét alkotó terrénumok mezozoikumtól máig tartó történetének az új globális tektonika alapján való értelmezése volt. A munka vezéregyéniségei akkor magyar részről STEGENA Lajos professzor úr és a geofizikus HORVÁTH Ferenc voltak s ebbe tudtunk bekapcsolódni – mi is – ki-ki a maga témájával. Attila volt az első, aki hosszabb időt eltöltvén Szicíliában, voltaképp megalapozta azt a máig tartó eleven szakmai kapcsolatot, amelynek részeként évekig, minden nyáron lehetőségünk nyílt megismerkedni a Középső- és Déli-Appenninek mezozoos rétegsoraival (ami engem illet: a rétegsorokat megszakító unkonformitásokkal). És persze ezek az utak azért is nagyszerűek voltak, mert mindeközben a geológiai látni- és megtapasztalnivalók *(„divertimenti geologici")* környezetében fellelhető történelmi és művészettörténeti hagyományokat is megcsodálhattuk (ez utóbbiak tekintetében szakavatott „idegenvezetőnk"mindig András volt).

A financiális hátteret itáliai geológiai kalandozásainkhoz az Magyar–Olasz TÉT (kormányközi tudományos és technológiai együttműködési megállapodás), továbbá egyes tudományos intézetek (így pl. MTA–CNR) közötti, ill. egyetemközi együttműködési programok biztosították. Olasz részről a program vezetője B. D'ARGENIO (a Nápolyi Egyetem professzora) és R.CATALANO (a Palermói Egyetem professzora) volt, akiket – mindkét egyetemen – kiváló, fiatalabb kollégákból álló csapat vett körül. A velük való együttműködés, a szebbnél-szebb itáliai feltárások meglátogatása, az értékes szakmai diskurzusok és az egészhez háttérként a hamisítatlan mediterrán környezet mindhármunk számára egészen különleges inspirációt jelentett. Nagyszerű volt megtapasztalni, hogy a paleontológia, paleoökológia, biosztratgráfia mellett a szedimentológia és az unkonformitásokhoz kapcsolódó ásványtani/geokémiai jelenségek (tenger alatt a keményfelszínek; szárazföldi környezetben a paleokarsztosodás, bauxitos és nem bauxitos paleotalajok képződése) is érdemben tudnak hozzájárulni az egykori üledékképződési folyamatok rekonstrukciójához, s hogy mindezek végsőfokon visszavezethetők az egykori lemeztektonikai környezetre.

Sorrento, 1988

Legizgalmasabb témáink közé tartozott a szicíliai Monte Kumeta különleges, mangánoxiddal bekérgezett, kora jura szubmarin unkonformitásának és a Középső-Appenninek (Mte Matse, Campo Sauro), valamint Puglia bauxitos paleokarsztjának tanulmányozása. Ezekkel kapcsolatos cikkeink (pl. VÖRÖS, A., GALÁCZ, A., CATALANO, R. 1987, *Rend. Soc. Geol.* **It. 9** (1986), 243–248; DI STEFANO, P. GALÁCZ, A., MALLARINO, G., MINDSZENTY, A., VÖRÖS, A. 2002, *Facies* **46**, 273–298; D'ARGENIO, B. & MINDSZENTY, A. 1995, *Ecl. Geol. Helv.* **88/3**, 453–499; CSOMA, A. E., GOLDSTEIN, R. H., MINDSZENTY, A., SIMONE, L. 2004, *Journ. Sed. Res.* **74/6**, 889–903) máig a kedvenceink közé tartoznak.

Szép lassan ugyan megöregedtünk, de lelkesedésünk, a geológia szépsége iránti fogékonyságunk mitsem változott. Máig jó visszagondolni itáliai kalandozásainkra, az Itáliában látott és Magyarországról ismert Tethys D-i peremi rétegsorok hasonlóságára, arra, hogy sok mindent, amit annak idején az egyetemen tanultunk, igazán mélyen ezeknek a kalandozásoknak az eredményeként érthettünk meg.

Kedves András és Attila! Köszönöm, hogy magatok közé fogadtatok, hogy együtt örülhettünk annak, hogy geológus lett belőlünk! Erre a jeles jubileumra pedig szeretettel kívánom nektek, hogy még sokáig gyönyörködhessetek mindabban, amit a geológia kínál azoknak, akik értő szemekkel tekintenek reájuk.

MINDSZENTY Andrea

Magyarhoni Földtani Társulat
Földtani Közlöny
Hungarian Geological Society

154/2, 115–132., Budapest, 2024

DOI: 10.23928/foldt.kozl.2024.154.2.115

Reconstruction of Middle Triassic platform drowning and basin evolution of the Balaton Highland: new micropaleontological constraints

BUDAI, Tamás[1], HAAS, János[2], KARÁDI, Viktor[3,*], VADLER, Emma[3], TÓTH, Emőke[3]

[1]Department of Geology and Meteorology, Institute of Geography and Earth Sciences, University of Pécs, H-7624 Pécs, Ifjúság útja 6.
[2]Department of Physical and Applied Geology, Institute of Geography and Earth Sciences, Eötvös Loránd University, H-1117 Budapest, Pázmány Péter sétány 1/c
[3]Department of Palaeontology, Institute of Geography and Earth Sciences, Eötvös Loránd University, H-1117 Budapest, Pázmány Péter sétány 1/c
*Corresponding author: karadi.viktor@ttk.elte.hu; kavik.geo@gmail.com

A Balaton-felvidéki középső triász platformok megfulladásának és medencefejlődésének rekonstrukciója új mikropaleontológiai adatok alapján

Összefoglalás

A Balaton-felvidék és a Veszprémi-fennsík területén az anisusi emelet középső részét egymással heteropikus fáciesű képződmények alkotják (*1.* és *2. ábra*): a sekélytengeri, karbonátplatform-fáciesű Tagyoni Formáció és a hemipelágikus medencefáciesű Felsőörsi Mészkő. A két heteropikus fácies elterjedése alapján három pelsoi szigetplatform rekonstruálható: a Balaton-felvidék középső részén lévő Tagyoni-platform, az attól északra lévő Barnagi-platform és a Veszprémi-fennsíkon lévő Kádártai-platform (*9. ábra, A*). A korábbi részletes ammoniteszvizsgálatok szerint (VÖRÖS 1998, 2018; VÖRÖS & BUDAI 1993a, b; VÖRÖS et al. 1996, 2003a, b) a közöttük lévő medence üledékképződése folyamatos volt, a Felsőörsi Mészkő és Vászolyi Formáció rétegsorában elkülöníthető az összes ammoniteszzóna a középső anisusitól (Balatonicus Z.) a ladin elejéig (Curionii Z.). Ezzel szemben a pelsoi platformok területén üledékhézag és jelentős fáciesváltozás figyelhető meg a Tagyoni Formáció sekélytengeri, ciklusos rétegsora és a fölötte éles határral települő, felső anisusi medencefáciesű karbonátokból és vulkanitból álló Vászolyi F. között (BUDAI & HAAS 1997, VÖRÖS et al. 1997, BUDAI et al. 1999b), ami a platformok megfulladásaként értelmezhető (BUDAI & VÖRÖS 2006).

A platformok megfulladását előidéző folyamatok korának pontosabb meghatározása céljából mikropaleontológiai vizsgálatot végeztünk mindhárom platform egy-egy szelvényében. Az Akol-domb rétegsorában (*4. ábra*) a Tagyoni F.-ra települő Vászolyi F. krinoideás mészkövének conodonta-együttese a Paragondolella bulgarica Zónába tartozik, ami igazolja a Barnagi-platform peremi részének késő pelsoi megfulladását. A fölötte települő ammoniteszes mészkő (VÖRÖS et al. 2022) conodonta-együttese késő illyr korú, az ostracoda-együttes mély neritikus környezetre utal. A szentkirályszabadjai kőfejtőben (*7. ábra*) a Tagyoni F.-t metsző neptuni telér *Paragondolella bulgarica*, *P. bifurcata* és *P. hanbulogi* conodonta-együttese a Balaton-felvidéki kora anisusi karbonátrámpa feldarabolódását eredményező, extenziós tektonikai esemény pelsoi korát igazolja. Itt a Tagyoni Mészkő fölött éles határral települő Vászolyi F. bázisrétegeiből *P. bifurcata*, *P. hanbulogi* és *Ne. cornuta* conodonta-együttes került elő, amely a Kádártai-platform peremi részének kora illyr megfulladását támasztja alá (BUDAI & HAAS 1997, VÖRÖS 1998). A Dörgicse Drt–1 térképező fúrás a Tagyoni-platform rétegsorát reprezentálja (*8. ábra*), amelyben a Tagyoni F.-ra települő krinoideás mészkő conodonta-együttese a platform kora illyr megfulladására utal.

A platformok megfulladásának árnyaltabb értelmezése céljából az új adatokat együtt elemeztük a korábban publikált Balaton-felvidéki és alpi–dinári kutatási eredményekkel. Megállapítottuk, hogy a három Balaton-felvidéki platform – illetve azokon belül egyes részterületek megfulladásának időpontja területenként bizonyos fokú eltérést mutat (*9. ábra, A, B*), és ezt igyekeztünk összefüggésbe hozni a lehetséges kiváltó okokkal. A legkorábbi megfulladási esemény a pelsoi idejére rögzíthető a Barnagi-platform peremén (*10. ábra, A*). Ezzel egy idejű a Kádártai-platform peremi részén feltárt neptuni telér felnyílása, továbbá megegyezik az Aggtelek–Rudabányai-egység (VELLEDITS et al. 2011, PÉRÓ et al. 2015), az Északi-Mészkőalpok (VELLEDITS et al. 2017, GAWLICK et al. 2021), a Dolomitok (FARABEGOLI & GUASTI 1980) és a Dinaridák (SUDAR et al. 2013) legidősebb középső triász telérjeinek korával. Ez az esemény tehát egyértelműen kapcsolatba hozható a Neotethys nyugati selfjének számos részén megfigyelt, extenziós blokktektonikával (*11. ábra*). A Tagyoni-platform mindhárom korábban vizsgált szelvényében (Szentantalfa, Dörgicse, Vászoly) a pelsoi sekélytengeri karbonát fedőjében települő, legidősebb medenceüledék középső illyr korú (Trinodosus kron, Camunum szubkron) az ammoniteszek alapján (VÖRÖS & BUDAI 1993a, b; VÖRÖS 1998). A Dörgicse Drt–1 esetében a conodonta-fauna ennél valamivel idősebb, kora illyr kort jelez. Időpontját és jellegét tekintve ez a megfulladási esemény egyértelmű korrelációt mutat az Agg-

telek–Rudabányai-egység Steinalmi-rámpájának megfulladásával (Szár-hegy; VÖRÖS 2010). A Kádártai-platform DNy-i pereme (Szentkirályszabadja) ugyancsak a Camunum szubkron idején fulladt meg (BUDAI & HAAS 1997), a platform belsőbb részei felé azonban a folyamat kezdete fiatalodást mutat (*9. ábra, A, B; 10. ábra, B*). A kádártai kőfejtő szelvényében a medencefáciesű rétegsor legidősebb conodonta-együttese az illyr végét jelzi (Paragondolella trammeri Z.; KARÁDI et al. 2022). Ez összhangban van a hajmáskér–sólyi területen tapasztaltakkal, ahol a megfulladási felszín fölötti legalsó rétegek ammoniteszfaunája a Reitzi Zóna legfelső, Avisianum szubzónájába tartozik (VÖRÖS 1998, BUDAI et al. 2001). Értelmezésünk szerint a megfulladási esemény időbeli eltolódása elsősorban a Kádártai-platform ÉK felé terjeszkedő tektonikus feldarabolódásával magyarázható, de a megfulladást elősegíthette a tengerszint eusztatikus emelkedése és az egyre intenzívebbé váló vulkanizmus is a késő illyr során (*10. ábra, B*). Az ostracoda-együttesek szerint mély, neritikus, tenger alatti hátsági környezet alakult ki a platformok illyr megfulladását követően. A ladin során az üledékgyűjtő további mélyülését igazolja a batiális (ún. „psychroszferikus") ostracoda-taxonok megjelenése és arányának növekedése az együttesekben.

Ajánlás

Jelen publikációt a szerzők Vörös Attila és Galácz András paleontológusok tiszteletére ajánlják, akik úttörők voltak a szinszediment tektonikai események felismerése és rekonstrukciója terén a Dunántúli-középhegység mezozoos fejlődéstörténetében.

Kulcsszavak: extenziós tektonika, platformmegfulladás, medencefejlődés, conodonta, kagylósrák

Abstract

Three Middle Anisian carbonate platforms (Barnag, Tagyon and Kádárta Platforms) surrounded by the hemipelagic Felsőörs Basin have been reconstructed in the Balaton Highland. The truncated surface of all platforms is covered by basinal carbonates and volcanic rocks of the Vászoly Formation. Based on conodont investigations these platforms were subject to drowning at different times. The earliest drowning was recognized in the late Pelsonian on the southern edge of the Barnag Platform (Paragondolella bulgarica Zone). This date correlates well with the opening of a neptunian dyke encountered near the southwestern margin of the Kádárta Platform and also with the age of the dykes cutting through Pelsonian platforms in the Northern Calcareous Alps, Aggtelek Hills, Dinarides and Dolomites. Drowning of the Tagyon Platform and the marginal area of the Kádárta Platform occurred in the early Illyrian (Paragondolella bifurcata and Neogondolella constricta Zones). However, the Kádárta Platform shows a trend of decreasing age for the timing of the drowning from the edge towards the inner parts of the platform during the late Illyrian. This can be explained by tectonically forced backstepping of the downfaulted marginal blocks and/or by eustatic sea-level rise accompanied by increasing volcanic activity that may have caused the decrease of transparency of the sea-water. Later on, as a result of intensifying sea level rise bathyal environment formed during the Ladinian that can be confirmed by the appearance and increasing dominance of deep-water 'psychrosphaeric' forms in the ostracod assemblage.

Dedication

The authors dedicate the present publication in honor of paleontologists Attila Vörös and András Galácz, who were pioneers in the recognition and reconstruction of synsedimentary tectonic events in the Mesozoic history of the Transdanubian Range.

Keywords: extensional tectonics, platform drowning, basin evolution, conodonts, ostracods

Introduction

During the last geological mapping project of the Balaton Highland several sections were sampled for micropaleontological investigations but only a few of the results on the conodont and ostracod studies were published (KOVÁCS 1993, 1994; KOVÁCS in VÖRÖS 2003b; MONOSTORI 1995; MONOSTORI & TÓTH 2013; TÓTH & MONOSTORI 2015; KARÁDI et al. 2022). In the last years micropaleontological investigations continued to produce important stratigraphic and paleoecologic data. The aim of this paper is to display these results and based on these new inferences to provide a more accurate reconstruction of the evolution of the Middle Triassic carbonate platforms and basins than the previous ones (BUDAI & VÖRÖS 1992, VÖRÖS et al. 1997, BUDAI & VÖRÖS 2006).

Geological setting

The Balaton Highland is located on the southeastern limb of the SW–NE oriented syncline of the Transdanubian Range. It is made up of a very low to low grade metamorphic Paleozoic suite that is unconformably overlain by Permian and Triassic formations. This succession is cut through by the SW–NE oriented Litér thrust; the main structural element of the Balaton Highland. The Middle Anisian formations occur on both the northwestern and southeastern sides of this thrust (*Fig. 1*) showing significant lateral facies change. In a predominant part of the northern thrust-sheet the Middle Anisian is represented by hemipelagic cherty limestones of the Felsőörs Fm. and by the shallow marine platform carbonates of the Tagyon Fm. on the Veszprém Plateau (it was referred to as Szentkirályszabadja Platform

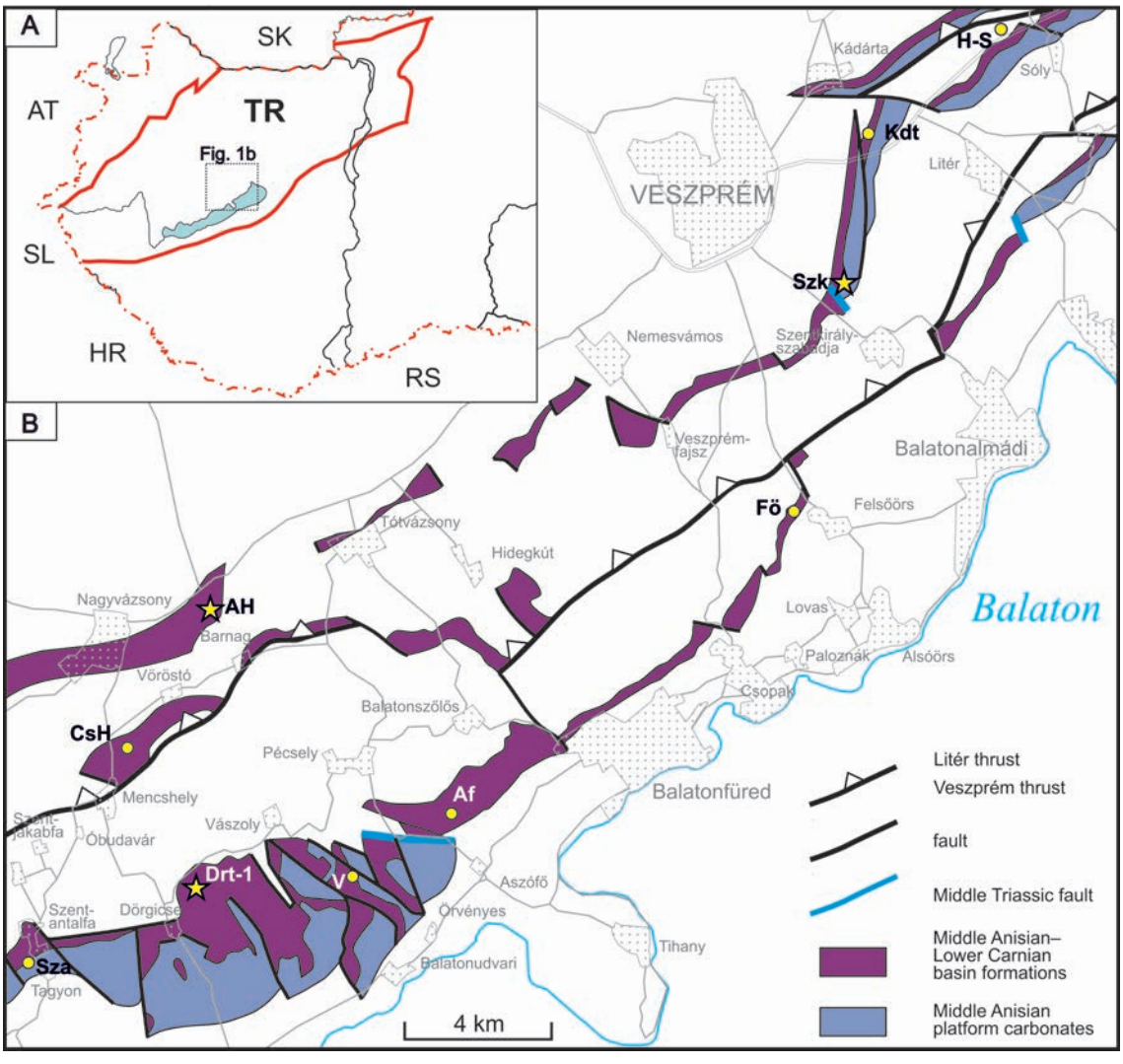

Figure 1. Geographic position of the Transdanubian Range Unit (A) and simplified Pre-Cenozoic geological map of the Balaton Highland (B) showing the areal extension of the Middle Anisian platform carbonates (Tagyon Fm.) and the Middle Anisian–lowermost Carnian basinal formations (Felsőörs, Vászoly, Buchenstein and Füred formations) (after BUDAI et al. 1999a, 2000). Studied localities (yellow asterics): AH: Akol Hill, Barnag; Drt-1: Dörgicse well; Szk: airport quarry, Szentkirályszabadja. Referred localities (yellow dots): Af: Aszófő; CsH: Cser Hill, Mencshely; Fö: Felsőörs, Forrás Hill; Kdt: Kádárta quarry; H-S: Hajmáskér–Sóly; Sza: Szentantalfa; V: Vászoly, Öreg Hill

1. ábra. *A Balaton-felvidék prekainozoos földtani térképének helyzete a Dunántúli-középhegységi-egység (TR) területén (A). A középső anisusi platformkarbonátok (Tagyoni F.) és a középső anisusi - alsó karni medencefáciesű képződmények (Felsőörsi Mészkő, Vászolyi F., Buchensteini F., Füredi Mészkő) elterjedése (B). A vizsgált (sárga csillag) és hivatkozott szelvények (sárga pötty) helyének feltüntetésével (BUDAI et al. 1999a, 2000 nyomán)*

by BUDAI & VÖRÖS 2006, HAAS et al. 2014; and as Kádárta Platform by KARÁDI et al. 2022). A very small part of another platform was also encountered near Barnag (it was referred to as Vöröstó Platform by BUDAI & VÖRÖS 2006; and as Barnag Platform by VÖRÖS et al. 2022). In the area of the southern range the Middle Anisian is represented by platform carbonates in the middle part of the Balaton Highland (Tagyon Platform, BUDAI & VÖRÖS 2006, HAAS et al. 2014), and partly by coeval hemipelagic carbonate deposits (lower part of the Felsőörs Fm). Based on the increasing thickness of the Felsőörs Fm. from the NE to the SW (*Fig. 2*) a tectonically controlled halfgraben basin was reconstructed for the Pelsonian to early Illyrian (BUDAI & VÖRÖS 1993, 2006; BUDAI & HAAS 1997; BUDAI et al. 1999b). The Pelsonian platforms are covered by Middle–Late Illyrian pelagic carbonates and volcanic tuffs of the Vászoly Fm. Deep marine nodular cherty limestones and radiolarite of the Buchenstein Fm. were formed both above the previous platform and basin areas in the Ladinian (BUDAI et al. 1999b, 2017).

Material and methods

For conodont biostratigraphic investigations three samples from the dolomite of the airport quarry at Szentkirályszabadja (Szk in *Figs 1* and *2*) and four samples from the lilac-red carbonate of the Akol Hill section were collected (AH in *Fig. 1*). The samples weighed 3 kg each, and were dissolved in hot acetic acid at 10% dilution in the Department of Palaeontology at the Eötvös Loránd University (Budapest). The washing residue was collected using a 125 μm mesh-size sieve. All seven samples contained conodont ele-

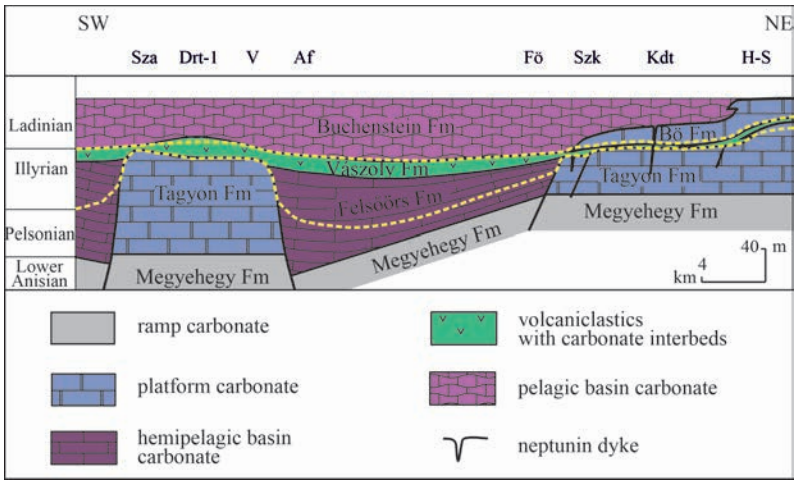

Figure 2. Simplified geological profile from the Veszprém Plateau (NE) to the middle part of the Balaton Highland (SW), showing the lateral and vertical relationship of the Middle Anisian–Ladinian formations (after BUDAI & VÖRÖS 2006, simplified). For abbreviations see Fig. 1. Bö Fm: Budaörs Dolomite Fm

2. ábra. *Vázlatos földtani szelvény a Veszprémi-fennsíktól a Balaton-felvidék középső részéig a középső anisusi - ladin litosztratigráfiai egységek feltüntetésével (BUDAI & VÖRÖS 2006 nyomán, egyszerűsítve). Rövidítéseket lásd az 1. ábrán. Bö Fm: Budaörsi Dolomit Formáció*

ments along with fish remains (teeth and placoid scales). Ostracods were recovered from one conodont sample of Szentkirályszabadja. For additional ostracod studies of Akol Hill, the samples (200–300 g air-dried hard limestones) were treated by acetolysis following a protocol originally developed by LETHIERS & CRASQUIN-SOLEAU (1988) with a slight modification to extract the calcareous microfauna. Only one sample provided suitable ostracod fauna along with few foraminifers, gastropods, bivalves, echinoderm fragments and fish teeth.

Scanning electron micrographs were taken of selected specimens at the Szentágothai Research Centre of the University of Pécs and at the Department of Petrology and Geochemistry of the Eötvös Loránd University. All recovered specimens are stored at the Department of Palaeontology of the Eötvös Loránd University. The microfossils from the Dörgicse Drt–1 core (*Figs 1* and *2*) were studied in the Hungarian Natural History Museum where the material is housed. Conodonts were present in 19 samples and ostracods in 6 samples. Other faunal elements in the samples are represented by foraminifers, holothuroid sclerites, echinoid spines and warts, inarticulated brachiopods, fish teeth and placoid scales. The palaeoecological interpretation of ostracods is based mainly on the qualitative analyses and the semi-quantitative (percentage distribution) analyses of the specimens of the different taxa or groups.

Results

The studied sections yielded abundant and well preserved conodont faunas characterized by a CAI value of 1 that indicates negligible thermal alteration. Biostratigraphic evaluation of the conodonts was based on the studies by KOVÁCS et al. (1980), KOVÁCS (1993, 1994, 2011), KOZUR (2003) and BRACK et al. (2005). Nomenclature of KOZUR (2003) and MUTTONI et al. (2004) is followed here. Conodont zones were correlated with the ammonite zonation (*Fig. 3*) of VÖRÖS (1998, 2018) and VÖRÖS et al. (2003). Conodont zones and correlation is mainly based on KOZUR (2003) with slight modifications. The Paragondolella trammeri praetrammeri and the subsequent Paragondolella trammeri trammeri zones of KOZUR (2003) are merged, because even KOZUR (2003: 61) notes that the differences between the two subspecies are not easy to recognise. Therefore, the suitability of *P. trammeri praetrammeri* as an index fossil is debatable. There is an option for distinguishing a Neogondolella pseudolonga zone with a base correlatable to the Avisianum Subzone of the Reitzi Zone where the nominal taxon first appeares (KOZUR 2003: 61), but *N. pseudolonga* is stated to be a rare species in the conodont assemblages (KOZUR 2003) and thus it is not included in the present zonal scheme. *Neogondolella praehungarica* is often used as marker conodont species for the base of the Ladinian, however, the FAD of this taxon is recorded already in the upper Secedensis Zone (KOZUR 2003: 59; BRACK et al. 2005).

The ostracod specimens are represented by articulated carapaces suggesting 'in situ' preservation according to BOOMER et al. (2003). In hard limestones, the preservation potential of the carapaces strongly depends on the diagenetic processes. The extracted ostracod carapaces from the studied Triassic samples are moderately preserved, recrystallized and sometimes broken.

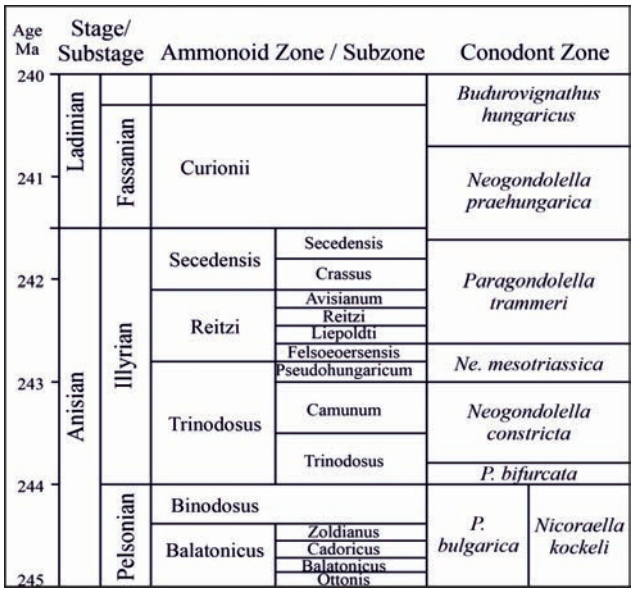

Figure 3. Middle Anisian–Lower Ladinian biostratigraphy of the Balaton Highland after VÖRÖS et al. (2003), VÖRÖS (2018) and KARÁDI et al. (2022)

3. ábra. *A Balaton-felvidéki középső anisusi - alsó ladin biosztratigráfiai tagolása VÖRÖS et al. (2003), VÖRÖS (2018) és KARÁDI et al. (2022) nyomán*

Barnag, Akol Hill

The Akol Hill at Barnag (AH in *Fig. 1*; N46°59.419'; E017°44.180') is located north of the Litér thrust where the Middle Anisian succession is unusually thin (*Fig. 4*). The Lower Anisian bituminous dolomite of the Megyehegy Fm. is overlain by a few-metres-thick shallow marine limestone containing oncoids and dasycladalean algae (*Physoporella pauciforata, Oligoporella* sp.) that can be assigned to the Tagyon Fm. (Vörös et al. 2022). It is overlain by the beds of a purple-grey crinoidal hard limestone with a few brachiopods, forming the basal part of the Vászoly Fm. Above it follows a reddish, slightly clayey limestone that contains ammonoids and nautiloids in a rock-forming quantity. In the Illyrian ammonite assemblage (Camunum and Pseudohungaricum Subzones) some species of the Pelsonian Balatonicus Zone also occur in the lower layers. Detailed description of the succession and the cephalopod fauna, together with some vertebrate remains were recently published by Vörös et al. (2022).

In the Akol Hill section the lowermost samples (Ad–7, Ad–6) from the crinoidal limestone (lower part of the Vászoly Fm.) contained the conodonts *Paragondolella bulgarica*, *P. bifurcata*, *P. hanbulogi*, *Nicoraella germanica* and *Ni. kockeli*. This assemblage (*Fig. 5*) is indicative of the late Pelsonian. The species *Neogondolella cornuta* and *P. excelsa* from sample Ad–3 suggest Illyrian age. The fauna characterized by *Ne. cornuta*, *Ne. pseudolonga*, *Ne. mesotriassica* and *P. liebermani* from sample Ad–4 places this level in the late Illyrian.

The sample Ad–4 yielded benthic ostracod assemblage in low abundance. Four taxa (*Hungarella problematica*, *Bairdia bicostata*, *B. cassiana* and *Bairdiacypris triassica*) were identified (*Fig. 6*). The presence of smooth healdoids such as *Hungarella* in the fauna indicate water depth below 30–50 m (Kozur 1991). The composition of the ostracod assemblage (smooth healdoids and bairdioids), the absence of shallow neritic forms (e.g., ornate bairdiids) and 'paleopsychrosphaeric' ostracods suggest most probably open marine deep neritic depositional environment below the storm wave base (according to Karádi et al. 2022).

Szentkirályszabadja, airport quarry

North of the Litér thrust on the rim of the Veszprém Plateau at Szentkirályszabadja a small abandoned quarry (Szk in *Fig. 1*) exposes the shallow marine cyclic platform carbonate of the Tagyon Fm. (Budai et al. 1993, 1999b, 2001). Subtidal beds, containing dasycladalean algae (*Physoporella* div. sp., *Anisoporella, Pontecella, Teutloporella*), gastropods and oncoids, alternate with peritidal stromatolites and pisoidic intercalations. A lucky find of *Balatonites balatonicus* in a subtidal bed (*Fig. 7, A*) proves early Pelsonian age (Balatonicus Zone) of the formation (Budai & Haas 1997, Vörös et al. 2003).

The Tagyon Fm. is cut by a nearly vertical neptunian dyke (*Fig. 7, a, b*) in the southern yard of the quarry (N 47°04'22.36'', E 17°57'29.22''). It is filled by reddish micritic crinoidal packstone (Vörös et al. 1997).

To determine the age of the opening of the dyke a sample was taken for micropaleontological study from the dolomitized crinoidal limestone of the neptunian dyke (Szk–3 in

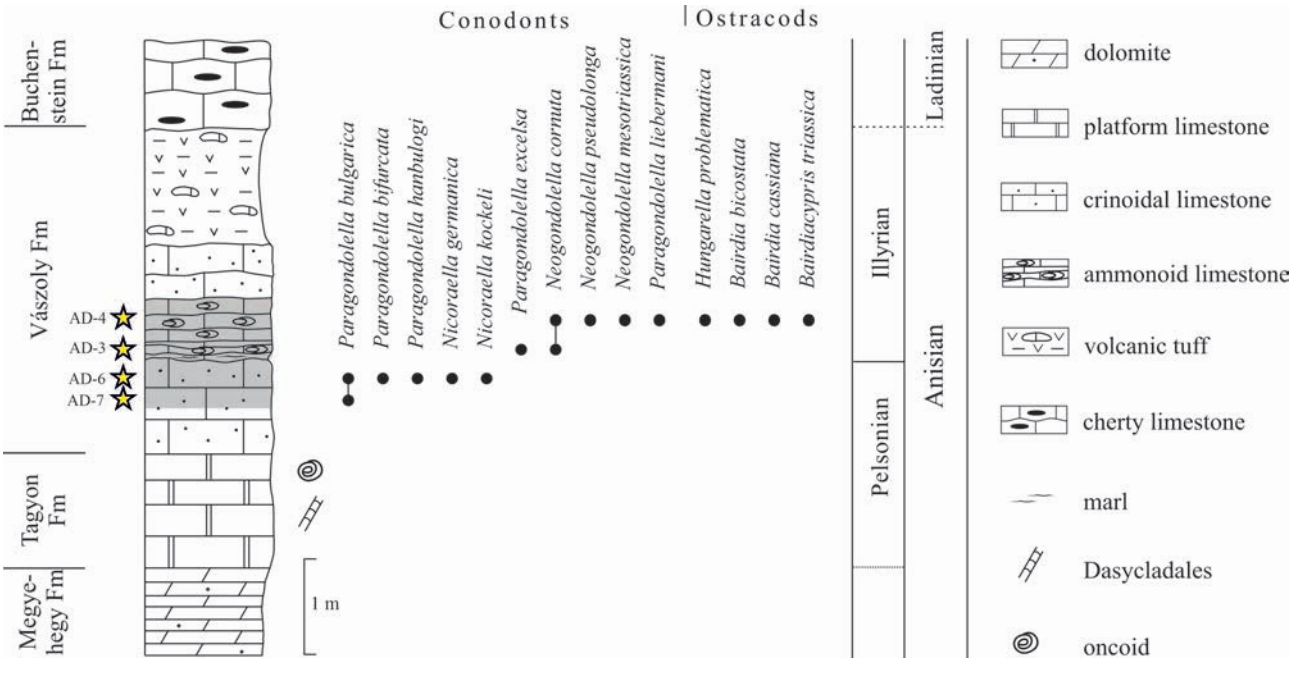

Figure 4. Stratigraphic column of the Akol Hill at Barnag (after Vörös et al. 2022) with the sites of micropaleontological samples (yellow asterisk). Grey shading marks the exposed and studied part of the site

4. ábra. *A barnagi Akol-domb rétegoszlopa (Vörös et al. 2022 nyomán) a mikropaleontológiai minták feltüntetésével (sárga csillagok). A rétegsor feltárt, vizsgált részét a szürke kiemelés mutatja*

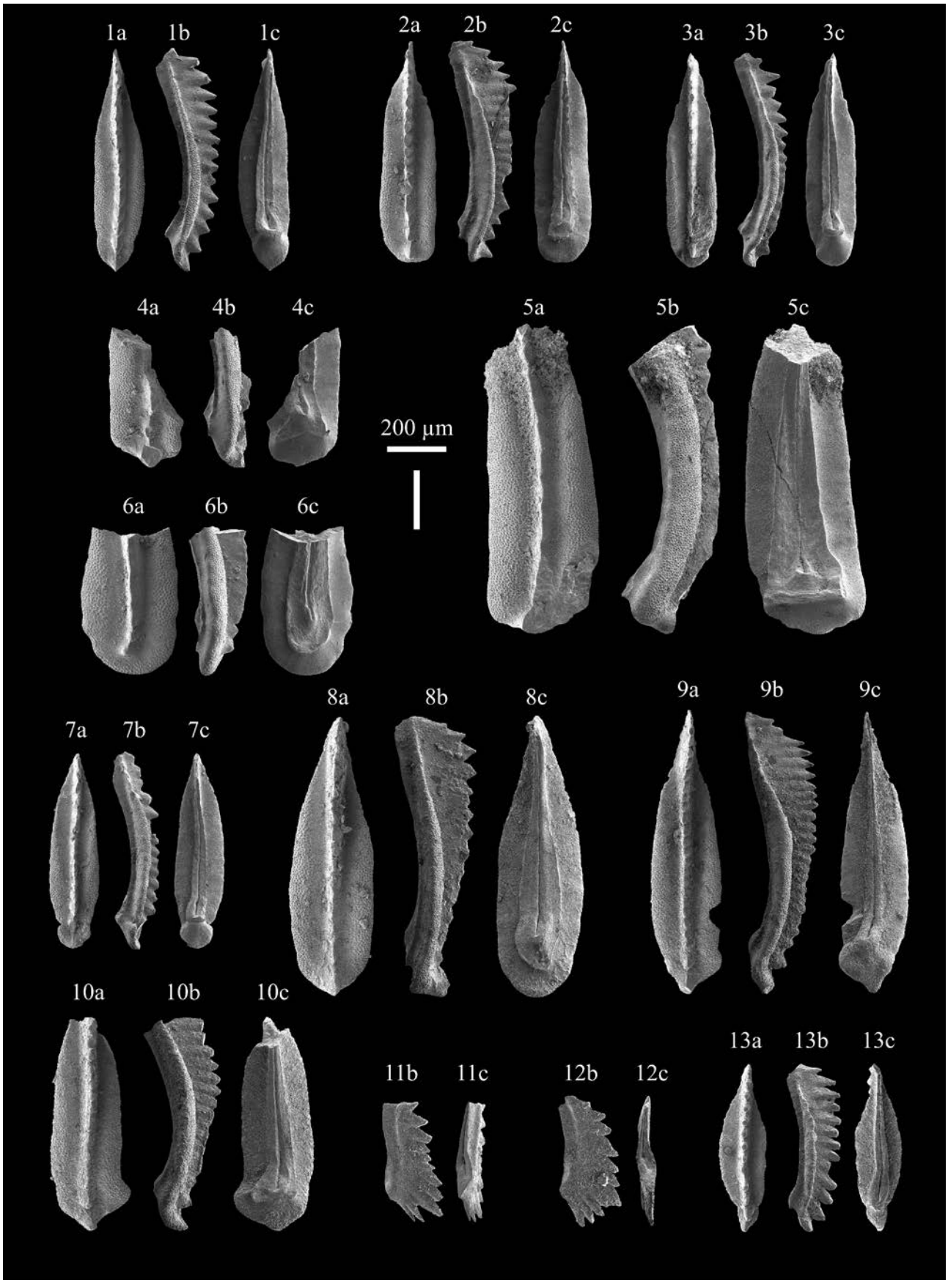
1a
1b
1c
2a
2b
2c
3a
3b
3c
4a
4b
4c
5a
5b
5c
200 µm
6a
6b
6c
7a
7b
7c
8a
8b
8c
9a
9b
9c
10a
10b
10c
11b
11c
12b
12c
13a
13b
13c

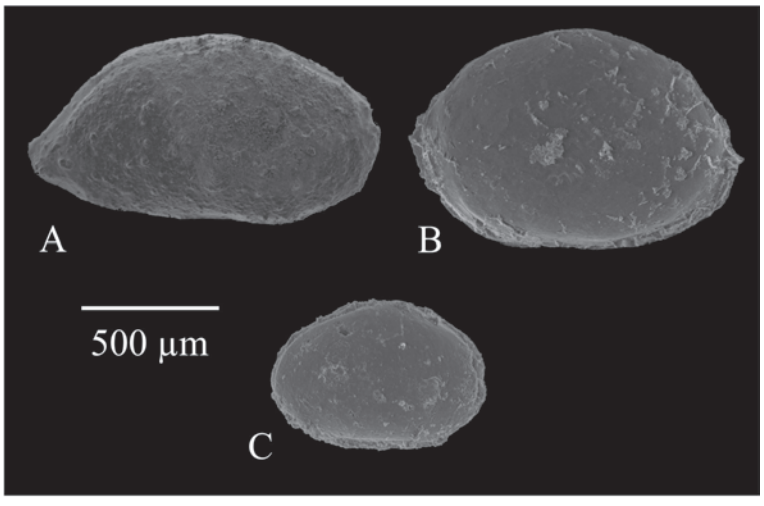

Figure 6. Ostracods from the Akol Hill and the Szentkirályszabadja airport quarry. A) *Bairdia cassiana*, carapace in right view, Akol Hill, sample Ad-4; B) *Hungarella problematica*, carapace in left view, Szentkirályszabadja, sample Szk-2; C) *Hungarella* sp., carapace in right view, Szentkirályszabadja, sample Szk-2

6. ábra. *Kagylósrákok a barnagi Akol-domb szelvényéből és a szentkirályszabadjai repülőtéri kőfejtőből. A)* Bairdia cassiana*, kettősteknő jobb oldali nézetben, Akol-domb, Ad-4 minta; B)* Hungarella problematica*, kettősteknő bal oldali nézetben, Szentkirályszabadja, Szk-2 minta; C)* Hungarella *sp., kettősteknő jobb oldali nézetben, Szentkirályszabadja, Szk-2 minta*

Fig. 7). The infilling of the dyke contained the conodont species *P. bulgarica*, *P. bifurcata* and *P. hanbulogi*. This assemblage is Pelsonian in age.

In the northern yard of the quarry (N 47°04'25.03'', E 17°57'25.66'') the Tagyon Formation is overlain by a reddish-brown dolomite with a sharp boundary (basal beds of Vászoly Fm., *Fig. 7, A*), that contains a relatively poor ammonite assemblage of the lower Illyrian Camunum Subzone (Vörös 1998, 2018). We took samples (Szk–1, Szk–2) just above the sequence boundary from the basinal dolomite to specify the age of the drowning event. In sample Szk–1 *P. bifurcata*, *P. hanbulogi* and *Ne. cornuta* were found. This assemblage is characteristic for the lowermost Illyrian. *Neogondolella cornuta* and *P. liebermani* from sample Szk–2 are indicative of the Illyrian (but not lowermost Illyrian). This latter sample also yielded ostracods (Fig. 6). Only a few specimens of *Hungarella* were found in the sample from the Vászoly Fm. suggesting a depositional environment below 30–50 m water depth (Kozur 1991).

←**Figure 5.** Conodonts from the Akol Hill section. 1) *Neogondolella pseudolonga*, sample AD-4; 2) *Paragondolella liebermani*, sample AD-4; 3) *Neogondolella cornuta*, sample AD-4; 4) *Neogondolella mesotriassica*, sample AD-4; 5) *Neogondolella cornuta*, sample AD-3; 6) *Paragondolella excelsa*, sample AD-3; 7) *Neogondolella cornuta*, sample AD-3; 8) *Paragondolella hanbulogi*, sample AD-6; 9) *Paragondolella bulgarica*, sample AD-6; 10) *Paragondolella bifurcata*, sample AD-6; 11) *Nicoraella germanica*, sample AD-6; 12) *Nicoraella kockeli*, sample AD-6; 13) *Paragondolella bulgarica*, sample AD-7. a: upper view, b: lateral view, c: lower view. Scale bar: 200 µm

←***5. ábra.*** *Az Akol-domb szelvényének conodontái. 1)* Neogondolella pseudolonga*, AD-4 minta; 2)* Paragondolella liebermani*, AD-4 minta; 3)* Neogondolella cornuta*, AD-4 minta; 4)* Neogondolella mesotriassica*, AD-4 minta; 5)* Neogondolella cornuta*, AD-3 minta; 6)* Paragondolella excelsa*, AD-3 minta; 7)* Neogondolella cornuta*, AD-3 minta; 8)* Paragondolella hanbulogi*, AD-6 minta; 9)* Paragondolella bulgarica*, AD-6 minta; 10)* Paragondolella bifurcata*, AD-6 minta; 11)* Nicoraella germanica*, AD-6 minta; 12)* Nicoraella kockeli*, AD-6 minta; 13)* Paragondolella bulgarica*, AD-7 minta. a: felülnézet, b: oldalnézet, c: alulnézet. Skála: 200 µm*

Dörgicse Drt–1 well

The Dörgicse Drt–1 well (N 46°55'31.68", E 17° 43'45.93") exposed the Middle Anisian to lowermost Carnian succession of the middle part of the Balaton Highland (Drt in *Fig. 1*). The cyclic platform carbonate of the Tagyon Fm. is overlain with a sharp contact by a light brownish crinoidal limestone of the Vászoly Fm. (*Fig. 8*), which contains ammonites of the lower Illyrian Camunum/Pseudohungaricum Subzone (Vörös 1998, 2018). It is overlain by a colourful (green reddish or lilac) tuffitic limestone and volcanic tuff ("pietra verde"). The upper part of the formation consists of bedded light grey limestone ("Vászoly Limestone Mb", Vörös et al. 1997). The overlying Buchenstein Fm. is formed by a colourful (reddish, greenish or lilac) succession of nodular limestone with chert nodules and marl intercalations, alternating with volcanic tuff layers. Radiolarians in the upper part of the formation (*Fig. 8*) belong to the Upper Ladinian (Longobardian) *Muelleritortis cochleta* Zone (Dosztály 1993). The Füred Limestone Fm. is made up of light grey micritic limestone, with a 10-centimetres-thick marly interlayer in the lower part, containing many thin-shelled bivalves (e.g. *Halobia*) on the bedding surface.

The lowest samples (75.4–75.2 m, 74.6–74.4 m) from the Vászoly Fm. of the Drt-1 core (*Fig. 8*) yielded a conodont fauna characterized by *P. bifurcata* and *P. hanbulogi*. This assemblage is either uppermost Pelsonian or lowermost Illyrian. Somewhat higher, from the samples at 72.8–72.6 m and 69.2–69.0 m a rather poor assemblage was recovered consisting of the species *Ne. cornuta* and *Gladigondolella tethydis*, which indicates Illyrian substage. The following interval (from 68.8 to 61.8 m) can be assigned either to the uppermost Illyrian or to the lowermost Fassanian based on the conodonts *Ne. praehungarica*, *Ne. cornuta*, *Ne. mesotriassica*, *P. fueloepi*, *P. trammeri*, *P. alpina*, *P. excelsa* and *Gl. tethydis*. The lower part of the Fassanian is represented by *Ne. cornuta*, *Ne. pseudolonga*, the *Ne. bakalovi*-group, *Ne. praehungarica*, *Ne. transita*, *P. trammeri* and *Gl. tethydis* from 61.8 m to 55.6 m. In the sample at 53.6–53.4 m a conodont specimen assignable to the genus aff. *Budurovignathus* sensu Chen et al. (2016) was found. The sample at 47.7–47.4 m contained an assemblage consisting of *P. trammeri*, *Budurovignathus mungoensis* and *Gl. tethydis*, which suggests uppermost Fassanian or Longobardian substage. The conodont *Paragondolella* cf. *inclinata* in sample at 23.7–23.5 m is indicative of the Longobardian or the Julian (Lower Carnian). In the highest positive sample of the core (22.4–22.1 m) only long-ranging *Gl. tethydis* and *Gl. malayensis* were found.

The ostracod fauna found in the samples between 74.6 to 57.4 m from the nodular limestone of Vászoly Fm. is very similar to the assemblage of Akol Hill. Smooth healdoids

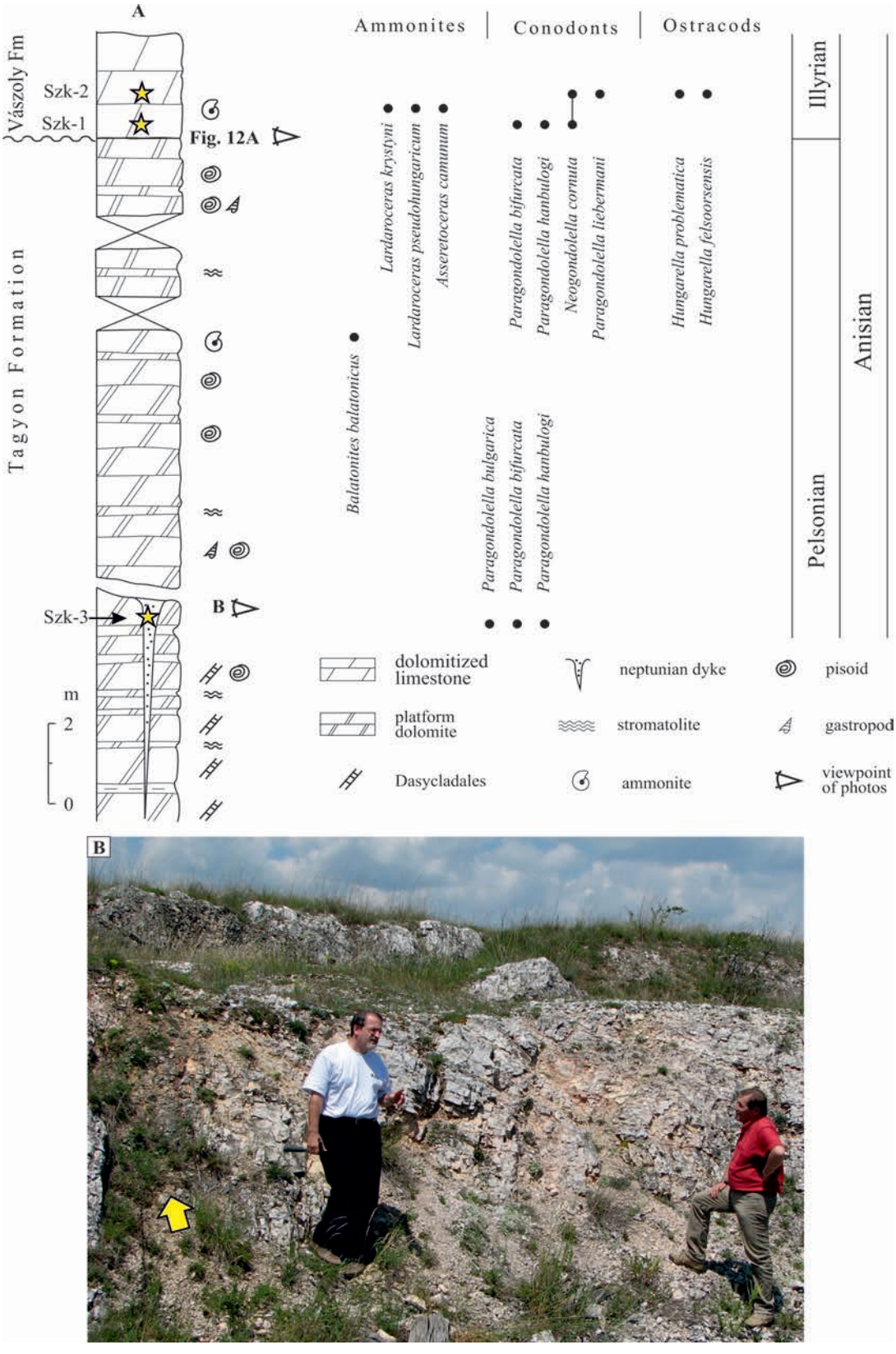

Figure 7. Stratigraphic column (A) of the airport quarry at Szentkirályszabadja (after BUDAI et al. 2001) indicating the sites of the samples for micropaleontology (yellow asterisk). Ammonoid data after VÖRÖS (1998, 2018) and VÖRÖS et al. (2003). Photograph (B) shows the two jubilant paleontologists in 2007 on a field-trip, studying the neptunian dyke (yellow arrow) that penetrates the Tagyon Fm. (photo: Zs. KERCSMÁR)

7. ábra. *A szentkirályszabadjai repülőtéri kőfejtő rétegoszlopa (A) (BUDAI et al. 2001 nyomán), feltüntetve a mikropaleontológiai minták helyét (sárga csillag). Ammoniteszadatok VÖRÖS (1998, 2018) és VÖRÖS et al. (2003) nyomán. A fényképen (B) a két ünnepelt paleontológus látható egy kiránduláson 2007-ben a Tagyoni Formációt harántoló neptúni telér (sárga nyíl) tanulmányozása közben (fotó: KERCSMÁR Zs.)*

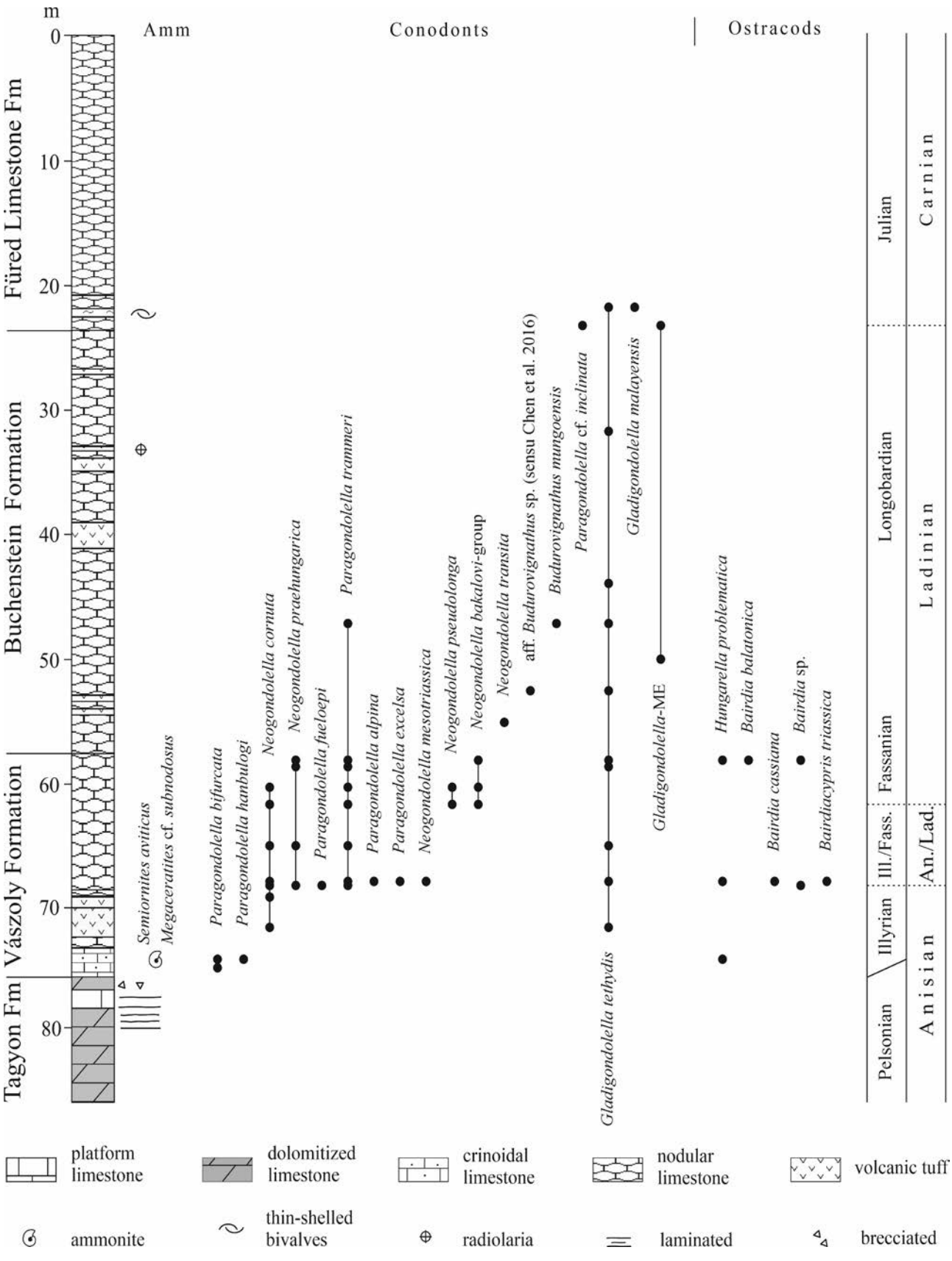

Figure 8. Stratigraphic column of Dörgicse Drt-1 drill core (after BUDAI et al. 1993, 1999b) showing the stratigraphic position of the conodont and ostracod taxa. Ammonoid data are based on VÖRÖS (1998)

8. ábra. *A Dörgicse Drt-1 fúrás rétegoszlopa (BUDAI et al. 1993, 1999b nyomán), feltüntetve a conodonta és ostracoda taxonok rétegtani elterjedését. Ammoniteszadatok VÖRÖS (1998) nyomán*

(*Hungarella problematica*), smooth bairdiacypridiids (*Bairdiacypris anisica*) and bairdiids (*Bairdia cassiana*) form the ostracod assemblage. The fauna suggests open marine deep neritic depositional environment below the storm wave base like in the Akol Hill section. Unrepresented numbers of *Hungarella problematica* and *Bairdia* sp. were recovered from the samples (23.7–23.5 m and 22.4–22.1 m) of Füred Limestone.

Discussion

In the studied region, the Pelsonian platform carbonates (Tagyon Fm.) are directly overlain by ammonite bearing crinoidal limestone/dolomite beds representing the basal part of a deeper-water hemipelagic basin succession (Vászoly Fm.). Accordingly, examples for the platform drowning could be encountered and studied here and the new micropaleontological investigations provided new data for the exact dating and better understanding the process of this drowning event.

The previously published biostratigraphic data (VÖRÖS et al. 1997, VÖRÖS 1998, BUDAI & VÖRÖS 2006, VÖRÖS 2018, KARÁDI et al. 2022) and our new conodont stratigraphic results confirmed that ages of the base of the post-drowning successions above the Pelsonian platforms are different (*Fig. 9, A*).

Three Pelsonian platforms were recognised in our study area (Barnag, Tagyon and Kádárta Platforms; *Fig. 9, B* and *Fig. 10*) although only a small part of the Barnag platform was explored.

Extensional tectonics

To determine the timing of the extensional tectonic activity we obtained data from the margin of the Kádárta Platform. The conodont fauna of the neptunian dyke in the Szentkirályszabadja quarry (*Fig. 7*) proves Pelsonian age.

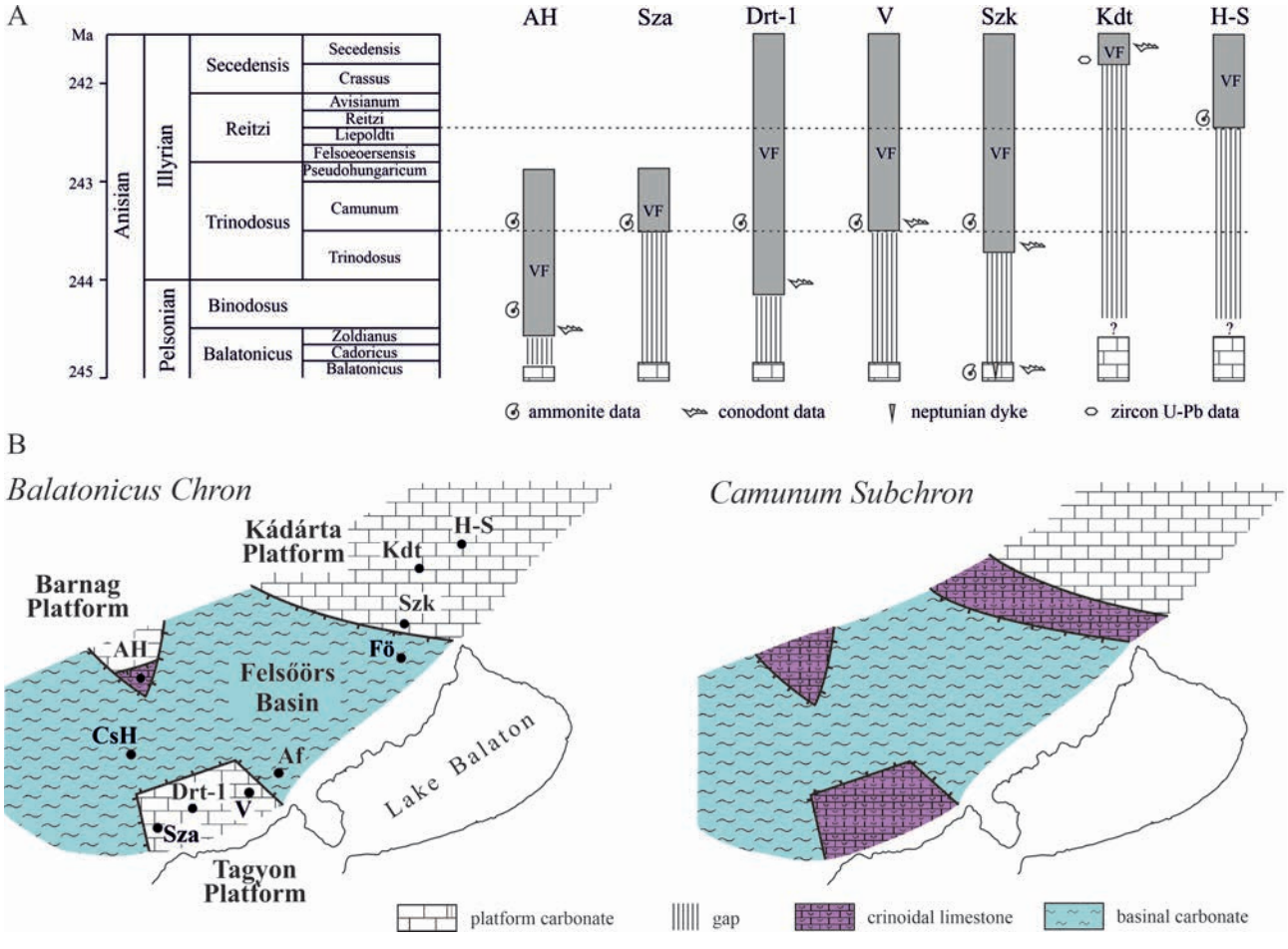

Figure 9. A) Simplified stratigraphic charts of the studied sections showing the gap between the Pelsonian platform carbonate (Tagyon Fm.) and the overlying oldest basin sediments (VF – Vászoly Fm.). AH: Akol Hill (VÖRÖS et al. 2022); Sza: Szentantalfa (VÖRÖS 2018); Drt–1: Dörgicse drill core (VÖRÖS 2018; conodonts this paper); V: Vászoly (VÖRÖS 2018; conodonts KOVÁCS 1994); Szk: Szentkirályszabadja (VÖRÖS 2018; conodonts this paper); Kdt: Kádárta (KARÁDI et al. 2022); H–S: Hajmáskér–Sóly (VÖRÖS 2018). B) Palaeogeographic sketch of the Balaton Highland for the Pelsonian and for the early Illyrian showing the reconstructed position of the three isolated carbonate platforms and the hemipelagic basin between them (after BUDAI & VÖRÖS 2006; modified)

9. ábra. *A) A vizsgált és hivatkozott szelvények egyszerűsített rétegtani táblázata, a pelsoi platformkarbonátok és a legidősebb medencefáciesű fedő üledékek (VF – Vászolyi F.) közötti üledékhézag feltüntetésével. B) A Balaton-felvidék ősföldrajzi vázlata a pelsoi és a kora illír korszakban, a három karbonátplatform és a közöttük lévő, hemipelágikus medence rekonstruált helyzetével (BUDAI & VÖRÖS 2006 nyomán, módosítva)*

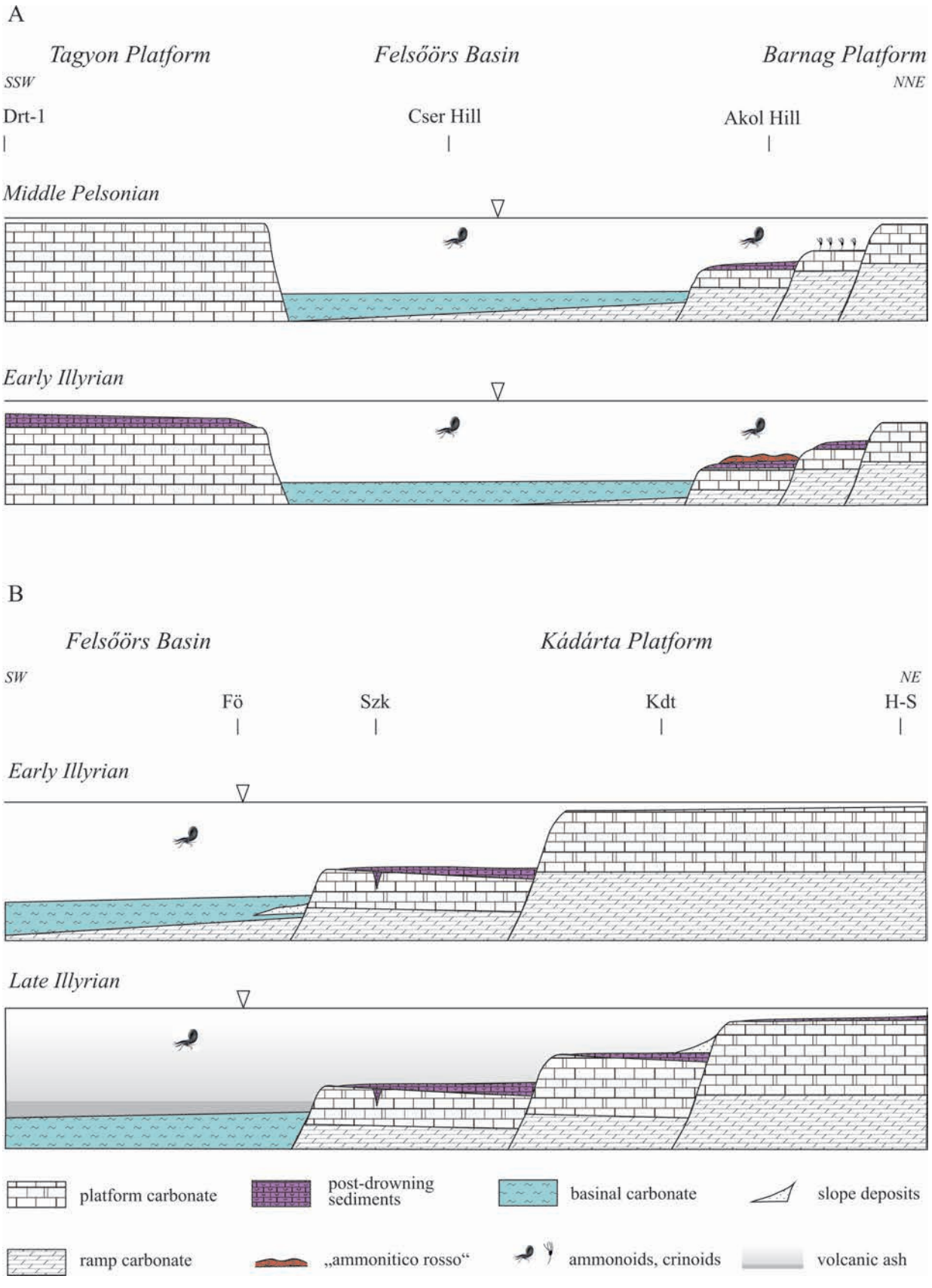

Figure 10. Palaeogeograhic profile A) between the Barnag and Tagyon platforms through the Felsőörs Basin and B) across the transition of the Felsőörs Basin and the Kádárta Platform. For the name of the studied/referred sections see Fig. 1.

10. ábra. *Ősföldrajzi szelvény A) a Barnagi- és a Tagyoni-platform között, a Felsőörsi-medencén keresztül; valamint B) a Felsőörsi-medence és a Kádártai-platform érintkezésén keresztül. A vizsgált/hivatkozott szelvények nevét lásd az 1. ábrán*

This date corresponds well with adjacent parts of the western Neotethys shelf (*Fig. 11*). In the Monte Rite area of the Southern Alps (SA in *Fig. 11*) FARABEGOLI & GUASTI (1980) reported three generations of neptunian dykes that penetrate the Pelsonian Upper Serla Platform. In the Aggtelek–Rudabánya Unit (A–R in *Fig. 11*) the Middle Anisian Steinalm Ramp is dissected by neptunian dykes, filled by red pelagic limestone rich in fragments of thin-shelled bivalves ("filaments"). Based on conodont assemblages, Late Pelsonian and Early–Middle Illyrian dyke generations were identified (VELLEDITS et al. 2011). Similar dual dyke generations were observed in the Schreyeralm area of the Northern Calcareous Alps (Austroalpine Units in *Fig. 11*; VELLEDITS et al. 2017; GAWLICK et al. 2021). In the Dinarides (OD in *Fig. 11*) the neptunian dykes that penetrate the Pelsonian platform carbonate (Ravni Fm.) started to form in the Late Pelsonian (SUDAR et al. 2013). In the Late Illyrian the tectonic activity intensified again and the dykes cross-cut not only the platform carbonates but the older post-drowning basinal deposits (Bulog Limestone), as well (GAWLICK et al. 2023).

Platform drowning

In the Akol Hill section at Barnag (*Fig. 4*, AH in *Fig. 9, A, B*) above the extremely thin Tagyon Limestone the conodont fauna constrains Pelsonian age for the basal crinoidal limestone beds. This indicates a relatively early flooding above the block-faulted margin of the Barnag Platform in the Middle Anisian (*Fig. 10, A*). The Early Illyrian ammonite fauna of the overlying condensed "ammonitico rosso" limestone also contains Pelsonian forms (VÖRÖS et al. 2022). The dissolved specimens coated by Fe–Mn oxide crust suggest very slow and episodic sedimentation in a current dominated environment.

In the area of the Tagyon Platform, on the basis of the ammonite fauna, the basal beds can be assigned to the Early Illyrian (Camunum Subchron, VÖRÖS 1998; BUDAI & VÖRÖS 2006; VÖRÖS 2018) in both the Szentantalfa (Sza in *Fig. 9, A, B*) and in the core Dörgicse Drt–1 (*Figs 8* and *9, A, B*). It has to be mentioned that in the case of conodonts the Early Illyrian age of the lowermost layers of the Vászoly Fm. in Dörgicse Drt–1 core is only based on the lack of the Pelsonian *P. bulgarica*. However, this can easily be a bias caused by the very limited material available for conodont investigation. Since *P. bifurcata* and *P. hanbulogi* are also present prior to the Illyrian, a Late Pelsonian age of the basal beds cannot be excluded. In the marginal Vászoly section (V in *Fig. 9, A, B*) the age of the oldest post-drowning sediment is Early Illyrian (Camunum Subchrone) based on ammonoids (VÖRÖS 1998, 2018) and conodonts (KOVÁCS 1994), as well.

In the Szentkirályszabadja section (*Fig. 7*, Szk in *Figs 9, A, B* and *10, B*), which may have been located near the western margin of the Kádárta Platform, the basal post-drowning hemipelagic carbonate beds (*Fig. 12, A*) can be assigned to the Early Illyrian (Camunum Subchron). However, conodonts found in the dyke prove earlier, Late Pelsonian drowning as a result of downfaulting of the platform margin. In the section of the Kádárta quarry (*Fig. 12, B*), representing the internal part of this platform (*Fig. 9, B*), based on conodont and zircon age data (*Fig 9, A*; KARÁDI et al. 2022) latest Illyrian age (Secedensis Chron) of the volcaniclastic beds of the Vászoly Fm. was pointed out. In the internal platform area at Hajmáskér–Sóly, based on ammonoid data (VÖRÖS 2018), somewhat older age (Reitzi Subchron) was determined for the oldest post-drowning sediments.

We must note that the age data for the base of the post-drowning succession provide information on the age of first record of the post-drowning deposition, which is not necessarily identical to the timing of the drowning event. In many cases the drowning is followed by a period of non-deposition leading to a short- or long-term stratigraphic gap (READ 1982, 1985; SCHLAGER 1989, 1991, 2005). The drowning is commonly preceded by subaerial exposure and erosion of the platform that resulted in the apparent increase in the duration of the gap. Various factors (in many cases combination of several factors) may lead to the drowning of carbonate platforms. In exten-

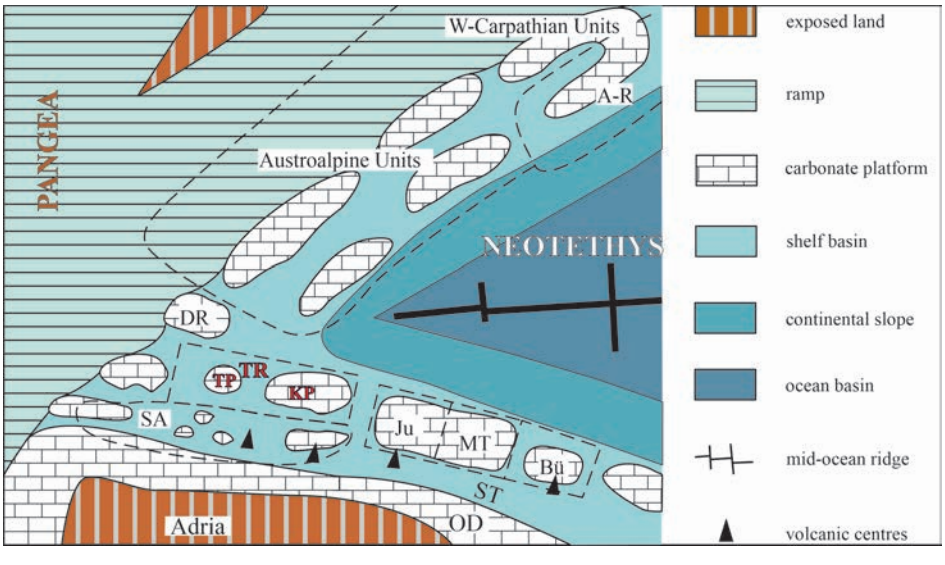

Figure 11. Palaeogeographic setting of the Tagyon Platform (TP) and the Kádárta Platform (KP) within the Transdanubian Range Unit (TR) during the Middle Triassic in the western part of the Neotethys (BUDAI et al. 2017, KARÁDI et al. 2022)

A–R: Aggtelek–Rudabánya Unit; Bü: Bükk Unit; DR: Drau Range; Ju: Julian Alps; MT: Mid-Transdanubian Unit; OD: Outer Dinarides; SA: South-Alpine Units; ST: Slovenian Trough

11. ábra. *A Tagyoni-platform (TP) és a Kádártai-platform (KP) középső triász ősföldrajzi helyzete a Dunántúli-középhegységi-egységen (TR) belül a Neotethys nyugati selfjén (BUDAI et al. 2017, KARÁDI et al. 2022)*

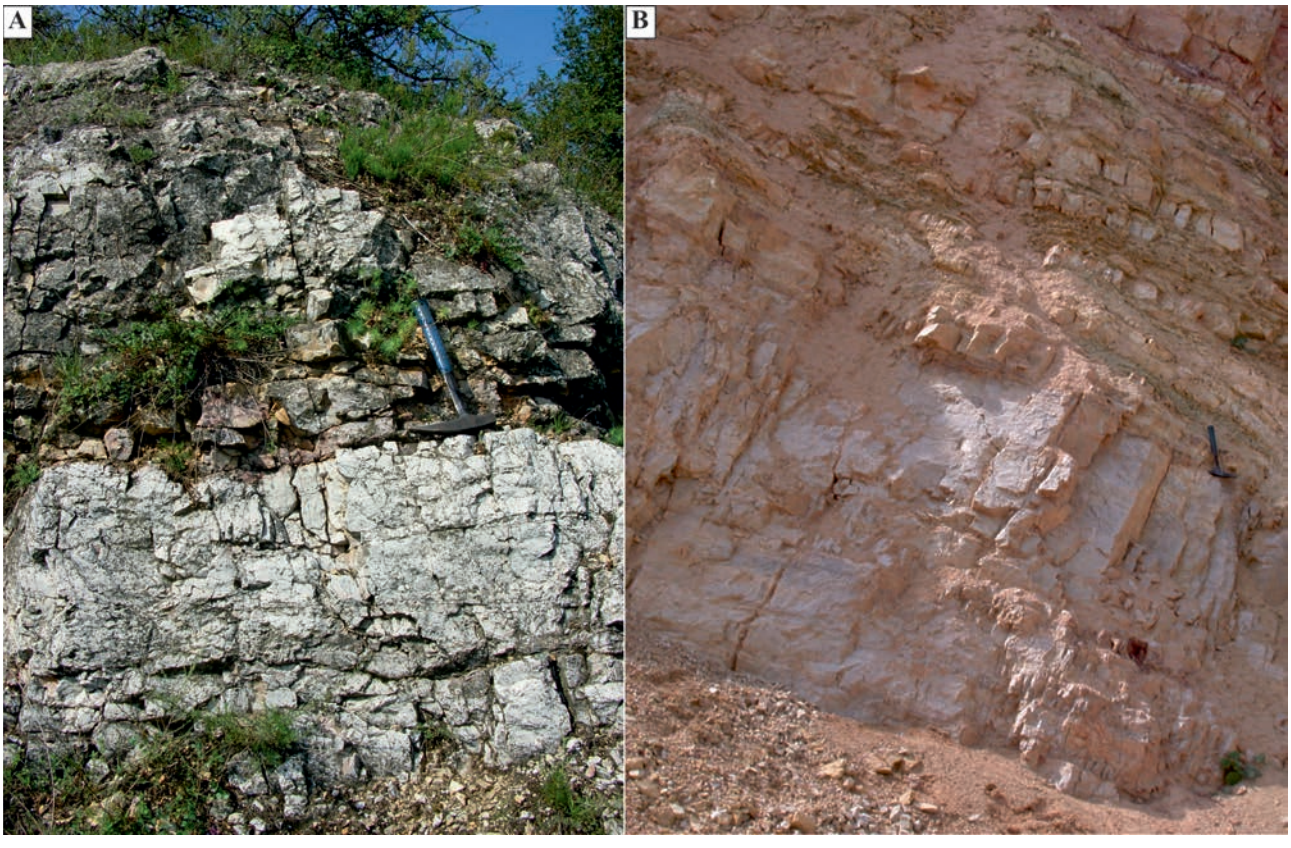

Figure 12. Drowning unconformity on the top of the Pelsonian Tagyon Fm. (at the hammer), that is covered by A) dolomitized ammonitic Lower Illyrian limestone (Camunum Subzone) in the quarry at Szentkirályszabadja; and B) uppermost Illyrian volcaniclastic layers (Secedensis Zone) in the quarry at Kádárta

12. ábra. *Megfulladási diszkordancia felszín a pelsoi Tagyoni F. felső határán (kalapács a képeken), amelyre A) ammoniteszes, dolomitosodott alsó illyr mészkő (Camunum Szubzóna) települ a szentkirályszabadjai kőfejtőben; és B) legfelső illyr vulkanoklasztit rétegsor (Secedenis Zóna) települ a kádártai kőfejtőben*

sional structural regimes the tectonically forced retrograding of the margin may result in an exceptionally fast subsidence of the downfaulted blocks and, accordingly, the end of the production of the euphotic carbonate factory (*Fig. 10, B*). Coeval acceleration of subsidence and an intense eustatic sea level rise may also lead to drowning. Decreasing water transparency and, consequently, the shallowing of the light-saturated zone may also be a dominant factor in the drowning or may contribute to this phenomenon. Influx of large amount of suspended terrigenous material (clay and/or fine organic material) or extreme proliferation of planktonic organisms may be responsible for the reduced transparency.

At the beginning of the Pelsonian, the Akol Hill section was located in the external belt of the Barnag Platform (*Fig. 9, B*). Here, the Pelsonian drowning can be attributed to downfaulting of the platform margin when a fault-controlled and probably step-like slope may have come into being (*Fig. 10, A*). The drowning was likely followed by a period of non-deposition due to high-energy currents. Resedimented fragments of crinoids in the basal bed of the post-drowning succession may have been derived from higher terraces of the slope (*Fig. 10, A*), similar to the sedimentation model proposed by Galácz & Vörös (1972) and Galácz (1988) for the Early Jurassic deposition of the Hierlatz-type limestones. The overlying condensed bed-set with a rich but partly reworked, mixed ammonite fauna reflects high-energy depositional conditions allowing only ephemeral sediment deposition and preservation.

In the area of the Tagyon Platform the drowning took place prior to the Early Illyrian (Camunum Subchron) both in near margin setting that is represented by the Vászoly sections (V in *Fig. 9, A, B*), and also in the central part of the isolated platform that is represented by the Szentantalfa section (Sza in *Fig. 9, A, B*) and the Dörgicse Drt–1 drill core (*Fig. 9, A, B* and *Fig. 10, A*). To determine the cause of the drowning we must take into account the facies of the basal beds of the post-drowning succession. They are made up of carbonate layers rich in radiolarians, fragments of thin-shelled bivalves, crinoids, ammonites and brachiopods and volcanic tuff interlayers. This bed set is punctuated by phosphoritic horizons along the NE plaform margin represented by the Vászoly section (Budai et al. 2017). These litho- and biofacies characteristics suggest that along with the accelerated subsidence of this block and the coeval eustatic sea-level rise the reduced transparency as a result of enhanced productivity and input of volcanic dust might have played a critical role in the drowning. The radiolarians are indicators of high productivity of the surface waters, which depends on the fertility controlled by the availability of limiting nutrients (e.g. P, Si) (De Wever & Baudin 1996, De Wever et al. 2014). Due to common abundance of radiolarians in pyroclast-bearing successions, the role of input of volcanic dust

in the fertilization of sea-surface was also put forward (LIN et al. 2011, ABDI et al. 2016). Considering the palaeogeographic constrains, a monsoon-driven local upwelling and/or the input of volcanic material seems to be the source of the limiting nutrients along the margin of the Tagyon Platform (BUDAI et al. 2017).

In the marginal area of the Kádárta Platform (Szentkirályszabadja quarry, Szk in *Fig. 9, A, B* and *10, B*) pedogenic crusts or stromatolitic horizons (akin to those in the core Drt–1) occur between the thick beds of the platform carbonate containing a rich shallow marine fossil assemblage. Accordingly, this succession reflects periodically changing depositional conditions; shallow marine lagoon and peritidal environments alternated as a consequence of the high frequency sea-level oscillation (HAAS et al. 2014). In contrast, in the inner part of the Kádárta Platform (Kádárta quarry, Kdt in *Fig. 9, A, B* and *10, B*) at least in the upper part of the Tagyon Formation, the peritidal horizons are subordinate suggesting permanency of the subtidal depositional setting even during the periods of lowest sea level (HAAS et al. 2022). According to biostratigraphic constrains, the age of the basal part of the post-drowning succession is Illyrian in both sections (*Fig. 9, A*); however, it does not mean that the drowning took place at the same time. It is more probable that, due to downfaulting of the platform margin zone, the drowning happened earlier in the Szentkirályszabadja area (*Figs 9, A* and *10, B*), although on the top of the downfaulted block the intense current activity hindered sediment deposition for a while, which could only accumulate in the fissures. Conversely, in the more internal part of the platform, which is represented by the Kádárta quarry section, the shallow marine conditions may have been prolonged during the Early Illyrian, although there are no exact biostratigraphic data for this. Nevertheless, the latest Illyrian was already characterized by deep-water sedimentation in this area as well (*Figs 9, A* and *10, B*; KARÁDI et al. 2022). The thick sedimentary breccia bed set, occurring above the post-drowning pelagic tuffaceous dolomite layers, can be interpreted as a platform foreslope deposit indicating the presence of the coeval platform margin near this place (*Fig. 9, C*). Further northeast in the Hajmáskér–Sóly sections (H-S in *Figs 9, A, B* and *10, B*) the oldest post-drowning layers are somewhat older; based on ammonoid biostratigraphic data they belong to the Reitzi Subzone of the Reitzi Zone (VÖRÖS 2018). In this area the intense volcanic activity, i.e. the related reduced water transparency, may have been the major controlling factor of the drowning since thick tuff layers were deposited at that time in the Felsőörs basin (BUDAI & VÖRÖS 1993, BUDAI et al. 2001). However, the role of tectonic retrograding cannot be excluded either, which continued even during the Ladinian as it was proven by a neptunian dyke in the Litér quarry containing a Ladinain ammonite assemblage (BUDAI et al. 2001, BUDAI & VÖRÖS 2006).

Drowning of the Middle Triassic platforms may have taken place at different times also in other parts of the western Neotethys shelf (KARÁDI et al. 2022 and references therein). For example, in the Aggtelek–Rudabánya Unit (AR in *Fig. 11*) the Steinalm Limestone is overlain by the post-drowning sequence of the Schreyeralm Limestone of Late Pelsonian age in the Baradla Cave section (VELLEDITS et al. 2011, PERÓ et al. 2015), while the basal part of the red pelagic ammonitic limestone belongs to the lower Illyrian Trinodosus Zone in the Szár Hill section (VÖRÖS 2010). On the southern shelf of the rifting Neotethys (*Fig. 11*) the volcanic activity was much more intense (VELLEDITS 2009) and, accordingly, it played a more decisive role in the basin evolution from the Pelsonian until the Ladinian (SMIRCIC et al. 2020, KUKOC et al. 2023).

The palaeoenvironmental reconstruction based on ostracod palaeoecology reflects well the deepening of the Felsőörs Basin (KOZUR 1970, MONOSTORI 1995) and the flooding of the Middle Anisian isolated platforms during the Late Anisian. Very similar ostracod faunas (dominance of smooth bairdiids, bairdiacypridids and healdoids) were identified above the platform carbonates in the Illyrian beds (Vászoly Fm.) of the studied sections in Szentkirályszabadja quarry, Akol Hill and the Drt–1 core. The ostracod assemblages indicate deep neritic open shelf environment with water depth below 30–50 m (below the storm wave base) supporting the deepening of the basin above the former Kádárta, Barnag and Tagyon platforms during the Illyrian. The appearance of the thin-shelled 'palaeopsychrosphaeric elements' with long spines such as bairdiid *Acratia*, beecherellid *Acanthoscapha*, tricorninid *Nagyella* and macrocypridid *Praemacrocypris* in the Ladinian ostracod fauna of the Litér and Kádárta quarries suggests the climax of the deepening of the basin with water depth below 200 m (upper bathyal zone). This represents the maximum flooding of the Kádárta Platform during the Longobardian (MONOSTORI & TÓTH 2013, KARÁDI et al. 2022).

Conclusions

Drowning of the Middle Anisian platforms of the Balaton Highland was mostly controlled by the onset of block-faulting during the Pelsonian. Accordingly, the earliest drowning and post-drowning deposition may have taken place in the Pelsonian at the edge of the Barnag Platform (Akol Hill).

On the Tagyon Platform (Szentantalfa, Dörgicse and Vászoly), where the first post-drowning basinal layers were deposited during the Late Pelsonian or Early Illyrian, the drowning was probably governed by the accelerated relative sea-level rise, although the reduced water transparency, triggered by enhanced productivity in the upwelling zone and input of volcanic dust, may also have played some role in it.

The marginal area of the Kádárta Platform (Szentkirályszabadja) faulted down in the Pelsonian, however, the post-drowning deposition occurred in the Early Illyrian. In the inner parts of this platform (Kádárta and Hajmáskér–Sóly area) pelagic sediments deposited from the Late Illyrian indicating a step-by-step faulting of the platform.

During the Ladinian bathyal environment was established everywhere in the study area as a result of continuing sea level rise.

Acknowledgement

The authors greatly appreciate the reviewers' (F. Velledits and H. J. Gawlick) meticulous proofreading work, which significantly improved the quality of the manuscript. Present research was supported by the National Research, Development and Innovation Office (NKFIH K 124313 and NKFIH FK 134229 grants). Emőke Tóth was also supported by the János Bolyai Research Scholarship of the Hungarian Academy of Sciences.

References – Irodalom

Abdi, A., Gharaie, M. H. M. & Bádenas, B. 2016: Radiolarian productivity linked to climate condition during the Pliensbachian–Aaalenian in the Kermanshah Basin (West Iran). – *Facies* **62/4**. https://doi.org/10.1007/s10347-016-0481-9

Boomer, I., Horne, D. & Slipper, I. 2003: The Use of Ostracods in Palaeoenvironmental Studies, or What can you do with an Ostracod Shell? – *The Paleontological Society Papers* **9**, 153–180. https://doi.org/10.1017/S1089332600002199

Brack, P., Rieber, H., Nicora, A. & Mundil, R. 2005: The Global boundary Stratotype Section and Point (GSSP) of the Ladinian Stage (Middle Triassic) at Bagolino (Southern Alps, Northern Italy) and its implications for the Triassic time scale. – *Episodes* **28/4**, 233–244. https://doi.org/10.18814/epiiugs/2005/v28i4/001

Budai, T. & Haas, J. 1997: Triassic sequence stratigraphy of the Balaton Highland (Hungry). – *Acta Geologica Hungarica* **40/3**, 307–335.

Budai, T. & Vörös, A. 1993: The Middle Triassic events of the Transdanubian Central Range in the frame of the Alpine evolution. – *Acta Geologica Hungarica* **36/1**, 3–13.

Budai, T. & Vörös, A. 2006: Middle Triassic platform and basin evolution of the southern Bakony Mountains (Transdanubian Range, Hungary). – *Rivista Italiana di Paleontologia e Stratigrafia* **112/3**, 359–371.

Budai, T., Lelkes, Gy. & Piros, O. 1993: Evolution of Middle Triassic shallow marine carbonates in the Balaton Highland (Hungary) – *Acta Geologica Hungarica* **36/1**, 145–165.

Budai T., Csillag G., Dudko A. & Koloszár L. 1999a: *A Balaton-felvidék földtani térképe, 1:50 000*. [Geological Map of the Balaton Highland, 1:50 000]. – MÁFI, Budapest.

Budai T., Császár G., Csillag G., Dudko A., Koloszár L. & Majoros Gy. 1999b: *A Balaton-felvidék földtana. Magyarázó a Balaton-felvidék földtani térképéhez, 1:50 000*. [Geology of the Balaton Highland. Explanation to the Geological Map of the Balaton Highland, 1:50 000]. – A Magyar Állami Földtani Intézet Alkalmi Kiadványa **197**, 257 p.

Budai T., Csillag G., Gyalog L., Jocháné Edelényi E., Müller P., Nádor A. & Tóthné Makk Á. 2000: *Dunántúli-középhegység – Magyarország mélyföldtani térképe*. https://map.mbfsz.gov.hu/mol100/

Budai T., Csillag G., Vörös A. & Dosztály L. 2001: Középső- és késő-triász platform- és medencefáciesek a Veszprémi-fennsíkon [Middle to Late Triassic platform and basin facies of the Veszprém Plateau (Transdanubian Range, Hungary)]. – *Földtani Közlöny* **131/1–2**, 37–70.

Budai, T., Haas, J., Vörös, A. & Molnár, Zs. 2017: Influence of upwelling on the sedimentation and biota of the segmented margin of the western Neotethys: a case study from the Middle Triassic of the Balaton Highland (Hungary). – *Facies* **63/4**, https://doi.org/10.1007/s10347-017-0504-1

Chen, Y., Krystyn, L., Orchard, M. J., Lai, X-L. & Richoz, S. 2016: A review of the evolution, biostratigraphy, provincialism and diversity of Middle and early Late Triassic conodonts. – *Papers in Palaeontology* **2/2**, 235–263. https://doi.org/10.1002/spp2.1038

De Wever, P. & Baudin, F. 1996: Palaeogeography of radiolarite and organic-rich deposits in Mesozoic Tethys. – *Geologische Rundschau* **85**, 310–326. https://doi.org/10.1007/BF02422237

De Wever, P., O'Dogherty, L. & Goričan, Š. 2014: Monsoon as a cause of radiolarite in the Tethyan realm. – *Comptes Rendus Geoscience* **346**, 287–297. https://doi.org/10.1016/j.crte.2014.10.001

Dosztály, L. 1993: The Anisian/Ladinian and Ladinian/Carnian boundaries in the Balaton Highland based on Radiolarias. – *Acta Geologica Hungarica* **36/1**, 59–72.

Farabegoli, E. & Guasti, M. 1980: Anisian lithostratigraphy and paleogeography of M. Rite (Cadore, Southeastern Dolomites). – *Rivista Italiana di Paleontologia e Stratigrafia* **85/3–4**, 909–930.

Galácz, A. 1988: Tectonically controlled sedimentation in the Jurassic of the Bakony Mountains (Transdanubian Central Range, Hungary). – *Acta Geologica Hungarica* **31/3–4**, 313–328.

Galácz A. & Vörös A. 1972: A bakony-hegységi jura fejlődéstörténeti vázlata a főbb üledékföldtani jelenségek kiértékelése alapján. – *Földtani Közlöny* **102/2**, 122–135.

Gawlick, H. J., Lein, R. & Bucur, I. I. 2021: Precursor extension to final Neo-Tethys break-up: flooding events and their significance for the correlation of shallow-water and deep-marine organisms (Anisian, Eastern Alps, Austria). – *International Journal of Earth Sciences*. https://doi.org/10.1007/s00531-020-01959-w

Gawlick, H. J., Sudar, M., Jovanović, D., Lein, R., Missoni, S. & Bucur, I. I. 2023: From shallow-water carbonate ramp to hemipelagic deep-marine carbonate deposition: Part 1. General characteristics, microfacies and depositional history of the Middle to Late Anisian Bulog sedimentary succession in the Inner Dinarides (SW Serbia). – *Geoloski Anali Balkanskoga Poluostrova*. https://doi.org/10.2298/GABP230329006G

Haas, J., Budai, T., Győri, O. & Kele, S. 2014: Similarities and differences in the dolomitization history of two coeval Middle Triassic carbonate platforms, Balaton Highland, Hungary. – *Facies* **60/2,** 581–602. https://doi.org/10.1007/s10347-014-0397-1

Haas, J., Budai, T., Győri, O. & Czuppon, Gy. 2022: Development and dolomitization of Anisian isolated carbonate platforms in the Transdanubian Range, Hungary. – *Central European Geology*, **66/1**, 14–25. https://doi.org/10.1556/24.2021.00110

Karádi, V., Budai, T., Haas, J., Vörös, A., Piros, O., Dunkl, I. & Tóth, E. 2022: Change from shallow to deep-water environment on an isolated carbonate platform in the Middle Triassic of the Transdanubian Range (Hungary). – *Palaeogeography, Palaeoclimatology, Palaeoecology* **587**, 110793. https://doi.org/10.1016/j.palaeo.2021.110793

Kovács, S. 1993: Conodont biostratigraphy of the Anisian/Ladinian boundary interval of the Balaton Highland, Hungary and its significance in the definition of the boundary (Preliminary report). – *Acta Geologica Hungarica* **36/1**, 39–57.

Kovács, S. 1994: Conodonts of stratigraphical importance from the Anisian/Ladinian boundary interval of the Balaton Highland, Hungary. – *Rivista Italiana di Paleontologia e Stratigrafia* **99/4**, 473–514.

Kovács, S. 2003: Pelsonian conodonts from the Balaton Highland. – In: Vörös, A. (ed.), The Pelsonian Substage on the Balaton Highland (Middle Triassic, Hungary). *Geologica Hungarica, Series Palaeontologica* **55**, 195 p.

Kovács, S. 2011: Middle–Late Triassic conodont evolutionary events as recorded in the Triassic basinal deposits of Hungary. – *Bulletin of the Hungarian Geological Society* **141/2**, 141–166.

Kovács, S., Kozur, H. & Mietto, P. 1980: *Gondolella pseudolonga* n. sp. (Conodontophorida), an important Lower Ladinian guide form. – *Geologisch-Paläontologische Mitteilungen Inssbruck* **10/6**, 217–221.

Kozur, H. 1970: Neue Ostracoden-Arten aus dem obersten Anis des Bakonyhochlandes (Ungarn). – *Berichte naturwissenschaftlichen-medizinischen Verein Innsbruck* **58**, 384–428.

Kozur, H. 1991: Permian deep-water ostracods from Sicily (Italy). Part 2: Biofacial evaluation and Remarks to the Silurian to Triassic paleopsychrospheric ostracods. – *Geologisch-Paläontologische Mitteilungen Innsbruck* **3**, 25–38.

Kozur, H. W. 2003: Integrated ammonoid-, conodont and radiolarian zonation of the Triassic. – *Hallesches Jahrbuch für Geowissenschaften Reihe B* **25**, 49–79.

Kukoč, D., Smirčić, D., Grgasović, T., Horvat, M., Belak, M., Japundžić, D., Kolar-Jurkovšek, T., Šegvić, B., Badurina, L., Vukovski, M. & Slovenec, D. 2023: Biostratigraphy and facies description of Middle Triassic rift-related volcano-sedimentary successions at the junction of the Southern Alps and the Dinarides (NW Crotia). – *International Journal of Earth Sciences*. https://doi.org/10.1007/s00531-023-02301-w

Lethiers, F. & Crasquin-Soleau, S. 1988: Comment extraire les microfossiles à tests calcitiques des roches calcaires dures. – *Revue de Micropaléontologie* **31**, 56–61.

Lin, H., Hu, C., Li, Y. H., Ho, T. Y., Fischer, T. P., Wong, G. T. F., Wu, F. J., Huan, C. W., Chu, D. A., Ko, D. S. & Chen, J. P. 2011: Fertilization potential of volcanic dust in the low-nutrient low-chlorophyll western North Pacific subtropical gyre: satellite evidence and laboratory study. – *Global Biogeochemical Cycles* **25/1**, GB1006

Monostori, M. 1995: Environmental significance of the Anisian Ostracoda fauna from the Forrás Hill near Felsőörs (Balaton Highland, Transdanubia, Hungary). – *Acta Geologica Hungarica* **39**, 37–56.

Monostori, M. & Tóth, E. 2013: Ladinian (Middle Triassic) silicified ostracod faunas from the Balaton Highland (Hungary). – *Rivista Italiana di Paleontologia e Stratigrafia* **119**, 303–323.

Muttoni, G., Nicora, A., Brack, P. & Kent, D. V. 2004: Integrated Anisian–Ladinian boundary chronology. – *Palaeogeography, Palaeoclimatology, Palaeoecology* **208,** 85–102. https://doi.org/10.1016/j.palaeo.2004.02.030

Péró, Cs., Velledits, F., Kovács, S. & Blau, J. 2015: The Middle Triassic post-drowning sequence in the Aggtelek Hills (Silica Nappe) and its Tethyan context – first description of the Raming Formation from Hungary. – *Newsletter on Straigraphy* **48/1**, 1–22. https://doi.org/10.1127/nos/2014/0051

Read, J. 1982: Carbonate platforms of passive (extensional) continental margins: types, characteristics and evolution. – *Tectonophysics* **81,** 195–212. https://doi.org/10.1016/0040-1951(82)90129-9

Read, J. 1985: Carbonate plaform facies models. – *AAPG Bulletin* **69**, 1–21. https://doi.org/10.1306/AD461B79-16F7-11D7-8645000102C1865D

Schlager, W. 1989: Drowning unconformities on carbonate platforms. – In: Crevello, P. D., Wilson, J., Sarg, J. & Read, J. (eds): Controls of Carbonate Platforms and Basin Development, *SEPM Special Publications* **44**, 15–26. https://doi.org/10.2110/pec.89.44.0015

Schlager, W. 1991: Depositional bias and environmental changes – important factors in sequence stratigraphy. – *Sedimentary Geology* **70**, 109–130. https://doi.org/10.1016/0037-0738(91)90138-4

Schlager, W. 2005: Carbonate Sedimentology and Sequence Stratigraphy. – *SEPM Special Publications, Concepts in Sedimentology and Paleontology* **8**, 200 p. https://doi.org/10.2110/csp.05.08

Smirčić, D., Aljinović, D., Barudžija, U. & Kolar-Jurkovšek, T. 2020: Middle Triassic sedimentation and volcanic influence in the central part of the External Dinarides, Croatia (Velebit Mts.). – *Geological Quarterly* **64/1.** https://dx.doi.org/10.7306/gq.1528

Sudar, M., Gawlick, H. J., Lein, R., Missoni, S., Kovács, S. & Jovanović, D. 2013: Depositional environment, age and facies of the Middle Triassic Bulog and Rid formations in the Inner Dinarides (Zlatibor Mountain, SW Serbia): evidence for the Anisian break-up of the Neotethys Ocean. – *Neues Jahrbuch für Geologie und Paläontologie, Abhandlungen* **269/3**, 291–320. https://doi.org/10.1127/0077-7749/2013/0352

Tóth, E. & Monostori, M. 2015: Monospecific *Lutkevichinella* (Ostracoda) fauna from lower Anisian beds (Middle Triassic) of the Balaton Highland (Hungary). – *Hantkeniana* **10**, 7–12.

VELLEDITS, F. 2009: Tectonic control on the evolution of the Middle Triassc platforms in the Alpine–Carpathian–Dinaric region (differences in the evolution of two opposite shelves of the Neotethys Ocean). – In: FERRARI, D. M. & GIUSEPPI, A. R. (eds): *Geomorphology and plate tectonics*, 359–375.

VELLEDITS, F., PÉRÓ, Cs., BLAU, J., SENOWBARI-DARYAN, B., KOVÁCS, S., PIROS, O., POCSAI, T., SIMON, H., DUMITRICA, P. & PÁLFY, J. 2011: The oldest Triassic platform margin reef from the Alpine–Carpathian Triassic, Aggtelek, NE Hungary. – *Rivista Italiana di Paleontologia e Stratigrafia* **117/2**, 221–268.

VELLEDITS, F., LEIN, R., KRYSTYN, L., PÉRÓ, Cs., PIROS, O. & BLAU, J. 2017: A Reiflingi esemény hatása az Északi-Mészkőalpok és az Aggteleki-hegység középső-triász fejlődésére. – *Földtani Közlöny* **147/1**, 3–24. https://doi.org/10.23928/foldt.kozl.2017.147.1.3

VÖRÖS A. 1998: A Balaton-felvidék triász ammonoideái és biosztratigráfiája [Triassic ammonoids and biostratigraphy of the Balaton Highland]. – *Studia Naturalia* **12**, 105 p.

VÖRÖS, A. 2010: Late Anisian Ammonoidea from Szár-hegy (Rudabánya Mts); a Dinaric-type fauna from North Hungary. – *Fragmenta Palaeontologica Hungarica* **28**, 1–20.

VÖRÖS, A. 2018: The Upper Anisian ammonoids of the Balaton Highland (Middle Triassic, Hungary). – *Geologica Hungarica, Series Palaeontologica* **60**, 241 p.

VÖRÖS, A. & BUDAI, T. 1993a: Western part of the Balaton Highlands. – In: GAETANI, M. (ed.): *Anisian/Ladinian boundary field workshop, Southern Alps–Balaton Highlands*, 27 June–4 July 1993, 91–101.

VÖRÖS, A. & BUDAI, T. 1993b: Eastern part of the Balaton Highlands. – In: GAETANI, M. (ed.): *Anisian/Ladinian boundary field workshop, Southern Alps–Balaton Highlands*, 27 June–4 July 1993, 103–118.

VÖRÖS, A., SZABÓ, I., KOVÁCS, S., DOSZTÁLY, L. & BUDAI, T. 1996: The Felsőörs section: a possible stratotype for the base of the Ladinian stage. – *Albertiana* **17**, 25–40.

VÖRÖS A., BUDAI T., LELKES Gy., MONOSTORI M. & PÁLFY J. 1997: A Balaton-felvidéki középső-triász medencefejlődés rekonstrukciója üledékföldtani és paleoökológiai vizsgálatok alapján. – *Földtani Közlöny* **127/1–2**, 145–177.

VÖRÖS, A., BUDAI, T., HAAS, J., KOVÁCS, S., KOZUR, H. & PÁLFY, J. 2003a: A proposal for the GSSP at the base of the Reitzi Zone (sensu stricto) at Bed 105 in the Felsőörs section, Balaton Highland, Hungary. – In: GSSP (Global Boundary Stratotype Section and Point). Proposal for the base of Ladinian (Triassic). – *Albertiana* **28**, 35–47.

VÖRÖS, A. (ed.), BUDAI, T., LELKES, Gy., KOVÁCS, S., PÁLFY, J., PIROS, O., SZABÓ, I. & SZENTE, I. 2003b: The Pelsonian Substage at the Balaton Highland (Middle Triassic, Hungary). – *Geologica Hungarica, Series Palaeontologica* **55**, 195 p.

VÖRÖS, A., BUDAI, T., MAKÁDI, L., BERCSÉNYI, M., FÖLDVÁRI, G., PINTÉR, Zs. & SZABÓ, M. 2022: Rediscovery of a classic Middle Triassic fossil site of the Balaton Highland (Transdanubian Range, Hungary): cephalopods, brachiopods and vertabrate remains from the Akol Hill at Barnag. – *Földtani Közlöny* **152/3**, 233–258. https://doi.org/10.23928/foldt.kozl.2022.152.3.233

Manuscript received: 27/11/2023

Magyarhoni Földtani Társulat
Földtani Közlöny
Hungarian Geological Society

154/2, 133–148., Budapest, 2024

DOI: 10.23928/foldt.kozl.2024.154.2.133

Disparity, diversity and body size changes of the Toarcian Spiriferinides (Brachiopoda, Lower Jurassic) in the westernmost Tethys

García Joral, Fernando[1], Baeza-Carratalá, José F.[2], Comas-Rengifo, María José[1], Goy, Antonio[1]

[1]Departamento de Geodinámica, Estratigrafía y Paleontología, Universidad Complutense de Madrid, 28040 Madrid, Spain
[2]Departamento de Ciencias de la Tierra y del Medio Ambiente, Universidad de Alicante, San Vicente del Raspeig, 03080 Alicante, Spain

Diszparitás, diverzitás és méretváltozás a toarci Spiriferinidáknál (alsó jura, Brachiopoda) a Tethys legnyugatabbi területein

Összefoglalás

Az Ibériai-masszívumot körülvevő spanyol és portugál medencék Spiriferinida-szukcessziója világviszonylatban is a csoport egyik legteljesebb és legjobban ismert fosszilis rekordját jelenti. Annak ellenére, hogy a csoporton belüli faji diverzitás alacsony, az Ibériai-masszívumot körülvevő medencékből a paleozoikum utáni fontosabb morfotípusok ismertek. Ilyen módon ezek az alakok közvetlenül a kora toarci tömeges kihalási esemény előtt „az elveszett Éden" utolsó képviselőinek tekinthetők. A brachiopodák morfológiai és testméretváltozásait a tömeges kihalás idejének megfeleltethető késő pliensbachi – kora toarci során a *Liospiriferina*-nemzetség réteg szerint gyűjtött maradványain vizsgáltuk. A cél a morfológiai változások vizsgálata volt az adott időszakra jellemző hipertermális esemény tükrében. A példányok az Ibériai-hegység két szelvényéből származnak. Az eredmények azt mutatják, hogy a csoport diverzitásának kezdeti hanyatlása és a korai méretcsökkenés a toarci elején bekövetkezett első komolyabb felmelegedési epizóddal állítható párhuzamba. A nemzetség utolsó képviselőinél megjelenő nagy méretű formák pedig feltehetően a tengervíz rövid ideig tartó, de erős lehűlésével kapcsolatosak. Ez a lehűlés két jelentős felmelegedési szakasz közé ékelődött, és ez lehetett a Spiriferinida-klád kihalásának kiváltó oka.

Tárgyszavak: brachiopoda, Spiriferinida, Liospiriferina*, jura, toarci, Tethys, Ibériai-masszívum*

Abstract

The fossil record of the Order Spiriferinida in the Toarcian basins surrounding the Iberian Massif (Spain and Portugal) is exposed as one of the most well-known, complete, and continuous worldwide. Despite the low specific diversity intrinsic to this group, the peri-Iberian basins include representatives of the main different morphological types recognized throughout the post-Paleozoic history of the group, representing the ultimate "Lost Eden" for this clade before its definitive demise in the Early Toarcian Mass Extinction Event (ETMEE). The changes in morphology and body size observed during the latest Pliensbachian–earliest Toarcian, corresponding to the Extinction interval of the ETMEE, are analyzed in specimens of the genus Liospiriferina carefully recorded bed by bed in two stratigraphical sections of the Iberian Range, in order to stablish their detailed relationship with the evolution of the seawater temperature during this hyperthermal event. This analysis has revealed an initial decrease in diversity and size coinciding with the first important warming episode at the beginning of the Toarcian, while the big sizes observed in the last representatives of this genus probably correspond with a short but intense event of seawater cooling, intercalated in the severe warming episode that most probably was the main triggering factor of the spiriferinide clade extinction.

Keywords: Brachiopoda, Spiriferinida, Liospiriferina, *Jurassic, Toarcian, Tethys, Iberian Massif*

Introduction

The Lower Jurassic spiriferinides (Order Spiriferinida Ivanova, 1972) together with the ultimate representatives of the Order Athyridida Boucot et al., 1964, constituted the only spire-bearing groups recorded in the Mesozoic in contrast with the extraordinary proliferation of these clades in the Paleozoic times. These orders became extinct coinciding with the last clade (or "fatal") extinction (*sensu* Vörös et al. 2019) in the evolutionary history of brachiopods, occurred in a timespan with critical perturbations in the environmental conditions of marine ecosystems, culminating ca. 183 Ma in the so-called Early Toarcian Mass Extinction Event (ETMEE). Remarkably, the extinction of the Paleozoic spire-bearing brachiopods also coincided with preceding events matching with the concept of "fatal extinctions" introduced by Vörös et al. (2019) to denote those episodes of synchronous extinction of high-grade taxa. It can therefore be stated that the last three fatal extinctions in the history of brachiopods especially affected the spire-bearing groups (Vörös et al. 2016, 2019), i.e., the Devonian crisis extinguishing Atrypida; the End-Permian extinction affecting Spiriferida; and the ETMEE where Spiriferinides and Athyridides became extinct (Vörös 2002; García Joral et al. 2011; Baeza-Carratalá et al. 2015, 2017; Vörös et al. 2016, 2019), excluding those from New Zealand attributed to *Spiriferina* by MacFarlan (2023), occurring in the Bifrons Zone, c.a. 1 Ma post-ETMEE. No other order of brachiopods became extinct since this last event.

On the other hand, another of the many inspired ideas put forward by Attila Vörös throughout his prolific career was to consider the Jurassic spiriferinides (along with the athyridides) as a "Dead Clade Walking" (*sensu* Jablonski 2002), alluding to their low diversity after surviving the severe end-Triassic extinction event and remaining in decline in the Early Jurassic (Vörös et al. 2016, 2019) up to their total extinction in the critical perturbation of the ETMEE. Thus, representatives of the Order Spiriferinida are profusely and widely recorded throughout the Western Tethys in the Early Jurassic but, despite their conspicuous occurrences, they have been arranged only in a very few long-established genera (e.g., Rousselle 1977; Manceñido 1981, 2004; Dulai 2003; Vörös et al. 2003; Carter & Gourvennec 2006; Comas-Rengifo et al. 2006; Vörös 2009; Mandl et al. 2010; He et al. 2015; Baeza-Carratalá et al. 2016c) denoting a relatively low supraspecific taxonomic diversity in contrast to their great abundance.

Likewise, another awe-inspiring concept put forward by Vörös was to consider the Western Tethys Ocean as the "Lost Eden" for brachiopods (Vörös 1993, 2005; Vörös et al. 2016) representing the most important refuge for this epibenthic biota during the different Mesozoic biotic crises, including that of the ETMEE in which the spire-bearing groups finally became extinct.

These three aforementioned concepts introduced and developed by Attila Vörös over the last decades have become a paradigm that supports outstanding interpretations on the palebiogeographic distribution and on the different adaptive strategies undertaken by different Jurassic brachiopod groups, especially around the ETMEE. In the framework of these precepts, the present work analyzes the changes and adaptations experienced by the last spiriferinides in the westernmost part of the Tethys Ocean during the Early Toarcian. The morphology and body size variations of representatives of this clade over time around ETMEE are quantified and their morphospaces are explored on the basis of the dataset derived from the marginal peri-Iberian platforms system, where spiriferinides have exposed the most complete record preceding their definitive extinction, postulating the sea-water temperature oscillations as a primary factor of environmental control just prior to the hyperthermal maximum recorded in the basal part of the Serpentinum Chronozone (García Joral et al. 2011; Gómez & Goy 2011; Caruthers et al. 2013; Danise et al. 2013; Baeza-Carratalá et al. 2015, 2017; Krencker et al. 2020, Ruebsam et al. 2020; Fernandez et al. 2021; Bucur & Reolid 2023), just coinciding with the spiriferinides global demise.

Paleobiogeografic distribution of Jurassic spiriferinides

Jurassic spiriferinides have a worldwide distribution from the Hettangian to the early Toarcian, although most of their known records are comprised in the Western Tethys. In the Pliensbachian, a very high number of spiriferinide species have been described in basins belonging to different bioprovinces of this area (e.g., Alméras & Fauré 2000, Comas-Rengifo et al. 2006, Elmi et al. 2007, Vörös 2009, Baeza-Carratalá 2013, Benzaggagh 2023). However, they disappeared in the Toarcian in many basins of the Mediterranean Province, which typically includes more epioceanic areas than the Euro-Boreal one (cf. Vörös & Escarguel 2019). The westernmost part of the Tethys Ocean and its connection with the proto-Atlantic, together with the North-Gondwanan Paleomargin, seems to have represented a last refuge (the final relict of the "Lost Eden") for spiriferinides in the Early Toarcian (*Fig. 1A*).

As representatives of this ultimate refuge, the specimens herein analyzed derive from the Lower Jurassic peri-Iberian platforms system, constituted by different basins surrounding the Iberian Massif which, in paleogeographical and geotectonic terms, was operating as an isolated microplate during most of the Mesozoic times. The Jurassic peri-Iberian platforms system constituted, together with the Southern Betic unities (corresponding to the Alborán microplate margins) and the North-African margins, the westernmost marine environments and sub-environments of the Tethys Ocean. In the late Early Jurassic, the proto-Atlantic seaway connected this part of the Tethys with the Arctic and the Panthalassa via the Viking and the Hispanic Corridors (e.g., Poulton & Callomon 1977; Smith 1983; Manceñido 1990, 2002; Manceñido & Dagys 1992; Damborenea 2000; Bjerrum et al. 2001; Aberhan 2001; Sha 2002; García

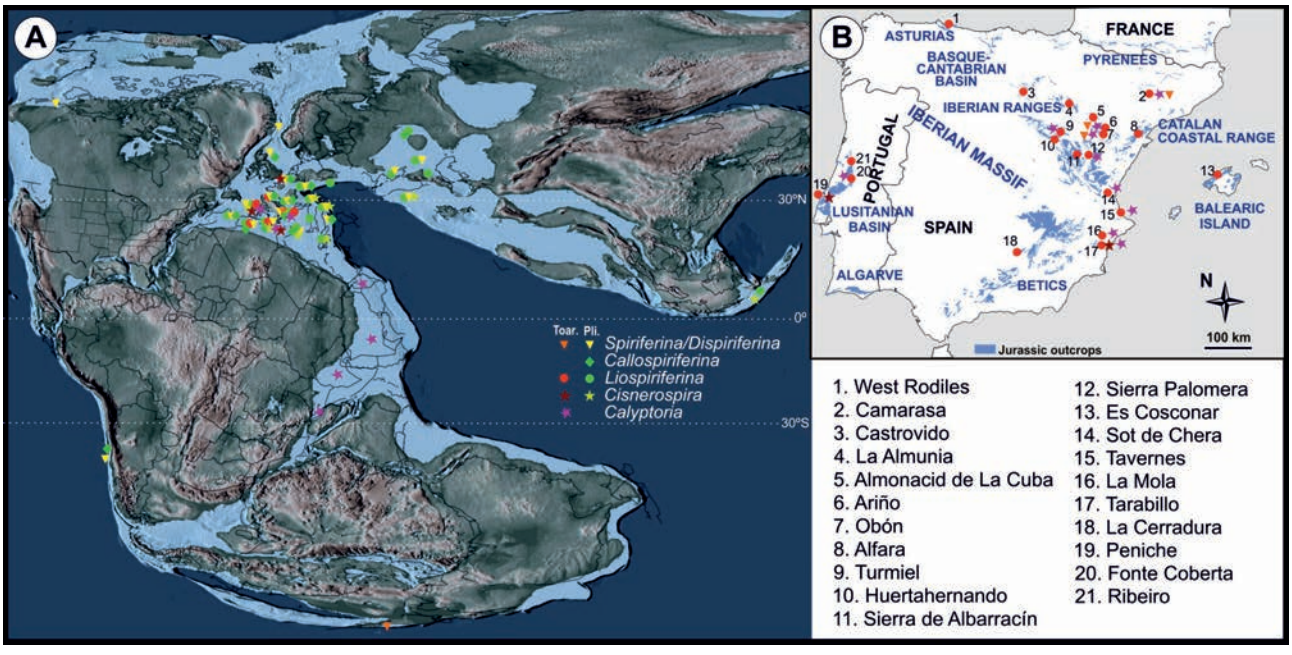

Figure 1. (A) Paleobiogeographic distribution of the Pliensbachian (greenish symbols) and Toarcian (reddish symbols) genera of spiriferinides. Data from the Paleobiology Database, consulted in December 2023, supplemented with data after Alméras & Fauré (2000), Alméras et al. (2007), Vörös (2009), Baeza-Carratalá (2008, 2013), and Benzaggagh (2023). Paleomap after Scotese (2013). (B) Toarcian spiriferinide genera recorded in selected localities from the peri-Iberian basins. Data sources after Comas-Rengifo (1982), Fernández-López et al. (1998), Comas-Rengifo et al. (1999, 2006, 2013, 2015, 2018a, 2018b), García Joral & Goy (2009), García Joral et al. (2011, 2022), Baeza-Carratalá et al. (2016a, 2016b, 2017, 2018). Symbols as in (A)

1. ábra. *(A) A Spiriferinida-nemzetségek paleobiogeográfiai elterjedése. A pliensbachi előfordulások zöld színnel, a toarciak vörössel jelölve. Az adatokat a Paleobiology Database-ből 2023 decemberében töltöttük le, és kiegészítettük Alméras & Fauré (2000), Alméras et al. (2007), Vörös (2009), Baeza-Carratalá (2008, 2013) és Benzaggah (2023) adataival. A paleogeográfiai térkép Scotese (2013) nyomán készült. (B) Toarci Spiriferinida nemzetségek néhány lelőhelyen a Peri-Ibériai-medencében. Az adatok Comas-Rengifo (1982), Fernández-López és társai (1988), Comas-Rengifo és társai (1999, 2006, 2013, 2015, 2018a, 2018b), García Joral & Goy (2009), García Joral és társai (2011, 2022), Baeza-Carratalá és társai (2016a, 2016b, 2017, 2018) nyomán. Jelkulcs, mint az (A) ábrán*

Joral et al. 2011). The most relevant localities containing Early Toarcian spiriferinides in these basins have been indicated in the *figure 1B*.

Interestingly, the spiriferinide genera that settled in this area show a morphological disparity in accordance with that shown by the group throughout the Early Jurassic. In this sense, Vörös et al. (2016), taking into account the outline and global shape, differentiated three basic morphogroups among the Lower Jurassic spiriferinides: biconvex, winged, and cyrtiniform. On the other hand, Comas-Rengifo et al. (2006), bearing in mind the ribbing pattern of the shell, considered a different arrangement based on the record of this group derived from the northern and eastern peri-Iberian basins, discriminating the fully ribbed, smooth, and sparsely ribbed (including capillate) morphogroups. Combining both criteria, it can be deduced that all the four resulting morphogroups recorded throughout the Early Jurassic are also systematically represented during the Early Toarcian in the peri-Iberian basins (*Fig. 2*), i.e., *Cisnerospira* (smooth-cyrtiniform), *Spiriferina* (ribbed-winged), *Liospiriferina* (smooth-biconvex), and *Calyptoria* (capillate or scarcely ribbed-biconvex). In fact, this disparity is basically the same as that observed among spiriferinides in the Triassic, when the group expanded and filled the vacant eco- and morphospaces left after the disappearance of their Paleozoic relatives Spiriferides after the Permian–Triassic mass extinction (Guo et al. 2020).

Geological framework and chronostratigraphic record of spiriferinides around the Iberian paleomargins

In most of the peri-Iberian basins, the Lower Toarcian deposits are arranged in expanded stratigraphic sequences in which spiriferinides have been widely and profusely reported since the 18th century (e.g., Torrubia 1754; Deslongchamps 1863; Jiménez de Cisneros 1921, 1923; Dubar 1931; Delance 1969; Comas-Rengifo & Goy 1975; Rousselle 1977; Calzada 1979; Goy et al. 1984; Arias et al. 1992; Fernández-López et al. 1998; García Joral & Goy 2000, 2009; Gahr 2002; Comas-Rengifo et al. 2006, 2013, 2015; García Joral et al. 2011, 2022; Baeza-Carratalá 2011, 2013; Baeza-Carratalá et al. 2016a, 2016b, 2017, 2018). For the sake of consistency, the well-stablished record of spiriferinide taxa along the Tenuicostatum (Polymorphum)–Serpentinum chronozones in the peri-Iberian basins have been summarized in four regions on the basis of their paleobiogeographic situation and differences among depositional environments: i.e., those forming part of the East-Iberian Platforms System (*EIPS*: Iberian Range, Catalonian Coastal Range and the Balearic Basin); the *Northern-Cantabrian paleomargin* (Asturias and Basque-Cantabrian Basins); the *Atlantic paleomargin* (Lusitanian Basin); and the *South-Iberian paleomargin* (Subbetic-Alborán regions).

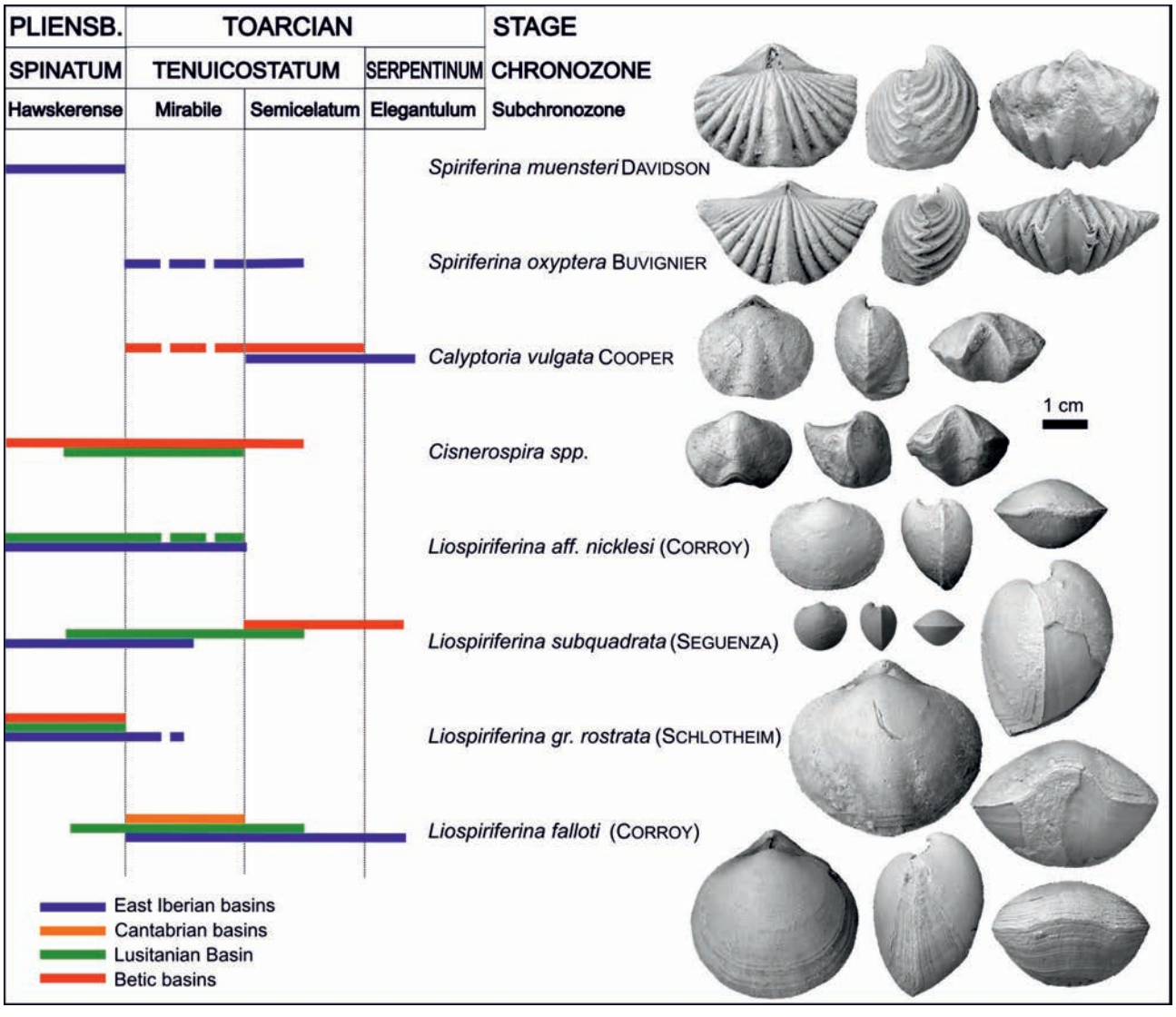

Figure 2. Chronostratigraphic distribution of the spiriferinides in the peri-Iberian basins. Photographs refigured from Comas-Rengifo et al. (2006) except for *L. subquadrata* (from Comas-Rengifo et al. 2013) and *Cisnerospira* spp. (from Comas-Rengifo et al. 2015)

2. ábra. *A Spiriferinidák időbeli elterjedése a peri-Ibériai-medencékben. Fotók: Comas-Rengifo et al. (2006) nyomán, kivéve* L. subquadrata *(Comas-Rengifo et al. 2013) és* Cisnerospira *spp. (Comas-Rengifo e al. 2015)*

The chronostratigraphical range of the main recorded taxa in the four established regions is shown in *Figure 2*.

EIPS – Representatives of Spiriferinida in this region are recorded in the Iberian Range within the Turmiel Fm., in a depositional environment representing a shallow epicontinental platform. These deposits consist of an alternation of well-bedded grey/yellowish marl and micritic mudstone beds arranged into deepening and shallowing-upwards sequences (Gómez & Goy 2000). These marly facies are deposited overlying the red bioclastic grainstone-packstone beds of the Upper Pliensbachian-lowermost Toarcian Barahona Fm. where spiriferinides are recorded as well. In the Catalonian Coastal Range and Mallorca Island, spiriferinides are recorded in a lithostratigraphical framework comparable to that of the Iberian Range, in the last levels of the Barahona Fm. and the first levels of the El Caregol Mb. of the Sant Blai Fm. (Fernández-López et al. 1998), and in the Es Cosconar Fm. and the lower part of Gorg Blau Fm. (Rosales et al. 2018, García Joral et al. 2022) respectively.

South-Iberian Paleomargin – In the easternmost Betic Range (East Spain) spiriferinides are recorded in the Pliensbachian–lowermost Toarcian sediments from the epioceanic External Subbetic area (Baeza-Carratalá 2013), which is characterized by pelagic seamount facies. Most of the taxa are recorded in the upper part of the Gavilán Fm. (late Pliensbachian), consisting of red crinoidal grainstone beds, and the marly levels of the Zegrí Fm. (uppermost Pliensbachian–lowermost Toarcian), consisting of marls and marly/sandy marlstone deposits. In the innermost part of the External Subbetic (La Cerradura, Jaen), the Zegrí Fm. was deposited in a deeper subsiding trough area with an expanded sedimentation and greater cumulative thickness (Reolid et al. 2014, Baeza-Carratalá et al. 2017). Lower Toarcian spiriferinides have been also recorded in the transitional

areas of the Prebetic-Subbetic domains (La Mola, Alicante, E-Spain; Baeza-Carratalá et al. 2016b).

Atlantic paleomargin – In the Lusitanian Basin, spiriferinides are found mainly in Toarcian sediments from the Rabaçal-Condeixa and the Peniche regions. They are recorded in the Coimbra area (Ribeiro and Fonte Coberta sections) in the São Gião Fm. (Comas-Rengifo et al. 2013) as whitish gray marly beds. In Peniche, occurred in the lower member of the Cabo Carvoeiro Fm. (Alméras et al. 1996, Comas-Rengifo et al. 2015). Both formations correspond to low-energy, distal homoclinal ramps, deeper to the west/northwest, typified by hemipelagic sequences and organic-matter-rich facies, where an alternation of marlstone and argillaceous limestone beds prevailed (Duarte 2007).

Northern-Cantabrian paleomargin – Toarcian spiriferinides have not yet been recorded in the Basque-Cantabrian Basin, and are scarce in Asturias, where they come from the Santa Mera Member of the Rodiles Fm., composed of rhythmic alternations of micritic and marly limestones with an episode punctually enriched in organic matter (black shales), interpreted as deposited on a hemipelagic carbonate ramp (García Joral & Goy 2009).

The lithostratigraphic differences and environmental scenarios among the different peri-Iberian basins influenced the characteristics of the spiriferinide record (*Fig. 2*). In the EIPS, which correspond to the best oxygenated areas, this record is more diverse and abundant. In the less oxygenated areas of the north and west of the Iberian Massif, the record basically consists of small specimens of *Liospiriferina*, together with few specimens of *Cisnerospira* and *Calyptoria* in the Lusitanian Basin. In the shallower epioceanic areas of the South-Iberian margin, such as the Subbetic Domain and the transitional zones to the more proximal areas, the record is also diversified throughout the Early Jurassic, similarly to that which took place in the EIPS, with standard-sized *Spiriferina, Callospiriferina, Dispiriferina, Liospiriferina*, and *Cisnerospira* as the main representative genera, but only *Cisnerospira* and *Calyptoria* persisted up to the uppermost Early Toarcian record, while the more restricted Betic troughs became deeper refuges, promoting the development of small *Liospiriferina* species and specimens just like those occurring in the Cantabrian and Lusitanian basins.

Evolutionary patterns of the last peri-Iberian spiriferinides

As previously stated, peri-Iberian spiriferinides preserve a remarkable morphological disparity in the Early Toarcian. Therefore, diversity dynamics in this group seems to have experienced significant changes, with a notable reduction if compared to the Pliensbachian diversity maximum (Comas-Rengifo et al. 2006).

The earliest important change took place concurring with the initial episode of the biotic crisis, which was considered by several previous authors as a multi-phase event (cf. Little 1996; Macchioni & Cecca 2002; Wignall & Bond 2008; Dera et al. 2010; Caruthers et al. 2013; Arias 2013; Baeza-Carratalá et al. 2015, 2017; Rita et al. 2016; Reolid et al. 2021). This earlier episode occurred at the beginning of the Tenuicostatum Chronozone, in a period of changes in long-term environmental conditions prior to the ETMEE boundary. In this first phase, while spiriferinides virtually disappeared in a great number of basins of the Mediterranean Bioprovince (Vörös 2005, Baeza-Carratalá 2013), in some peri-Iberian areas, as the EIPS, Pyrenees, or in the Northwestern African basins, spiriferinides still occurs, but their diversity decreased (cf. Comas-Rengifo et al. 2006). Simultaneously, in less oxygenated habitats, such as the Cantabrian and the Lusitanian basins, only some small-sized species thrived (Alméras et al. 1996; García Joral & Goy 2009; Comas-Rengifo et al. 2013, 2015).

The second phase of the biotic crisis is recorded in the last stratigraphic levels prior to the extinction boundary, in the uppermost Semicelatum Subchronozone and the first levels of the Elegantulum Subchronozone. The spiriferinides recorded in this interval (*Fig. 2*) correspond only to the biconvex *Liospiriferina*), considered as the most conservative and generalist morphotype (cf. Vörös et al. 2019), and *Calyptoria*, an immigrant who arrived just at this time from lower latitude areas (Baeza-Carratalá et al. 2018).

This decline in diversity follows the same global dynamics documented for all brachiopod clades in the Toarcian. In the Mediterranean Bioprovince, brachiopod diversity was not recovered until the Aalenian–Bajocian times (Vörös 2005, Vörös & Dulai 2007, Baeza-Carratalá 2013, Andrade et al. 2016). In the extinction interval some typical groups of this bioprovince show strategies to escape from unfavorable environmental conditions established in their homeland areas, moving towards deep refugia, such as the southernmost subsiding troughs in deeper-water settings of the Subbetic domain (Baeza-Carratalá et al. 2017), or migrating from the most intra-Tethyan areas up to some NW-European epicontinental seas (Vörös 2002, Baeza-Carratalá et al. 2015), where they found a suitable habitat to colonize. In other westernmost Tethys shallower regions (EIPS, Pyrenees, or several basins in the southern and western France), taxa of the NW-European Province persisted, although they underwent a remarkable renewal at species-level, entailing in some cases a size reduction stage (García Joral et al. 2011, Baeza-Carratalá et al. 2015, Piazza et al. 2020a).

Several of these new species survived up to the last stratigraphic levels prior to the extinction, when all the brachiopod species (and most of the genera) disappeared from the peri-Iberian basins and many other Western Tethys areas. Recovery and repopulation with new species, adapted to much warmer conditions (Ulmann et al. 2020), begun in several basins after a relatively short delay (cf. García Joral et al. 2011, Andrade et al. 2016).

Climate changes, and more specifically seawater temperature variations, were likely the most important triggering factors for these evolutionary patterns. Seawater temperature variations have been linked by Guo et al. (2020) to

the diversity fluctuations among Triassic spiriferinides, so that major cooling events of seawater temperatures in the Anisian and Carnian seem to have facilitated the recovery of the spiriferinides and their radiation in the Triassic, and their noticeable diversification in the Late Pliensbachian coincides with another major cooling (icehouse) interval as well (Price 1999, Gómez et al. 2008, Gómez & Goy 2011, Rosales et al. 2018, Ruebsam et al. 2020). The brachiopod migration and dispersal movements observed at the Pliensbachian–Toarcian boundary can be correlated with the first warming pulse of the Early Toarcian Biotic crisis (Baeza-Carratalá et al. 2015, 2017), estimated to be approximately in 5 °C (Ruebsam et al. 2020, Fernandez et al. 2021) and can be interpreted as the probable response of most species to the geographic shift in their thermal optimum due to this global warming episode.

After a relative sea-water temperature cooling in the mid-Tenuicostatum Chronozone, a drastic rise of 10° C occurred concomitantly with the onset of the Early Toarcian Oceanic Anoxic Event near the Tenuicostatum–Serpentinum chronozones boundary (Ruebsam et al. 2020). The variation in the oxygen-isotope ratios ($\Delta^{18}O$) recorded in many basins of the Western Tethys corresponding with this severe warming episode shows the most negative excursion values in basins located at latitudes above 30°N, and the least negative (or even positive) values in lower latitude basins, such as the peri-Iberian and North African basins (Fernandez et al. 2021, Gambacorta et al. 2024). These variations should reflect not only temperature variations, but also a strong North–South salinity gradient, possibly due to the southward currents flow through the Viking Corridor of brackish waters derived from the Arctic (Bjerrum et al. 2001) and the progressive increase in runoff and fresh-water inputs to the epicontinental basins and sub-basins of northern Europe in correspondence with the general increase in temperature (Gambacorta et al. 2024). Thus, either because the water temperature was even higher in the areas located north of the peri-Iberian basins, or because they had too low levels of salinity or oxygen, the surviving spiriferinides (like the rest of the brachiopod species in these basins) did not manage to escape the hyperthermal event by moving to places further north.

Morphology, size changes and seawater temperature in the Toarcian *Liospiriferina* from the Iberian Basin

Analyzing the body-size changes in the brachiopods recognized in the Extinction interval prior to the ETMEE from the peri-Iberian basins, García Joral et al. (2018) found two crossing trends involving not only latitudinal and temporal gradients but also environmental factors. On one hand, a diminishing tendency in the brachiopods body size is noticed from shallower and well-oxygenated regions to the muddy and oxygen-depleted bottoms, in line with what was observed in the Western Tethys as a whole in the first phase of the biotic crisis. On the other hand, an increasing-size trend over time is revealed in some species in all the peri-Iberian basins. The first tendency affected the taxonomic composition of the assemblages, so that the larger species are recorded to the east of the Iberian Massif whereas the smaller ones occurred in the northern and western peri-Iberian platforms.

The increasing-size trend over time is related to within-species changes affecting the intraspecific size of individuals throughout the extinction interval. This increase is revealed in the most profusely recorded taxa and it is independent of their standard size, affecting both the large spiriferinides in the most favorable habitats prevailing in the Iberian Basin and the small rhynchonellides and koninckinides in more adverse conditions from the Cantabrian and Lusitanian basins (García Joral et al. 2018).

Regarding this size increasing trend, experienced, among others, by the last representatives of the genus *Liospiriferina* in the Iberian Range, it seems to be inconsistent with the customary global postulation expecting an inverse relationship between size and temperature in numerous organism groups, the so-called "Bergmann's Rule" or the temperature-size rule (TSR). According to this "rule" ectotherm organisms acquire the mature ontogenetic conditions at smaller adult body size in warmer conditions (Atkinson 1994), although compliance with this rule is not so evident in the case of brachiopods (cf. Peck & Harper 2010).

In this way, Piazza et al. (2020a, 2020b) carried out a comprehensive analysis on the bivalve and brachiopod body size variation from a single lower Toarcian locality of the Iberian Basin, concluding that a decreasing-size pattern of benthic communities was linked to the increasing of the seawater temperatures during the extinction interval, admitting a more manifest relationship when analyzed in bivalves and less statistically evidenced in brachiopods. These authors also remarked that the key factor of size reduction was a decrease in the occurrence and abundance of larger species rather than a within-species change in size. In the case of brachiopods, this trend is supported by the presence of *Soaresirhynchia bouchardi*, which is an opportunistic taxon that colonized the basin from deeper and warmer waters after the ETMEE (cf. Baeza-Carratalá et al. 2017, Ullmann et al. 2020). However, in other areas, such as the Lusitanian Basin, *S. bouchardi* shows larger size than those brachiopods occurring prior to the extinction boundary (cf. Comas-Rengifo et al. 2013, 2015; Piazza et al. 2019). Excluding *S. bouchardi,* the coupling of brachiopod size changes with the increasing of sea-water temperatures is not statiscally significant along the Tenuicostatum Zone (Piazza et al. 2020a).

In order to better understand the effect of the sea-water temperature in the brachiopod body sizes, a more detailed comparative analysis has been now performed taking into account not only the changes in body size, but also morphological patterns and morphospace occupation recorded in the Iberian Basin among the spiriferinide representatives assigned to the genus *Liospiriferina*, which represents the

only of the four genera with a certified continuous record in the peri-Iberian paleomargins during the uppermost Pliensbachian – lower Toarcian interval. Simultaneously, these changes are interrelated with the paleotemperature pattern derived from the sea-water temperature curves estimated by the different authors for this basin.

A total number of 345 specimens of *Liospiriferina* Rousselle, 1977 were included in the analysis, all of them collected and studied bed-by-bed in the Almonacid de la Cuba (after Comas-Rengifo et al. 2010) and the Ariño localities (after Goy et al. 1998, García Joral et al. 2011), spanning the uppermost Pliensbachian – lower Toarcian deposits throughout the Hawskerense, Mirabile, and Semicelatum subzones. The extensive record of spiriferinides in the Semicelatum Subzone, that probably represents a longer time interval that of the Mirabile subzone, have been divided in two parts (lower and upper part of the Subzone) for a more detailed analysis. All specimens analyzed are deposited at the Department of Geodynamics, Stratigraphy and Paleontology (Universidad Complutense de Madrid, Spain; DPUCM). With the purpose of analyzing the morphologic variability and the size changes over time, the main biometric parameters suggested by Manceñido (1981) for the characterization of the spiriferinides were directly measured on the 252 complete available specimens (*Fig. 3*): total length (L), width (W), thickness (T), dorsal valve length (Ldv), distance from the apex to the maximum width of the shell (Wm), height of the cardinal area (Ha), width of the dorsal median fold (Wf), and maximum height of the fold in the anterior commissure (Hf). Subsequently, Principal Component Analysis (PCA) was conducted as exploratory method for variable reduction (Hammer & Harper 2006) using a correlation matrix instead of variance-covariance, considering that there is a great difference in the width of the range of values between some variables and others. The correlation matrix is more appropriate when the ranges of values are different because it standardizes the data so that all variables contribute equally to the analysis These analyses and successive statistical explorations were carried out by means of the PAST 3.22 software package (Hammer et al. 2001). The labelling of the specimens studied at each stratigraphic level and their measurements are included as supplementary material. Correlation of size, diversity, and disparity changes with seawater paleotemperatures are based on temperature curves published by different authors. The ammonoid chronostratigraphic zonal scheme is based on the standard zones proposed by Elmi et al. (1997), and Page (2003) for the Tethys Realm.

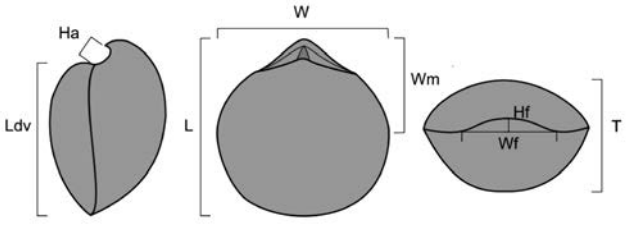

Figure 3. Main biometric parameters measured on *Liospiriferina* specimens from Almonacid de la Cuba and Ariño localities: L: total length; W: width; T: thickness; Ldv: length of the dorsal valve; Wm: length from the apex to the maximum width; Ha: Height of the cardinal area; Hf: height of the dorsal anterior fold; Wf: width of the dorsal anterior fold

3. ábra. *Az Almonacid de la Cuba és az Ariño lelőhelyekről származó* Liospiriferina*-példányokon mért fontosabb méretek. L: teljes hosszúság; W: szélesség; T: vastagság; Ldv: a dorzális teknő hossza; Wm: a csúcstól a legnagyobb szélességig mért távolság; Ha: a cardinális terület magassága; Hf: a dorzális anterior kiemelkedés magassága; Wf: a dorzális anterior kiemelkedés szélessége*

By correlating all the main biometric parameters using a correlation matrix (*Table I*), it can be deduced that all of them are closely related ($p < 0.05$). The lowest correlation values are observed for the height of the cardinal area (Ha) and the height of the dorsal median fold (Hf), these revealed as the most independent parameters, and consequently being responsible for the greatest shape variations non-aligned with the body-size.

The PCA plot (*Fig. 4*) also reveals that morphospaces occupation varied over time, mainly along the PC2 axis. The specimens recorded in the uppermost Pliensbachian (Hawskerense Subzone of the Spinatum Zone) occupied a much greater range along this axis than those recorded in the Tenuicostatum Zone (Mirabile and Semicelatum subzones) from the lowermost Toarcian. This wide-range variability in the PC2 scores corresponds to the great morphological variability observed among spiriferinides from the Late Pliensbachian of the Iberian Range, that have led to the taxonomic determination of several species assigned to the genus *Liospiriferina*, such as *L. rostrata* (Schlotheim), *L. terebratuloides* (Seguenza), *L. hartmani* (Zieten), *L. falloti* (Corroy) and some other taxa (cf. Comas-Rengifo et al. 2006) which have been grouped as *Liospiriferina* gr. *rostrata* in the *Figure 2*.

However, the morphological variability of the *Liospiriferina* specimens from the Mirabile and Semicelatum subzones is considerably lower than in the Hawskerense Subzone, as indicated by the reduction in the morphospaces occupied in the PCA plot, so that, in our opinion, all these specimens can be assigned to a single species, *L. falloti*, which corresponds to a simplified morphology, less folded and with the cardinal area less curved, among the *L. rostrata* group. The decrease in variability is concurring in the Mirabile Subzone and in the lower part of the Semicelatum Subzone with a significant reduction in size of the individuals, indicated by the contraction of the PC1 scores. This miniaturization has been related in the Iberian Basin to the first episode of the ETMEE, that as previously explained, consists of the replacement of some species of brachiopods by other smaller ones within the same genus (e.g. *Lobothyris*, *Aulacothyris*, *Quadratirhynchia*, *Gibbirhynchia*), also involving the genus *Liospiriferina* (cf. García Joral & Goy 2000, García Joral et al. 2011). On the other hand, while the variation in the morphological variability between the specimens of the two Toarcian subzones can be interpreted as scarce from the wide-ranging PC2 scores, the size of the specimens (estimated, given the rounded style of the shells, as the volume of an ellipsoid whose three axes correspond to the main dimensions of the shell: length, width and thickness, as proposed by Guo et al, 2022) changed noticeably,

Table I. Below, colored: Linear correlation coefficient (*r*) between the measured dimensions. Above: *p* (uncorrected) values of normality. In red boxes *r* values lower than 0.5; in orange boxes *r* values between 0.5 and 0.7. All *p* values are lower than 0.05. Biometric abbreviations as in *Figure 3*

I. táblázat. *Alul, színesben: a mért értétek közötti lineáris korrelációs együttható (*r*). Fent:* p *(nem korrigált) normalitás értékek. Piros dobozokban a 0,5-nél alacsonyabb* r *értékek; narancssárga dobozokban a 0,5 és 0,7 közötti* r *értékek. Minden* p*-érték 0,05-nél alacsonyabb*

	W	L	T	Ha	Ldv	Wm	Hf	Wf
W		4.62E-100	2,3213E-85	3,6902E-28	3,0854E-95	2,05E-63	5,7695E-25	4,1407E-67
L	0.91422		3.9224E-88	7.741E-25	1.5811E-127	2.2496E-78	5.5253E-21	7.2435E-76
T	0.88588	0.8919		9.7245E-17	2.5313E-81	2.1232E-65	1.7226E-30	7.9129E-49
Ha	0.62002	0.5881	0.4916		1.4863E-18	5.651E-15	5.9645E-07	2.4674E-22
Ldv	0.90584	0.94919	0.87646	0.51608		1.1784E-69	9.2537E-17	1.2457E-65
Wm	0.82325	0.86905	0.83023	0.46578	0.8442		5.2912E-12	2.2602E-47
Hf	0.58939	0.54603	0.64043	0.30833	0.4919	0.41666		3.0369E-20
Wf	0.83601	0.86238	0.7607	0.56146	0.83103	0.75316	0.53722	

decreasing in the Mirabile Subzone and in the lower part of the Semicelatum Subzone and increasing in the upper part of the Semicelatum Subzone (*Fig. 5*).

Thus, the restriction of the morphological variability detected in the *Liospiriferina* individuals from the morphospace occupation resulting in the PCA analysis (*Fig. 4*), as well as the size decreasing episode identified in the Mirabile Subzone (*Fig. 5*), can be related to the first stages of the Early Toarcian Biotic Crisis. However, size-changes pattern in the rest of the Tenuicostatum Zone probably needs a further interpretation.

Regarding the sea-water paleotemperatures, a number of previous authors have profusely studied their oscillations in this timespan through different methods and techniques, both globally and regionally in the peri-Iberian platforms system (Bailey et al. 2003; Rosales et al. 2004, 2018; McElwain et al. 2005; Gómez et al. 2008; Comas-Rengifo et al. 2010; Gómez & Goy 2011; Danise et al. 2019; Piazza et al. 2019, 2020a; Ruebsam et al. 2019, 2020; Fernandez et al. 2021). Most of these works were based on the changes in the O^{16}/O^{18} isotopic ratio analyzed in belemnites rostra, and bivalves or brachiopods shells. Recently, the oscillation curve presented by Ruebsam et al. (2020), based on the TEX86 paleotemperature proxy (Schouten et al. 2004) provides a

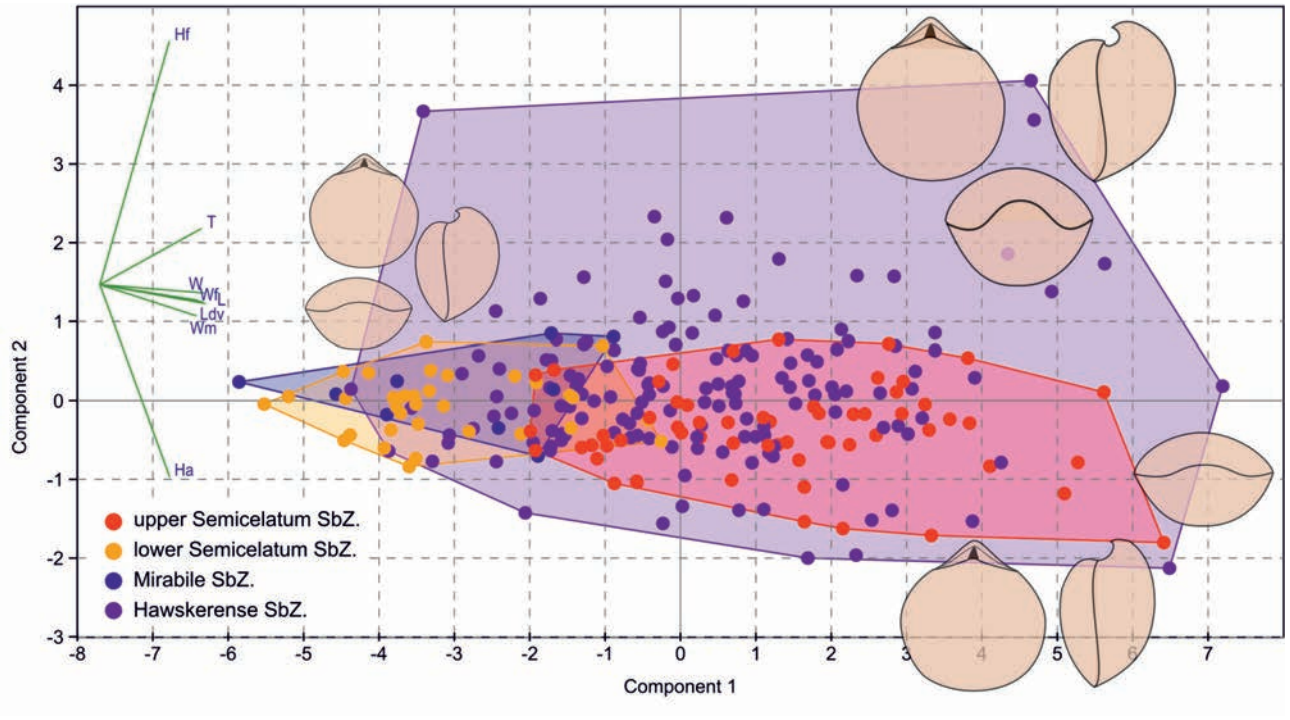

Figure 4. Morphometric scatter diagram of the analyzed representatives of *Liospiriferina* from the Iberian Basin, showing the morphospaces defined by the first two axes of the Principal Component Analysis (PCA). Clusters take into account the distribution over time. Dimensional vectors have been plotted to show the main discriminating factors

4. ábra. *Az Ibériai-medencéből származó* Liospiriferina*-példányok morfometriai szórásdiagramja; a morphospace-t a főkomponens-analízis első két tengelye határozza meg. A klaszterek az időbeliséget érzékeltetik. A dimenziós vektorok a fő megkülönböztető faktorokat mutatják*

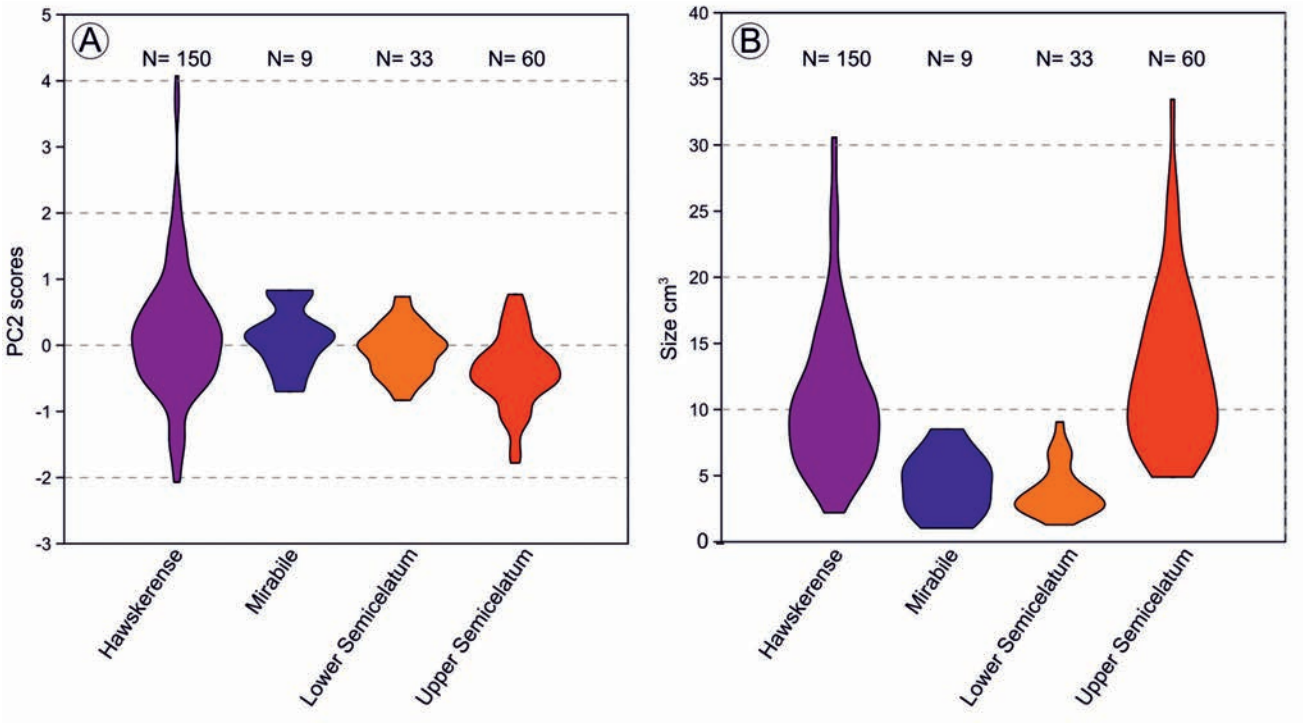

Figure 5. Spindle diagrams of the PCA2 scores (A) and size (B) (estimated volume in cm^3) of the measured specimens of *Liospiriferina* in the studied time intervals. Width of the spindles correspond to the proportion of individuals of each interval of values within the same temporal interval

5. ábra. *Az adott időszakban vizsgált* Liospiriferina*-példányok főkomponens-analízisének dobozdiagramja. A: méreteloszlás; B: becsült térfogat cm^3-ben. A dobozok szélessége arányos az egyes értékintervallumokban szereplő egyedek számával*

different perspective and seems to be useful to explain generalized climate change episodes at a regional scale.

To further refine the comparison between size and temperature in the studied *Liospiriferina*, their changes in body size have been confronted in the *Figure 6* with the most detailed temperature curves obtained in the Iberian Range and the SST (Sea Surface Temperature) curve calculated by Ruebsam et al. (2020), which is considered to reflect the annual mean temperature in the upper mixed layer of the ocean on a regional scale. Despite the differences in the temperature data revealed in these studies, and although in the case of the Almonacid de la Cuba stratigraphic section the data do not reach the upper part of the Semicelatum Subzone, a general paleotemperature pattern can be extracted for the Iberian Basin. It seems that, after the important warming episode occurred in the lowermost early Toarcian, fluctuation of cooling and warming periods took place at the time corresponding to the upper part of the Mirabile Subzone and the lower part of the Semicelatum Subzone, followed by a hyperwarming event in the uppermost part of this last Subzone, which may have been of 10 to 15 °C until the end of the Elegantulum Subzone (cf. Gómez & Goy 2011). In La Almunia section, where the more detailed curve was obtained, this severe warming episode is disrupted by a short cooling event coinciding with the Tenuicostatum–Serpentinum zones boundary, which is also recorded in other peri-Iberian and North-European basins (Gómez & Goy 2011, fig. 11) and in the SST curve calculated by Ruebsam et al. (2020).

The significant seawater warming occurred at the beginning of the Mirabile Subzone can be reasonably linked to the decrease in size in the studied *Liospiriferina* representatives (*Fig. 6*). The subsequent significant change in size is an increase recorded in the upper part of the Semicelatum Subzone, which is also observed in other brachiopod genera (cf. Baeza-Carratalá et al. 2017, García Joral et al. 2018). This increase can be correlated with the cooling pulse that has been inferred for this time in the sections of the Iberian Basin shown in *Figure 6*. The SST curve of Ruesbam et al. (2020) does not differentiate the two subzones of the Tenuicostatum Zone, but it also indicates an important cooling phase within this zone that possibly coincides in age with that deduced for the Iberian Basin. After this relative cooling, the second and most severe phase of the hyperthermal event took place. The rapid initial warming is correlated in the Ariño section with a notable decrease in size in the last layer belonging to this subzone, immediately followed by an even more notable increase in size in the overlying level already belonging to the Elegantulum Subzone of the Serpentinum Zone, that coincides with the sudden cooling previously commented. These biggest *Liospiriferina* individuals, together with the standard-sized *Calyptoria* recorded in the same levels in Ariño and in some other localities of the peri-Iberian basins, are the last known representatives of the spiriferinides in the Western Tethys.

Therefore, the tendency to increase in size in certain resilient species of brachiopods exposed in our previous work (García Joral et al. 2018), analyzed at Sub-chronozone level, can now be qualified with the more detailed analysis carried out in this work in light of the more accurate

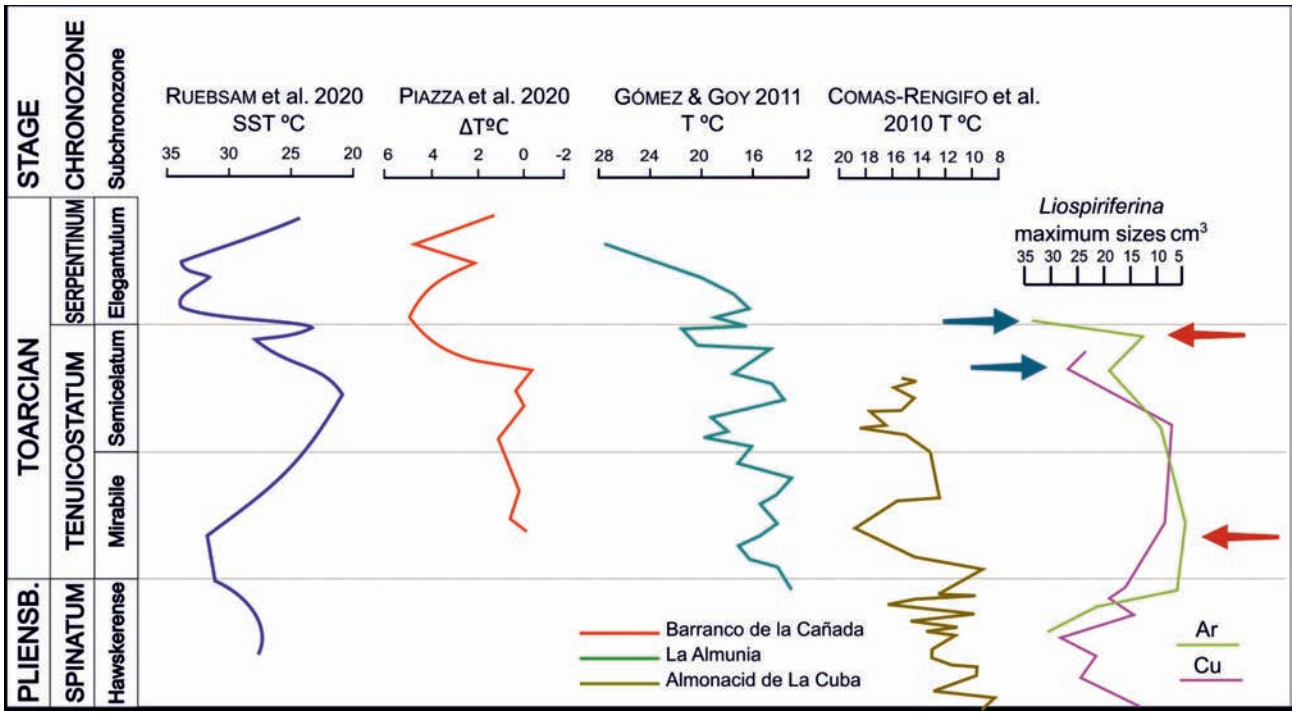

Figure 6. Temperature curves for the extinction interval of the Early Toarcian Biotic Crisis compared with the maximum sizes of the *Liospiriferina* specimens measured in the studied sections. More explanations in the text. Ar: Ariño section; Cu: Almonacid de La Cuba Section

6. ábra. *A kora toarci biotikus krízis idejére eső hőmérsékleti görbék és a* Liospiriferina*-példányok maximális méreteinek összehasonlítása. További magyarázatok a szövegben. Ar: Ariño-szelvény; Cu: Almonacid de La Cuba-szelvény*

temperature and body size data achieved from the Iberian basin. The big size in the *Liospiriferina* specimens – as well as in other representatives of several species – reached in the upper Semicelatum Subzone, could correspond to the cooling episode prior to the maximum hyperthermal event, whereas the even larger size of the last spiriferinides could represent the last heyday of the scarce survivors to the rapid onset of the seawater warming, taking advantage of the short cooling episode around the zonal boundary.

Finally, the severe warming that took place at the beginning of the Serpentinum Chronozone, when the sea-water temperature increased very noticeably (Hu et al. 2020, Ruebsam et al. 2020) seems to have been unbearable for these resilient species.

The Early Toarcian Hyperthermal Event has been related to the widespread occurrence of black shales in many basins around the globe, evidencing a global anoxic event (the so-called Early Toarcian Anoxic Event or "Jenkyns Event"). Anoxia has been recurrently invoked to explain the extinction of the last spire-bearer brachiopods in the Early Toarcian (Vörös 2002). As exposed by Ager (1987) and Vörös et al. (2016), the passive feeding mechanism of spire-bearing brachiopods with fixed lophophores becomes less effective under adverse conditions of oxygenation than the ciliate active feeding of the more adaptable rhynchonellides and terebratulides, and this could have been a factor influencing the extinction of spiriferinids and the survival of the other orders. However, there are no evidence of anoxic environments in most of the peri-Iberian basins, precluding this interpretation in this region (Gómez et al. 2008, García Joral et al. 2011, Gómez & Goy 2011, Piazza et al. 2020b). The severe warming is the most feasible cause of the clade or "fatal extinction" (*sensu* Vörös et al. 2019) that brachiopod fauna experienced at this time, an extinction that is among the most important in the post-Paleozoic history of this phylum and represents, as previously mentioned, the disappearance of the Order Spiriferinida (García Joral et al. 2011; Vörös et al. 2016, 2019). The survival, for a short time, of spiriferinides in the cold seawater habitats of the high latitudes from New Zealand is also consistent with this postulate. As can be seen in *Figure 1A*, the few Pliensbachian spiriferinide records known outside the Western Tethys region are mainly representatives of the "ribbed/winged" morphotype, arranged into the genus *Spiriferina*, which have been considered as the best adapted to the high latitude environments (cf. Guo et al. 2020 and references therein). This is the same morphotype of the last recorded spiriferinides in the New Zealand region (cf. MacFarlan 2023).

Subordinately to the present analysis, it can be also corroborated that brachiopods were unmistakably more sensitive to the sea-water temperature increase (at least in the post-Paleozoic times) than other groups of benthic epibiota, such as bivalves; this is clearly manifested in the different intensity of extinction if both groups are compared in the Early Toarcian (Piazza et al. 2019, 2020a, 2020b).

Conclusions

The significant environmental changes that occurred in the early Toarcian biotic crisis seriously affected the brachiopod fauna, especially to the Order Spiriferinida, whose

diversity was previously quite restricted to the point of having been considered as a "Dead Clade Walking". In the lowermost Toarcian, the earlier phase of this crisis entailed a first significant seawater warming episode, leading to the greatly constricted paleobiogeographic distribution of this clade, being limited to the westernmost corner of the Tethys Ocean, in contact with the "Viking" and the "Hispanic" corridors. In this area, the spiriferinides preserved a morphological disparity like that revealed throughout the entire Early Jurassic, although represented by very few species. Furthermore, these species suffered a generalized reduction in size, more noticeable in the more oxygen-starved areas. In the second phase of this ecological crisis, occurred at the basal Serpentinum Chronozone, a new and even more intense warming episode could not be overcome by the few spiriferinide species remaining in this region, thus representing the "fatal extinction" of the Order Spiriferinida.

The abundant and continuous record of spiriferinides in the basins surrounding the Iberian Massif, in Spain and Portugal, allows us to study in detail the changes experienced by the group during this crisis. The analysis of morphology and size changes in individuals of the best represented genus (*Liospiriferina*) in the Iberian Basin, where their record is the most abundant and continuous, reveals a drastic decrease in both features as a consequence of the first marine warming phase, while the only resilient inhabitant species of the genus (*L. falloti*), maintained or even increased their size until the last moment. These size changes may be related to the more or less intense water temperature fluctuations, so that the last big sizes observed are possibly an ultimate response to a short cooling event, intercalated within the very intense warming that is very probably the main cause responsible for the extinction of the spiriferinide clade, together with paleogeographic conditions preventing escape to colder waters environments.

Acknowledgments

This research is a contribution to the Research Groups PBM 3491 (Complutense University of Madrid) and VIGROB-167 (University of Alicante), and to the Project IGCP-710 Western Tethys meets Eastern Tethys. Authors thank V.F. Ferrero San Román helping with the biometric measurements used in this work as part of his End-Course Work for the master's degree (Complutense University of Madrid). The critical reviews and helpful comments of reviewers M.O. Manceñido and A. Dulai and editors have clearly improved the quality of the paper. We would strongly acknowledge Attila Vörös for his extensive career and his research activity on post-Paleozoic brachiopods, becoming a great reference for all the researchers working on this discipline. The results of his studies have inspired, without any doubt, topics of palaeobiogeographical and taxonomical relevance on the macroevolutionary history of Brachiopoda, being the pioneer to suggest many innovative postulates and theories.

References – Irodalom

Aberhan, M. 2001: Bivalve palaeobiogeography and the Hispanic Corridor: time of opening and effectiveness of a proto-Atlantic seaway. – *Palaeogeography, Palaeoclimatology, Palaeoecology* **165,** 375–394. https://doi.org/10.1016/S0031-0182(00)00172-3

Ager, D.V. 1987: Why the Rhynchonellide Brachiopods survived and the Spiriferids did not: a suggestion. – *Palaeontology* **30,** 853–857.

Alméras, Y. & Fauré, P. 2000: Les Brachiopodes liasiques des Pyrénées. Paléontologie, Biostratigraphie, Paléobiogéographie et Paléoenvironnements. – *Strata* **36,** 1–395.

Alméras, Y., Mouterde, R., Benest, M., Elmi, S. & Bassoullet, J.-P. 1996: Les brachiopodes toarciens de la rampe carbonatée de Tomar (Portugal). – *Documents des Laboratoires de Géologie de Lyon* **138,** 125–191.

Alméras, Y., Elmi, S. & Fauré, P. 2007. Les Brachiopodes liasiques d'Algérie occidentale. – *Travaux et Documents des Laboratoires de Géologie de Lyon* **163/1,** 3–241.

Andrade, B., Duarte, L.V., García Joral, F., Goy, A. & Henriques, M.H. 2016: Palaeobiogeographic patterns of the brachiopod assemblages of the Iberian Subplate during the Late Toarcian-Early Aalenian (Jurassic). – *Palaeogeography, Palaeoclimatology, Palaeoecology* **442,** 12–22. https://doi.org/10.1016/j.palaeo.2015.10.053

Arias, C. 2013: The early Toarcian (early Jurassic) ostracod extinction events in the Iberian Range: The effect of temperature changes and prolonged exposure to low dissolved oxygen concentrations. – *Palaeogeography, Palaeoclimatology, Palaeoecology* **387,** 40–55. https://doi.org/10.1016/j.palaeo.2013.07.004

Arias, C.F., Comas-Rengifo, M.J., Goy, A., Herrero, C. & Ruget, C. 1992: Variations dans les associations de brachiopodes, foraminifères et ostracodes du Toarcien basal dans le secteur central de la Cordillère Ibérique. Un exemple dans la «Rambla del Salto» (Teruel, Espagne) – *Cahiers de l'Université Catholique de Lyon; Série Science* **5,** 5–25.

Atkinson, D. 1994: Temperature and organism size-a biological law for ectotherms? – *Advances in Ecological Research* **25,** 1–58.

Baeza-Carratalá, J.F. 2008: *Patrimonio Paleontológico en la Colección Jiménez de Cisneros y su aplicación al estudio de los braquiópodos del Jurásico Inferior en la Cordillera Bética Oriental (Provincias de Alicante y Norte de Murcia).* – PhD thesis. Alicante, Universidad Alicante, 906 p.

Baeza-Carratalá, J.F. 2011: New Early Jurassic brachiopods from the Western Tethys (Eastern Subbetic, Spain) and their systematic and paleobiogeographic affinities. – *Geobios* **44,** 345–360. https://doi.org/10.1016/j.geobios.2010.09.003

Baeza-Carratalá, J.F. 2013: Diversity patterns of Early Jurassic brachiopod assemblages from the westernmost Tethys (Eastern Subbetic). – *Palaeogeography, Palaeoclimatology, Palaeoecology* **381–382,** 76–91. https://doi.org/10.1016/j.palaeo.2013.04.017

Baeza-Carratalá, J.F., García Joral, F., Goy, A. & Tent-Manclús, J.E. 2018: Arab-Madagascan brachiopod dispersal along the north-Gondwana paleomargin towards the western Tethys Ocean during the early Toarcian (Jurassic). – *Palaeogeography, Palaeoclimatology, Palaeoecology* **490,** 256–268. https://doi.org/10.1016/j.palaeo.2017.11.004

Baeza-Carratalá, J.F., García Joral, F., Giannetti, A. & Tent-Manclús, J.E., 2015. Evolution of the last koninckinids (Athyridida, Koninckinidae), a precursor signal of the Early Toarcian mass extinction event in the Western Tethys. – *Palaeogeography, Palaeoclimatology, Palaeoecology* **429,** 41–56. https://doi.org/10.1016/j.palaeo.2015.04.004

Baeza-Carratalá, J.F., García Joral, F. & Tent-Manclús, J.E. 2016a: Lower Jurassic brachiopods from the Ibero-Levantine sector (Iberian range): faunal turnovers and critical bioevents. – *Journal of Iberian Geology* **42/3,** 355–369. http://dx.doi.org/10.5209/JIGE.54666

Baeza-Carratalá, J.F., García Joral, F. & Tent-Manclús, J.E. 2016b: Brachiopod faunal exchange through an epioceanic-epicontinental transitional area from the Early Jurassic South Iberian platform system. – *Geobios* **49/4,** 243–255. https://doi.org/10.1016/j.geobios.2016.05.005

Baeza-Carratalá, J.F., Manceñido, M.O. & García Joral, F. 2016c: Cisnerospira (Brachiopoda, Spiriferinida), an atypical Early Jurassic spire bearer from the Subbetic Zone (SE Spain) and its significance. – *Journal of Paleontology* **90/6,** 1081–1099. https://doi.org/10.1017/jpa.2016.109

Baeza-Carratalá, J.F., Reolid, M. & García Joral, F. 2017: New deep-water brachiopod resilient assemblage from the South-Iberian Palaeomargin (Western Tethys) and its significance for the brachiopod adaptive strategies around the Early Toarcian Mass Extinction Event.– *Bulletin of Geosciences* **92(2)**, 233–256. https://doi.org/10.3140/bull.geosci.1631

Bailey, T.R., Rosenthal, Y., McArthur, J.M., van de Schootbrugge, B. & Thirlwall, M.F. 2003: Paleoceanographic changes of the Late Pliensbachian–Early Toarcian interval: a possible link to the genesis of an Oceanic Anoxic event. – *Earth and Planetary Science Letters* **212,** 307–320. https://doi.org/10.1016/S0012-821X(03)00278-4

Benzaggagh, M. 2023: Pliensbachian succession and brachiopod fauna from the Central Unit of the South Riffian Ridges (northwestern Morocco). – *Annales de Paléontologie* **109/2,** 102614. https://doi.org/10.1016/j.annpal.2023.102614

Bjerrum, C.J., Surlyk, F., Callomon, J.H. & Slingerland, R.L. 2001: Numerical paleoceanographic study of the Early Jurassic Transcontinental Laurasian Seaway. – *Paleoceanography* **16,** 390–404. https://doi.org/10.1029/2000PA000512

Bucur, I.I. & Reolid, M. 2023: Incidence of the early Toarcian global change on Dasycladales (Chlorophyta) and the subsequent recovery: Comparison with end-Triassic Mass Extinction. – *Earth-Science Reviews*, 104666. https://doi.org/10.1016/j.earscirev.2023.104666

Calzada, S. 1979: Niveles de braquiópodos del Lías de Camarasa (Lérida). – *Cuadernos de Geología, Universidad de Granada* **10,** 197–211.

Carter, J.L. & Gourvennec, R. 2006: Spiriferinida: Introduction. – In: Kaesler, R.L. (ed.): *Treatise on Invertebrate Paleontology, Part H, Brachiopoda 5 Revised*, Geological Society of America and University of Kansas Press, 1877–1880.

Caruthers, A.H., Smith, P.L. & Gröcke, D.R. 2013: The Pliensbachian-Toarcian (Early Jurassic) extinction, a global multiphased event. – *Palaeogeography, Palaeoclimatology, Palaeoecology* **386,** 104–118. https://doi.org/10.1016/j.palaeo.2013.05.010

Comas-Rengifo, M.J. 1982: *El Pliensbachiense de la Cordillera Ibérica*. – PhD thesis. Universidad Complutense Madrid, Colección Tesis Doctorales UCM, 19/85, 591 p. (published in 1985).

Comas-Rengifo, M.J. & Goy, A. 1975: Estratigrafía y Paleontología del Jurásico de Ribarredonda (Guadalajara). – *Estudios Geológicos* **31,** 297–339.

Comas-Rengifo, M.J., Gómez, J.J., Goy, A., Herrero, C., Perilli, N. & Rodrigo, A. 1999: El Jurásico Inferior en la sección de Almonacid de la Cuba (Sector central de la Cordillera Ibérica, Zaragoza, España). – *Cuadernos de Geología Ibérica* **25**, 27–57

Comas-Rengifo, M.J., García Joral, F. & Goy, A. 2006: Spiriferinida (Brachiopoda) del Jurásico Inferior del NE y N de España: distribución y extinción durante el evento anóxico oceánico del Toarciense inferior. – *Boletín Real Sociedad Española de Historia Natural (Sección Geológica)* **101,** 147–157.

Comas-Rengifo, M.J., Arias, C., Gómez, J.J., Goy, A., Herrero, C., Osete, M.L. & Palencia, A. 2010: A complementary section for the proposed Toarcian (Lower Jurassic) global stratotype: the Almonacid de La Cuba section (Spain). – *Stratigraphy and Geological Correlation* **18,** 133–152. https://doi.org/10.1134/S0869593810020036

Comas-Rengifo, M.J., Duarte, L.V., García Joral, F. & Goy, A. 2013: Los braquiópodos del Toarciense Inferior (Jurásico) en el área de Rabaçal-Condeixa (Portugal): Distribución estratigráfica y paleobiogeografía. – *Comunicações Geológicas* **100**, 37–42.

Comas-Rengifo, M.J., Duarte, L.V., Félix, F.F., García Joral, F., Goy, A. & Rocha, R.B. 2015: Latest Pliensbachian–early Toarcian brachiopod assemblages from the Peniche section (Portugal) and their correlation. – *Episodes* **38,** 2–8. https://doi.org/10.18814/epiiugs/2015/v38i1/001

Comas-Rengifo, M.J., García Joral, F., Goy, A., Paredes, R. & Rodrigo, A. 2018a: Lower Jurassic brachiopods from the classic Area of Turmiel (Guadalajara). – In: García Joral, F., Villas, E. & Baeza-Carratalá, J.F. (eds.): *Paleozoic and Mesozoic Brachiopods of East Spain. Field Guidebook for The E1 Field Trip, 8th International Brachiopod Congress*, 5–16.

Comas-Rengifo, M.J., García Joral, F., Gómez, J.J. & Goy, A. 2018b: The record of the Early Toarcian Brachiopod extinction and recovery in the Aragonese Branch of the Iberian Range (Rambla del Salto Section, Sierra Palomera, Teruel). – In: García Joral, F., Villas, E. & Baeza-Carratalá, J.F. (eds.): *Paleozoic and Mesozoic Brachiopods of East Spain. Field Guidebook for The E1 Field Trip, 8th International Brachiopod Congress*, 49–56.

Damborenea, S.E. 2000: Hispanic Corridor: its evolution and the biogeography of bivalve molluscs. – In: Hall, R.L. & Smith, P.L. (eds.): Proceedings of the Fifth International Symposium on the Jurassic System. *Georesearch Forum* **6,** 369–380.

Danise, S., Twitchett, R.J., Little, C.T.S. & Clémence, M.E. 2013. The impact of global warming and anoxia on marine benthic community dynamics: an example from the Toarcian (Early Jurassic). – *PLoS One* **8/2,** e56255. https://doi.org/10.1371/journal.pone.0056255

Danise, S., Clémence, M.E., Price, G.D., Murphy, D.P., Gómez, J.J. & Twitchett, R.J. 2019. Stratigraphic and environmental control on marine benthic community change through the early Toarcian extinction event (Iberian Range, Spain). – *Palaeogeography, Palaeoclimatology, Palaeoecology* **524,** 183–200. https://doi.org/10.1016/j.palaeo.2019.03.039

Delance, J.H. 1969: Étude de quelques brachiopodes liasiques du Nord-Est de l'Espagne. – *Annales de Paléontologie* **55,** 1–54.

Dera, G., Neige, P., Dommergues, J.L., Fara, E., Laffont, R. & Pellenard, P. 2010: High resolution dynamics of Early Jurassic marine extinctions: the case of Pliensbachian–Toarcian ammonites (Cephalopoda). – *Journal of the Geological Society of London* **167,** 21–33. https://doi.org/10.1144/0016-76492009-068

Deslongchamps, E.E. 1863: Etudes critiques sur des Brachiopodes nouveaux ou peu connus. Art. 7: Brachiopodes recueillis par M. De Verneuil dans le Lias d'Espagne. – *Bulletin de la Societé Linneane de Normandie* **3,** 64–76.

Duarte, L.V. 2007: Lithostratigraphy, sequence stratigraphy and depositional setting of the Pliensbachian and Toarcian series in the Lusitanian Basin (Portugal). – In: Rocha, R.B. (Ed.), *The Peniche Section (Portugal): Contributions to the Definition of the Toarcian GSSP*. International Subcommission on Jurassic Stratigraphy, 17–23.

Dubar, G. 1931: Brachiopodes liasiques de Catalogne et des régions voisines. – *Bulletí Institució Catalana de Història Natural* **31,** 103–180.

Dulai, A. 2003: A *Dunántúli-középhegység hettangi és kora-szinemuri (kora-jura) brachiopoda faunája II*. [Hettangian and Early Sinemurian (Early Jurassic) brachiopods of the Transdanubian Central Range (Hungary) II (Vol. 27)]. – Bakonyi Természettudományi Múzeum, 144 p.

Elmi, S., Rulleau, L., Gabilly, J. & Mouterde, R. 1997: Toarcien. – In: Cariou, E. & Hantzpergue, P. (eds.): Biostratigraphie du Jurassique ouest-européen et méditerranéen: zonations parallèles et distribution des invertébrés et microfossiles. – *Bulletin du Centre Recherches Elf Exploration Production Mémoire* **17,** 25–36.

Fernandez, A., Korte, C., Ullmann, C.V., Looser, N., Wohlwend, S., Bernasconi, S.M. 2021: Reconstructing the magnitude of Early Toarcian (Jurassic) warming using the reordered clumped isotope compositions of belemnites. – *Geochimica et Cosmochimica Acta* **293,** 308–327. https://doi.org/10.1016/j.gca.2020.10.005

Fernández-López, S., García Joral, F., Gómez, J.J., Henriques, M.H.P & Martínez, G. 1998: La diferenciación paleogeográfica de la Cuenca Catalana al principio del Jurásico Medio. – *Revista de la Sociedad Geológica de España* **11,** 3–22.

Gahr, M.E. 2002: Palökologie des Makrobenthos aus dem Unter-Toarc SW-Europas. – *Beringeria* **31,** 3–204.

Gambacorta, G., Brumsack, H.J., Jenkyns, H.C. & Erba, E. 2024: The early Toarcian Oceanic Anoxic Event (Jenkyns Event) in the Alpine-Mediterranean Tethys, north African margin, and north European epicontinental seaway. – *Earth-Science Reviews* **104636**. https://doi.org/10.1016/j.earscirev.2023.104636

García Joral, F., Baeza-Carratalá, J.F. & Goy, A. 2018: Changes in brachiopod body size prior to the early Toarcian (Jurassic) mass extinction. – *Palaeogeography Palaeoclimatology, Palaeoecology* **506,** 242–249. https://doi.org/10.1016/j.palaeo.2018.06.045

García Joral, F., Gómez, J.J. & Goy, A. 2011: Mass extinction and recovery of the Early Toarcian (Early Jurassic) brachiopods linked to climate change in northern and central Spain. – *Palaeogeography Palaeoclimatology, Palaeoecology* **302,** 367–380. https://doi.org/10.1016/j.palaeo.2011.01.023

García Joral, F. & Goy, A. 2000: Stratigraphic distribution of Toarcian brachiopods from the Iberian Range (Spain) and its relation to depositional sequences. – In: Hall, R.L. & Smith, P.L. (eds.): Proceedings of the Fifth International Symposium on the Jurassic System. – *Georesearch Forum* **6,** 381–386.

García Joral, F. & Goy, A. 2009: Toarcian (Lower Jurassic) brachiopods in Asturias (Northern Spain): stratigraphic distribution, critical events and palaeobiogeography. – *Geobios* **42,** 255–264. https://doi.org/10.1016/j.geobios.2008.10.007

García Joral, F., Goy, A., Rosales, I., Barnolas, A., Sevillano, A. & López-García, J.M. 2022: Early Toarcian (Jurassic) brachiopods from the Balearic Islands (Spain) and their paleobiogeographic context. – *Journal of Iberian Geology* **48/4,** 445–460. https://doi.org/10.1007/s41513-022-00197-0

Gómez, J.J. & Goy, A. 2000: Definition and organization of limestone marl cycles in the Toarcian of the Northern and East-Central part of the Iberian Subplate (Spain). – In: Hall, R.L. & Smith, P.L. (eds.): Proceedings of the Fifth International Symposium on the Jurassic System. – *Georesearch Forum* **6,** 301–310.

Gómez, J.J. & Goy, A. 2011: Warming-driven mass extinction in the Early Toarcian (Early Jurassic) of northern and central Spain. Correlation with other time-equivalent European sections. – *Palaeogeography, Palaeoclimatology, Palaeoecology* **306,** 176–195. https://doi.org/10.1016/j.palaeo.2011.04.018

Gómez, J.J., Goy, A. & Canales, M.L. 2008: Seawater temperature and carbon isotope variations in belemnites linked to mass extinction during the Toarcian (Early Jurassic) in Central and Northern Spain. Comparison with other European sections. – *Palaeogeography, Palaeoclimatology, Palaeoecology* 258, 28–58. https://doi.org/10.1016/j.palaeo.2007.11.005

Goy, A, Comas-Rengifo, M.J., Arias, C.F., García Joral, F., Gómez, J.J., Herrero, C., Martínez & G., Rodrigo, A. 1998: El tránsito Pliensbachiense/Toarciense en el Sector Central de la Rama Aragonesa de la Cordillera Ibérica (España). – *Cahiers de l'Universite Catholique de Lyon, Sérié Science* **10,** 159–179.

Goy, A., Comas-Rengifo, M.J. & García-Joral, F. 1984: The Liassic Brachiopods of the Iberian Range. Stratigraphic distribution and biozonation. – In: Michelsen, O. & Zeiss, A. (eds.): *International Symposium on Jurassic Stratigraphy* Vol. I, 227–250. – Geological Survey of Denmark, Copenhagen.

Guo, Z., Chen, Z. Q. & Harper, D.A.T. 2020: Phylogenetic and ecomorphologic diversifications of spiriferinid brachiopods after the end-Permian extinction. – *Paleobiology* **46/4,** 495–510. https://doi.org/10.1017/pab.2020.34

Guo, Z., Chen, Z. Q., Harper, D. A., & Huang, Y. 2022. Permian–Triassic phylogenetic and morphologic evolution of rhynchonellide brachiopods. – *Paleobiology* **48/1,** 99–119. https://doi.org/10.1017/pab.2021.25

Hammer, Ø. & Harper, D.A.T. 2006: *Paleontological Data Analysis*: Oxford, Blackwell Publishing, 351 p.

Hammer, Ø., Harper, D.A.T. & Ryan, P.D. 2001: PAST: paleontological statistics software package for education and data analysis. – *Palaeontologia Electronica* **4,** 1–4.

He, W.H., Zhang, K.X., Chen, Z.Q., Yan, J.X., Yang, T.L, Zhang, Y., Gu, S.Z. & Wu, S.B. 2015: A new genus *Liaous* of early Anisian Stage (Middle Triassic) brachiopods from southwestern China: systematics, reassessment of classification of the Spiriferinioidea, community paleoecology, and paleoenvironmental implications. – *Journal of Paleontology* **89,** 966–979. https://doi.org/10.1017/jpa.2016.6

Hu, X., Li, J., Han, Z. & Li, Y. 2020: Two types of hyperthermal events in the Mesozoic-Cenozoic: Environmental impacts, biotic effects, and driving mechanisms. – *Science China Earth Sciences* **63,** 1041–1058. https://doi.org/10.1007/s11430-019-9604-4

Jablonski, D. 2002: Survival without recovery after mass extinctions. – *Proceedings of the National Academy of Sciences* **99(12)**, 8139–8144. https://doi.org/10.1073/pnas.102163299

Jiménez de Cisneros, D. 1921: Las especies del género *Spiriferina* del Lías medio español. – *Boletín Real Sociedad Española Historia Natural* **21,** 487–495.

Jiménez de Cisneros, D. 1923: La Fauna de los estratos de "Pygope Aspasia" Menegh. del Liásico Medio del Rincón de Egea en el W. de la provincia de Murcia. Junta para Ampliación de Estudios e Investigaciones Científicas. – *Trabajos del Museo Nacional de Ciencias Naturales, Serie Geológica* **30**, 1–55.

Krencker, F.N., Fantasia, A., Danisch, J., Martindale, R., Kabiri, L., El Ouali, M. & Bodin, S. 2020: Two-phased collapse of the shallow-water carbonate factory during the late Pliensbachian–Toarcian driven by changing climate and enhanced continental weathering in the Northwestern Gondwana Margin. – *Earth-Science Reviews* **208,** 103254. https://doi.org/10.1016/j.earscirev.2020.103254

Little, C.T.S. 1996: The Pliensbachian-Toarcian (Lower Jurassic) extinction event. – *Special Papers of the Geological Society of America* **307,** 505–512.

Macchioni, F. & Cecca, F., 2002: Biodiversity and biogeography of middle–late liassic ammonoids: implications for the Early Toarcian mass extinction. – *Geobios* **35** (Mémoire spécial 24), 165–175. https://doi.org/10.1016/S0016-6995(02)00057-8

MacFarlan, D.A.B. 2023: Latest Triassic and Early Jurassic Spiriferinida (Brachiopoda) of Zealandia (New Zealand and New Caledonia). – *Zootaxa* **5277/1,** 1–58. https://doi.org/10.11646/ZOOTAXA.5277.1.1

Manceñido, M.O. 1981: A revision of Early Jurassic Spiriferinidae (Brachiopoda, Spiriferida) from Argentina. – *Cuencas Sedimentarias del Jurásico y Cretácico de América del Sur* **2,** 625–660.

Manceñido, M.O. 1990: The succession of Early Jurassic brachiopod faunas from Argentina: correlation and affinities. – In: Mackinnon, D.I., Lee, D.E. & Campbell, J.D. (eds.): *Brachiopods through Time*. Proceedings Second International Brachiopod Congress. A.A. Balkema, Rotterdam, 397–404.

Manceñido, M.O. 2002: Paleobiogeography of Mesozoic brachiopod faunas from Andean–Patagonian areas in a global context. – *Geobios* **35** (Mémoire spécial 24), 176–192. https://doi.org/10.1016/S0016-6995(02)00058-X

Manceñido, M.O. 2004: Las "espiriferinas" del Jurásico Inferior: Una Mirada retrospectiva a los estudios de Daniel Jiménez de Cisneros. – *Geo-Temas* **7,** 269–272.

Manceñido, M.O. & Dagys, A.S. 1992: Brachiopods of the circum-Pacific region. – In: Westermann, G.E.G. (Ed.): *The Jurassic of the Circum-Pacific*. – *World and Regional Geology* **3,** 328–333.

Mandl, G. W., Dulai, A., Schlögl, J., Siblik, M., Szabó, J., Szente, I. & Vörös, A. 2010: First results on Stratigraphy and Faunal Content of the Jurassic between Bad Mitterndorf and Toplitzsee (Salzkammergut, Austria). – *Abhandlungen der Geologischen Bundesanstalt* **65,** 77–134.

McElwain, J.C., Wade-Murphy, J. & Hesselbo, S.P. 2005: Changes in carbon dioxide during an oceanic anoxic event linked to intrusion into Gondwanan coals. – *Nature* **435,** 479–482. doi:10.1038/nature03618

Page, K.N. 2003: The Lower Jurassic of Europe: its subdivision and correlation. – *GEUS Bulletin* **1,** 21–59. https://doi.org/10.34194/geusb.v1.4646

Peck, L. & Harper, E.M. 2010: Variation in size of living articulated brachiopods with latitude and depth. – *Marine Biology* **157,** 2205–2213. https://doi.org/10.1007/s00227-010-1486-5

Piazza, V., Duarte, L.V., Renaudie, J. & Aberhan, M. 2019: Reductions in body size of benthic macroinvertebrates as a precursor of the early Toarcian (Early Jurassic) extinction event in the Lusitanian Basin Portugal. – *Paleobiology* **45/2,** 296–316. https://doi.org/10.1017/pab.2019.11

Piazza, V., Ullmann, C.V. & Aberhan, M. 2020a: Temperature-related body size change of marine benthic macroinvertebrates across the Early Toarcian Anoxic Event. – *Scientific Reports* **10,** 4675. https://doi.org/10.1038/s41598-020-61393-5

Piazza, V., Ullmann, C. V. & Aberhan, M. 2020b: Ocean warming affected faunal dynamics of benthic invertebrate assemblages across the Toarcian Oceanic Anoxic Event in the Iberian Basin (Spain). – *Plos one* **15/12,** e0242331. https://doi.org/10.1371/journal.pone.0242331

Poulton, T.P. & Callomon, J.H. 1977: A new species of trigoniid bivalve from the Boreal Bathonian (Jurassic) of central East Greenland. – *Bulletin of the Geologcal Society of Denmark* **26,** 155–159.

Price, G.D. 1999: The evidence of polar ice during the Mesozoic. – *Earth-Science Review* **48,** 183–210. https://doi.org/10.1016/S0012-8252(99)00048-3

Reolid, M., Mattioli, E., Nieto, L.M. & Rodríguez-Tovar, F.J. 2014: The Early Toarcian oceanic anoxic event in the external subbetic (Southiberian Palaeomargin, Westernmost Tethys): geochemistry, nannofossils and ichnology. – *Palaeogeography, Palaeoclimatology, Palaeoecology* **411,** 79–94. https://doi.org/10.1016/j.palaeo.2014.06.023

Reolid, M., Mattioli, E., Duarte, L.V. & Ruebsam, W. 2021. The Toarcian Oceanic Anoxic Event: where do we stand? – *Geological Society London, Special Publication* **514,** 1–11. https://doi.org/10.1144/SP514-2021-74

Rita, P., Reolid, M. & Duarte, L.V. 2016: Benthic foraminiferal assemblages record major environmental perturbations during the Late Pliensbachian–Early Toarcian interval in the Peniche GSSP, Portugal. – *Palaeogeography, Palaeoclimatology, Palaeoecology* **454,** 267–281. https://doi.org/10.1016/j.palaeo.2016.04.039

Rosales, I., Quesada, S. & Robles, S. 2004: Paleotemperature variations of Early Jurassic seawater recorded in geochemical trends of belemnites from the Basque–Cantabrian basin, northern Spain. – *Palaeogeography, Palaeoclimatology, Palaeoecology* **203,** 253–275. https://doi.org/10.1016/S0031-0182(03)00686-2

Rosales, I., Barnolas, A., Goy, A., Sevillano, A., Armendáriz, A. & López-García, J.M. 2018: Isotope records (C-O-Sr) of late Pliensbachian-early Toarcian environmental perturbations in the westernmost Tethys (Majorca Island, Spain). – *Palaeogeography, Palaeoclimatology, Palaeoecology* **497,** 168–185. https://doi.org/10.1016/j.palaeo.2018.02.016

Rousselle, L., 1977: Spiriférines du Lias moyen et supérieur au Marc (Rides prérifaines, Moyen Atlas) et en Espagne. – *Notes et Mémoires du Service Géologique du Maroc* **38,** 153-175.

Ruebsam, W., Mayer, B. & Schwark, L. 2019: Cryosphere carbon dynamics control early Toarcian global warming and sea level evolution. – *Global and Planetary Change* **172,** 440–453. https://doi.org/10.1016/j.gloplacha.2018.11.003

Ruebsam, W., Reolid, M., Sabatino, N., Masetti, D. & Schwark, L. 2020: Molecular paleothermometry of the early Toarcian climate perturbation. – *Global and Planetary Change* **195,** 103351. https://doi.org/10.1016/j.gloplacha.2020.103351

Schouten, S., Hopmans, E.C. & Sinninghe Damsté, J.S. 2004: The effect of maturity and depositional redox conditions on archaeal tetraether lipid palaeothermometry. – *Organic Geochemistry* **35,** 567–571. https://doi.org/10.1016/j.orggeochem.2004.01.012

Scotese, C.R. 2013: Map Folio 39 Early Jurassic Toarcian, 179.3 Ma), PALEOMAP PaleoAtlas for ArcGIS, volume 3. – Triassic and Jurassic Paleogeographic, Paleoclimatic and Plate Tectonic Reconstructions, PALEOMAP Project, Evanston. https://doi.org/10.13140/2.1.4497.2326

Sha, J. 2002: Hispanic Corridor formed as early as Hettangian: on the basis of bivalve fossils. – *Chinese Science Bulletin* **47,** 414–417. https://doi.org/10.1360/02tb9096

Smith, P.L. 1983: The Pliensbachian ammonite *Dayiceras dayiceroides* and Early Jurassic paleogeography. – *Canadian Journal of Earth Sciences* **20,** 86–91. https://doi.org/10.1139/e83-008

Torrubia, J. 1754: *Aparato para la Historia Natural Española*. – Imprenta de los Herederos de Don Agustín de Gordejuela y Sierra, Madrid. 204 p.

Ullmann, C.V., Boyle, R., Duarte, L.V., Hesselbo, S.P., Kasemann, S.A., Klein, T., Lenton, T.M., Piazza, V. & Aberhan, M. 2020: Warm afterglow from the Toarcian Oceanic Anoxic Event drives the success of deep-adapted brachiopods. – *Scientific Reports* **10,** 6549. https://doi.org/10.1038/s41598-020-63487-6

Vörös, A. 1993: Jurassic Brachiopods of the Bakony Mts. (Hungary): Global and Local effects on changing diversity. – In: Pálfy, J. & Vörös, A. (eds.): *Mesozoic Brachiopods of Alpine Europe*, Budapest, Hungarian Geological Society, 179–187.

Vörös, A. 2002: Victims of the early Toarcian anoxic event: the radiation and extinction of Jurassic Koninckinidae (Brachiopoda). – *Lethaia* **35,** 345–357. https://doi.org/10.1111/j.1502-3931.2002.tb00093.x

Vörös, A. 2005: The smooth brachiopods of the Mediterranean Jurassic: refugees or invaders? – *Palaeogeography, Palaeoclimatology, Palaeoecology* **223,** 222–242. https://doi.org/10.1016/j.palaeo.2005.04.006

Vörös, A. 2009: The Pliensbachian brachiopods of the Bakony Mountains (Hungary). – *Geologica Hungarica, series Paleontologica* **58,** 1–300.

Vörös, A. & Dulai, A. 2007: Jurassic Brachiopods of the Transdanubian Range (Hungary); stratigraphical distribution and diversity changes. – *Fragmenta Palaeontologica Hungarica* **24–25**, 51–68.

Vörös, A. & Escarguel, G. 2019: Brachiopod palaeobiogeography in the western Tethys during the Early Jurassic diversity maximum: introduction of a Pontic Province. – *Lethaia* **53,** 72–90. https://doi.org/10.1111/let.12337

Vörös, A., Szabó, J., Dulai, A., Szente, I., Ebli, O. & Lobitzer, H. 2003: Early Jurassic fauna and facies of the Schafberg area (Salzkammergut, Austria). – *Fragmenta Palaeontologica Hungarica* **21,** 51–82.

Vörös, A., Kocsis, Á.T. & Pálfy, J. 2016: Demise of the last two spire-bearing brachiopod orders (Spiriferinida and Athyridida) at the Toarcian (early Jurassic) extinction event. – *Palaeogeography, Palaeoclimatology, Palaeoecology* **457,** 233–241. https://doi.org/10.1016/j.palaeo.2016.06.022

Vörös, A., Kocsis, Á.T. & Pálfy, J. 2019: Mass extinctions and clade extinctions in the history of brachiopods: Brief review and a post-Paleozoic case study. – *Rivista Italiana di Paleontologia e Stratigrafia* **125/3,** 649–662. https://doi.org/10.13130/2039-4942/12184

Wignall, P.B. & Bond, D.P. 2008: The end-Triassic and Early Jurassic mass extinction records in the British Isles. – *Proceedings of the Geologists' Association* **119/1,** 73–84. https://doi.org/10.1016/S0016-7878(08)80259-3

Manuscript received: 27/02/2024.

Magyarhoni Földtani Társulat
Földtani Közlöny
Hungarian Geological Society

154/2, 149–168., Budapest, 2024

DOI: 10.23928/foldt.kozl.2024.154.2.149

The Toarcian (Early Jurassic) Jenkyns Event in Hungary: stratigraphic, geochemical, and fossil records and their global implications

MÜLLER, Tamás[1,2,3], PÁLFY, József[2,3]

[1]Department of Petrology and Geochemistry, Institute of Geography and Earth Sciences, Eötvös Loránd University, Pázmány Péter sétány 1/C, H-1117 Budapest, Hungary
[2]Department of Geology, Institute of Geography and Earth Sciences, Eötvös Loránd University, Pázmány Péter sétány 1/C, H-1117 Budapest, Hungary
[3]HUN-REN–MTM–ELTE Research Group for Paleontology, Ludovika tér 2, Budapest, H-1083, Hungary
Müller, Tamás (ORCID: 0000-0002-8745-3066), Pálfy, József (ORCID: 0000-0001-9686-1849)

A toarci (kora jura) Jenkyns-esemény magyarországi rétegtani, geokémiai és őslénytani kutatása és globális vonatkozásai

Összefoglalás

A kora jura során a kora toarciban (~183 Ma) lezajlott Jenkyns-esemény őskörnyezeti és éghajlati változások láncolataként jellemezhető, melyek üledékképződési változásokhoz, a biogeokémiai körforgások zavaraihoz és másodrendű tömeges kihaláshoz vezettek. Ebben a tanulmányban áttekintjük a világszerte kimutatott esemény definícióját, valamint szedimentológiai, rétegtani, őslénytani és geokémiai ismérveit, melyek közül sokat Magyarországról is ismerünk. Alsó toarci rétegek hazánkban két nagyszerkezeti egységben fordulnak elő, melyek az egykori Tethys különböző területeit képviselik. A Dunántúli-középhegységi-egységben kondenzált pelágikus mészkőbe települő, mangántartalmú képződmények, míg a Tiszai-főegységhez tartozó Mecsekben sziliciklasztos-karbonátos rétegsorban megjelenő, szerves anyagban gazdag, fekete pala jelzi az eseményt. A toarci Jenkyns-eseményhez kapcsolódó magyarországi vizsgálatok során számos tanulmány foglalkozott az ehhez köthető rétegtani, üledékföldtani, őslénytani, geokémiai, és ércföldtani vonatkozásokkal. Az ezekből nyert adatok az élővilág, a geokémiai redszerek, a mállás és az üledékképződés változásairól a globális ismereteink bővüléséhez is hozzájárultak. A kutatások hosszú története ellenére a magyarországi toarci rétegsorok folytatódó vizsgálata a Jenkyns-eseménnyel kapcsolatos további gazdag kutatási lehetőségeket kínál. Tanulmányunk egyben tisztelgés GALÁCZ András és VÖRÖS Attila, a hazai jura kutatások kiemelkedő egyéniségei előtt is, akik oktatómunkájukkal és eredményeikkel ifjabb kutatók nemzedékeit indították útnak és inspirálták.

Tárgyszavak: Jenkyns-esemény, toarci, hipertermális események, tömeges kihalás

Abstract

The Early Toarcian (~183 Ma, Early Jurassic) Jenkyns Event is defined as a series of environmental-climatic changes leading to changes in sedimentary regimes, perturbation of biogeochemical cycles, and a second-order mass extinction. Here, we briefly review the definition of this event and how it is recorded in characteristic sedimentary, palaeontological and geochemical signals all over the world, many of which have been documented in Hungary as well. Lower Toarcian strata are known in two tectonic units in Hungary representing different Tethyan environments: (1) in the Transdanubian Range Unit (TRU) manganiferous intercalations occur in a condensed pelagic limestone succession, and (2) in the Mecsek Basin (MB) of the Tisza Mega-unit (TU) in the form of an organic-rich black shale bed-set within a mixed siliciclastic-carbonate succession. Numerous studies of the Hungarian geological record of the Jenkyns Event have focused on its stratigraphy, sedimentology, palaeontology, geochemistry, and economic geology, leading to insights into biotic changes, geochemical perturbations, weathering regimes, and ore-forming processes, adding much relevant information to our understanding of these global phenomena. Despite such a rich history of investigations, the Toarcian successions in Hungary still offer plenty of opportunities for further research on the Jenkyns Event. Spearheading the Jurassic studies in Hungary for the past several decades, András GALÁCZ and Attila VÖRÖS have not only made an immense contribution but also inspired many researchers in their endeavours. This article pays tribute to their outstanding scientific career.

Keywords: Jenkyns Event, Toarcian, hyperthermal events, mass extinction

Introduction

Mesozoic hyperthermal events have been in the focus of a great number of paleoclimatic-environmental research recently, as they provide ample opportunities to study Earth System responses to enhanced greenhouse gas emissions. One prominent example of these events is the Jenkyns Event [or Toarcian Oceanic Anoxic Event (T-OAE)] in the Early Jurassic (~183 Ma) (JENKYNS 1988, MÜLLER et al. 2017, REOLID et al. 2020, ERBA et al. 2022, GAMBACORTA et al. 2023b). Triggered by CO_2 emission related to the emplacement of the Karoo-Ferrar Large Igneous Province (LIP) and associated thermal metamorphism of the vast Karoo Basin coal series, the Jenkyns Event evolved into an interval of pronounced climate changes and perturbations of biogeochemical cycles (*Fig. 1*) (PÁLFY & SMITH 2000, MCELWAIN et al. 2005, SVENSEN et al. 2007, PERCIVAL et al. 2015, RUEBSAM et al. 2020a, ULLMANN et al. 2020, HEIMDAL et al. 2021, RUHL et al. 2022). Global warming and the accelerated hydrological cycle induced by high atmospheric pCO_2 resulted in increased continental weathering, which altered nutrient cycling and ultimately led to high primary production, oxygen depletion and widespread deposition of organic-rich black shales (*Fig. 1*) (RÖHL et al. 2001; HERMOSO et al. 2013; THIBAULT et al. 2018; SUAN et al. 2018; MCARTHUR 2019; KEMP et al. 2020, 2022a, b; RUEBSAM et al. 2018, 2019, 2020b, c, d; GAMBACORTA et al. 2023a). Elevated pCO_2 during the Jenkyns Event had a major impact on ocean chemistry, causing a significant decrease in pH and a calcification crisis, which is also reflected in a decrease in carbonate production, often appearing as gaps and condensed sections in carbonate sequences (*Fig. 1*) (BUCEFALO-PALLIANI et al. 2002; MATTIOLI et al. 2004, 2009; TRECALLI et al. 2012; BRAME et al. 2019; KRENCKER et al. 2020; MÜLLER et al. 2020a, b, 2021; VASSEUR et al. 2021; ETTINGER et al. 2021). This series of climatic-environmental changes eventually led to a biotic crisis manifested in a second-order mass extinction and elevated faunal turnover (*Fig. 1*) (HALLAM 1987; LITTLE & BENTON 1995; ABERHAN & FURSICH 2000; HARRIES & LITTLE 1999; MACCHIONI & CECCA 2002; WIGNALL et al. 2006; DERA et al. 2010; GARCÍA JORAL et al. 2011; CARUTHERS et al. 2014; BAEZA-CARRATALÁ et al. 2017;

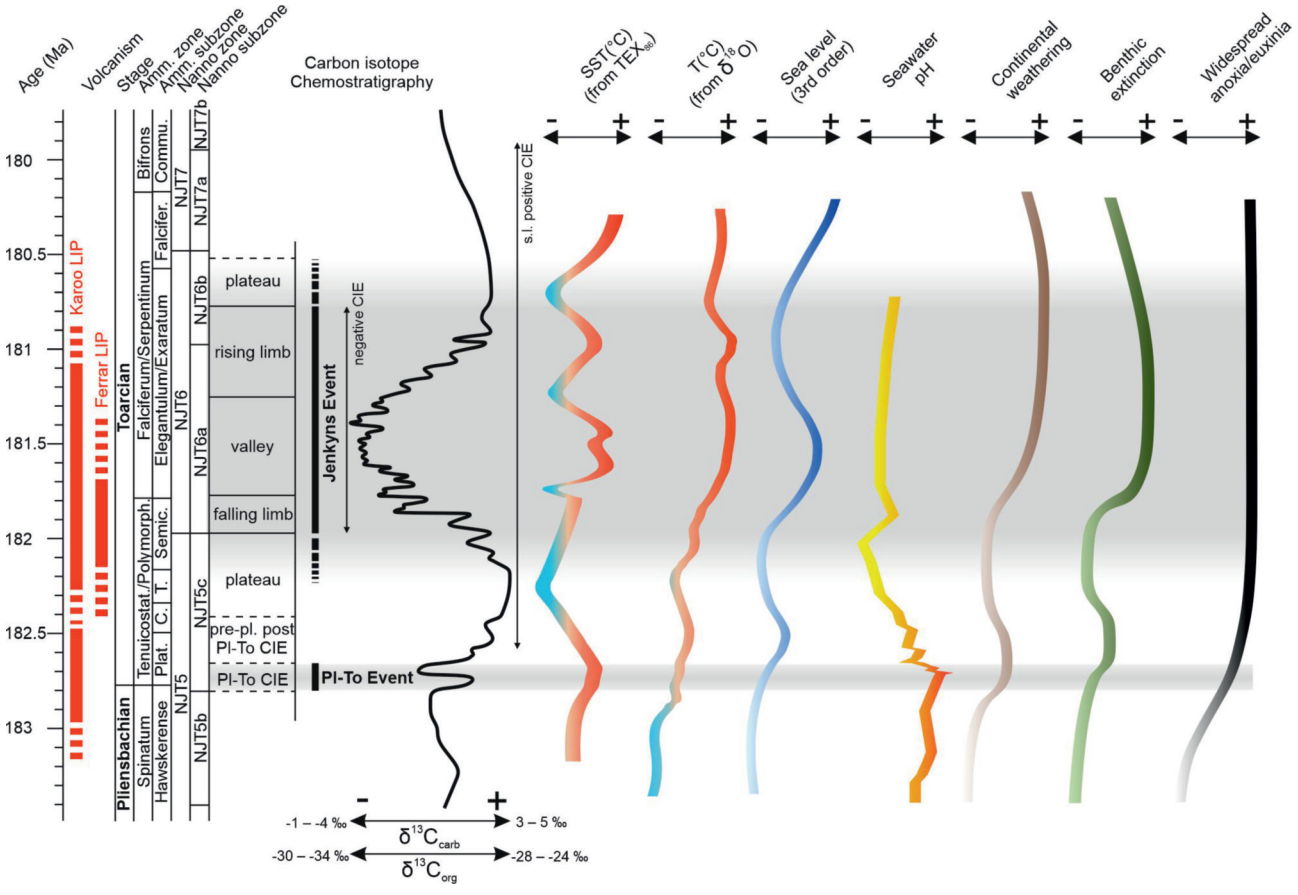

Figure 1. Integrated bio-, chrono, and chemostratigraphy and subdivisions of a composite carbon isotope curve of the early Toarcian (with typical ranges of maximum and minimum values of carbonate and organic carbon derived carbon isotope curves) (based on RUEBSAM & AL-HUSSEINI 2020, FERREIRA et al. 2019, AL-SUWAIDI et al. 2022 and BODIN et al. 2023), together with a schematic illustration of environmental changes associated with the Jenkyns Event (after CASWELL et al. 2009; RUEBSAM et al. 2019, 2022; MÜLLER et al. 2020a; HALLAM 1997; PERCIVAL et al. 2016; RUHL et al. 2023)

1. ábra. *Kora toarci integrált bio-, krono- és kemosztratigráfia a szakaszokra bontott összegzett szénizotóp-görbével (a jellemző minimum és maximum karbonát, valamint szervesanyag-fázis értékekkel) (RUEBSAM & AL-HUSSEINI 2020, FERREIRA et al. 2019, AL-SUWAIDI et al. 2022 és BODIN et al. 2023 alapján), valamint a Jenkyns-eseményhez kapcsolódó környezeti változások sematikus ábrázolása (after CASWELL et al. 2009; RUEBSAM et al. 2019, 2022; MÜLLER et al. 2020a; HALLAM 1997; PERCIVAL et al. 2016; RUHL et al. 2023 nyomán)*

Reolid et al. 2019; Danise et al. 2013; Vörös 2002; Vörös et al. 2016, 2019; Vasseur et al. 2021; Reolid et al. 2022). Perturbation of the carbon cycle is characterised by carbon isotope excursions (CIE), typically exhibiting a ~2-4‰ negative CIE around the Pliensbachian–Toarcian boundary, followed by a prolonged positive CIE in the early Toarcian, which is interrupted by a large negative CIE by 4-6‰ in the latest Tenuicostatum and early Falciferum biochrons. These anomalies and trends are well recognised in marine and terrestrial organic matter as well as in biogenic and bulk marine carbonates (*Fig. 1*) (Jenkyns & Clayton 1997; Hesselbo et al. 2000, 2007; Hesselbo & Pieńkowski 2011; Suan et al. 2008a, 2010, 2015; Xu et al. 2017, 2018; Müller et al. 2017, 2020b; Fantasia et al. 2019; Ullmann et al. 2014, 2020; Erba et al. 2022). The positive CIE is generally explained by high primary production and enhanced burial of ^{12}C, while the negative CIE is considered a result of additional ^{12}C input from either volcanic sources or methane liberated during the thermal metamorphism of coal, or methane-hydrate dissociation from marine or terrestrial reservoirs (Hesselbo et al. 2000, Svensen et al. 2007, Jenkyns 2010, Ruebsam et al. 2019). A composite early Toarcian $\delta^{13}C$ record is summarised by Ruebsam & Al-Husseini (2020) who identified characteristic segments of the curve based on its distinctive trend sand hinge points, thereby developing a system that offers an effective chemostratigraphic correlation tool (*Fig. 1*).

Within Hungary, two major tectonic units represent different depositional environments in the Early Jurassic. One of them, the Transdanubian Range Unit (TRU), which is part of the larger ALCAPA (AL – Alpine, CA – Carpathian, PA – Pannonian) Mega-unit was located south of its current position as part of the Neotethys margin of the Adria microplate (Gondwana /Africa/-related domain). The other one, the Tisza Mega-unit belonged to the NW European margin of the Neotethys (Géczy 1973, Haas & Péró 2004, Csontos & Vörös 2004, Császár et al. 2013) (*Figs. 2* and *3*). Within the Transdanubian Range Unit, a number of stratigraphic sections record the Jenkyns Event, predominantly in a pelagic carbonate depositional setting (Galácz 1988, Jenkyns et al. 1991, Vörös & Galácz 1998, Császár et al. 1998, Haas 2012, Polgári et al. 2016, Müller et al. 2021). In contrast, within the Tisza Mega-unit, the event is only recorded in the Mecsek Basin (MB) (western Mecsek nappe or Mecsek zone) (*Figs. 2* and *3*) where high sedimentation rate and mixed siliciclastic-carbonate deposition prevailed during this time (Jenkyns 1988; Galácz 1991; Dulai et al. 1992; Varga et al. 2007; Raucsik & Varga 2008a, b; Varga et al. 2009; Müller et al. 2017).

The Toarcian stratigraphic record of Hungary has attracted considerable interest and has been studied for more than a century, providing valuable localities for research concerning the Jenkyns Event. A common lithological marker of the Jenkyns Event is the occurrence of organic-rich black shales, which are particularly widespread and often expanded in the NW European basins. Well-studied units of these black shale are known locally as *Jet Rock* (Cleveland Basin, United Kingdom), *Posidonienschiefer* (SW Germany) and *Schistes Carton* (Paris Basin, France), to which the black shale occurrences of the MB in Hungary show close similarities (e.g., Hallam 1967, Röhl et al. 2001, Emmanuel et al. 2006, Dulai et al. 1992, Varga et al. 2007). In the Mediterranean Lower Jurassic, black shales are less common and relatively organic-lean compared to their NW European correlatives; the *Livello a Pesci* (Lombardian Basin, N Italy) is regarded as a typical example (Casellato & Erba 2015, Erba et al. 2022). Additionally, the Mediterranean records of the Jenkyns Event are often characterised by considerable manganese enrichment, e.g., in Bächental (Austria) or Monte Mangart (Italy–Slovenia) (Neumeister et al. 2015, Sabatino et al. 2011). In the TRU there are several localities with comparable features, including moderate TOC enrichment and high manganese concentrations, the latter with major economic importance (Vető et al. 1997; Polgári et al. 2012, 2016; Haas 2012).

The present review aims to comprehensively summarise our current knowledge of the stratigraphic, geochemical, and fossil record of the Jenkyns Event in Hungary. In addition, we also highlight the potential for further research that could contribute to our understanding of this remarkable global change event in deep time. For the two major tectonic units in Hungary with contrasting features, here we briefly provide a paleogeographic background and review of their sedimentary basin evolution to provide context for the Toarcian units that record the Jenkyns Event. We focus on the key localities, their litho- and biostratigraphy, with particular emphasis on the ammonite and nannofossil zonations. Data on the macro- and microfauna, as well as results of geochemical studies are reviewed, with the aim to enable the reader to follow up on the details using the sources listed here. As a pre-requisite to a meaningful summary of the various local records of the Jenkyns Event, we first review the evolving usage of this term.

Clarifying the definition of the Jenkyns Event

The term "oceanic anoxic events" was coined, and their interpretation was first developed using Cretaceous examples (Schlanger & Jenkyns 1976). Later, the recognition of widespread occurrence of black shales in the Falciferum Zone in Lower Toarcian successions led to the assumption of global significance of this phenomenon and the introduction of the term Toarcian Oceanic Anoxic Event (T-OAE) (Jenkyns 1988). Alternatively, the name "*Posidonienchiefer* Event" (Jenkyns 1999) was also used to refer to the T-OAE. At first, lithological characters of oxygen-depleted facies were the key markers of the event. Subsequently, however, chemostratigraphic features such as the carbon isotope anomalies were used to complement the definition, more specifically a prominent negative CIE that interrupts the broad early Toarcian positive CIE (Jenkyns & Clayton 1997, Jenkyns 2010, Boulila & Hinnov 2017, Thibault et al. 2018, Ruebsam et al. 2019). Since the 1990's and 2000's,

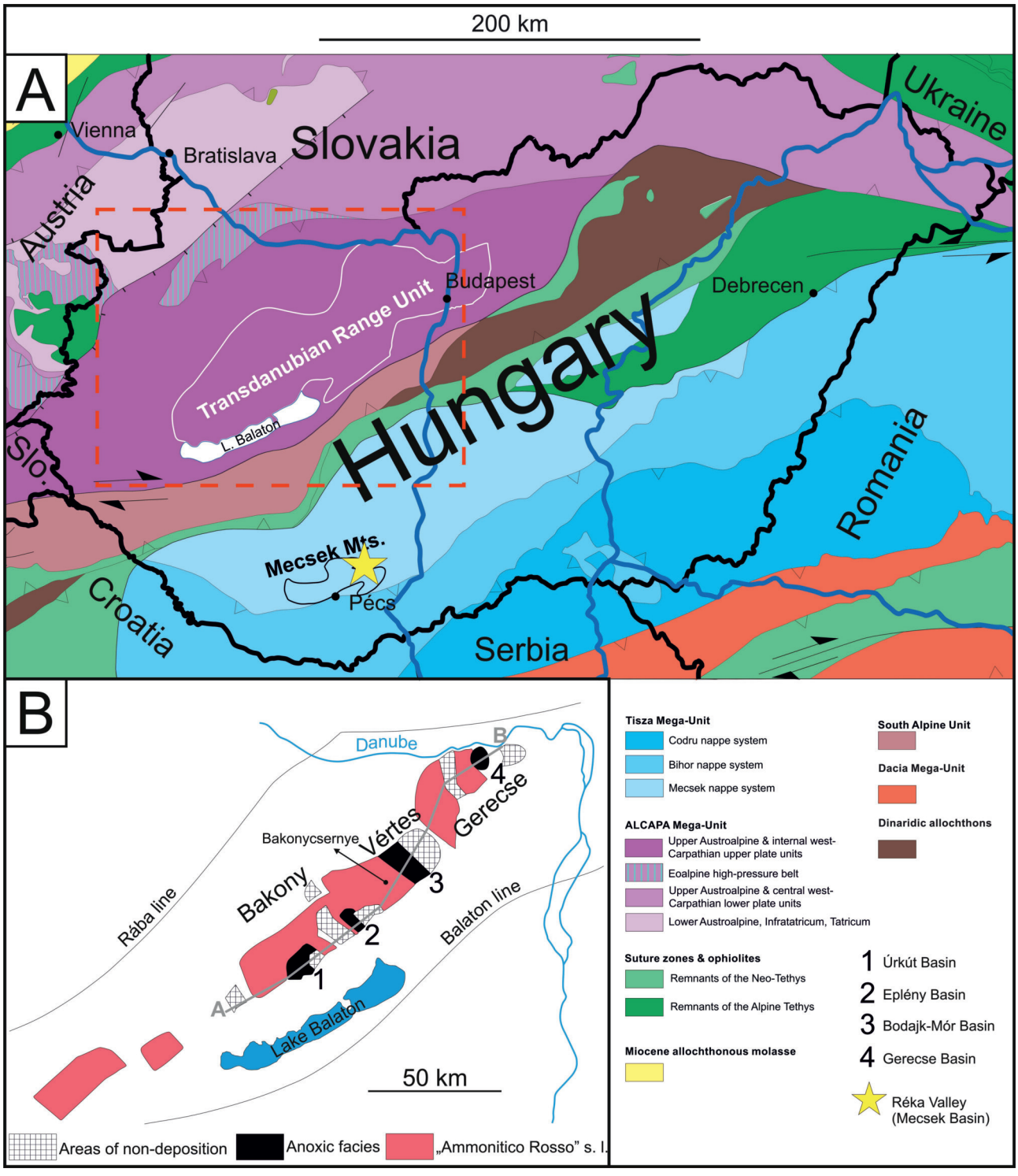

Figure 2. A: Tectonic map of Hungary and its surroundings (modified from SCHMID et al. 2020). B: Sedimentary basins and facies distribution in the Transdanubian Range Unit during the early Toarcian (after VÖRÖS & GALÁCZ 1998). For the cross-section along the grey line between A and B, see *Fig. 3C*

2. ábra. *A: Magyarország és a környező területek nagyszerkezeti egységeinek áttekintő térképe (SCHMID et al. 2020 után módosítva). B: A Dunántúli-középhegységi-egység üledékes medencéi és a fáciesek eloszlása a kora toarciban (VÖRÖS & GALÁCZ 1998 nyomán). Az A-B vonalnak megfelelő keresztszelvényt a* 3, C ábra *mutatja*

a growing number of studies revealed the complexity of this event, expressed by coeval paleontological, environmental, climatic and ocean chemistry changes (LITTLE & BENTON 1995; HESSELBO et al. 2000; KEMP et al. 2005; COHEN et al. 2004, 2007; MATTIOLI et al. 2008; DERA & DONNADIEU 2012; GILL et al. 2011; TRECALLI et al. 2012; MONTERO-SERRANO et al. 2015; PERCIVAL et al. 2016), creating the need for a more inclusive term for the event. MÜLLER et al. (2017) proposed renaming the T-OAE as "Jenkyns Event", honouring the seminal and pioneering work of Professor Hugh Jenkyns. Following that, REOLID et al. (2020) suggested a definition for the Jenkyns Event that refers to the sum of the coeval

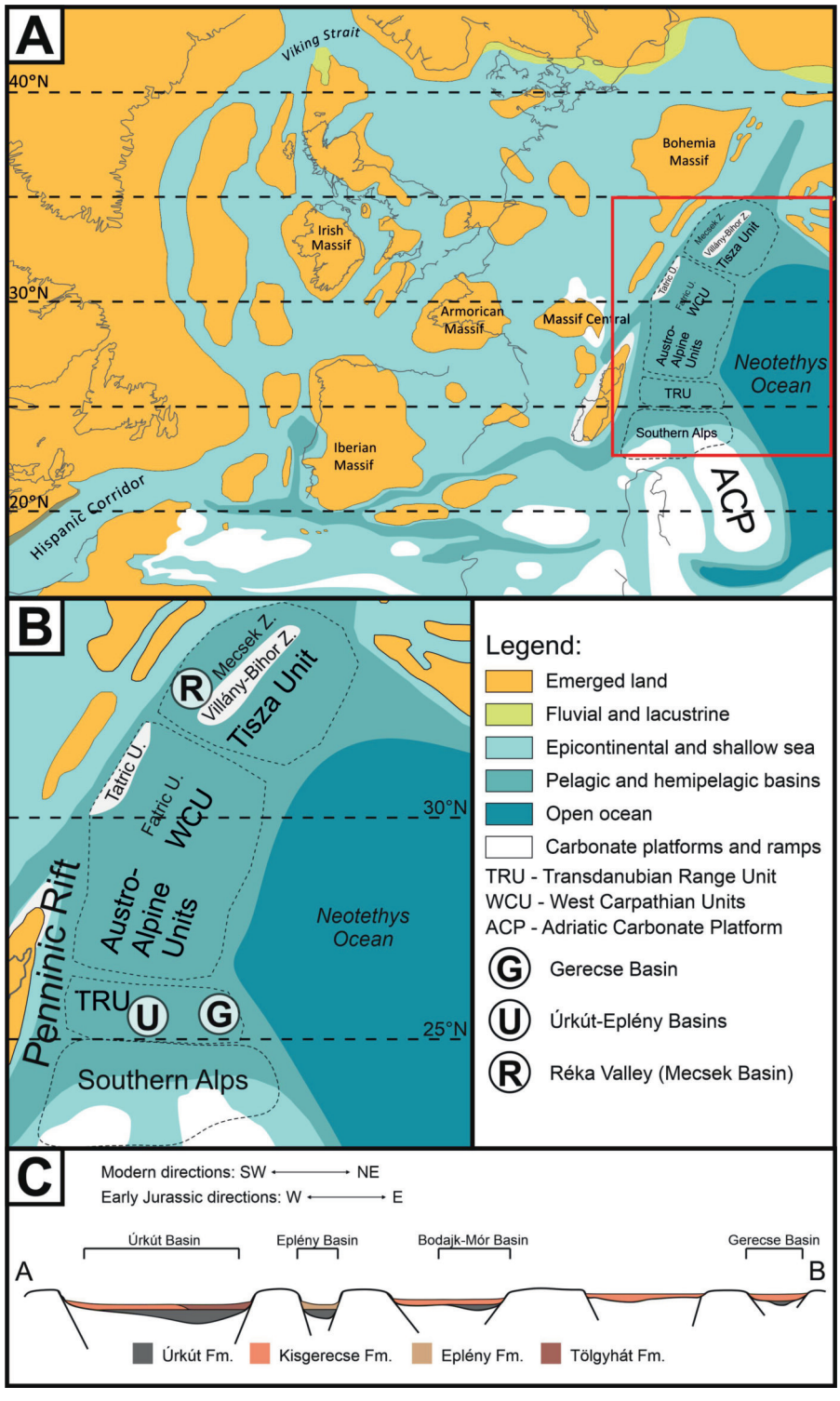

Figure 3. A: Palaeogeographic map of Europe and the NW Tethys during the Early Jurassic (modified from Thierry & Barrier 2000). Supposed position of the NW Tethyan tectonic units (Southers Alps, Transdanubian Range Unit, Austro-Alpine Units, Western Carpathian Units, and Tisza Unit) are marked with a dashed line (after Müller et al. 2021, based on Häusler et al. 1993 and Haas 2012). B: Close-up of the palaeogeography NW Neoethys margin during the Early Jurassic, showing the position of sedimentary basins discussed in the text. C: Cross section of the Transdanubian Range Unit along the A-B line in *Fig. 2B.*

3. ábra. *A: Európa és az ÉNy-i Tethys ősföldrajzi térképe a kora jurában (Thierry & Barrier (2000) nyomán módosítva). Az ÉNy-i tethysi szerkezeti egységek (Déli-Alpok, Dunántúli-középhegységi-egység, Ausztroalpi egységek, Nyugati-Kárpáti egységek, Tisza-egység) feltételezett helyzetét szaggatott vonal jelzi (Müller et al. 2021 nyomán, Häusler et al. 1993 és Haas 2012 alapján). B: Az ÉNy-i Tethys peremének nagyított ősföldrajzi térképe a kora jurában, feltüntetve a szövegben tárgyalt üledékes medencék helyzetét. C: A Dunántúli-középhegységi-egység keresztszelvénye a* 2, B ábrán *jelölt A-B vonal mentén*

global biotic, environmental, climatic and ocean chemistry changes. Additionally, these authors kept the term T-OAE and recommended using it exclusively for marine sedimentary records where there is clear evidence of oxygen-depleted conditions. Alternative definitions for the Jenkyns Event and T-OAE were also considered, where the term T-OAE was applied to the early Toarcian positive CIE and Jenkyns Event for the interrupting negative CIE (ERBA et al. 2022). Building on the growing number of published high-resolution early Toarcian carbon isotope records, combined with the increasingly sophisticated biostratigraphic framework, a detailed subdivision of this interval is now feasible. Such an integrated stratigraphic scheme employs a subdivision based on the hinge points of the carbon isotope record (RUEBSAM & AL-HUSSEINI 2020). This scheme was also adopted by GAMBACORTA et al. (2023b) who supplemented it with the pre-negative CIE interval (*Fig. 1*). These authors summarised our knowledge of the Jenkyns Event in great detail, and also proposed to use the T-OAE and the Jenkyns Event as synonyms that include the entire early Toarcian positive CIE.

In this paper, we also use the term Jenkyns Event as a synonym for the T-OAE as suggested by GAMBACORTA et al. (2023b). However, we prefer the name Jenkyns Event and argue that the historic usage of T-OAE should be discontinued as it may mistakenly imply its exclusivity to marine phenomena whereas this was a complex global event resulting in Earth system-wide changes that affected both the oceans and the continental realm (XU et al. 2017). Considering both the complexity and diachrony of the biotic and environmental changes occurring over this time interval (*Fig. 1*), we prefer not to rigidly fix the chronostratigraphic position of the Jenkyns Event. The main phase of the event is best regarded contemporaneous with the negative CIE (solid line on *Fig. 1*) but the diachrony of the observed changes warrants the inclusion of a transition zone with the most positive carbon isotope values before and after the negative CIE (dashed lines on *Fig. 1*) similarly as suggested by GAMBACORTA et al. (2023b).

Records of the Jenkyns Event in the Transdanubian Range Unit

Forming part of the broad shelf of the western Neotethys in the Late Triassic, extensive carbonate platforms developed in the TRU, the site of deposition of the Dachstein Fm. (HAAS & BUDAI 1995; HAAS 2002, 2004). Combined effects of the latest Rhaetian tectonic disruption, platform drowning (HAAS 1995), and environmental changes related to the end-Triassic mass extinction (PÁLFY et al. 2021) led to a significant hiatus throughout the TRU except in the Csővár Basin (NE extremity of the TRU), where sedimentation was continuous across the Triassic-Jurassic boundary (PÁLFY et al. 2001, HAAS et al. 2010, VALLNER et al. 2023). Sedimentation on shallow marine carbonate ramps resumed in the Hettangian, resulting in the deposition of thick-bedded, locally oncoidal limestone (Kardosrét Fm.) (*Fig. 4*) (VÖRÖS & GALÁCZ 1998). Continuous extensional tectonism in the TRU in the Sinemurian–Pliensbachian led to topographic differentiation, formation of submarine highs and fault-controlled basins. Condensed successions with gaps and hardgrounds typically formed on the highs, crinoidal-brachiopdal limestones (Hierlatz Fm.) at the toe of the steep slopes, and *ammonitico rosso*-type limestones (Pisznice Fm., Kishát Fm., Tűzkövesárok Fm.) were deposited in the basins (*Fig. 4*) (KONDA 1970; GALÁCZ 1988; CSÁSZÁR et al. 1998; VÖRÖS & GALÁCZ 1998; KNAUER 2012a, b). A marked change in the sedimentation occurred in the early Toarcian. In deeper parts of some basins, manganese-rich carbonates with black shale interbeds were deposited, which are assigned to the Úrkút Fm. (*Fig. 4*) (POLGÁRI et al. 2000, VÖRÖS & GALÁCZ 1998, HAAS 2012, SZABÓ 2012). In other basins, deposition of red pelagic marls and argillaceous limestones occurred, known as the Kisgerecse Fm. (VÖRÖS & GALÁCZ 1998, CSÁSZÁR et al. 1998). In the middle-late Toarcian, deposition of pelagic *ammonitico rosso*-type limestone resumed (Eplény Fm., Tölgyhát Fm.) (*Fig. 4*) (VÖRÖS & GALÁCZ 1998).

In the TRU, sedimentary records of the Jenkyns Event can be studied in several small fault-controlled basins; from SW to NE, they are the Úrkút and Eplény basins, the Bodajk–Mór Basin, and the Gerecse Basin (*Figs. 2B* and *3C*).

In the vicinity of the village of Úrkút in the Bakony Mts., the Jenkyns Event is expressed in a unique sedimentary succession of the manganese ore- (Mn-carbonate and -oxide) and pyritic black shale-bearing Úrkút Fm. The occurrence was first described by BÖCKH (1874), and subsequently it was subject to numerous studies concerning mainly its ore geology, mineralogy, and geochemistry (e.g., SIDÓ & SÍKABONYI 1952, GRASSELLY & CSEH NÉMETH 1961, CSEH NÉMETH 1967, POLGÁRI 1993, POLGÁRI et al. 2012, MOLNÁR et al. 2017, LESKÓ et al. 2019). The deposit had great economic significance, underground mining of the ore spanned 100 years between 1917–2016 (POLGÁRI et al. 2017). In terms of lithology and facies, the succession is exceptionally diverse in the Úrkút Basin. Overlying pelagic limestones of the upper Pliensbachian Kishát and Isztimér Fm., the Úrkút Fm. typically starts with a ~0.5 m thick Mn-oxide bed. It is followed by a ~1 m of black shale and ~8–14 m of manganese carbonate on top (Ore bed 1). The latter is composed of very fine-grained green, brown, black, and light-coloured, banded facies, dominated by authigenic Mn-carbonates and clays (BÍRÓ 2014; POLGÁRI et al. 2013, 2016). Ore bed 1 is overlain by another ~10 m thick black shale deposit, which in turn is followed by the ~4–5m thick Ore bed 2 that consists of Mn-carbonate-rich brown marl with a black shale intercalation (BÍRÓ 2014). On top of the Úrkút Fm. and a thin chert bed (formally named as the Cservár Chert Bed), ~2–3 m of reddish nodular marl of the Kisgerecse Fm. occurs, which is overlain by nodular limestone of the Eplény Fm. (BÍRÓ 2014). A peculiar occurrence of primary Mn-oxides can be found at Úrkút around the Csárda Hill (BÍRÓ & PÁL-MOLNÁR 2015).

The sedimentary record of the Eplény Basin reveals another characteristic and commercially exploited develop-

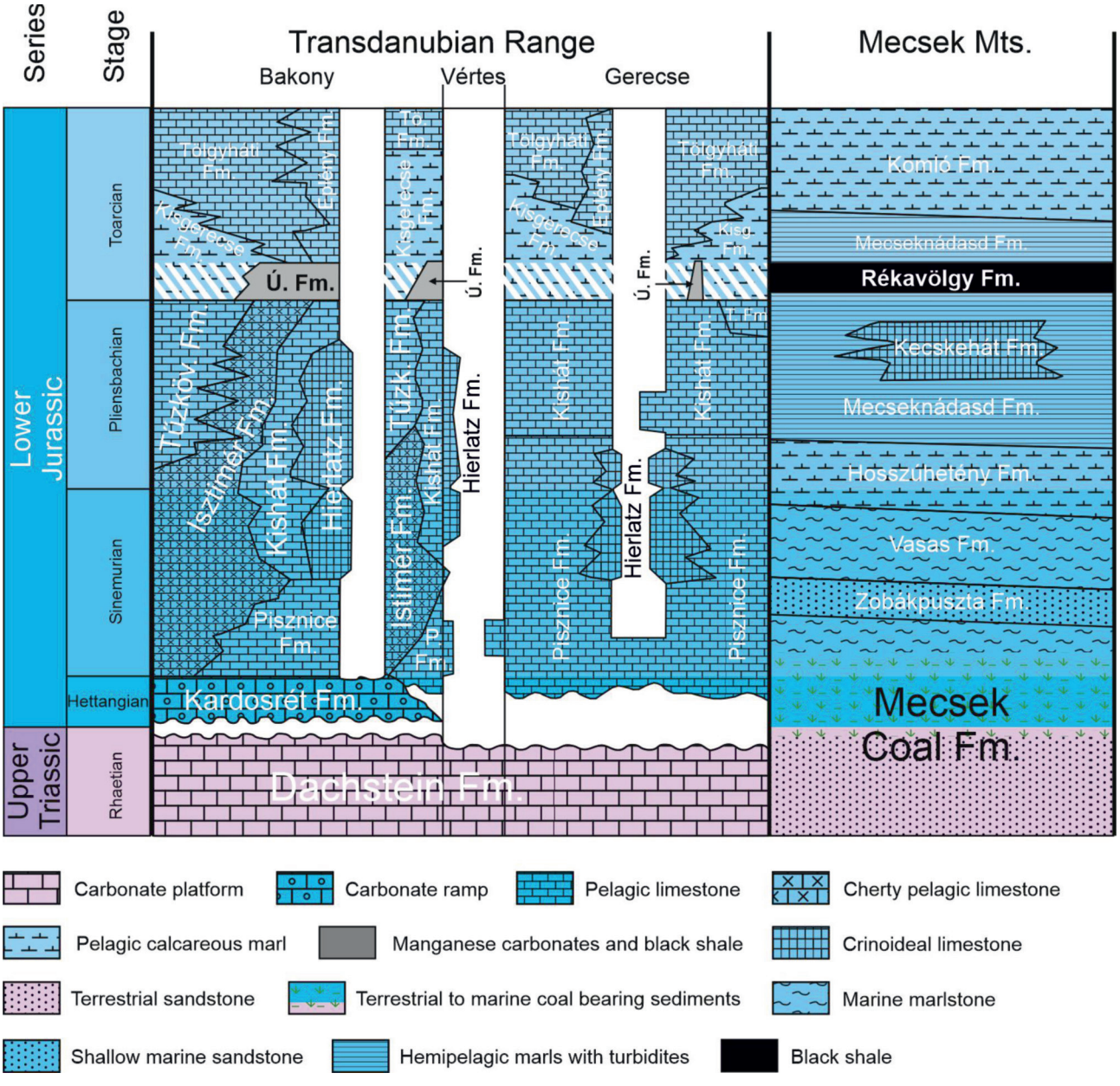

Figure 4. Upper Triassic–Lower Jurassic lithostratigraphy of the Transdanubian Range Unit (TRU) and the Mecsek Basin (after Babinszki et al. 2023). Triassic–Jurassic boundary modified after Pálfy et al. (2021). White stripes indicate common stratigraphic gaps in the Lower Toarcian of the TRU

Abbreviations: Ú. Fm. – Úrkút Formation; P. Fm. – Pisznice Formation; Tűzköv. Fm., Tűzk. Fm., T. Fm. – Tűzkövesárok Formation; Kisg. Fm. – Kisgerecse Formation; Tö. Fm. – Tölgyhát Formation

4. ábra. *A Dunántúli-középhegységi-egység és a Mecsek felső triász - alsó jura litosztratigráfiája (Babinszki et al. 2023 nyomán). A triász-jura határ módosítva Pálfy et al. (2021) alapján*

Rövidítések: Ú. Fm. - Úrkúti Formáció; P. Fm. - Pisznicei Formáció; Tűzköv. Fm., Tűzk. Fm., T. Fm. - Tűzkövesárki Formáció; Kisg. Fm. - Kisgerecsei Formáció; Tö. Fm. - Tölgyháti Formáció

ment of manganese oxide ores and black shale assigned to the Úrkút Fm. (Drubina-Szabó 1961, Cseh Németh 1967, Grasselly et al. 1969). Other lower Toarcian strongly condensed strata with manganese ore indications and thin (a few tens of cm) black shale occurrences were reported from the surroundings of the Eplény Basin at the Lókút Hill, Kávás Hill, Kericser, and Eperjes Hill localities (Konda 1970, Géczy 1971, Galácz 1988, Császár et al. 2008). Farther to the east, ~7 m of upper Liassic manganiferous black shale akin to that in the Úrkút and Eplény basins was explored in a borehole near Balinka in the Bodajk–Mór Basin (Konda 1970). The easternmost occurrence of this lower Jurassic black shale is known in the Gerecse Basin from a single locality, where a 10-30-cm-thick condensed shale bed is exposed in the Tölgyhát quarry (Konda 1988, Sasvári et al. 2009, Szente 2017, Müller et al. 2021). The lower part of the pelagic reddish-yellow nodular marl and calcareous marl of the Kisgerecse Fm. also records the Jenkyns event, albeit its late phase (Jenkyns et al. 1991, Müller et al. 2021). This unit is ~0.6–3.5 m thick, reaching its maximum thickness in the Bodajk–Mór and the Gerecse basins (Knauer 2012c).

On the basis of ammonite biostratigraphy, the lower ore bed in the Úrkút Basin was assigned to the Tenuicostatum Zone, the overlying black shale to the Serpentinum Zone, whereas the Kisgerecse Fm. to the Bifrons Zone (GÉCZY 1966a, b; 1968) (*Fig. 5*). Elsewhere, the manganiferous facies and black shale occurrences generally lack ammonites and their age is assumed based on the sharp differences in lithology relative to the under- and overlying strata, and the lithological resemblance to the Úrkút succession (KONDA 1970, GÉCZY 1971). Calcareous nannofossil data tentatively suggest the presence of the lower Toarcian NJT5 zone in the lower half of the lower ore bed and NJT6 zone in the upper half of the lower ore bed and the overlying black shale (*Fig. 5*) (SUAN et al. 2016). A significant stratigraphic gap is commonly inferred at the base of the lower Toarcian Kisgerecse Fm. at localities where the Úrkút Fm. is missing. This facies starts in the upper Serpentinum Zone at most localities. There is no record of the Tenuicostatum Zone, except for a few centimer-thick beds at the base of the formation at Bakonycsernye (west of the Bodajk–Mór Basin) and at Kisgerecse (the type section of the formation) in the Gerecse Basin (*Fig. 5*) (GÉCZY 1984, 1985; GÉCZY & SZENTE 2006; GALÁCZ et al. 2008, 2010, 2012; KOVÁCS 2012). Calcareous nannofossils from the Tölgyhát quarry indicate the presence of the lower Toarcian NJ6b and NJT7a subzones that allow correlation with the late phase of the Jenkyns Event (*Fig. 5*) (MÜLLER et al. 2021).

The Úrkút Fm. contains only scarce macrofauna. The finely laminated facies is devoid of bioturbation and benthic fossils (POLGÁRI et al. 1991). Ammonites were described by GÉCZY (1966a, 1966b, 1968), and other invertebrates are rare. Vertebrate remains, fish scales and bones occur sporadically. Entire articulated fish skeletons in phosphoritic nodules were found in the underground Úrkút mine (CSEH NÉMETH 1966, PÁSZTI 2004), and a nearly complete specimen of *Dapedium* sp. was recently reported (SZABÓ & PÁLFY 2020). Abundant fish teeth were encountered from the ~10-30-cm-thick black shale of the Tölgyhát quarry in the Gerecse Basin (VADÁSZ 1913, VÍGH 1925). Petrified and coalified fossil wood fragments occur in the Úrkút Fm., primarily in the black shale interval above the lower ore bed in the Úrkút mines (GREGUSS 1974, POLGÁRI et al. 2005). Abundant radiolarians were reported from the black shale in the Úrkút Basin (DRUBINA-SZABÓ 1959). Palynological analyses from the Úrkút mine revealed diverse and successive assemblages of different compositions and diversity that also contained several new nominal taxa of Jurassic sporomorphs (KEDVES 1990). Calcareous nannofossil assemblages are taxonomically diverse, dominated by *Schizosphaerella* spp., albeit various species of the genus *Lotharingius* are also common (SUAN et al. 2016). Scarce occurrences of *Bositra sp.*, echinoderm fragments, benthic forams and ostracods were also observed in the Úrkút succession (LANTOS et al. 2003). The red nodular marly facies of the Kisgerecse Fm. yielded a diverse early Toarcian ammonite fauna of great abundance, especially at localities near the village of Bakonycsernye (west of the Bodajk–Mór Basin) and in the Gerecse Basin (e.g., GÉCZY 1966c, 1967, 1984, 1985; GÉCZY & SZENTE 2006; GALÁCZ et al. 2008, 2010, 2012; KOVÁCS 2010, 2012, 2014; KOVÁCS et al. 2020). A diverse and unique foraminifera assemblage was recovered from the Kisgerecse Fm. from the area of Bakonycsernye (GÖRÖG & ZSIBORÁS 2020). Calcareous nannofossils were reported from the Tölgyhát quarry in the Kisgerecse Fm. in the Gerecse Basin (MÜLLER et al. 2021). The Kisgerecse Fm. also yielded an extraordinary vertebrate fossil find, a partial skeleton of a marine crocodile assigned to a new genus and species, *Magyarosuchus fitosi* (ŐSI et al. 2018), in addition to ichthyosaur remains that were also discovered at the same stratigraphic level (DUNAI 2012, Ősi & MÉSZÁROS 2020). A synoptic study of brachiopod faunas in the TRU pointed out a significant reduction in species-level diversity during the Jenkyns Event, which is thought to reflect unfavourable conditions and less successful adaptation of the group to environmental changes (VÖRÖS & DULAI 2007).

One of the unique features of the sedimentary record of the Jenkyns Event of the TRU, which is restricted to the central Bakony Mts, is the remarkably high rate of manganese mineral accumulation. In the Úrkút Basin, the average MnO concentration is ~24 wt% in Ore bed 1 and ~15 wt% in Ore bed 2 (SZABÓ & GRASSELLY 1980). The formation of the manganese carbonates is considered to be microbially mediated under suboxic conditions through bacterial Mn reduction during organic matter oxidation (POLGÁRI et al. 1991, 2012). Manganese is assumed to have originated from hydrothermal vent systems (POLGÁRI et al. 2012). However, the strict stratigraphic determination of the manganese-rich successions (as observed in similar occurrences regionally in the Southern Alps and Eastern Alps (SABATINO et al. 2011, NEUMEISTER et al. 2015, SUAN et al. 2016)) contradicts this hypothesis and suggests that environmental changes related to the event favour the bacterially mediated Mn-mineral formation scenario (HAAS 2012). Black shale samples yielded TOC values of ~2–3 wt% from the Úrkút Basin (VETŐ et al. 1997) and 2.68 wt% from the thin black shale in the Tölgyhát quarry (POLGÁRI 2000). Rock-Eval analyses provide low T_{max} values of immature organic matter in the black shale from Úrkút and suggest a mixed terigenous and marine source (POLGÁRI et al. 2016). Geochemical analysis of minor, trace and rare earth elements on the manganese ore and black shale facies at Úrkút (e.g., POLGÁRI 1993, GRASSELLY & PANTÓ 1988) indicate that suboxic to anoxic conditions were prevailing during the Jenkyns Event (BÍRÓ et al. 2015). Carbonate carbon isotope ($\delta^{13}C_{carb}$) data from Úrkút show extremely negative values (~–10 – –30‰) in the ore beds that are unlikely to be explained by changes in the global carbon cycle, hampering the possibility of chemostratigraphic use. Nevertheless, they further support the hypothesis of degradation of organic matter via manganese carbonate formation (POLGÁRI et al. 1991). Organic carbon isotope values ($\delta^{13}C_{org}$), on the other hand, display anomalies that likely reflect global changes (*Fig. 5*) (VETŐ et al. 1997, POLGÁRI et al. 2016). Strongly negative $\delta^{13}C_{org}$ values in the lower ~3 m of the Úr-

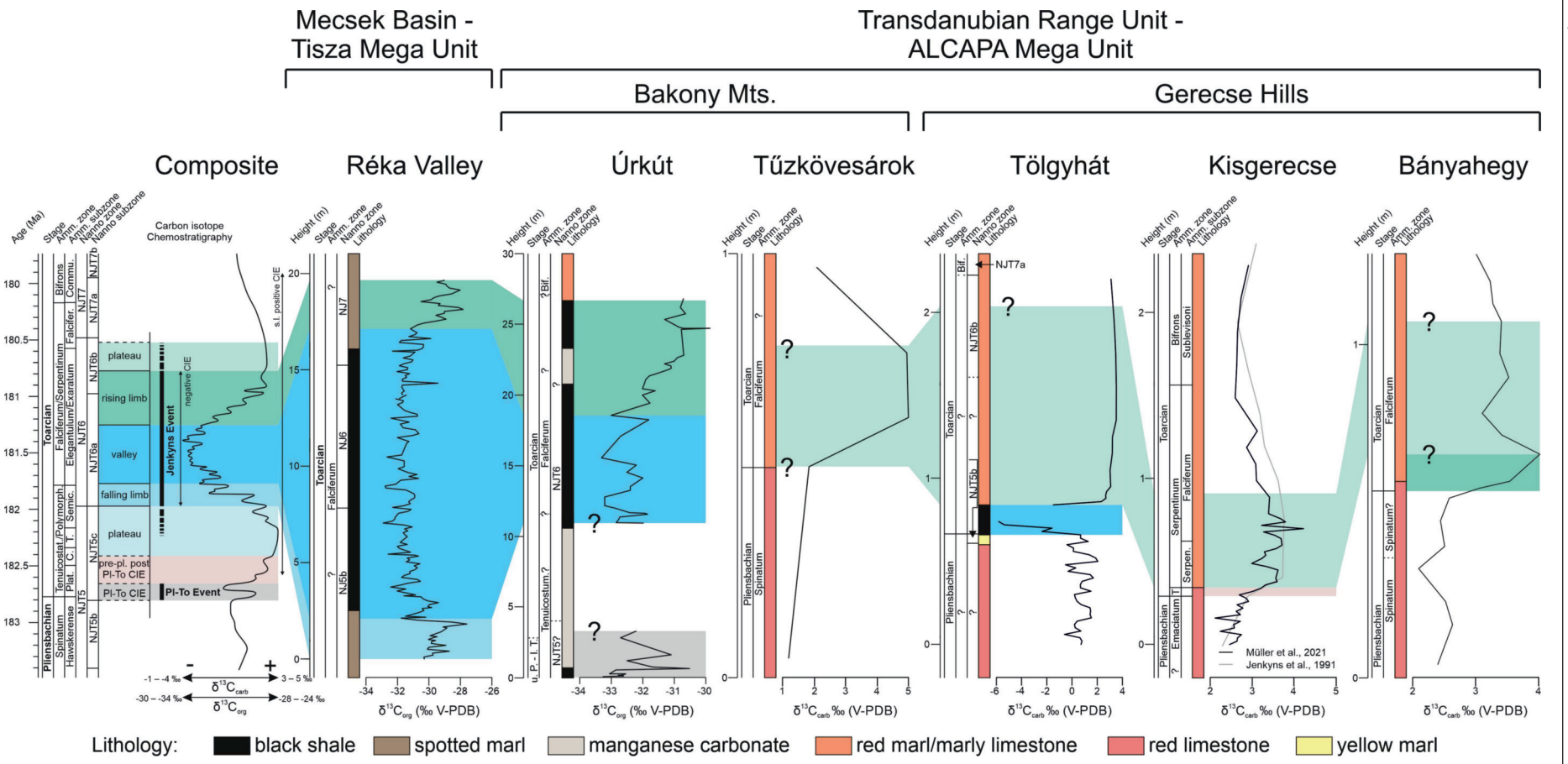

Figure 5. Integrated stratigraphy and carbon isotope chemostratigraphic correlation of key sections from Hungary with records of the Jenkyns Event (MÜLLER et al. 2017, 2021; POLGÁRI et al. 2016; GÉCZY 1966a, b, 1968; SUAN et al. 2016; JENKYNS et al. 1991; JENKYNS & CLAYTON 1986). For sources of the integrated stratigraphic framework, see the caption of *Fig. 1*

5. ábra. *A Jenkyns-eseményt rögzítő legfontosabb magyarországi szelvények integrált rétegtani és szénizotóp-kemosztratigráfiai korrelációja (MÜLLER et al. 2017, 2021; POLGÁRI et al. 2016; GÉCZY 1966a, b, 1968; SUAN et al. 2016; JENKYNS et al. 1991; JENKYNS & CLAYTON 1986). Az integrált rétegtani keret forrásait ld. az* 1. ábránál

kút profile, assigned to the lower Toarcian NJT5 nannozone, suggest the influence of the Pliensbachian–Toarcian boundary event (*Fig. 5*). Data from the black shale above the lower ore bed, up to ~18–19 m in the profile, show the lowest values and a fluctuating pattern. These features and the biostratigraphic assignment to the Falciferum and NJT6 zones indicate an interval corresponding to the *valley* phase in the carbon isotope stratigraphy (*Fig. 5*). Above the hinge point around ~18–19 m on the $\delta^{13}C_{org}$ curve, a ~8–9 m interval that includes the upper ore bed and the overlying black shale can be fitted to the *rising limb* (*Fig. 5*). Thus, chemostratigraphic correlation of the Úrkút data suggests that oxygen depletion in the basin already started before the Jenkyns Event at the Pliensbachian–Toarcian (Pl–To) boundary and then, later on, prevailed during the Jenkyns Event. The formation of Ore bed 1 likely preceded the main phase of the Jenkyns Event, although additional analyses and higher resolution of $\delta^{13}C_{org}$ data will be needed for a more accurate assessment and a reliable stratigraphic subdivision of the Úrkút sedimentary record. JENKYNS et al. (1991) presented a low-resolution $\delta^{13}C_{carb}$ record from the condensed Tűzkövesárok section near Bakonycsernye (west of the Bodajk–Mór Basin, Bakony Mts). These few datapoints, however, show very positive values (~4–5‰), directly above the upper Pliensbachian limestones in the first ~0.5 m of the marly facies of the Toarcian Kisgerecse Fm. The presence of the Falciferum Zone together with the positive values correlates this interval with the upper *plateau*, which implies a ~2 Myr gap at this locality (*Fig. 5*). Published $\delta^{13}C_{carb}$ data from the Gerecse Basin exist from three sections: the Tölgyhát quarry (MÜLLER et al. 2021), Kisgerecse (JENKYNS et al. 1991, MÜLLER et al. 2021), and Bányahegy (JENKYNS & CLAYTON 1986). Among these, the negative CIE is only detected at Tölgyhát, in the 10–30 cm black shale layer that can be correlated with the *valley* interval (*Fig. 5*). At Kisgerecse, a ~5 cm bed yielded ammonites of the Tenuicostatum Zone (GÉCZY 1985) and $\delta^{13}C_{carb}$ value of 2.5‰; thus, this bed can be correlated with the *pre-plateau* above the Pl-To CIE (*Fig. 5*). Higher levels at Tölgyhát and Kisgerecse (the marly facies of the Kisgerecse Fm.) represent the latest phase of the Jenkyns Event, correlated with the upper *plateau* (*Fig. 5*). Thus, our correlation suggests a significant gap at Tölgyhát below and above the black shale, and in Kisgerecse above and below the Tenuicostatum Zone bed (*Fig. 5*). At the condensed Bányahegy section, the first ~20–30 cm of the lower Toarcian might be correlated with higher part of the *falling limb* and the overlying ~0.5 m with the upper *plateau* (*Fig. 5*), also suggesting that the interrupted sedimentation resumed during the late phase of the Jenkyns Event.

In the predominantly carbonate sequence of the Jurassic in the TRU condensed successions and gaps in the pelagic *ammonitico rosso*-type facies are not uncommon and are related to sub-basin-scale tectonic, sedimentary and bottom current changes (GALÁCZ & VÖRÖS 1972). In several lower Toarcian successions in the TRU, especially in the Gerecse Basin, the occurrence of gaps, condensation, hardgrounds, and the near-complete lack of the lower Toarcian Tenuicostatum Zone and probably also the lowermost Falciferum Zone appears to be systematic (KONDA 1970, JENKYNS et al. 1991, CRONAN et al. 1991, VÖRÖS & GALÁCZ 1998, GALÁCZ et al. 2008). This observation suggests that, besides local factors, changes in seawater chemistry related to the Jenkyns Event likely had, at least in part, a negative impact on the carbonate sedimentation in the TRU (MÜLLER et al. 2021). Since terrigenous influx was extremely reduced during the Early Jurassic in the TRU (VÖRÖS & GALÁCZ 1998), global sea level rise and fluctuation during the Jenkyns Event (HALLAM 1997, PITTET et al. 2014, RUEBSAM et al. 2019) could also have played a role in the sedimentological expression of the event (MÜLLER et al. 2021).

Record of the Jenkyns Event in the Mecsek Basin

Early Jurassic sedimentation in the Mecsek Basin was controlled by an active half-graben system resulting in a very high sedimentation rate due to sustained deepening of the basin and enhanced clastic input. The thickness of the Lower Jurassic strata increases southward, reaching ~1700 m (NÉMEDI VARGA 1995, 1998; CSÁSZÁR et al. 2013). The upper Rhaetian to lower Sinemurian Mecsek Coal Fm. consists of siliciclastic coal-bearing, terrestrial to coastal marine deposits (NAGY 1968). Later in the Sinemurian to Pliensbachian, a thick series of mixed siliciclastics and carbonates indicate rapid deepening from shallow marine (Zobákpuszta and Vasas Fm.) to deep marine (Hosszúhetény Fm.; Mecseknádasd Fm. (RAUCSIK 2012a, b) depositional environments. Monotonous deep marine hemipelagic marls with turbidite interbeds (Mecseknádasd Fm.) dominate the lower Toarcian succession of the Mecsek Basin (NÉMEDI VARGA 1998, RAUCSIK & MERÉNYI 2000, RAUCSIK 2012b). Within this succession, a distinctive ~13 m thick black shale unit was designated as the Rékavölgy Formation and is considered as a lithological expression of the Jenkyns Event (DULAI et al. 1992, VARGA et al. 2007, RAUCSIK 2012c). (Note that previously, the lower Toarcian part of the Mecseknádasd Fm., also including the Rékavölgy Fm., was assigned to the Óbánya Fm. (HETÉNYI 1966, NÉMEDI VARGA 1998).) The middle and upper Toarcian deposits constitute a thick series of rhythmically bedded hemipelagic calcareous marls (Komló Fm.) (RAUCSIK 1997, 2012d) (*Fig. 4*). Together, the Toarcian deposits can reach up to ~160 m in the Mecsek Mts. (HETÉNYI 1996).

The Rékavölgy Fm. crops out at only a few localities in the western Mecsek Mts. Some exposures exist at Cseresnyák in the vicinity of the town of Komló but the best outcrop where the entire succession can be best studied, including the under- and overlying strata, is situated in the Réka Valley, in a ravine opening to the north from the main valley (~2 km south of the village of Óbánya). PETERS (1862) was the first to report the occurrence of black shale in the Réka Valley and already recognised its similarity to the *Posido-*

nienschiefer in the SW German (Schwabian) Basin. Later, VADÁSZ (1935) published the first faunal list with identified ammonite taxa and gave a detailed description of the succession. In the subsurface, this unit is known to occur in a SW-NW striking belt under the thick Neogene basin fill of the Great Hungarian Plain, and it was penetrated as a potential source rock by numerous boreholes for hydrocarbon exploration (BADICS & VETŐ 2012).

In the Réka Valley, the lower Toarcian part of the Mecseknádasd Fm., directly underlying the black shale succession, comprises grey to brown spotted marls (commonly referred to elsewhere as "Allgäu beds" or "Fleckenmergel") with up to ~60-cm-thick siliciclastic or carbonate turbidite intercalations. Bioturbation suggests fluctuating oxic to suboxic conditions during deposition. The Rékavölgy Fm. consists of dark grey, finely laminated, commonly micaceous and bituminous shales and paper shales with siliciclastic turbidite intercalations. This sedimentary facies is indicative of severely oxygen-depleted bottom conditions. Higher upsection, the spotted marl facies returns with gradually increasing carbonate content and less common turbidite intercalations, suggesting improving oxygenation. Petrographic and heavy mineral analyses of the Réka Valley succession pointed to metamorphic and felsic magmatic sources for the detrital component of the turbiditic beds (GALÁCZ 1991; DULAI et al. 1992; VARGA et al. 2007, 2009; RAUCSIK & VARGA 2008a, b).

Following the discovery and early study of ammonites (PETERS 1862, VADÁSZ 1935), the assignment of this black shale to the Falciferum Zone was accepted (FÜLÖP 1971, HETÉNYI *in* FÜLÖP 1978). Subsequently, new findings confirmed the age of the black shale as Falciferum Zone on the basis of specimens of *Hildaites* spp. (*Fig. 5*) and suggested the presence of the Bifrons Zone in the overlying strata (GALÁCZ 1991, DULAI et al. 1992). Recently, a review of the extensive and previously undocumented collection of Rudolf HETÉNYI from multiple localities and drill cores proved the existence of all standard NW European Toarcian ammonite chronozones in the Mecsek Mts (KOVÁCS et al. 2023). This study not only added further support for the presence of Serpentinum Zone (equivalent of Falciferum Zone by various authors) but also suggested the possibility of its subdivision into the older Elegantulum Subzone (with *Cleviceras exaratum*) and the younger Falciferum Subzone (with *Orthodactylites* sp., *Nodicoeloceras crassoides*, *Harpoceras serpentinum*, *H.* cf. *pseudoserpentinum*, *H. falciferum*, *Hildaites murleyi*, *H. serpentiniformis*, and *H.* cf. *subserpentinus*). Nevertheless, a detailed ammonite biostratigraphic study of the Réka Valley section is still needed. The first calcareous nannofossil studies from the Réka Valley established a broad correlation with the Tenuicosatatum and Falciferum ammonite zones; however, it was found to be difficult to define a more precise age (BALDANZA et al. 1995, VARGA et al. 2009). In a later study, the lower Toarcian NJT5b nannozone (based on the co-occurrence of *Lotharingius sigillatus, Biscutum finchii* and *Crepidolithus impontus*) was identified in the uppermost ~3 m of the spotted marl and the lower ~5 m of the black shale, NJ6 zone (with its base drawn at the first occurrence of *Carinolithus superbus*) for most of the upper part of the black shale, and NJ7 (marked by the first occurrence of *Discorhabdus striatus* and the last occurrence of *B. finchii*) for the uppermost ~1 m of the black shale and the lowermost ~5 m for the overlying spotted marl (*Fig. 5*) (MÜLLER et al. 2017).

Macrofauna is not abundant in the Réka Valley section. Although ammonites are moderately frequent finds, they are poorly preserved, mostly as flattened internal moulds. Their assemblage shows a NW European affinity (GALÁCZ 1991, DULAI et al. 1992, KOVÁCS et al. 2023). Fish scales and skeletal remains are common in the black shale, complete fish skeletons (e.g., *Leptolepis normandica*) are also known (DULAI et al. 1992, FŐZY & SZENTE 2014). A recent study of the bivalve assemblage found *Parainoceramya*? *dubia* as the most common taxon, accompanied by rare *Solemya voltzii*, *Liostrea hisingeri* and a few other species, whereas an apparent lack of *Bositra* (="*Posidonia*", "*Posidonomya*") was noted (SZENTE 2015), despite earlier reports of its presence (VADÁSZ 1935). The echinoid *Diademopsis*? cf. *crinifera* represents a unique find from the Rékavölgy Fm. (SZENTE 2015), whereas we found other echinoids and belemnites sporadically in the underlying spotted marl. Macroplant remains assigned to *Pagiophyllum*? sp. were encountered in the black shale (SZENTE 2015). Palynomophs are abundant in the back shale in Réka Valley (BUCEFALO PALLIANI et al. 1997). A detailed palynological and palynofacies study described diverse phytoplankton assemblages from the Réka Valley and interpreted their successive changes as the response to the environmental changes during the Jenkyns Event (BARANYI et al. 2016). The authors distinguished five intervals based on palynomorph assemblages, of which Interval 3, which corresponds to the ~13 m black shale, is characterised by a dinoflagellate cyst "blackout" (profound reduction of dinoflagellate cyst relative abundance) and prasinophyte bloom, marking the most severe phase of the environmental crisis during the Jenkyns Event. Among the microfauna, diverse Late Pliensbachian and Early Toarcian ostracod assemblages were reported from Réka Valley (MONOSTORI 2008). Notably, the black shale is barren of ostracods and marks the disappearance of Healdidae and the rise of Cytheridae to dominance. In addition, unpublished studies hint at the utility of foraminifera fauna in characterising the Pliensbachian–Toarcian evolution of the Mecsek basin and the effects of the Jenkyns Event (GÖRÖG 2004).

Investigation of clay mineral assemblages of the Réka Valley succession revealed a change to higher kaolinite dominance in the black shale strata and no indication of diagenetic overprint. Thus, variation in the clay mineral composition suggests a sharp change to a more humid and warmer climate, with a very high water/rock ratio in the hinterland during weathering that coincided with the Jenkyns Event (RAUCSIK & MERÉNYI 2000, VARGA et al. 2007, RAUCSIK & VARGA 2008). Analysis of K_2O/Al element ratio further confirmed episodes of extremely intense continental

weathering during the deposition of the black shale (MÜLLER et al. 2017). Notably, the black shale yielded very high TOC values up to ~15 wt%. Based on hydrogen and oxygen indices, the organic matter composition shifts from a mixed terrestrial-marine source in the underlying spotted marl to a predominantly marine source in the black shale. These observations and the high pyrite content suggest highly eutrophic conditions and anoxic bottom waters during deposition (DULAI et al. 1992, VARGA et al. 2007, RUEBSAM et al. 2018). The first low-resolution stable isotope geochemical study from the Réka Valley section (VARGA et al. 2007) obtained very negative $\delta^{13}C_{org}$ and $\delta^{13}C_{carb}$ values from the black shale that are typical for the valley of the negative CIE (*Fig. 5*) (RUEBSAM & AL-HUSSEINI 2020). However, the $\delta^{13}C_{carb}$ and $\delta^{18}O_{carb}$ record was considered diagenetically overprinted. Subsequently, two independent suites of high-resolution $\delta^{13}C_{org}$ data were obtained, displaying congruent isotope curves with very negative values (~–27 to –33‰) (MÜLLER et al. 2017, RUEBSAM et al. 2018). The data revealed a stepped and fluctuating negative carbon isotope excursion, which is widely regarded as the hallmark of the Jenkyns Event. Correlation of the Réka Valley $\delta^{13}C_{org}$ curve with an integrated stratigraphic framework suggests that the entire black shale spans the *valley* segment of the isotope reference curve, whereas the *falling limb* and the *rising limb* correspond to the underlying and overlying spotted marl, respectively (*Fig. 5*). A comparison with other high-resolution $\delta^{13}C_{org}$ curves suggests an uninterrupted depositional regime and a complete record in the Réka Valley (MÜLLER et al. 2017). Cyclostratigraphic analyses on the basis of $\delta^{13}C_{org}$, $CaCO_3$ and CH2 FTIR provided alternative estimations for the duration of the negative CIE. Assuming Milankovitch control, estimations imply the duration of the CIE as 200 kyr, 350 kyr or 1 Myr, depending on the possible dominance of either precession, obliquity or short eccentricity forcing, respectively (MÜLLER et al. 2017). Results of organic geochemical investigations found evidence of the expansion of H_2S-rich waters into the photic zone, as suggested by the occurrence of the *Chlorobiaceae*-derived isorenieratane biomarker which is ascribed to intensified bacterial sulphate reduction (RUEBSAM et al. 2018). A positive nitrogen isotope anomaly in the black shale provides evidence of local perturbation of the nitrogen cycle as a result of intense bioavailable nitrogen uptake and denitrification (RUEBSAM et al. 2018). Additionally, molecular geochemical evidence of normal marine salinity was found using methylated chromanes, leading to a conclusion that oxygen-depleted conditions during the Jenkyns Event in the Mecsek Basin were not promoted by seawater stratification owing to freshwater inflow (RUEBSAM et al. 2018).

Summary and conclusions

The Early Toarcian Jenkyns Event is one of the archetypal Mesozoic global change events, when profound climato-environmental perturbations triggered by intense LIP volcanism led to significant changes in the depositional patterns in marine basins and a second-order mass extinction. Ocean deoxygenation promoted widespread black shale accumulation. Increased CO_2 input into the ocean-atmosphere system altered seawater chemistry, affecting carbonate sedimentation. In Hungary, stratigraphic, paleontological, and geochemical expressions of the Jenkyns Event are well recorded and have a long history of study both in the basins of the Transdanubian Range Unit (TRU) (part of the southern /Adria/ Neotethys margin of the Neoethys) and in the Mecsek Basin (part of the NW /European/ Neotethys margin). In the SW part of TRU (Úrkút, Eplény) the sedimentary record of the manganiferous Úrkút Formation coincides with the main phase of the Jenkyns Event. The black shale deposition here is preceded by manganese carbonate accumulation which presumably occurred during the early phase of the event. In the central (Bakonycsernye) and NE part of TRU (Gerecse), deposition of pelagic marls of the Kisgerecse Formation occurred after a significant hiatus at the base of the succession. At these localities, the lowermost Toarcian is typically missing, and only the late phase of the Jenkyns Event is captured. In the Mecsek Basin, during the Early and early Middle Jurassic, siliciclastic-carbonate sedimentation took place with a high accumulation rate. The geochemical and litho- and biofacies characteristics of the ~13 m thick black shale of the Rékavölgy Fm. suggest the development of anoxic conditions in the main phase of the Jenkyns Event when euxinia might have reached the photic zone. Comparing the geological record of the Mecsek Basin and the TRU basins reveals that besides the sedimentation mode, the main difference was in the organic carbon accumulation. In the Mecsek Basin conditions were more favourable for organic matter preservation despite the higher sedimentation rate, albeit this is restricted to the main phase of the event. On the other hand, oxygen depletion may have started earlier in the Úrkút Basin of the TRU, with suboxic conditions prevailing during the early phase of the Jenkyns Event and anoxia probably occurring only during the main phase, resulting in moderate organic matter accumulation. Carbon isotope data of bulk organic carbon show the presence of the main negative CIE in the two stratigraphically most extended records, in the Réka Valley section and in the Úrkút succession. In addition, the strongly condensed development at Tölgyhát (Gerecse Basin) also captures the negative CIE in bulk carbonate. At all three localities, the negative CIE cooccurs within organic-rich facies. At Bakonycsernye and in most of the Gerecse successions carbon isotope chemostratigraphy reveals a major gap with a duration of up to ~ 2Myr.

This review summarises our current knowledge of the sedimentary, geochemical, and fossil record of the Jenkyns Event in Hungary and highlights possibilities for future research to enhance our understanding of one of the prominent hyperthermal events in the Mesozoic.

Acknowledgements

With this review article we pay tribute to the life-long achievements of András Galácz and Attila Vörös in furthering our knowledge of the Jurassic of Hungary. Their work and personality have been a tremendous source of inspiration and guided the research of successive generations of our Jurassic community in the last more than half a century. Reviews by János Haas and Adam Tomašových helped improve the manuscript. Funding of this research from NKFIH OTKA Grant K135309 is acknowledged. This is HUN-REN–MTM–ELTE Paleo contribution No. 400. Tamás Müller was supported by the New National Excellence Programme of the Ministry of Culture and Innovation, Hungary (ÚNKP-23-4-II-ELTE-918).

References – Irodalom

Aberhan, M. & Fürsich, F. T. 2000: Mass origination versus mass extinction: the biological contribution to the Pliensbachian–Toarcian extinction event. – *Journal of the Geological Society* **157/1,** 55–60. https://doi.org/10.1144/jgs.157.1.55

Al-Suwaidi, A. H., Ruhl, M., Jenkyns, H. C., Damborenea, S. E., Manceñido, M. O., Condon, D. J., Angelozzi, G. N., Kamo, S. L., Storm, M., Riccardi, A. C. & Hesselbo, S. P. 2022: New age constraints on the Lower Jurassic Pliensbachian–Toarcian Boundary at Chacay Melehue (Neuquén Basin, Argentina). – *Scientific Reports* **12/1,** 4975. https://doi.org/10.1038/s41598-022-07886-x

Babinszki E., Piros O., Budai T., Gyalog L., Halász A., Király E., Koroknai B., Lukács L. & M. Tóth T. (szerk.) 2023: *Magyarország litosztratigráfiai egységeinek leírása I. Prekainozoos képződmények.* (Lithostratigraphic units of Hungary 1. Pre-Cenozoic units.) – SZTFH, Budapest, 275 p. (In Hungarian)

Badics, B. & Vető, I. 2012: Source rocks and petroleum systems in the Hungarian part of the Pannonian Basin: The potential for shale gas and shale oil plays. – *Marine and Petroleum Geology* **31/1**, 53–69. https://doi.org/10.1016/j.marpetgeo.2011.08.015

Baeza-Carratalá, J. F., Joral, F. G., Goy, A. & Tent-Manclús, J. E. 2018: Arab-Madagascan brachiopod dispersal along the North-Gondwana paleomargin towards the Western Tethys Ocean during the early Toarcian (Jurassic). – *Palaeogeography, Palaeoclimatology, Palaeoecology* **490,** 252–268. https://doi.org/10.1016/j.palaeo.2017.11.004

Baldanza, A., Bucefalo Palliani, R. & Mattioli, E. 1995: Lower Jurassic calcareous nannofossils and dinoflagellate cysts of Hungary and their comparison with assemblages from Central Italy. – *Paleopelagos* **5,** 161–174.

Baranyi, V., Pálfy, J., Görög, Á., Riding, J. B. & Raucsik, B. 2016: Multiphase response of palynomorphs to the Toarcian oceanic anoxic event (Early Jurassic) in the Réka Valley section, Hungary. – *Review of Palaeobotany and Palynology* **235,** 51–70. https://doi.org/10.1016/j.revpalbo.2016.09.011

Bíró, L. 2014: The stratigraphic re-evaluation of the drillings of the manganese ore mining at Úrkút. – *Földtani Közlöny* **144/1,** 3–14. (In Hungarian with English abstract)

Biró, L. & Pál-Molnár, E. 2015: Trace and Rare Earth Element geochemistry of the primary manganese ore from Bakony (Hungary). – *Földtani Közlöny* **145/2,** 119–125. (In Hungarian with English abstract)

Bíró, L., Polgári, M., M. Tóth, T., Vigh, T., Kávási, N. & Sahoo, S. K. 2015: Terrestrial radioisotopes as paleoenvironmental proxies in sedimentary formations. – *Journal of Radioanalytical and Nuclear Chemistry* **306,** 289–293. https://doi.org/10.1007/s10967-014-3861-z

Böckh, J. 1874: Die geologischen Verhältnisse des südlichen Theiles des Bakony, II. – *Mittheilungen aus dem Jahrbuche der königlichen-ungarischen geologischen Anstalt* **3/1**, 1–180.

Bodin, S., Fantasia, A., Krencker, F. N., Nebsbjerg, B., Christiansen, L. & Andrieu, S. 2023: More gaps than record! A new look at the Pliensbachian/Toarcian boundary event guided by coupled chemo-sequence stratigraphy. – *Palaeogeography, Palaeoclimatology, Palaeoecology* **610,** 111344. https://doi.org/10.1016/j.palaeo.2022.111344

Boulila, S. & Hinnov, L. A. 2017: A review of tempo and scale of the early Jurassic Toarcian OAE: implications for carbon cycle and sea level variations. – *Newsletters on Stratigraphy* **50/4,** 363–389. https://doi.org/10.1127/nos/2017/0374

Brame, H. M. R., Martindale, R. C., Ettinger, N. P., Debeljak, I., Vasseur, R., Lathuiličre, B., Kabiri, L. & Bodin, S. 2019: Stratigraphic distribution and paleoecological significance of Early Jurassic (Pliensbachian–Toarcian) lithiotid-coral reefal deposits from the Central High Atlas of Morocco. – *Palaeogeography, Palaeoclimatology, Palaeoecology* **514,** 813–837. https://doi.org/10.1016/j.palaeo.2018.09.001

Bucefalo Palliani, R. B., Riding, J. B. & Torricelli, S. 1997: The dinoflagellate cyst *Luehndea* Morgenroth, 1970, emend. from the upper Pliensbachian (Lower Jurassic) of Hungary. – *Review of Palaeobotany and Palynology* **96/1–2,** 113–120. https://doi.org/10.1016/S0034-6667(96)00021-8

Bucefalo Palliani, R. B., Mattioli, E. & Riding, J. B. 2002: The response of marine phytoplankton and sedimentary organic matter to the early Toarcian (Lower Jurassic) oceanic anoxic event in northern England. – *Marine Micropaleontology* **46/3–4,** 223–245. https://doi.org/10.1016/S0377-8398(02)00064-6

Caruthers, A. H., Smith, P. L. & Gröcke, D. R. 2014: The Pliensbachian–Toarcian (Early Jurassic) extinction: a North American perspective. – *Geological Society of America Special Papers* **505,** 225–243. https://doi.org/10.1130/2014.2505(11)

Casellato, C. E. & Erba, E. 2015: Calcareous nannofossil biostratigraphy and paleoceanography of the Toarcian Oceanic Anoxic Event at Colle di Sogno (Southern Alps, Northern Italy). – *Rivista Italiana di Paleontologia e Stratigrafia* **121/3,** 297–327.

Caswell, B. A., Coe, A. L. & Cohen, A. S. 2009: New range data for marine invertebrate species across the early Toarcian (Early Jurassic) mass extinction. – *Journal of the Geological Society* **166/5,** 859–872. https://doi.org/10.1144/0016-76492008-0831

COHEN, A. S., COE, A. L., HARDING, S. M. & SCHWARK, L. 2004: Osmium isotope evidence for the regulation of atmospheric CO_2 by continental weathering. – *Geology* **32/2,** 157–160. https://doi.org/10.1130/G20158.1

COHEN, A. S., COE, A. L. & KEMP, D. B. 2007: The Late Palaeocene–Early Eocene and Toarcian (Early Jurassic) carbon isotope excursions: a comparison of their time scales, associated environmental changes, causes and consequences. – *Journal of the Geological Society* **164/6,** 1093-1108. https://doi.org/10.1144/0016-76492006-123

CRONAN, D. S., GALÁCZ, A., MINDSZENTY, A., MOORBY, S. A. & POLGÁRI, M. 1991: Tethyan ferromanganese oxide deposits from Jurassic rocks in Hungary. – *Journal of the Geological Society* **148/4,** 655–668. https://doi.org/10.1144/gsjgs.148.4.0655

CSÁSZÁR, G., GALÁCZ, A. & VÖRÖS, A. 1998: Jurassic of the Gerecse Mountains, Hungary: facies and Alpine analogies. – *Földtani Közlöny* **128/2–3,** 397–435. (In Hungarian with English abstract)

CSÁSZÁR, G., SZINGER, B. & PIROS, O. 2013: From continental platform towards rifting of the Tisza Unit in the Late Triassic to Early Cretaceous. – *Geologica Carpathica* **64/4,** 279–290. https://doi.org/10.2478/geoca-2013-0020

CSEH NÉMETH J. 1966: A mangánérc. (The manganese ore). – In: JANTSKY B. (szerk.), *Ásványtelepeink földtana* (Geology of ore deposits). Budapest: Műszaki Könyvkiadó, 120–142. (In Hungarian)

CSEH NÉMETH, J. 1967: Ein Vergleich der Manganerzlagerstätten von Úrkút und Eplény. – *Földtani Közlöny* **97,** 29–38. (In Hungarian with German abstract)

CSONTOS, L. & VÖRÖS, A. 2004: Mesozoic plate tectonic reconstruction of the Carpathian region. – *Palaeogeography, Palaeoclimatology, Palaeoecology* **210/1,** 1–56. https://doi.org/10.1016/j.palaeo.2004.02.033

DANISE, S., TWITCHETT, R. J., LITTLE, C. T. & CLEMENCE, M. E. 2013: The impact of global warming and anoxia on marine benthic community dynamics: an example from the Toarcian (Early Jurassic). – *PLoS One* **8/2,** e56255. https://doi.org/10.1371/journal.pone.0056255

DERA, G. & DONNADIEU, Y. 2012: Modeling evidences for global warming, Arctic seawater freshening, and sluggish oceanic circulation during the Early Toarcian anoxic event. – *Paleoceanography* **27/2,** PA2211. https://doi.org/10.1029/2012PA002283

DERA, G., NEIGE, P., DOMMERGUES, J. L., FARA, E., LAFFONT, R. & PELLENARD, P. 2010: High-resolution dynamics of Early Jurassic marine extinctions: the case of Pliensbachian–Toarcian ammonites (Cephalopoda). – *Journal of the Geological Society*, **167/1,** 21–33. https://doi.org/10.1144/0016-76492009-068

DRUBINA-SZABÓ, M. 1959: Manganese deposits of Hungary. – *Economic Geology* **54,** 1078–1093. https://doi.org/10.2113/gsecongeo.54.6.1078

DRUBINA-SZABÓ, M. 1961: The Liassic manganese deposits of the Bakony Mountains. – *A Magyar Földtani Intézet Évkönyve* **49/4,** 951–957.

DULAI A., SUBA ZS. & SZARKA A. 1992: Toarci (alsójura) szervesanyagdús feketepala a mecseki Réka-völgyben. – *Földtani Közlöny* **122/1**, 67–87.

DUNAI M. 2012: *Temnodontosaurus trigonodon* lelet a gerecsei alsó jurából. (*Temnodontosaurus trigonodon* find from the Lower Jurassic in Gerecse). – 15. Magyar Őslénytani Vándorgyűlés. – Program, előadáskivonatok, kirándulásvezető, Uzsa, p. 11. (In Hungarian)

EMMANUEL, L., RENARD, M., CUBAYNES, R., DE RAFELIS, M., HERMOSO, M., LECALLONNEC, L., LE SOLLEUZ, A. & REY, J. 2006: The "Schistes Carton" of Quercy (Tarn, France): a lithological signature of a methane hydrate dissociation event in the early Toarcian. Implications for correlations between Boreal and Tethyan realms. – *Bulletin de la Société géologique de France* **177/5,** 237–247. https://doi.org/10.2113/gssgfbull.177.5.237

ERBA, E., CAVALHEIRO, L., DICKSON, A. J., FAUCHER, G., GAMBACORTA, G., JENKYNS, H. C. & WAGNER, T. 2022: Carbon-and oxygen-isotope signature of the Toarcian Oceanic Anoxic Event: insights from two Tethyan pelagic sequences (Gajum and Sogno Cores–Lombardy Basin, northern Italy). – *Newsletters on Stratigraphy* **55/4,** 451–477. https://doi.org/10.1127/nos/2022/0690

ETTINGER, N. P., LARSON, T. E., KERANS, C., THIBODEAU, A. M., HATTORI, K. E., KACUR, S. M. & MARTINDALE, R. C. 2021: Ocean acidification and photic-zone anoxia at the Toarcian Oceanic Anoxic Event: Insights from the Adriatic Carbonate Platform. – *Sedimentology* **68/1,** 63–107. https://doi.org/10.1111/sed.12786

FANTASIA, A., ADATTE, T., SPANGENBERG, J. E., FONT, E., DUARTE, L. V. & FÖLLMI, K. B. 2019: Global versus local processes during the Pliensbachian–Toarcian transition at the Peniche GSSP, Portugal: a multi-proxy record. – *Earth-Science Reviews* **198,** 102932. https://doi.org/10.1016/j.earscirev.2019.102932

FERREIRA, J., MATTIOLI, E., SUCHÉRAS-MARX, B., GIRAUD, F., DUARTE, L. V., PITTET, B., SUAN, G., HASSLER, A. & SPANGENBERG, J. E. 2019: Western Tethys early and Middle Jurassic calcareous nannofossil biostratigraphy. – *Earth-Science Reviews* **197,** 102908. https://doi.org/10.1016/j.earscirev.2019.102908

FŐZY, I. & SZENTE, I. 2014: *Fossils of the Carpathian Region*. – Indiana University Press, Bloomington, 556 p.

FÜLÖP, J. 1971: Les formations jurassiques de la Hongrie. – *Annales Instituti Geologici Publici Hungarici* **54/2,** 31–45.

FÜLÖP, J. (Ed.) 1978: *Hongrie* – Lexique Stratigraphique International, Europe fascicule. 9. CNRS Paris, 666 p.

GALÁCZ, A. 1988: Tectonically controlled sedimentation in the Jurassic of the Bakony Mountains (Transdanubian Central Range), Hungary. – *Acta Geologica Hungarica* **31/3–4,** 313–328.

GALÁCZ, A. 1991: *A Mecsek-hegységi toarci feketepala őslénytani vizsgálata.* (Paleontological investigation of the Toarcian black shale from the Mecsek Mts.) – Manuscript, ELTE Department of Paleontology, 1–32. (In Hungarian)

GALÁCZ A. & VÖRÖS A. 1972: A bakony-hegységi jura fejlődéstörténeti vázlata a főbb üledékföldtani jelenségek kiértékelése alapján. – *Földtani Közlöny* **102,** 122–135

GALÁCZ, A., GÉCZY, B. & MONOSTORI, M. 2008: Csernye revisited: New ammonite finds and ostracods from the Lower Jurassic Pliensbachian/Toarcian boundary beds in Bakonycsernye, Transdanubian Hungary. – *Geologica Pannonica* **36,** 187–225.

GALÁCZ, A., CSÁSZÁR, G., GÉCZY, B. & KOVÁCS, Z. 2010: Ammonite stratigraphy of a Toarcian (Lower Jurassic) section on Nagy-Pisznice Hill (Gerecse Mts, Hungary). – *Central European Geology* **53/4,** 311–342. https://doi.org/10.1556/CEuGeol.53.2010.4.1

GALÁCZ, A., CSÁSZÁR, G., GÉCZY, B. & KOVÁCS, Z. 2012: The Toarcian ammonite stratigraphy of the so-called 'Crocodile' section on the Nagy-Pisznice Hill in the Gerecse Mountains (North-west Hungary). – *Földtani Közlöny* **142/1,** 21–32. (In Hungarian with English abstract)

Gambacorta, G., Cavalheiro, L., Brumsack, H. J., Dickson, A. J., Jenkyns, H. C., Schnetger, B., Wagner, T. & Erba, E. 2023a: Suboxic conditions prevailed during the Toarcian Oceanic Anoxic Event in the Alpine-Mediterranean Tethys: The Sogno Core pelagic record (Lombardy Basin, northern Italy). – *Global and Planetary Change* **223,** 104089. https://doi.org/10.1016/j.gloplacha.2023.104089

Gambacorta, G., Brumsack, H. J., Jenkyns, H. C. & Erba, E. 2023b: The early Toarcian Oceanic Anoxic Event (Jenkyns Event) in the Alpine-Mediterranean Tethys, north African margin, and north European epicontinental seaway. – *Earth-Science Reviews* 104636. https://doi.org/10.1016/j.earscirev.2023.104636

García Joral, F., Gómez, J. J. & Goy, A. 2011: Mass extinction and recovery of the Early Toarcian (Early Jurassic) brachiopods linked to climate change in northern and central Spain. – *Palaeogeography, Palaeoclimatology, Palaeoecology* **302/3–4,** 367–380. https://doi.org/10.1016/j.palaeo.2011.01.023

Géczy, B. 1966a: Upper Liassic ammonites from Úrkút, Bakony Mountains, Transdanubia, Hungary. – *Annales Universitatis Scientiarum Budapestinensis de Rolando Eötvös nominatae, Sectio Geologica* **10,** 116–160.

Géczy, B. 1966b: Upper Liassic Dactylioceratids of Úrkút. – *Acta Geologica Academiae Scientiarum Hungaricae* **10,** 427–443.

Géczy, B. 1966c: Ammonoides Jurassiques de Csernye, Montagne Bakony, Hongrie, Part I. (Hammatoceratidae) – *Geologica Hungarica, Series Palaeontologica* **34,** 1–275

Géczy, B. 1967: Ammonoides jurassiques de Csernye, Montagne Bakony, Hongrie. Part II. (excl. Hammatoceratidae). – *Geologica Hungarica, Series Palaeontologica* **35,** 1–413.

Géczy, B. 1968: Ammonoides du Lias supérieur d'Úrkút – *Földtani Közlöny* **98,** 218–226. (In Hungarian with French abstract)

Géczy, B. 1971: Ammonite faunae from the lower Jurassic standard profile at Lókút, Bakony Mountains, Hungary. – *Annales Universitatis Scientiarum Budapestinensis de Rolando Eötvös nominatae, Sectio Geologica* **15,** 47–76.

Géczy, B. 1973: Plate tectonics and paleogeography in the East-Mediterranean Mesozoic. – *Acta Geologica Hungarica* **17,** 21–428.

Géczy, B. 1984: Provincialism of Jurassic ammonites, examples from Hungarian faunas. – *Acta Geologica Hungarica* **27,** 379–389.

Géczy, B. 1985: Toarcian ammonite zones in the Gerecse Mountains (Hungary). – *Földtani Közlöny* **115,** 363–368. (In Hungarian with English and Russian abstract)

Géczy, B. & Szente, I. 2006: Middle Toarcian Ammonitina from the Gerecse Mts, Hungary. – *Acta Geologica Hungarica* **49/3,** 223–252. https://doi.org/10.1556/AGeol.49.2006.3.3

Gill, B. C., Lyons, T. W. & Jenkyns, H. C. 2011: A global perturbation to the sulfur cycle during the Toarcian Oceanic Anoxic Event. – *Earth and Planetary Science Letters* **312/3–4,** 484–496. https://doi.org/10.1016/j.epsl.2011.10.030

Görög Á. 2004: A mecseki liász foraminiferák biosztratigráfiai, palaeoökológiai és ősföldrajzi vizsgálata. (Lower Jurassic foraminifers from the Mecsek Mts, Hungary; biostratigraphy, palaeoecology and palaeobiogeography.) – Final report of research project T 025868, Hungarian Scientific Research Fund. (In Hungarian)

Görög, Á. & Zsiborás, G. 2020: Foraminiferal Faunal Changes in the Upper Pliensbachian–Toarcian Ammonitico Rosso Sections (Bakonycsernye, Hungary). – *Journal of Foraminiferal Research* **50/4,** 342–372. https://doi.org/10.2113/gsjfr.50.4.342

Grasselly, G. & Cseh Németh, J. 1961: Data on the geology and mineralogy of the manganese ore deposit of Úrkút I. – *Acta Mineralogica-Petrographica* **14,** 3–25.

Grasselly, Gy. & Pantó, Gy. 1988: Rare earth elements in the manganese deposit of Úrkút (Bakony Mountains, Hungary). – *Ore Geology Reviews* **4/1–2,** 115–124. https://doi.org/10.1016/0169-1368(88)90007-8

Grasselly, G., Szabó, Z., Bárdossy, G. & Cseh Németh, J. 1969: Data on the geology and mineralogy of the Eplény manganese ore deposit. – *Acta Mineralogica-Petrographica* **29/1,** 15–43.

Greguss, P. 1974: A new representative of coniferae from the Jurassic manganeous ore mine of Eplény. – *A Magyar Állami Földtani Intézet Évi Jelentése az 1972. évről*, 167–187. (In Hungarian with English abstract)

Haas, J. 1995: Upper Triassic platform carbonates in the Northern Bakony Mts. – *Földtani Közlöny* **125,** 27–64

Haas, J. 2002: Origin and evolution of Late Triassic platform carbonates in the Transdanubian Range (Hungary). – *Geologica Carpathica* **53,** 159–178

Haas, J. 2004: Characteristics of peritidal facies and evidences for subaerial exposures in Dachstein-type cyclic platform carbonates in the Transdanubian Range, Hungary. – *Facies* **50,** 263–286. https://doi.org/10.1007/s10347-004-0021-x

Haas, J. 2012: Influence of global, regional, and local factors on the genesis of the Jurassic manganese ore formation in the Transdanubian Range, Hungary. – *Ore Geology Reviews* **47,** 77–86. https://doi.org/10.1016/j.oregeorev.2011.08.006

Haas, J. & Budai, T. 1995: Upper Permian-Triassic facies zones in the Transdanubian Range. – *Rivista Italiana di Paleontologia e Stratigrafia* **101,** 249–266.

Haas, J. & Péró, Cs. 2004: Mesozoic evolution of the Tisza Mega-unit. – *International Journal of Earth Sciences* **93,** 297–313. https://doi.org/10.1007/s00531-004-0384-9

Haas, J., Götz, A. E. & Pálfy, J. 2010: Late Triassic to Early Jurassic palaeogeography and eustatic history in the NW Tethyan realm: New insights from sedimentary and organic facies of the Csővár Basin (Hungary). – *Palaeogeography, Palaeoclimatology, Palaeoecology* **291/3–4,** 456–468. https://doi.org/10.1016/j.palaeo.2010.03.014

Hallam, A. 1967: An environmental study of the upper Domerian and lower Toarcian in Great Britain. – *Philosophical Transactions of the Royal Society of London. Series B* **252/778,** 393–445. https://doi.org/10.1098/rstb.1967.0028

Hallam, A. 1987: Radiations and extinctions in relation to environmental change in the marine Lower Jurassic of northwest Europe. – *Paleobiology* **13/2,** 152–168. https://doi.org/10.1017/S0094837300008708

Hallam, A. 1997: Estimates of the amount and rate of sea-level change across the Rhaetian–Hettangian and Pliensbachian–Toarcian boundaries (latest Triassic to early Jurassic). – *Journal of the Geological Society* **154/5,** 773–779. https://doi.org/10.1144/gsjgs.154.5.0773

Harries, P. J. & Little, C. T. 1999: The early Toarcian (Early Jurassic) and the Cenomanian–Turonian (Late Cretaceous) mass

extinctions: similarities and contrasts. – *Palaeogeography, Palaeoclimatology, Palaeoecology* **154/1–2,** 39–66. https://doi.org/10.1016/S0031-0182(99)00086-3

HÄUSLER, H., PLAŠIENKA, D. & POLÁK, M. 1993: Comparison of Mesozoic successions in the Central Eastern Alps and the Central Western Carpathians. – *Jahrbuch der Geologischen Bundesanstalt* **136,** 715–739.

HEIMDAL, T. H., GODDÉRIS, Y., JONES, M. T. & SVENSEN, H. H. 2021: Assessing the importance of thermogenic degassing from the Karoo Large Igneous Province (LIP) in driving Toarcian carbon cycle perturbations. – *Nature Communications* **12/1,** 6221. https://doi.org/10.1038/s41467-021-26467-6

HERMOSO, M., MINOLETTI, F. & PELLENARD, P. 2013: Black shale deposition during Toarcian super-greenhouse driven by sea level. – *Climate of the Past* **9/6,** 2703–2712. https://doi.org/10.5194/cp-9-2703-2013

HESSELBO, S. P. & PIEŃKOWSKI, G. 2011: Stepwise atmospheric carbon-isotope excursion during the Toarcian oceanic anoxic event (Early Jurassic, Polish Basin). – *Earth and Planetary Science Letters* **301/1–2,** 365–372. https://doi.org/10.1016/j.epsl.2010.11.021

HESSELBO, S. P., GRÖCKE, D. R., JENKYNS, H. C., BJERRUM, C. J., FARRIMOND, P., MORGANS BELL, H. S. & GREEN, O. R. 2000: Massive dissociation of gas hydrate during a Jurassic oceanic anoxic event. – *Nature* **406/6794,** 392–395. https://doi.org/10.1038/35019044

HESSELBO, S. P., JENKYNS, H. C., DUARTE, L. V. & OLIVEIRA, L. C. 2007: Carbon-isotope record of the Early Jurassic (Toarcian) Oceanic Anoxic Event from fossil wood and marine carbonate (Lusitanian Basin, Portugal). – *Earth and Planetary Science Letters* **253/3–4,** 455–470. https://doi.org/10.1016/j.epsl.2006.11.009

HETÉNYI R. 1966: A mecseki középsőliász tagolása. (Subdivision of the middle Liassic of the Mecsek Mts.) – *A Magyar Állami Földtani Intézet Évi Jelentése, 1964*, 23–29. (In Hungarian)

HETÉNYI R. 1996: Óbányai Aleurolit Formáció. (Óbánya Siltstone Formation.) – In GYALOG L. (szerk.) A földtani térképek jelkulcsa és a rétegtani egységek rövid leírása. (Legend to geological maps and brief description of stratigraphic units.) *A Magyar Állami Földtani Intézet alkalmi kiadványa* **187,** Budapest, p. 112. (In Hungarian)

JENKYNS, H. C. 1988: The early Toarcian (Jurassic) anoxic event: stratigraphic, sedimentary, and geochemical evidence. – *American Journal of Science* **288,** 101–151. https://doi.org/10.2475/ajs.288.2.101

JENKYNS, H. C. 1999: Mesozoic anoxic events and palaeoclimate. – *Zentralblatt für Geologie und Paläontologie* **1997/7–9,** 943–949.

JENKYNS, H. C. 2010: Geochemistry of oceanic anoxic events. – *Geochemistry, Geophysics, Geosystems* **11/3,** Q03004. https://doi.org/10.1029/2009GC002788

JENKYNS, H. C. & CLAYTON, C. J. 1986: Black shales and carbon isotopes in pelagic sediments from the Tethyan Lower Jurassic. – *Sedimentology* **33/1,** 87–106. https://doi.org/10.1111/j.1365-3091.1986.tb00746.x

JENKYNS, H. C. & CLAYTON, C. J. 1997: Lower Jurassic epicontinental carbonates and mudstones from England and Wales: chemostratigraphic signals and the early Toarcian anoxic event. – *Sedimentology* **44/4,** 687–706. https://doi.org/10.1046/j.1365-3091.1997.d01-43.x

JENKYNS, H. C., GÉCZY, B. & MARSHALL, J. D. 1991: Jurassic manganese carbonates of central Europe and the early Toarcian anoxic event. – *The Journal of Geology* **99/2,** 137–149. https://doi.org/10.1086/629481

KEDVES, M. 1990: Palynological studies on manganese ore layers in Úrkút (Transdanubia), Hungary. – *Ore Geology Reviews* **5/5–6,** 491–507. https://doi.org/10.1016/0169-1368(90)90049-S

KEMP, D. B., COE, A. L., COHEN, A. S. & SCHWARK, L. 2005: Astronomical pacing of methane release in the Early Jurassic period. – *Nature* **437,** 396-399. https://doi.org/10.1038/nature04037

KEMP, D. B., SELBY, D. & IZUMI, K. 2020: Direct coupling between carbon release and weathering during the Toarcian oceanic anoxic event. – *Geology* **48/10,** 976–980. https://doi.org/10.1130/G47509.1

KEMP, D. B., CHEN, W., CHO, T., ALGEO, T. J., SHEN, J. & IKEDA, M. 2022a: Deep-ocean anoxia across the Pliensbachian–Toarcian boundary and the Toarcian Oceanic Anoxic Event in the Panthalassic Ocean. – *Global and Planetary Change* **212,** 103782. https://doi.org/10.1016/j.gloplacha.2022.103782

KEMP, D. B., SUAN, G., FANTASIA, A., JIN, S. & CHEN, W. 2022b: Global organic carbon burial during the Toarcian oceanic anoxic event: Patterns and controls. – *Earth-Science Reviews* **231,** 104086. https://doi.org/10.1016/j.earscirev.2022.104086

KNAUER J. 2012a: Kisháti Mészkő Formáció. (Kishát Limestone Formation.) – In FŐZY I. (szerk.): *Magyarország litosztratigráfiai alapegységei. Jura* (Lithostratigraphic Units of Hungary. Jurassic). Hungarian Geological Society, Budapest, 47–50. (In Hungarian)

KNAUER J. 2012b: Tűzkövesárki Mészkő Formáció. (Tűzkövesárok Limestone Formation.) – In FŐZY I. (szerk.): *Magyarország litosztratigráfiai alapegységei. Jura* (Lithostratigraphic Units of Hungary. Jurassic). Hungarian Geological Society, Budapest, 44–46. (In Hungarian)

KNAUER J. 2012c: Kisgerecsei Márga Formáció. (Kisgerecse Marl Formation.) – In FŐZY I. (szerk.) 2012: *Magyarország litosztratigráfiai alapegységei. Jura* (Lithostratigraphic Units of Hungary. Jurassic). Hungarian Geological Society, Budapest, 62–64. (In Hungarian)

KONDA, J. 1970: Lithologische und Fazies-Untersuchung der Jura-Ablagerungen des Bakony-Gebirges. – *Magyar Állami Földtani Intézet Évkönyve* **50/2,** 161–260.

KONDA J. 1988: *Gerecse, Lábatlan, Tölgyháti kőfejtő* (Tölgyhát quarry, Lábatlan, Gerecse). – Magyar Állami Földtani Intézet (Hungarian Geological Institute), Magyarország geológiai alapszelvényei (Geological Reference Sections of Hungary), 4 p.

KOVÁCS, Z. 2010: Paroniceratidae (Ammonitina) of the Toarcian from the Gerecse Mts (NE Transdanubian Range, Hungary). – *Földtani Közlöny* **140/2,** 119–134.

KOVÁCS, Z. 2012: Lower Toarcian Ammonitida fauna and biostratigraphy of the Gerecse Mountains (Hungary). – *Fragmenta Palaeontologica Hungarica* **29,** 1–48.

KOVÁCS, Z. 2014: Phymatoceratidae (Ammonitina) fauna from the Lower Jurassic of the Gerecse Mts (Hungary). – *Földtani Közlöny* **144/1,** 15–36.

KOVÁCS, Z., DUNAI, M. & EVANICS, Z. 2020: Toarcian (Jurassic) Ammonitina fauna and stratigraphy from Bakonycsernye (Hungary). – *Revue de Paléobiologie* **39/1,** 141–181.

KOVÁCS, Z., HORVÁTH-KOSTKA, Zs., MÜLLER, T. & PÁLFY, J. 2023: Chronostratigraphic overview of the Toarcian (Early Jurassic)

ammonite fauna from the Mecsek Mountains (Hungary). – *Geologica Carpathica* **74/3,** 211–232. https://doi.org/10.31577/GeolCarp.2023.14

Krencker, F. N., Fantasia, A., Danisch, J., Martindale, R., Kabiri, L., El Ouali, M. & Bodin, S. 2020: Two-phased collapse of the shallow-water carbonate factory during the late Pliensbachian–Toarcian driven by changing climate and enhanced continental weathering in the Northwestern Gondwana Margin. – *Earth-Science Reviews* **208,** 103254. https://doi.org/10.1016/j.earscirev.2020.103254

Lantos, Z., Vető, I., Földvári, M. & Kovács-Pálffy, P. 2003: On the role of remote magmatic source and intrabasinal redeposition in the genesis of the Toarvian Úrkút Manganese ore, Hungary. – *Acta Geologica Hungarica* **46/4,** 321–340. https://doi.org/10.1556/AGeol.46.2003.4.1

Leskó, M. Z., Papp, R. Z., Topa, B. A., Kristály, F., Vigh, T. & Zajzon, N. 2019: Smectite appearance in the footwall of the Úrkút manganese ore deposit, Bakony Mts., Hungary. – *Central European Geology* **62/1,** 100–118. https://doi.org/10.1556/24.62.2019.02

Little, C. T. & Benton, M. J. 1995: Early Jurassic mass extinction: a global long-term event. – *Geology* **23/6,** 495–498. https://doi.org/10.1130/0091-7613(1995)023<0495:EJMEAG>2.3.CO;2

Macchioni, F. & Cecca, F. 2002: Biodiversity and biogeography of middle–late Liassic ammonoids: implications for the early Toarcian mass extinction. – *Geobios* **35,** 165–175. https://doi.org/10.1016/S0016-6995(02)00057-8

Mattioli, E., Pittet, B., Palliani, R., Röhl, H. J., Schmid-Röhl, A. & Morettini, E. 2004: Phytoplankton evidence for the timing and correlation of palaeoceanographical changes during the early Toarcian oceanic anoxic event (Early Jurassic). – *Journal of the Geological Society* **161/4,** 685–693. https://doi.org/10.1144/0016-764903-074

Mattioli, E., Pittet, B., Suan, G. & Mailliot, S. 2008: Calcareous nannoplankton changes across the early Toarcian oceanic anoxic event in the western Tethys. – *Paleoceanography* **23/3,** PA3208. https://doi.org/10.1029/2007PA001435

Mattioli, E., Pittet, B., Petitpierre, L. & Mailliot, S. 2009: Dramatic decrease of pelagic carbonate production by nannoplankton across the Early Toarcian anoxic event (T-OAE). – *Global and Planetary Change* **65/3–4,** 134–145. https://doi.org/10.1016/j.gloplacha.2008.10.018

McArthur, J. M. 2019: Early Toarcian black shales: a response to an oceanic anoxic event or anoxia in marginal basins? – *Chemical Geology* **522,** 71–83. https://doi.org/10.1016/j.chemgeo.2019.05.028

McElwain, J. C., Wade-Murphy, J. & Hesselbo, S. P. 2005: Changes in carbon dioxide during an oceanic anoxic event linked to intrusion into Gondwana coals. – *Nature* **435/7041,** 479–482. https://doi.org/10.1038/nature03618

Molnár, Z., Polgári, M., Hein, J. R., Józsa, S., Fekete, J., Gyollai, I., Fintor, K., Bíró, L., Szabó, M., Rapi, S., Forgó, P. & Vigh, T. 2017: Fe-Mn oxide indications in the feeder and mound zone of the Jurassic Mn-carbonate ore deposit, Úrkút, Hungary. – *Ore Geology Reviews* **86,** 839–855. https://doi.org/10.1016/j.oregeorev.2016.11.005

Monostori, M. 2008: Comparative study of the Pliensbachian and Toarcian ostracods in the Gerecse and Mecsek Mountains, Hungary. – *Hantkeniana* **6,** 17–31.

Montero-Serrano, J. C., Föllmi, K. B., Adatte, T., Spangenberg, J. E., Tribovillard, N., Fantasia, A. & Suan, G. 2015: Continental weathering and redox conditions during the early Toarcian Oceanic Anoxic Event in the northwestern Tethys: Insight from the Posidonia Shale section in the Swiss Jura Mountains. – *Palaeogeography, Palaeoclimatology, Palaeoecology* **429,** 83–99. https://doi.org/10.1016/j.palaeo.2015.03.043

Müller, T., Price, G. D., Bajnai, D., Nyerges, A., Kesjár, D., Raucsik, B., Varga, A., Judik, K., Fekete, J., May, Z. & Pálfy, J. 2017: New multiproxy record of the Jenkyns Event (also known as the Toarcian Oceanic Anoxic Event) from the Mecsek Mountains (Hungary): Differences, duration and drivers. – *Sedimentology* **64/1,** 66–86. https://doi.org/10.1111/sed.12332

Müller, T., Jurikova, H., Gutjahr, M., Tomašových, A., Schlögl, J., Liebetrau, V., Duarte, L. V., Milovský, R., Suan, G., Mattioli, E., Pittet, B. & Eisenhauer, A. 2020a: Ocean acidification during the early Toarcian extinction event: Evidence from boron isotopes in brachiopods. – *Geology* **48/12,** 1184–1188. https://doi.org/10.1130/G47781.1

Müller, T., Karancz, S., Mattioli, E., Milovský, R., Pálfy, J., Schlögl, J., Segit, T., Šimo, V. & Tomašových, A. 2020b: Assessing anoxia, recovery and carbonate production setback in a hemipelagic Tethyan basin during the Toarcian Oceanic Anoxic Event (Western Carpathians). – *Global and Planetary Change* **195,** 103366. https://doi.org/10.1016/j.gloplacha.2020.103366

Müller, T., Price, G. D., Mattioli, E., Leskó, M. Z., Kristály, F. & Pálfy, J. 2021: Hardground, gap and thin black shale: spatial heterogeneity of arrested carbonate sedimentation during the Jenkyns Event (T-OAE) in a Tethyan pelagic Basin (Gerecse Mts, Hungary). – *Geological Society of London Special Publications* **514,** 269–289 https://doi.org/10.1144/SP514-2020-266

Némedi Varga Z. 1995: *A mecseki feketekőszén kutatása és bányaföldtana*. (Exploration and mining geology of the coal deposits of Mecsek) – Miskolci Egyetem Központi Könyvtár és Levéltár, Miskolc. (In Hungarian)

Némedi Varga Z. 1998: A Mecsek- és a Villányi egység jura képződményeinek rétegtana. (Jurassic stratigraphy of the Mecsek and Villány Units.) – In: Bérczi I. & Jámbor Á. (szerk.), *Magyarország geológiai képződményeinek rétegtana*. (Stratigraphy of geological formations of Hungary.) MOL Hungarian Oil and Gas Company and Geological Institute of Hungary, Budapest, 319–336.

Neumeister, S., Gratzer, R., Algeo, T. J., Bechtel, A., Gawlick, H. J., Newton, R. J. & Sachsenhofer, R. F. 2015: Oceanic response to Pliensbachian and Toarcian magmatic events: implications from an organic-rich basinal succession in the NW Tethys. – *Global and Planetary Change* **126,** 62–83. https://doi.org/10.1016/j.gloplacha.2015.01.007

Ősi, A. & Mészáros, L. 2020: Vertebrate fossils and associated research in the Carpathian Basin. – *Földtani Közlöny* **150/3,** 375–375. (In Hungarian with English abstract) https://doi.org/10.23928/foldt.kozl.2020.150.3.375

Ősi, A., Young, M. T., Galácz, A. & Rabi, M. 2018: A new large-bodied thalattosuchian crocodyliform from the Lower Jurassic (Toarcian) of Hungary, with further evidence of the mosaic acquisition of marine adaptations in Metriorhynchoidea. – *PeerJ* **6,** e4668. https://doi.org/10.7717/peerj.4668

Palfy, J. & Smith, P. L. 2000: Synchrony between Early Jurassic extinction, oceanic anoxic event, and the Karoo-Ferrar flood basalt volcanism. – *Geology* **28/8,** 747–750. https://doi.org/10.1130/0091-7613(2000)028<0747:SBEJEO>2.3.CO;2

Pálfy, J., Demény, A., Haas, J., Hetényi, M., Orchard, M. J. & Vető, I. 2001: Carbon isotope anomaly and other geochemical changes

at the Triassic–Jurassic boundary from a marine section in Hungary. – *Geology* **29/11,** 1047–1050. https://doi.org/10.1130/0091-7613(2001)029<1047:CIAAOG>2.0.CO;2

PÁLFY, J., KOVÁCS, Z., DEMÉNY, A. & VALLNER, Z. 2021: End-Triassic crisis and "unreefing" led to the demise of the Dachstein carbonate platform: a revised model and evidence from the Transdanubian Range, Hungary. – *Global and Planetary Change* **199,** 103428. https://doi.org/10.1016/j.gloplacha.2021.103428

PÁSZTI A. 2004: Halmaradványok az Úrkúti Mangánérc Formáció képződményeiből. (Fish remains from the Úrkút Manganese Ore Formation). – *Bányászati és Kohászati Lapok – Bányászat* **137/6,** 46–47.

PERCIVAL, L. M. E., WITT, M. L. I., MATHER, T. A., HERMOSO, M., JENKYNS, H. C., HESSELBO, S. P., AL-SUWAIDI, A. H., STORM, M. S., XU, W. & RUHL, M. 2015: Globally enhanced mercury deposition during the end-Pliensbachian extinction and Toarcian OAE: A link to the Karoo–Ferrar Large Igneous Province. – *Earth and Planetary Science Letters* **428,** 267–280. https://doi.org/10.1016/j.epsl.2015.06.064

PERCIVAL, L. M., COHEN, A. S., DAVIES, M. K., DICKSON, A. J., HESSELBO, S. P., JENKYNS, H. C., LENG, M. J., MATHER, T. A., STORM, M. S. & XU, W. 2016: Osmium isotope evidence for two pulses of increased continental weathering linked to Early Jurassic volcanism and climate change. – *Geology* **44/9,** 759–762. https://doi.org/10.1130/G37997.1

PETERS, K. F. 1862: Über den Lias von Fünfkirchen. – *Sitzungsberichte der Kaiserlichen Akademie der Wissenschaften. Mathematisch-Naturwissenschaftliche Classe* **45/1,** 241–291

PITTET, B., SUAN, G., LENOIR, F., DUARTE, L. V. & MATTIOLI, E. 2014: Carbon isotope evidence for sedimentary discontinuities in the lower Toarcian of the Lusitanian Basin (Portugal): Sea level change at the onset of the Oceanic Anoxic Event. – *Sedimentary Geology* **303,** 1–14. https://doi.org/10.1016/j.sedgeo.2014.01.001

POLGÁRI, M. 1993: Manganese Geochemistry – Reflected by Black Shale Formation and Diagenetic Processes: Model of Formation of the Carbonatic Manganese Ore of Úrkút. – *A Magyar Állami Földtani Intézet alkalmi kiadványa*, Budapest, 221 p.

POLGÁRI, M., OKITA, P. M. & HEIN, J. R. 1991: Stable isotope evidence for the origin of the Úrkút manganese ore deposit, Hungary. – *Journal of Sedimentary Research* **61/3,** 384–393. https://doi.org/10.1306/D426771C-2B26-11D7-8648000102C1865D

POLGÁRI M., SZABÓ Z. & SZEDERKÉNYI T. (szerk.) 2000: *Mangánércek Magyarországon – Grasselly Gyula akadémikus emlékére* (Manganese Ores in Hungary – Tribute to Professor Gyula Grasselly). – Juhász Nyomda. (In Hungarian.)

POLGÁRI, M., PHILIPPE, M., SZABÓ-DRUBINA, M. & TÓTH, M. 2005: Manganese-impregnated wood from a Toarcian manganese ore deposit, Epleny mine, Bakony Mts., Transdanubia, Hungary. – *Neues Jahrbuch für Geologie und Paläontologie, Monatshefte* **3,** 175–192. https://doi.org/10.1127/njgpm/2005/2005/175

POLGÁRI, M., HEIN, J. R., VIGH, T., SZABÓ-DRUBINA, M., FÓRIZS, I., BÍRÓ, L., MÜLLER, A. & TÓTH, A. L. 2012: Microbial processes and the origin of the Úrkút manganese deposit, Hungary. – *Ore Geology Reviews* **47,** 87–109. https://doi.org/10.1016/j.oregeorev.2011.10.001

POLGÁRI, M., HEIN, J. R., TÓTH, A. L., PÁL-MOLNÁR, E., VÍGH, T., BÍRÓ, L. & FINTOR, K. 2012: Microbial action formed Jurassic Mn-carbonate ore deposit in only a few hundred years (Úrkút, Hungary). – *Geology* **40**, 903–906. https://doi.org/10.1130/G33304.1

POLGÁRI, M., HEIN, J. R., NÉMETH, T., PÁL-MOLNÁR, E. & VIGH, T. 2013: Celadonite and smectite formation in the Úrkút Mn-carbonate ore deposit (Hungary). – *Sedimentary Geology* **294,** 157–163. https://doi.org/10.1016/j.sedgeo.2013.05.017

POLGÁRI, M., HEIN, J. R., BÍRÓ, L., GYOLLAI, I., NÉMETH, T., SAJGÓ, C., FEKETE, J., SCHWARK, L., PÁL-MOLNÁR, E., HÁMOR-VIDÓ, M. & VIGH, T. 2016: Mineral and chemostratigraphy of a Toarcian black shale hosting Mn-carbonate microbialites (Úrkút, Hungary). – *Palaeogeography, Palaeoclimatology, Palaeoecology* **459,** 99–120. https://doi.org/10.1016/j.palaeo.2016.06.030

POLGÁRI, M., SZABÓ, Z. & VIGH, T. (Eds.) 2017: *Manganese ore mining at Úrkút (1917–2017).* – GeoLitera Publishing House, Szeged, 260 p.

RAUCSIK, B. 1997: Stable isotopic composition of the Komló Calcareous Marl Formation (''Spotted Marl''s. str.), Mecsek Mountains, S Hungary. – *Acta Mineralogica-Petrographica, Szeged* **38,** 95–109.

RAUCSIK B. 2012a: Hosszúhetényi Mészmárga Formáció. (Hosszúhetény Calcareous Marl Formation.) – In: FŐZY I. (szerk.): *Magyarország litosztratigráfiai alapegységei. Jura* (Lithostratigraphic Units of Hungary. Jurassic). Hungarian Geological Society, Budapest, 155–158. (In Hungarian)

RAUCSIK B. 2012b: Mecseknádasdi Homokkő Formáció (Mecseknádasd Sandstone Formation.) – In: FŐZY I. (szerk.): *Magyarország litosztratigráfiai alapegységei. Jura* (Lithostratigraphic Units of Hungary. Jurassic). Hungarian Geological Society, Budapest, 159–163. (In Hungarian)

RAUCSIK B. 2012c: Rékavölgyi Aleurolit Formáció (Rékavölgy Siltstone Formation.) – In: FŐZY I. (szerk.): *Magyarország litosztratigráfiai alapegységei. Jura* (Lithostratigraphic Units of Hungary. Jurassic). Hungarian Geological Society, Budapest, 164–167. (In Hungarian)

RAUCSIK B. 2012d: Komlói Mészmárga Formáció (Komló Calcareous Marl Formation.) – In: FŐZY I. (szerk.): *Magyarország litosztratigráfiai alapegységei. Jura* (Lithostratigraphic Units of Hungary. Jurassic). Hungarian Geological Society, Budapest, 174–176. (In Hungarian)

RAUCSIK, B. & MERÉNYI, L. 2000: Origin and environmental significance of clay minerals in the Lower Jurassic formations of the Mecsek Mts., Hungary. – *Acta Geologica Hungarica* **43/4,** 405–429.

RAUCSIK, B. & VARGA, A. 2008a: Mineralogy of the Lower Toarcian black shale section from the Réka Valley (Óbánya Siltstone Formation, Mecsek Mountains, Hungary): implications for palaeoclimate. – *Földtani Közlöny* **138/2,** 133–146.

RAUCSIK, B. & VARGA, A. 2008b: Climato-environmental controls on clay mineralogy of the Hettangian–Bajocian successions of the Mecsek Mountains, Hungary: an evidence for extreme continental weathering during the early Toarcian oceanic anoxic event. – *Palaeogeography, Palaeoclimatology, Palaeoecology* **265/1–2,** 1–13. https://doi.org/10.1016/j.palaeo.2008.02.004

REMÍREZ, M. N. & ALGEO, T. J. 2020: Carbon-cycle changes during the Toarcian (Early Jurassic) and implications for regional versus global drivers of the Toarcian oceanic anoxic event. – *Earth-Science Reviews* **209,** 103283. https://doi.org/10.1016/j.earscirev.2020.103283

Reolid, M., Copestake, P. & Johnson, B. 2019: Foraminiferal assemblages, extinctions and appearances associated with the Early Toarcian Oceanic Anoxic Event in the Llanbedr (Mochras Farm) Borehole, Cardigan Bay Basin, United Kingdom. – *Palaeogeography, Palaeoclimatology, Palaeoecology* **532,** 109277. https://doi.org/10.1016/j.palaeo.2019.109277

Reolid, M., Mattioli, E., Duarte, L. V. & Marok, A. 2020: The Toarcian oceanic anoxic event and the Jenkyns event (IGCP-655 final report). – *Episodes Journal of International Geoscience* **43/2,** 833–844. https://doi.org/10.18814/epiiugs/2020/020051

Reolid, M., Ruebsam, W. & Benton, M. J. 2022: Impact of the Jenkyns Event (early Toarcian) on dinosaurs: Comparison with the Triassic/Jurassic transition. – *Earth-Science Reviews* **234,** 104196. https://doi.org/10.1016/j.earscirev.2022.104196

Röhl, H. J., Schmid-Röhl, A., Oschmann, W., Frimmel, A. & Schwark, L. 2001: The Posidonia Shale (Lower Toarcian) of SW-Germany: an oxygen-depleted ecosystem controlled by sea level and palaeoclimate. – *Palaeogeography, Palaeoclimatology, Palaeoecology* **165/1–2,** 27–52. https://doi.org/10.1016/S0031-0182(00)00152-8

Ruebsam, W. & Al-Husseini, M. 2020: Calibrating the Early Toarcian (Early Jurassic) with stratigraphic black holes (SBH). – *Gondwana Research* **82,** 317–336. https://doi.org/10.1016/j.gr.2020.01.011

Ruebsam, W., Müller, T., Kovács, J., Pálfy, J. & Schwark, L. 2018: Environmental response to the early Toarcian carbon cycle and climate perturbations in the northeastern part of the West Tethys shelf. – *Gondwana Research* **59,** 144–158. https://doi.org/10.1016/j.gr.2018.03.013

Ruebsam, W., Mayer, B. & Schwark, L. 2019: Cryosphere carbon dynamics control early Toarcian global warming and sea level evolution. – *Global and Planetary Change* **172,** 440–453. https://doi.org/10.1016/j.gloplacha.2018.11.003

Ruebsam, W., Reolid, M. & Schwark, L. 2020a: $\delta^{13}C$ of terrestrial vegetation records Toarcian CO_2 and climate gradients. – *Scientific Reports* **10/1,** 117. https://doi.org/10.1038/s41598-019-56710-6

Ruebsam, W., Reolid, M., Marok, A. & Schwark, L. 2020b: Drivers of benthic extinction during the early Toarcian (Early Jurassic) at the northern Gondwana paleomargin: Implications for paleoceanographic conditions. – *Earth-Science Reviews* **203,** 103117. https://doi.org/10.1016/j.earscirev.2020.103117

Ruebsam, W., Pieńkowski, G. & Schwark, L. 2020c: Toarcian climate and carbon cycle perturbations–its impact on sea-level changes, enhanced mobilization and oxidation of fossil organic matter. – *Earth and Planetary Science Letters* **546,** 116417. https://doi.org/10.1016/j.epsl.2020.116417

Ruebsam, W., Reolid, M., Sabatino, N., Masetti, D. & Schwark, L. 2020d: Molecular paleothermometry of the early Toarcian climate perturbation. – *Global and Planetary Change* **195,** 103351. https://doi.org/10.1016/j.gloplacha.2020.103351

Ruebsam, W., Mattioli, E. & Schwark, L. 2022: Weakening of the biological pump induced by a biocalcification crisis during the early Toarcian Oceanic Anoxic Event. – *Global and Planetary Change* **217,** 103954. https://doi.org/10.1016/j.gloplacha.2022.103954

Ruhl, M., Hesselbo, S. P., Jenkyns, H. C., Xu, W., Silva, R. L., Matthews, K. J., Mather, T. A., Mac Niocaill, C. & Riding, J. B. 2022: Reduced plate motion controlled timing of Early Jurassic Karoo-Ferrar large igneous province volcanism. – *Science Advances* **8/36,** eabo0866. https://doi.org/10.1126/sciadv.abo0866

Sabatino, N., Neri, R., Bellanca, A., Jenkyns, H. C., Masetti, D. & Scopelliti, G. 2011: Petrography and high-resolution geochemical records of Lower Jurassic manganese-rich deposits from Monte Mangart, Julian Alps. – *Palaeogeography, Palaeoclimatology, Palaeoecology* **299/1–2,** 97–109. https://doi.org/10.1016/j.palaeo.2010.10.039

Sasvári, Á., Csontos, L. & Palotai, M. 2009: Structural geological observations in Tölgyhát Quarry (Gerecse Mts, Hungary). – *Földtani Közlöny* **139/1,** 55–66. (In Hungarian with English abstract)

Schlanger, S. O. & Jenkyns, H. 1976: Cretaceous oceanic anoxic events: causes and consequences. – *Geologie en mijnbouw* **55/3–4,** 179–184.

Schmid, S. M., Fügenschuh, B., Kounov, A., Matenco, L., Nievergelt, P., Oberhänsli, R., Pleuger, J., Schefer, S., Schuster, R., Tomljenović, B., Ustaszewski, K. & Van Hinsbergen, D. J. 2020: Tectonic units of the Alpine collision zone between Eastern Alps and western Turkey. – *Gondwana Research* **78,** 308–374. https://doi.org/10.1016/j.gr.2019.07.005

Sidó, M. & Síkabonyi, L. 1953: L'évaluation micropaléontologique du terrain manganésifère d'Urkut et d'Eplény. – *Földtani Közlöny* **83,** 401–418. (In Hungarian with French and Russian summary).

Suan, G., Mattioli, E., Pittet, B., Mailliot, S. & Lécuyer, C. 2008: Evidence for major environmental perturbation prior to and during the Toarcian (Early Jurassic) oceanic anoxic event from the Lusitanian Basin, Portugal. – *Paleoceanography* **23/1,** PA1202 https://doi.org/10.1029/2007PA001459

Suan, G., Mattioli, E., Pittet, B., Lécuyer, C., Suchéras-Marx, B., Duarte, L. V., Philippe, M., Reggiani, L. & Martineau, F. 2010: Secular environmental precursors to Early Toarcian (Jurassic) extreme climate changes. – *Earth and Planetary Science Letters* **290/3–4,** 448–458. https://doi.org/10.1016/j.epsl.2009.12.047

Suan, G., Van De Schootbrugge, B., Adatte, T., Fiebig, J. & Oschmann, W. 2015: Calibrating the magnitude of the Toarcian carbon cycle perturbation. – *Paleoceanography* **30/5,** 495–509. https://doi.org/10.1002/2014PA002758

Suan, G., Schlogl, J. & Mattioli, E. 2016: Bio- and chemostratigraphy of the Toarcian organic-rich deposits of some key successions of the Alpine Tethys. – *Newsletters on Stratigraphy* **49/3,** 401–419. https://doi.org/10.1127/nos/2016/0078

Suan, G., Schöllhorn, I., Schlögl, J., Segit, T., Mattioli, E., Lécuyer, C. & Fourel, F. 2018: Euxinic conditions and high sulfur burial near the European shelf margin (Pieniny Klippen Belt, Slovakia) during the Toarcian oceanic anoxic event. – *Global and Planetary Change* **170,** 246–259. https://doi.org/10.1016/j.gloplacha.2018.09.003

Svensen, H., Planke, S., Chevallier, L., Malthe-Sørenssen, A., Corfu, F. & Jamtveit, B. 2007: Hydrothermal venting of greenhouse gases triggering Early Jurassic global warming. – *Earth and Planetary Science Letters* **256/3–4,** 554–566. https://doi.org/10.1016/j.epsl.2007.02.013

Szabó, M. & Pálfy, J. 2020: *Dapedium* sp. from the Toarcian (Lower Jurassic) Úrkút Manganese Ore Formation (Bakony Mts., Hungary) and an overview of diversity of dapediiform fishes. – *Palaeobiodiversity and Palaeoenvironments* **100/1,** 179–195. https://doi.org/10.1007/s12549-019-00390-7

SZABÓ Z. 2012: Úrkúti Mangánérc Formáció (Úrkút Manganese Ore Formation.) – In: FŐZY I. (szerk.): *Magyarország litosztratigráfiai alapegységei. Jura* (Lithostratigraphic Units of Hungary. Jurassic). Hungarian Geological Society, Budapest, 58–61. (In Hungarian)

SZABÓ, Z. & GRASSELLY, Gy. 1980: Genesis of manganese oxide ore in the Urkút basin, Hungary. – In: VARENTSOV, I. M. & GRASSELLY, Gy. (Eds): *Geology and Geochemistry of Manganese*. Akadémiai Kiadó, Budapest, Vol. 2, 223–236.

SZENTE, I. 2015: Some macrofossils, chiefly bivalves, from the Lower Jurassic black shale of the Mecsek Mts (Hungary). – *Hantkeniana* **10**, 55–58.

SZENTE I. 2017: Lábatlan, Tölgyháti-kőfejtő. (Lábatlan, Tölgyhát quarry.) – *20. Magyar Őslénytani Vándorgyűlés. Program, előadáskivonatok, kirándulásvezető, Tardos*, 59–61. (In Hungarian)

THIBAULT, N., RUHL, M., ULLMANN, C. V., KORTE, C., KEMP, D. B., GRÖCKE, D. R. & HESSELBO, S. P. 2018: The wider context of the Lower Jurassic Toarcian oceanic anoxic event in Yorkshire coastal outcrops, UK. – *Proceedings of the Geologists' Association* **129/3,** 372–391. https://doi.org/10.1016/j.pgeola.2017.10.007

THIERRY, J. & BARRIER, E. 2000: Middle Toarcian. – In: DERCOURT, J., GAETANI, M. et al. (Eds.) 2000: *Atlas Peri-Tethys, Paleogeographic Maps*. CCGM/CGMW, Map 8.

TRECALLI, A., SPANGENBERG, J., ADATTE, T., FÖLLMI, K. B. & PARENTE, M. 2012: Carbonate platform evidence of ocean acidification at the onset of the early Toarcian oceanic anoxic event. – *Earth and Planetary Science Letters* **357,** 214–225. https://doi.org/10.1016/j.epsl.2012.09.043

ULLMANN, C. V., THIBAULT, N., RUHL, M., HESSELBO, S. P. & KORTE, C. 2014: Effect of a Jurassic oceanic anoxic event on belemnite ecology and evolution. – *Proceedings of the National Academy of Sciences* **111/28,** 10073–10076. https://doi.org/10.1073/pnas.1320156111

ULLMANN, C. V., BOYLE, R., DUARTE, L. V., HESSELBO, S. P., KASEMANN, S. A., KLEIN, T., LENTON, T. M., PIAZZA, V. & ABERHAN, M. 2020: Warm afterglow from the Toarcian Oceanic Anoxic Event drives the success of deep-adapted brachiopods. – *Scientific Reports* **10/1,** 6549. https://doi.org/10.1038/s41598-020-63487-6

VADÁSZ M. E. 1913: Üledékképződési viszonyok a magyar középhegységben a jura időszak alatt. – *Mathematikai és Természettudományi Értesítő* **31/1**, 102–120.

VADÁSZ E. 1935: *A Mecsekhegység*. (Das Mecsek-Gebirge.) – Magyar tájak földtani leírása (Geologische Beschreibung ungarischer Landschaften) I, 1–180, i–xxv.

VALLNER, Z., KOVÁCS, E. B., HAAS, J., MÓRICZ, F., RUHL, M., ZAJZON, N. & PÁLFY, J. 2023: Preservation of orbital forcing in intraplatform carbonates and an astronomical time frame for a multiproxy record of end-Triassic global change from a western Tethyan section (Csővár, Hungary). – *Palaeogeography, Palaeoclimatology, Palaeoecology* **617,** 111493. https://doi.org/10.1016/j.palaeo.2023.111493

VARGA, A., RAUCSIK, B., HÁMORNÉ VIDÓ, M. & ROSTÁSI, Á. 2007: Isotope geochemistry and characterization of hydrocarbon potential of black shale from Óbánya Siltstone Formation. – *Földtani Közlöny* **137/4,** 449–472. (In Hungarian with English abstract)

VARGA, A., RAUCSIK, B. & MIKES, T. 2009: The petrography and heavy minerals of the Toarcian black shale of the Réka Valley section of the Mecsek Hills: a pilot study. – *Földtani Közlöny* **139/1,** 33–54. (In Hungarian with English abstract)

VASSEUR, R., LATHUILIÈRE, B., LAZĂR, I., MARTINDALE, R. C., BODIN, S. & DURLET, C. 2021: Major coral extinctions during the early Toarcian global warming event. – *Global and Planetary Change* **207,** 103647. https://doi.org/10.1016/j.gloplacha.2021.103647

VETŐ, I., DEMÉNY, A., HERTELENDI, E. & HETÉNYI, M. 1997: Estimation of primary productivity in the Toarcian Tethys–a novel approach based on TOC, reduced sulphur and manganese contents. – *Palaeogeography, Palaeoclimatology, Palaeoecology* **132/1–4,** 355–371. https://doi.org/10.1016/S0031-0182(97)00053-9

VIGH Gy. 1925: Földtani jegyzetek a Gerecse hegységből. (Geological notes from the Gerecse Mts.) – *A Magyar Királyi Földtani Intézet Évi Jelentése az 1920–23 évekről*, 60–68.

VÖRÖS, A. 2002: Victims of the Early Toarcian anoxic event: the radiation and extinction of Jurassic Koninckinidae (Brachiopoda). – *Lethaia* **35/4,** 345–357. https://doi.org/10.1080/002411602320790652

VÖRÖS, A. & DULAI, A. 2007: Jurassic brachiopods of the Transdanubian Range (Hungary); stratigraphical distribution and diversity changes. – *Fragmenta Palaeontologica Hungarica* **24/2**, 51–68.

VÖRÖS, A. & GALÁCZ, A. 1998: Jurassic palaeogeography of the Transdanubian Central Range (Hungary). – *Rivista Italiana di Paleontologia e Stratigrafia* **104/1,** 69–84.

VÖRÖS, A., KOCSIS, Á. T. & PÁLFY, J. 2016: Demise of the last two spire-bearing brachiopod orders (Spiriferinida and Athyridida) at the Toarcian (Early Jurassic) extinction event. – *Palaeogeography, Palaeoclimatology, Palaeoecology* **457,** 233–241. https://doi.org/10.1016/j.palaeo.2016.06.022

VÖRÖS, A., KOCSIS, Á. T. & PÁLFY, J. 2019: Mass extinctions and clade extinctions in the history of brachiopods: brief review and a post-Paleozoic case study. – *Rivista Italiana di Paleontologia e Stratigrafia* **125/3,** 711–724.

WIGNALL, P. B., HALLAM, A., NEWTON, R. J., SHA, J. G., REEVES, E., MATTIOLI, E. & CROWLEY, S. 2006: An eastern Tethyan (Tibetan) record of the Early Jurassic (Toarcian) mass extinction event. – *Geobiology* **4/3,** 179–190. https://doi.org/10.1111/j.1472-4669.2006.00081.x

XU, W., RUHL, M., JENKYNS, H. C., HESSELBO, S. P., RIDING, J. B., SELBY, D., NAAFS, B. D. A., WEIJERS, J. W. H., PANCOST, R. D., TEGELAAR, E. W. & IDIZ, E. F. 2017: Carbon sequestration in an expanded lake system during the Toarcian oceanic anoxic event. – *Nature Geoscience* **10/2,** 129–134. https://doi.org/10.1038/ngeo2871

XU, W., RUHL, M., JENKYNS, H. C., LENG, M. J., HUGGETT, J. M., MINISINI, D., ULLMANN, C. V., RIDING, J. B., WEIJERS, J. W. H., STORM, M. S., PERCIVAL, L. M. E., TOSCA, N. J., IDIZ, E. F., TEGELAAR, E. W. & HESSELBO, S. P. 2018: Evolution of the Toarcian (Early Jurassic) carbon-cycle and global climatic controls on local sedimentary processes (Cardigan Bay Basin, UK). – *Earth and Planetary Science Letters* **484,** 396–411. https://doi.org/10.1016/j.epsl.2017.12.037

Manuscript received: 05/02/2024

Magyarhoni Földtani Társulat
Földtani Közlöny
Hungarian Geological Society

154/2, 169–176., Budapest, 2024

DOI: 10.23928/foldt.kozl.2024.154.2.169

Early Jurassic thecideids (Thecideidae, Brachiopoda) and associated fossils from Tivoli near Rome, Italy

CRESTA, Stefano[1], AGOSTINELLI, Giorgio[2]

[1,2]Associazione Neroniade e Museo Geo-palentologico, Via Brancaleoni 6, Piobbico, 61046 (PU)
[1]stefanocresta@hotmail.com
[2]giorgio.agostinelli54@gmail.com

Kora jura Thecideida brachiopodák és velük együtt előforduló egyéb ősmaradványok a Róma (Olaszország) melletti Tivoliból

Összefoglalás

A dolgozat elsőként ismerteti az Appenninek alsó toarci rétegeiből a *Moorellina parca* (RAU), 1905, *Davidsonella sinuata* (DESLONGCHAMPS) és a *Suessia liasina* (DESLONGCHAMPS) brachiopoda fajokat. A begyűjtött 460, többségében töredékes ammonitesz segítségével a brachiopodákban és krinoidea-maradványokban gazdag réteget a toarci bázisát jelző Polymorphum Zónába sorolhatjuk. A Colle Vecchio toarci szelvényét – a lelőhely egyedi és sajátos őslénytani értékei alapján – javasoljuk felvenni a földtani örökség regionális jegyzékébe.

Kulcsszavak: alsó jura, Középső-Appenninek, brachiopoda, ammonitesz, belemnitesz, Polymorphum Zóna, földtani örökség

Abstract

The aim of this paper is to point out the first reporting of *Moorellina parca* (RAU), *Davidsonella sinuata* (DESLONGCHAMPS) and *Suessia liasiana* (DESLONGCHAMPS) in the Apenninic Lower Toarcian beds. The sampling of 460 specimens of ammonites (mainly fragmentary specimens) allowed us to correlate the fossiliferous level known in the literature for the rich associations with brachiopods and crinoids in the basal Toarcian, Polymorphum Zone. Due to its uniqueness and paleontological value, we propose the Toarcian fossil deposit of Colle Vecchio to be included in the regional list of Geosites for the conservation of the geological heritage.

Keywords: Lower Jurassic, Central Apennines, Brachiopods, Ammonites, Belemnites, Polymorphum Zone, Geological heritage

Introduction

The brachiopod fauna of the Colle Vecchio outcrop was studied by VÖRÖS (2002); however, he did not report these micromorphic species of encrusting. Their recognition in a retrospect is due to the passion and patience of the second author (G. A.) who, during the preparation of the dossier relating to the formalization of the outcrop in the regional catalog of Geosites (CRESTA et al. 2005), recognized the species encrusted on other fossils and present in the microfauna associated with the level of *Koninckella* already known in the literature.

The present volume dedicated to the scientific activity of Attila VÖRÖS provides an excellent opportunity to inform the scientific community of this occurrence.

Geological and stratigraphic framework

As pointed out by MANNI & DI NARDO (2021 and references therein), the Colle Vecchio outcrop (*Figure 1, A*) is part of the Apennine Jurassic pelagic succession included in the "Monte Catillo" Regional Nature Reserve. Our attention, motivated by the opportunity to include the outcrop in the Regional Catalogue of Geosites, was focused on the layers within which the fossil association known in the literature originates.

The sampled section (*Figure 1, B*) is 7 meters thick and consists of white and light grey micritic limestones with chert lenses and nodules from the topmost portion of the Corniola Formation corresponding regionally to the basal Toarcian. The authors have highlighted two different scenar-

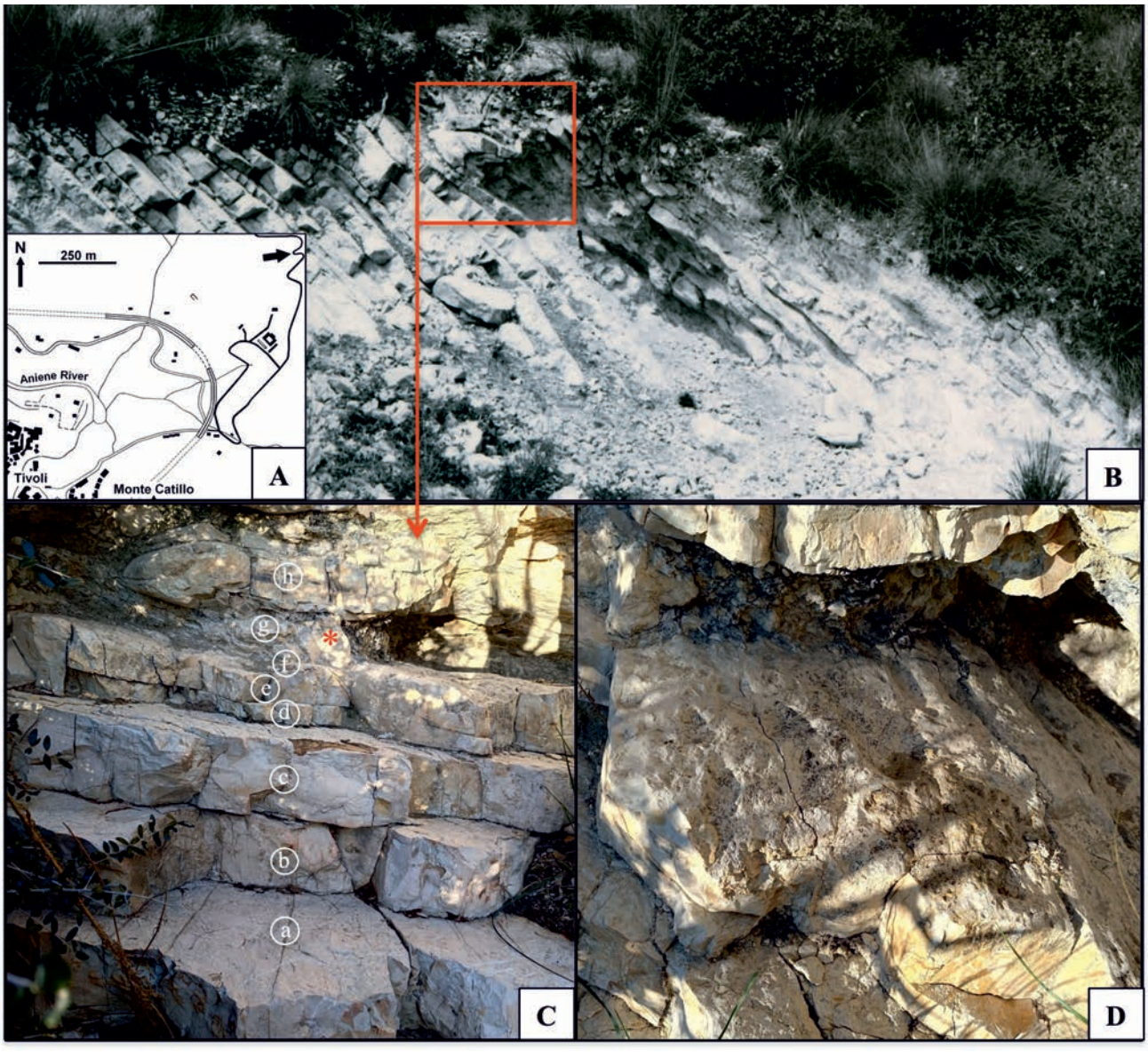

Figure 1. A) location of the Colle Vecchio outcrop (from MANNI & DI NARDO 2021); B) stratigraphic succession of the topmost part of the Corniola Formation; C) sampled stratigraphic interval: bed a – micritic limestones (20 cm, macrofossils not found); bed b – micritic limestones (18 cm, macrofossils not found); bed c – micritic limestones (18 cm) with an irregular surface on the top covered by a marly layer of variable thickness (1–2 cm) macrofossils not found; bed d – micritic limestones (5 cm) with a firm ground on the top, macrofossils not found; bed e – micritic limestones (14 cm) with a hard-ground erosion surface on the top containing indeterminate brachiopods; bed f – marly level of variable thickness (2–5 cm) with resedimented ammonites, belemnites and brachiopods; bed g – marl and marly clays (25–30 cm), richly fossiliferous, from which the specimens described in the literature come (MANNI & NICOSIA 1990, VÖRÖS 2002, MANNI & DI NARDO 2021); bed h – slumping level (130 cm), followed by recent debris cover that hides the stratigraphic succession; D) detail of bed e top surface in which the depressions filled by marls containing ammonites, brachiopods and resedimented belemnites can be seen

1. ábra. *A) a Colle Vecchio lelőhely (MANNI & DI NARDO 2021 nyomán); B) a Corniola Formáció felső részének rétegsora; C) a begyűjtött szelvény: a réteg - finomszemcsés mészkő (20 cm, makrofaunát nem szolgáltatott); b réteg - finomszemcsés mészkő (18 cm, makrofaunát nem szolgáltatott); c réteg - finomszemcsés mészkő (18 cm, egyenetlen felső felszínén 1-2 cm vastag, makrofaunamentes márgaréteggel); d réteg - finomszemcsés mészkő (5 cm) tetején keményfelszínnel, makrofaunamentes; e réteg - finomszemcsés mészkő (14 cm) tetején keményfelszínnel, meghatározhatatlan brachiopoda-maradványokkal; f réteg - változó vastagságú márgás réteg (2-5 cm) áthalmozott ammoniteszekkel, belemniteszekkel és brachiopodákkal; g réteg - márga és márgás agyag (25-30 cm), ősmaradványokban gazdag, (MANNI & NICOSIA 1990; VÖRÖS 2002; MANNI és DI NARDO 2021); h réteg - rogyott réteg (slump), (130 cm) felső részén törmelékkel fedve; D) az e réteg felső részének részlete; a mélyedéseket ammoniteszeket, belemniteszeket és áthalmozott brachiopodákat tartalmazó márga tölti ki*

ios of lithostratigraphic evolution between this Formation and the above.

In the Pelagic Carbonate Platform areas (SANTANTONIO 1994; GALLUZZO & SANTANTONIO 2002; BALDANZA et al. 2022 and references therein) a hard-ground formed prior to the resumption of sedimentation with the nodular limestones and marls of the Umbrian Marche Ammonitico Rosso Formation; in the most depressed basin areas there is a transition between the micritic sediments of the Corniola Formation to the predominantly marly-clayey sediments of the Marne di Monte Serrone Formation.

In addition to these two main typologies, there are cases,

like the one described here, in which tectonic and/or palaeogeographic evidence points to local variations. The peculiarity of this outcrop is the presence of a slumped level in contact with a surface with elements that suggest a slowing/stopping of sedimentation and the formation of a hard-ground whose clastic components (fragments of ammonites belonging to the Polymorphum Zone) are also found in the marl portion above, squeezed by gravitational sliding.

In detail, we found that in the upper part (beds a, b, c, d, e) the limestone layers are interspersed with thin marly and calcareous-marly layers of cm-thickness (*Figure 1, C*). The bank below the fossiliferous level (beds d-e) is divided by a "sharp surface" and has a hard-ground on the roof whose trace is represented by morphological depressions that form niches (*Figure 1, D*).

These depressions are filled by fossiliferous marls (*Figure 1, C*, bed f) in which the specimens of ammonites and belemnites displayed in *Plate II* have been found (*Figure 1, D*): some specimens show signs of resedimentation. Above, squeezed into calcareous and calcareous-marly levels bent by sliding, a chaotic level (bed g, 20–35cm) emerges consisting of fragments of micritic limestone in a richly fossiliferous marly-clayey matrix from which most of the known fossils come (Manni & Nicosia 1990, Mariotti 1994, Vörös 2002, Venturi 2006, Manni & Di Nardo 2021).

Paleontological framework

Although the fossil association of this outcrop is known in the literature, in order to construct a dossier necessary for the proposal of a Paleontological Geosite we considered it necessary to resample the succession to constitute a reference collection, still under study, which is temporarily hosted by the second author (G. A.).

Fifty kg of fossiliferous marl from bed g was sieved and the subsequent count of the specimens found (1176) gave the following result: 460 ammonites (mostly in a fragmented state); 25 belemnites; 4 gastropods; 25 regular echinoids spines plus 3 specimens less than 1 cm in size (*Figure 2*); 200 crinoid cups (of genera already known in literature); 450 brachiopods, of which 200 belong to the groups Terebratulidae and Rhynchonellidae and 250 to Koninckinidae, in addition to the Thecideidae covered by this report encrusted on 30 organic bases (belemnites, crinoids, brachiopods). Specimens belonging to the genera *Suessia* and *Davidsonella* have also been found (*Plate II*); 50 fragments of problematic attribution (sponge spicules, corals?) and approximately one thousand of columnaria crinoids articles (with minimum size 2 mm).

Some ammonites and belemnites figured in *Plate II* came from the marly layer covering the eroded depres-

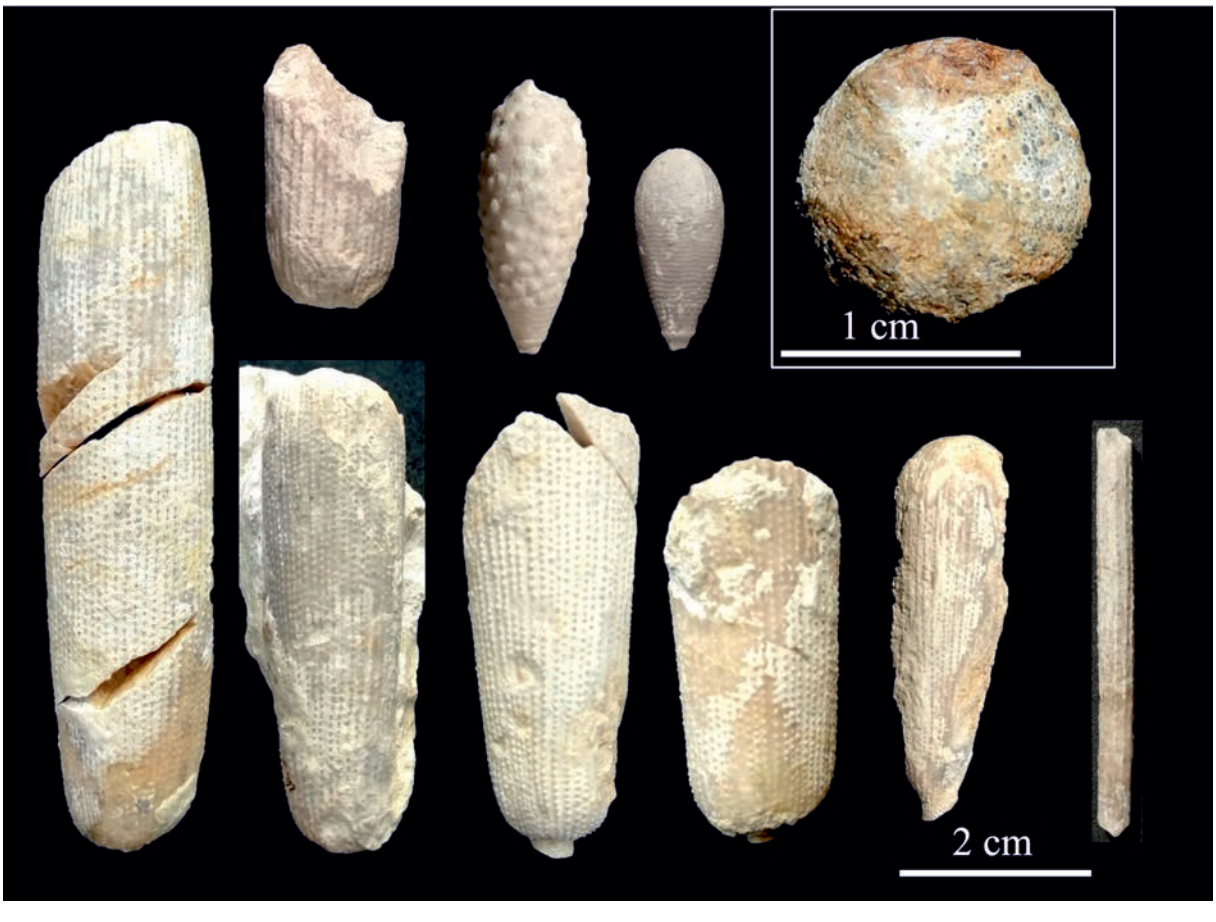

Figure 2. Regular echinoid remains from bed g. The figured specimens will be housed in the Piobbico Geo-Paleontological Museum collections

2. ábra. *A g rétegből származó echinoidea-maradványok. A példányok a piobbicói földtani és őslénytani gyűjteményben lesznek elhelyezve*

sions on the top of the last bed of the Corniola Formation (bed f).

Since the purpose of this report is to integrate our finds with an already extensive and well-determined paleontological dossier (MANNI & NICOSIA 1990, MARIOTTI 1994, VÖRÖS 2002, VENTURI 2006, MANNI & DI NARDO 2021), we provide a limited illustration of the specimens and a brief descriptions in the captions of the same to promote the knowledge of the association.

Conclusions

The ammonite faunas found both at the top of the Corniola Formation (bed f) and in the sieved fossiliferous level (bed f) allow the attribution of the fossiliferous assemblages known in the literature to the basal Toarcian, Polymorphum Zone (FARAONI et al. 1994, CRESTA et al. 1995, PARISI et al. 1998).

The discovery of numerous Thecideidae referred to the species *Moorellina parca* (RAU) and *Davidsonella sinuata* (DESLONGCHAMPS) encrusted on belemnites, brachiopods and crinoids cup allows the extension of the palaeobiogeographical distribution area of this group to the central Apennines. A similar update can be made for *Suessia liasiana* (DESLONGCHAMPS).

The occurrence of this highly diversified fossiliferous concentration is a perfect motivation to propose the inclusion of the Colle Vecchio Toarcian outcrop in the geosites catalogue for the conservation of the Latio region geological heritage.

References – Irodalom

BALDANZA, A., BIZARRI, R., BARTOLINI, A., BERTINELLI, A. & COLACICCHI, R. 2022: The Jurassic structural high of Sasso di Pale (Umbria-Marche Basin, Italy): How a small Apennine structure recorded Early to Middle Jurassic global perturbation. – *Geological Society of America Special Paper* **557,** 1–43. https://doi.org/10.1130/2022.2557(15)

CRESTA, S., BASILICI, G., BUSSOLETTI, A., COMAS, M. J., ELMI, S., FERNANDEZ LOPEZ, S., FERRETTI, A., GOY, A., HENRIQUES, M. H., KÄLIN, O., JIMENEZ, A., MARTINEZ, G., SANDOVAL, J., URETA, S. & VENTURI, F. 1995: Relazione sul workshop "Paleontologia e biostratigrafia dei sedimenti ammonitiferi toarciano-bajociani in successioni di alto morfostrutturale dell'Appennino umbro-marchigiano: l'area di Monte Nerone. Correlazioni con altre regioni della Tetide occidentale" (Piobbico, 2-14 agosto 1993). – *Bollettino del Servizio Geologico d'Italia* **112,** 129–139.

CRESTA, S., FATTORI, C., MANCINELLA, D. & BASILICI, S. 2005: La geodiversità del Lazio: Geositi e conservazione nel sistema delle aree protette. – *Collana Verde dei Parchi, serie tecnica* **5,** 1–197.

FARAONI, P., MARINI, A., PALLINI, G. & VENTURI, F. 1994: Nuove faune ad ammoniti delle Zone a E. mirabilis ed H. serpentinus nella valle del F. Bosso (PS) e loro riflessi sulla biostratigrafia del limite Domeriano-Toarciano in Appennino. – *Studi Geologici Camerti* **Vol. Spec.,** 247–297.

GALLUZZO, F. & SANTANTONIO, M. 2002: The Sabina Plateau: A new element in the Mesozoic palaeogeography of Central Apennines. – *Bollettino della Società Geologica Italiana* **1/2,** 561–588.

MANNI, R. & DI NARDO, R. 2021: A possible crawling paracomatulid crinoid from the Lower Jurassic of central Italy. – *Carnets Geologie* **21/19,** E-ISSN 1634-0744. https://doi.org/10.2110/carnets.2021.2119

MANNI, R. & NICOSIA, U. 1990: New crinoids from Liassic sediments nearby Tivoli (central Italy); rearrangement in the systematics of eudesicrinids and cotyledermatids. – *Geologica Romana* **26**, 81–92.

MARIOTTI, N. 1994: Belemniti ed Aulacoceridi giurassici dell'Italia centrale. – *Studi Geologici Camerti n. spec. "Biostratigrafia dell'Italia centrale"*, 217–245.

PARISI, G., BALDANZA, A., BENEDETTI, L., MATTIOLI, E., VENTURI, F. & CRESTA, S. 1998: Toarcian stratigraphy of the Colle d'Orlando secion (Umbria, Central Italy, northern Apennine). – *Bollettino Società Paleontologica Italiana* **37/1**, 3–39.

SANTANTONIO, M. 1994: Pelagic Carbonate Platforms in the Geologic Record: Their Classification, and Sedimentary and Paleotectonic Evolution. – *American Association Petroleum Geologist Bulletin* **78/1,** 122–141. https://doi.org/10.1306/BDFF9032-1718-11D7-8645000102C1865D

VENTURI, F. 2006: Brachiopodi, ammoniti ed altri fossili nel Toarciano basale dei Monti Lucretili (Lazio orientale). Bio-cronostratigrafia e paleoambienti. – *FESPEM – Bollettino di Mineralogia e Paleontologia*, 10–16.

VÖRÖS, A. 2002: Early jurassic Koninckinids (Athyridia, Brachiopoda) from Tivoli near Rome, Italy. – *Geologica Romana* **36,** 169–197.

Manuscript received: 01/01/2024

Plate I – I. tábla

Fig. 1. *Davidsonella sinuata* (DESLONGCHAMPS) (CP020): a) cemented on a crinoid cup; b) c) d) a loose ventral valve in three different views: anterior, posterior and lateral.
Fig. 2. a) *Moorellina* sp. (C021) cemented on a *Linguithyris aspasia* (ZITTEL): b–c) enlarged views of the ventral valve.
Fig. 3. *Moorellina parca* (RAU) (CP022) (a) cemented on a *Koninckella gibbosula* (GEMMELLARO): b) enlarged view of the ventral valve.
Fig. 4. *Moorellina parca* (RAU) (CP023) two cemented remain valves (perimeter walls) on a columnaria: b) enlarged, c) interior view of one of the pedicle valve highlighted with red circle.
Fig. 5. *Suessia liasiana* (DESLONGCHAMPS) (CP024): a) dorsal view, b) brachial view; c–d) same specimen, photos taken with back light to show the internal preservation of the brachidium; e) oblique view of hinge margin with foramen f) commissure view.
Fig. 6. *Ismenia suessia* (DESLONGCHAMPS) (CP025).
The figured specimens will be housed in the Piobbico Geo-Paleontological Museum collections. All specimens come from bed g.

1. ábra. Davidsonella sinuata *(DESLONGCHAMPS) (CP020): a) a példány egy krinoidea-kehelyhez tapadva; b), c), d), a ventrális teknő elülső, hátulsó és oldalsó nézetben.*
2. ábra. a) Moorellina *sp. (C021)* Linguithyris aspasia *(ZITTEL) példányára tapadva: b), c) a ventrális teknő nagyítva.*
3. ábra. Moorellina parca *(RAU) (CP022): a)* Koninckella gibbosula *(GEMMELLARO) példányára cementálva, b) a ventrális teknő nagyítva.*
4. ábra. Moorellina parca *(RAU) (CP023) két cementált példány krinoidea-nyélen: b) nagyítva, c) a pediculáris teknő belső nézete.*
5. ábra. Suessia liasiana *(DESLONGCHAMPS) (CP024): a) dorsális nézet, b) brachiális nézet; (c-d) ugyanaz a példány hátulról megvilágítva, hogy a kartámasztó váz látható legyen; e) a zárosperem nézete a forámennel; f) a comissura felőli nézet.*
6. ábra. Ismenia suessia *(DESLONGCHAMPS) (CP025).*
Valamennyi maradvány a g rétegből származik. A példányok a piobbicói földtani és őslénytani gyűjteményben lesznek elhelyezve.

Plate I – I. tábla

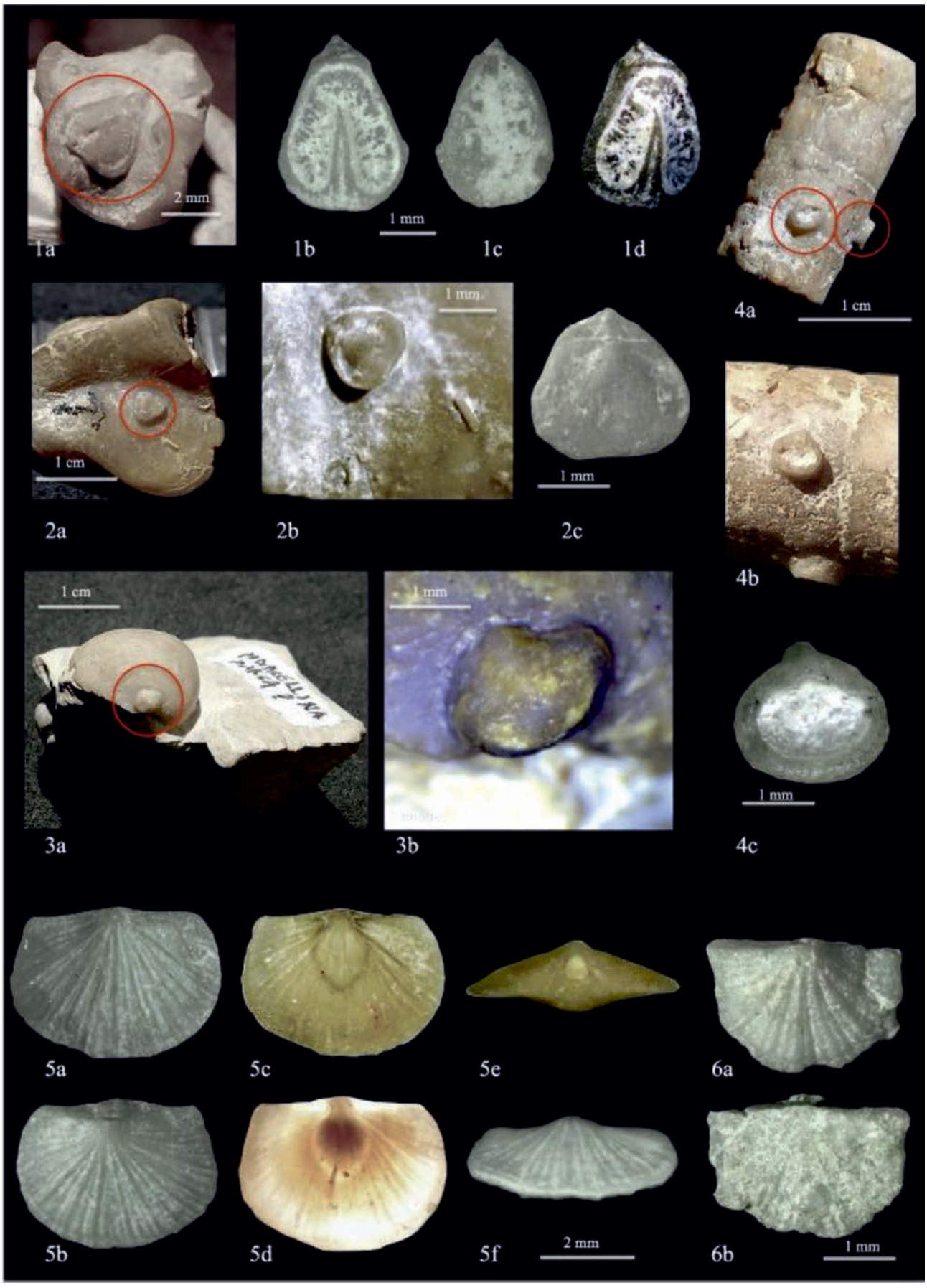

Plate II – II. tábla

Fig. 1. *Dactylioceras* (*Eodactylites*) *pseudocommune* (Fucini) (bed f, CP003); the asterisk indicates the beginning of the body chamber.
Fig. 2. *Atractites* sp. (bed g, CP005).
Fig. 3. *Canavaria retroplicata* Gemmellaro (bed f, CP002): (a) ventral view, (b) lateral view.
Fig. 4. *Harpophylloceras* (*Juraphyllites*) *eximium* (Hauer) (bed g, CP013); (a) ventral view, (b) lateral view.
Fig. 5. *Acroelites* sp. Lissajous (bed f, CP012).
Fig. 6. *Protogrammoceras bassanii* (Fucini) (bed g, CP009)*:* (a) ventral view, (b) lateral view.
Fig. 7. *Emaciaticeras* sp. (bed g, CP004): (a) ventral view, (b) lateral view.
Fig. 8. *Lioceratoides* sp. (bed g, CP014).
Fig. 9. *Dactylioceras* (*Eodactylites*) *pseudocommune* (Fucini) (bed g, CP007*),* inner whorls.
Fig. 10. *Calaiceras calais* (Meneghini) (bed g, CP008), inner whorls.
Fig. 11. *Fontanelliceras fontanellense* (Gemmellaro) (bed g, CP009).
Fig. 12. *Simpsonibelus expansus* (Simpson) (bed f, CP011): (a) lateral profile, (b) ventral profile.
Fig. 13. *Acroelites* sp. Lissajous (bed f, CP010): (a) lateral profile, (b) ventral profile.
Fig. 14. *Canavaria retroplicata* Gemmellaro (bed f, CP001): (a) ventral view, (b) lateral view; the asterisk indicates the beginning of the body chamber.
All specimens are figured in original size and will be housed in the Piobbico Geo-Paleontological Museum collections.

1. ábra. Dactylioceras (Eodactylites) pseudocommune *(Fucini) (f réteg, CP003); a csillag a lakókamra kezdetét jelöli.*
2. ábra. Atractites *sp. (g réteg, CP005).*
3. ábra. Canavaria retroplicata *Gemmellaro (f réteg, CP002): (a) ventrális nézet, (b) laterális nézet.*
4. ábra. Harpophylloceras (Juraphyllites) eximium *(Hauer) (g réteg, CP0013) (a) ventrális nézet, (b) laterális nézet.*
5. ábra. Acroelites *sp. Lissajous (f réteg, CP012).*
6. ábra. Protogrammoceras bassanii *(Fucini) (g réteg, CP009) (a) ventrális nézet, (b) laterális nézet.*
7. ábra. Emaciaticeras *sp. (g réteg, CP004) (a) ventrális nézet, (b) laterális nézet.*
8. ábra. Lioceratoides *sp. (g réteg, CP014).*
9. ábra. Dactylioceras (Eodactylites) pseudocommune *(Fucini) (g réteg, CP007) belső kanyarulatok.*
10. ábra. Calaiceras calais *(Meneghini) (g réteg, CP007) belső kanyarulatok.*
11. ábra. Fontanelliceras fontanellense *(Gemmellaro) (g réteg, CP009).*
12. ábra. Simpsonibelus expansus *(Simpson) (f réteg, CP011) (a) ventrális nézet, (b) laterális nézet.*
13. ábra. Acroelites *sp. (f réteg, CP010) (a) laterális nézet, (b) ventrális nézet.*
14. ábra. Canavaria retroplicata *Gemmellaro (f réteg, CP001) (a) ventrális nézet, (b) laterális nézet, a csillag a lakókamra kezdetét jelöli.*
Minden példány eredeti nagyságban. A maradványok a piobbicói földtani és őslénytani gyűjteményben lesznek elhelyezve.

Plate II – II. tábla

Magyarhoni Földtani Társulat
Földtani Közlöny
Hungarian Geological Society

154/2, 177–194., Budapest, 2024

DOI: 10.23928/foldt.kozl.2024.154.2.177

Bajocian stephanoceratid ammonites and their stratigraphy from Dorset, UK, with reference to the work of András Galácz

CHANDLER, Robert B.

Department of Earth Sciences, Natural History Museum, Cromwell Road, London SW7 5BD UK.
Email: baj1894@gmail.com

Bajoci stephanoceratid ammoniteszek és rétegtanuk Dorsetből (Egyesült Királyság) hivatkozással Galácz András munkásságára

Összefoglalás

Az angliai Dorset területén felszínen lévő Inferior Oolite formációba tartozó alsó bajoci rétegekben rendszerint gyakoriak a stephanoceratid ammoniteszek, amelyek összehasonlíthatók a Dunántúli-középhegységből származó ammoniteszegyüttesekkel. Utóbbiakat – köztük a *Lokuticeras*okat – GALÁCZ András tanulmányozta. Dorsetben a „*Lokuticeras* morfológiájú" példányok a Sauzei és a Humphriesianum zónák számos rétegében elfordulnak, és meghatározható volt az ezen ammoniteszeket tartalmazó biohorizontok faji összetétele. Dorsetben a *Lokuticeras*ok a Humphriesianum zóna Blagdeni szubzónájában és a Humphriesianum szubzóna legtetején voltak a leggyakoribbak. A magyarországi maradványokkal való összehasonlítás érdekében három dorseti lelőhelyről ábrázoltunk példányokat. A *Lokuticeras rossbrunnense* típusfaj példányai gyakoriak a Humphriesianum és Blagdeni szubzónák határán. Az európai területekkel való párhuzamosítást segítendő, a Blagdeni szubzóna legalsó biohorizontjaként bevezettük a *Lokuticeras rossbrunnense* biohorizontot. A korábbi publikált példányok kritikai értékelését is elvégeztük.

Kulcsszavak: bajoci, biosztratigráfia, Inferior Oolite, Lokuticeras*,* Stephanoceras

Abstract

The Inferior Oolite Formation of Dorset includes Lower Bajocian strata often rich in stephanoceratid ammonites comparable with assemblages from the rocks of the Transdanubian Central Range (W Hungary) that are the subject of research by András GALÁCZ, specifically *Lokuticeras*. In Dorset the stratigraphical occurrence of the '*Lokuticeras* morphology' can be traced over a range of strata from the Sauzei and Humphriesianum zones and the assemblage composition of the biohorizons in which they occur identified. *Lokuticeras* is most abundant in Dorset in the uppermost Humphriesianum and Blagdeni subzones of the Humphriesianum Zone. Specimens from three Dorset locations are figured facilitating comparison with the Hungarian specimens. Type species *Lokuticeras rossbrunnense* is common at the Humphriesianum–Blagdeni subzonal transition. A new biohorizon is erected *Lokuticeras rossbrunnense* nov. as the lowest biohorizon of the Blagdeni Subzone facilitating correlating some areas of Europe. A critical review is made of previously published specimens and their affinities.

Keywords: Bajocian, biostratigraphy, Inferior Oolite, Lokuticeras*,* Stephanoceras

Introduction

Observations are presented regarding previously published data on some stephanoceratid ammonites from Hungary and England; the purpose is to present information from detailed field work in Dorset over the past thirty years that improves and clarifies the situation regarding the nomenclature, distribution in time, intraspecific variability and dimorphism of this ammonite family in the Lower Bajocian. Ammonites from three Dorset localities are described.

The Sherborne area of England (*Fig. 1*) lies in a region of highly fossiliferous deposits of the Inferior Oolite Formation of the Aalenian to lowest Bathonian. Many abandoned quarries are present locally in a more or less east-west tract. The region is the source of numerous type species and genera, mostly ammonites described by S. S. BUCKMAN during

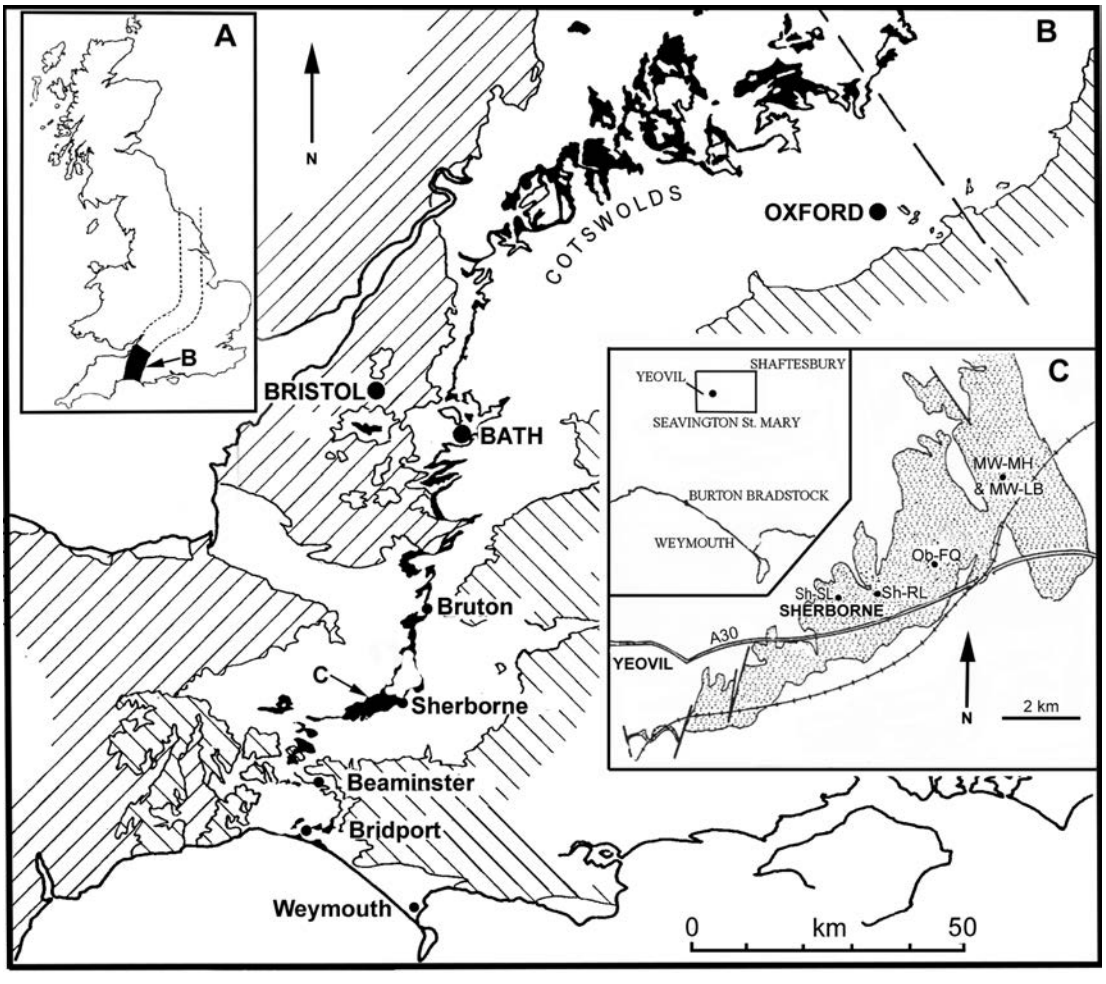

Figure 1. A. Sketch map of Britain (excluding Ireland) showing the outcrop of the Aalenian–lowest Bathonian of England. The solid black area is that shown in B. B. Outcrop of the Inferior Oolite Formation (solid) in southwest England. Diagonal shading to the west: pre-Jurassic rocks; diagonal shading to the east: post-Jurassic rocks. C. Outcrop of the Inferior Oolite Formation (dotted) in the Sherborne region. Localities are marked by a dot and code: Sh-SL Sherborne, Sandford Lane; Sh-RL Sherborne, Redhole Lane; Ob-FQ Oborne, Frogden Quarry; MW-MH Miller's Hill SSSI and MW-LB Little Bradley, Milborne Wick

1. ábra. *A: Az aaleni – alsó bathi rétegek előfordulása Nagy-Britanniában. A feketével jelzett terület a B ábrán látható. B: Az Inferior Oolite formáció kibukkanása (fekete) Délnyugat-Angliában. Az átlós árnyékolás nyugat felé a juránál fiatalabb kőzeteket jelöli. Az átlós árnyékolás kelet felé a juránál fiatalabb kőzeteket mutatja. C: Az Inferior Oolite Formáció (pontozott terület) a Sherborne régióban. A lelőhelyeket pontok és kódok jelölik: Sh-SL Sherborne, Sandford Lane; Sh-RL Sherborne, Redhole Lane; Ob-FQ Oborne, Frogden Quarry; MW-MH Miller's Hill SSSI and MW-LB Little Bradley, Milborne Wick*

his life (1860–1929). A zonal and biohorizon scheme is given here as *Fig. 2* for part of the Lower Bajocian.

The most westerly exposure included is at Sherborne, Redhole Lane, Clatcombe (ST 635 185) (Sh-RL) (*Fig. 3*) described by HUXTABLE (1999) and CHANDLER (2019) about which nearby locations were described by BUCKMAN (1893). Oborne, Frogden Quarry (ST 648 183) (Ob-FQ) (*Fig. 4*) is renowned from the researches of HUDLESTON & WOODWARD (1885); HUDLESTON (1887–1896) and BUCKMAN (1893, 1909–1930). The original quarry face is preserved as a Site of Special Scientific Interest (SSSI) (CHANDLER et al. 2013, 2014, 2017; LARWOOD & CHANDLER 2016). Milborne Wick, Miller's Hill (MW-MH) (ST 653 205) (*Fig. 5*), also an SSSI is along a heavily overgrown lane known as Miller's Hill Lane. Described here are specimens from Little Bradley (MW-LB) (ST 663 207) close to Miller's Hill (HUXTABLE 2005, CHANDLER 2019). The Frogden and Milborne Wick locations are included in the Geological Conservation Review (GCR) (COX & SUMBLER 2002).

Ammonites of the family Stephanoceratidae have been carefully recorded from the Lower Bajocian of Dorset and the Transdanubian Central Range (W Hungary). This account concerns only those from the Sauzei and Humphriesianum zones of Dorset. GALÁCZ (1976, 1991, 1994) published on the occurrence and temporal distribution of lower Middle Jurassic ammonites, mainly stephanoceratids, and in particular the introduction of the genus *Lokuticeras* GALÁCZ, 1994, which is the primary subject of this paper. *Lokuticeras* from the Lower Bajocian, Humphriesianum Zone, Humphriesianum Subzone to the Niortense Zone, Banksii Subzone of the Upper Bajocian were described. The occurrence of morphologically identical examples from the Lower Bajocian of Dorset is reported here over part of that range.

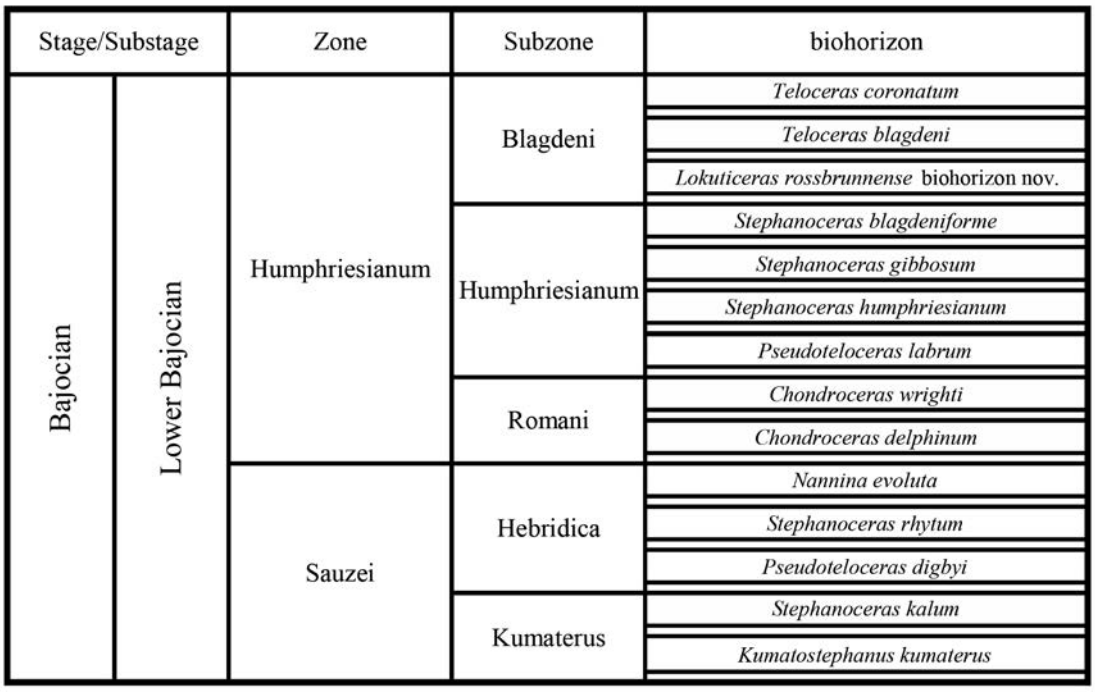

Figure 2. The stage, substage, zones and subzones of the Inferior Oolite Formation (pars). Ammonite biohorizons of the Lower Bajocian Sauzei–Humphriesianum zones of Dorset and Somerset, UK. Biohorizons are labelled by a characteristic guide fossil; the scheme is based on CALLOMON & CHANDLER (1990) amended here and introduces the rossbrunnense biohorizon nov

2. ábra. *Az Inferior Oolite Formáció egy részének emelet, zóna és szubzóna szintű tagolása a Dorset és Somerset területén használatos ammonitesz-biohorizontokkal. A biohorizontokat a jellegzetes vezéralakok neve jelöli. A jelen munkában a rossbrunnense új biohorizonttal kiegészített táblázatot eredetileg CALLOMON & CHANDLER (1990) publikálta*

The distribution of Aalenian – lowest Lower Bathonian ammonites in Dorset and Somerset has achieved significant progress since the introduction of the scheme of faunal horizons (biohorizons) by CALLOMON & CHANDLER (1990), with extension of the scheme to cover the Upper Bajocian and Lower Bathonian by CALLOMON & COPE (1995). The methodology of erection of the biohorizon scheme has been repeatedly described (CALLOMON & CHANDLER 1990; CALLOMON 1994, 1995; CALLOMON & COPE 1995).

The stratigraphical succession of the Inferior Oolite Formation in Dorset is that of richly fossiliferous, thin beds with omissions of strata on a very localized scale. These strata are heterogeneously condensed units, assumed, based on the close reproducibility of their assemblages at distant locations to be, in most cases, biohorizons isolated within the beds that are close to isochronous and contain contemporary assemblages of fossils (e.g., CHANDLER & CALLOMON 2009; CHANDLER et al. 2017, 2023). Excluding obviously reworked elements, these rock units represent biohorizons containing what is likely the closest to a palaeobiospecies, a segment of the evolving lineage in question.

The Hungarian succession such as at the Bakony Mountains is reported by GÉCZY (1967) and GALÁCZ (1991, 1994) and consists of red nodular limestones in thin beds separated by gaps of unknown duration.

Specimens depicted in the figures herein are morphospecies; they are members of segments of evolving lineages labelled with suitable names rather than any attempt to reclassify them.

Abbreviations

[M], [m] Macroconch, microconch respectively. Specimen prefixed 'J' is stored at the Sedgwick Museum, Cambridge, UK; * type species, HT holotype, PT paratype; SSSI Site of Special Scientific Interest.

Locality codes and UK map references: Sherborne, Redhole Lane, Clatcombe (ST 635 185) (Sh-RL); Oborne, Frogden Quarry (ST 648 183) (Ob-FQ); Milborne Wick, Miller's Hill (MW-MH) (ST 653 205); Milborne Wick, Little Bradley (MW-LB) (ST 663 207). Map references are UK Ordnance Survey National Grid Reference System. ST refers to an area within which the locations are positioned. The six figure numerical reference locates a position to within 100 m.

Palaeontology

Suborder Ammonitina FISCHER, 1882
Superfamily Stephanoceratoidea NEUMAYR, 1875
Family Stephanoceratidae NEUMAYR, 1875
Genus *Stephanoceras* WAAGEN, 1869

**Ammonites humphriesianus*
J. de C. SOWERBY, 1825 [M]

It is not the aim here to offer any revision of the numerous generic and specific names introduced mostly by BUCKMAN (1909–1930) or to recommend how such taxa could be

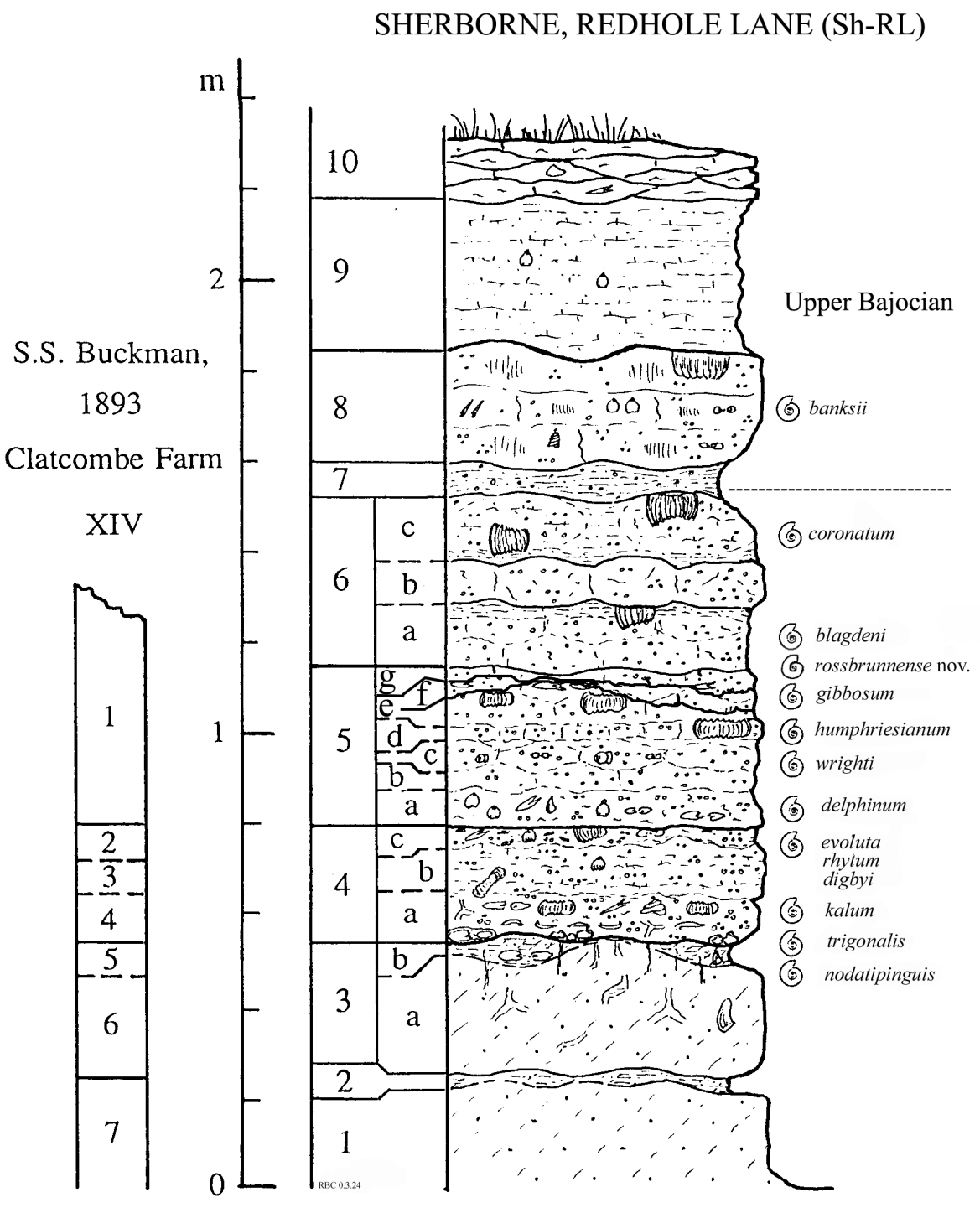

Figure 3. Diagrammatic representation through the Inferior Oolite at Lower Clatcombe, Redhole Lane. (Sh-RL). Horizons in italics and given by species name. BUCKMAN's (1893) section is shown on the left

3. ábra. *Az Inferior Oolite a Lower Clatcombe, Redhole Lane (Sh-RL) szelvényben. A horizontokat a dőlttel szedett fajnevek jelölik. BUCKMAN (1893) szelvénye a bal oldalon*

treated in a modern classification; however, it is now possible to state with certainty what occurs in each level representing the evolving family and what division, if any, is evident in the assemblages. *Fig. 6* gives names of stephanoceratid, macroconch morphospecies found to date in the Dorset locations over part of the Sauzei to Humphriesianum zones. The difficulty in naming members of chronoclines that have taxa with long-established morphogeneric names included in their assemblages has recently been discussed for the Graphoceratidae (CHANDLER et al. 2023). The listing of numerous synonyms is avoided as homoeomorphy is prevenient in stephanoceratids at different stratigraphical levels and would only serve to distort the direct field evidence other than for precisely stratigraphically located specimens.

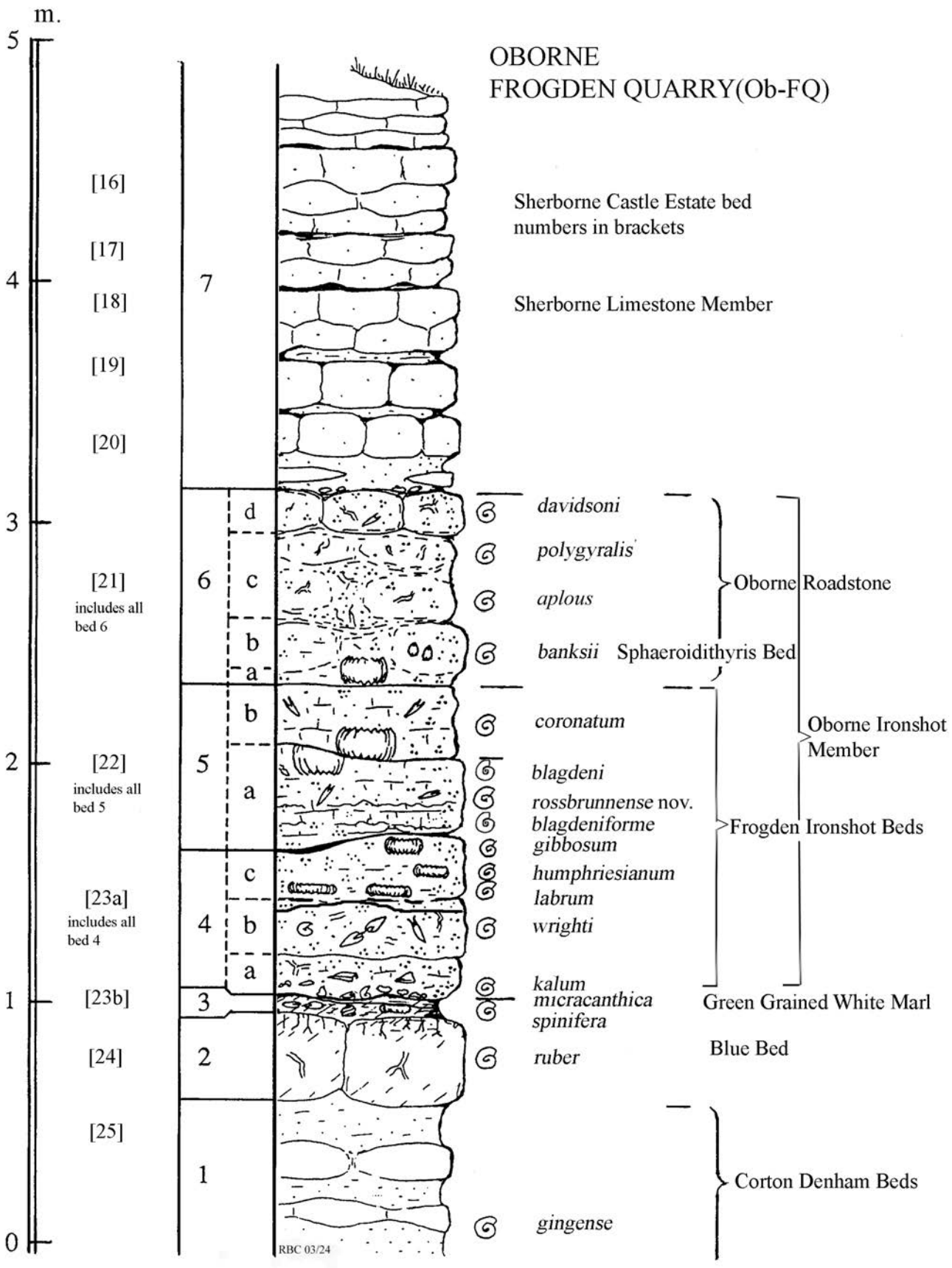

Figure 4. Diagrammatic representation through the Inferior Oolite at Frogden Quarry (Ob-FQ) after CHANDLER et al. (2014). Biohorizons in italics and given by guide species name. Sherborne Castle Estate quarry numbers on left

4. ábra. *Az Inferior Oolite a Frogden Quarry (Ob-FQ) szelvényben CHANDLER et al. (2014) nyomán. A biohorizontokat a dőlttel szedett fajnevek jelölik. A Sherborne Castle Estate kőfejtő számai a bal oldalon*

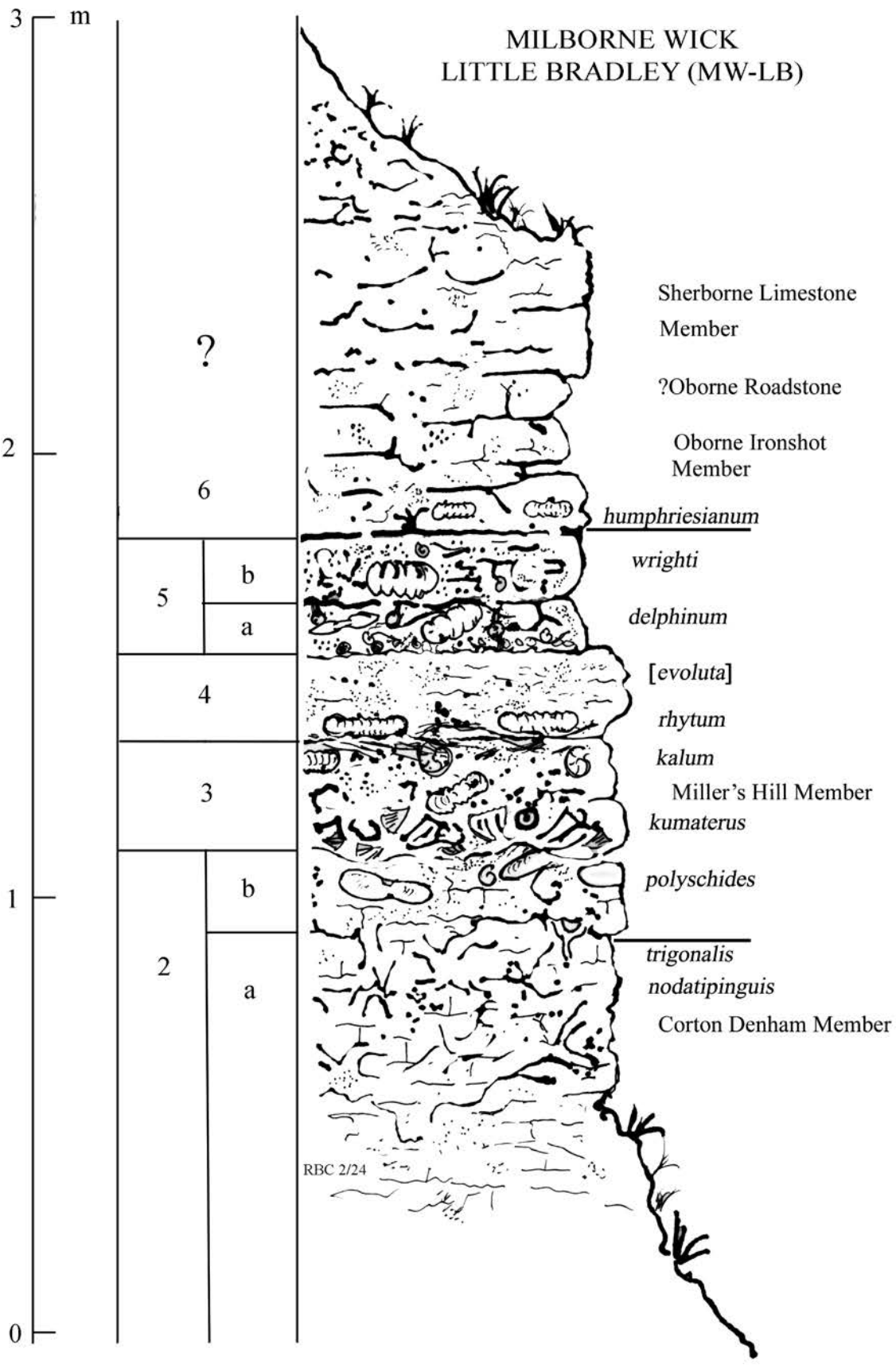

Figure 5. Diagrammatic representation through the Inferior Oolite at Little Bradley, Milborne Wick (MW-LB). The section is similar, but not identical to that at Miller's Hill (MW-MH) of COX & SUMBLER (2002). Biohorizons in italics and given by guide species name

5. ábra. *Az Inferior Oolite a Little Bradley, Milborne Wick (MW-LB) szelvényben. A szelvény hasonló, de nem azonos a Miller's Hill (MW-MH) COX & SUMBLER (2002) féle szelvénnyel. A biohorizontokat a dőlttel szedett fajnevek jelölik*

ZONE	SUBZONE	Macroconchs
Humphriesianum	Blagdeni	*Lokuticeras fredericiromani* (ROCHÉ) (R), *Stephanoceras* (*Stephanoceras*) aff. *sturanii* PAVIA (O), *Teloceras blagdeni* (SOWERBY) (C)
		Lokuticeras rossbrunnense GALÁCZ (O), *L. fredericiromani* (R), *S. sturanii* (O), *Stephanoceras leoniae* SCHMIDTILL & KRUMBEK (O), *Stephanoceras tenuicostatum* (HOCHSTETTER) (O), *T. blagdeni* (C)
	Humphriesianum	*Stephanoceras blagdeniforme* (ROCHÉ) (C), *L. rossbrunnense* & aff. (C), *L. fredericiromani* (R), *S. leoniae* (C), *Stephanoceras scalare* WEISERT (O), *Stephanoceras* (*Skirroceras*) *englandi* CHANDLER (O), *Stephanoceras zieteni* (QUENSTEDT) (O), *Stephanoceras gibbosum* (BUCKMAN) (C), *Stephanoceras humphriesianum* (J. DE C. SOWERBY) (C), *S.* aff. *sturanii* (O), *Stephanoceras triplex* WEISERT (O), *Kumatostephanus gibbosus* (BUCKMAN) (C)
		L. aff. *rossbrunnense* (O), *S. zieteni* (C), *St.* (*Sk.*) aff. *englandi* (O), *S. scalare* (C), *S. humphriesianum* (C), *S.* aff. *sturanii* (O), *Stephanoceras plicatissimum* (QUENSTEDT) (O), *Stephanoceras pyritosum* (QUENSTEDT) (C), *S. tenuicostatum* (O), *Stephanoceras hoffmanni* SCHMIDTILL & KRUMBEK (O), *Teloceras labrum* BUCKMAN (O), *Stephanoceras umbilicum* (QUENSTEDT) (C), *Stephanoceras mutabile* (QUENSTEDT) (C), *Stephanoceras plagium* BUCKMAN (O)
	Romani	*S umbilicum* (QUENSTEDT) (O), *S. mutabile* (O), *S.* aff. *humphriesianum* (O), *S. scalare* (O), *S.* aff. *sturanii* (R), *S. zieteni* (O), *T.* aff. *labrum* (O)
		?*Stephanoceras frechi* (RENZ), *S.* aff. *humphriesianum* (R) *S.* aff. *sturanii* (R), *Stephanoceras rochei* (MAUBEUGE) (O) *S. tenuicostatum* (R), *S.* aff. *scalare* (O), *Teloceras ellipticum* (MASCKE) (R)
Sauzei	Hebridica	*S.* aff. *macrum* (QUENSTEDT) (R), *S. rhytum* (BUCKMAN) (C) *Stephanoceras plicatum* (QUENSTEDT) (O), *Stephanoceras* aff. *pyritosum* (QUENSTEDT) (O), *S.* aff. *scalare* (R) *Pseudoteloceras digbyi* CHANDLER et al. (O)

Figure 6. The distribution of some stephanoceratid morphospecies from Redhole Lane, Frogden Quarry and Milborne Wick. Each Subzone is shown as an upper grey shaded part and a lower part without shading. The macroconch stephanoceratid morphospecies found from the three Dorset locations are shown by their occurrence in each part of the figure. The full name with author is given on first use only. Estimated abundance is indicated by (C) common, (O) occurs and (R) rare. It is to be stressed that the diagram only acts as a guide to what has been found based on comparison with published specimens. It is not a comprehensive list as much remains to be prepared and evaluated

6. ábra. *Néhány stephanoceratid morphospecies a Redhole Lane, Frogden Quarry és Milborne Wick lelőhelyekről. A szubzónák felső része szürkével jelölve. A fajleíró nevét csak az első említéskor közöljük. Gyakorisági viszonyok: C: gyakori, O: előfordul, R: ritka*

Genus *Lokuticeras* GALÁCZ, 1994

*Lokuticeras *rossbrunnense* GALÁCZ, 1994

The type species is figured by GALÁCZ (1994, pl. 1, fig. 1), a specimen from Lókút, Bakony Mountains, from the Humphriesianum Zone, Blagdeni Subzone; it is identical to specimens from the Sherborne area of Dorset from the *Stephanoceras humphriesianum* and *Stephanoceras gibbosum* biohorizons (e.g., *Pl. III, 4a–b*; *Pl. V, 3a–b*). Common examples occur in the base of the Blagdeni Subzone at Redhole Lane, where to date, the group is best represented in Dorset. Close matches for the paratypes of GALÁCZ (1994, PT 1, pl. 1, fig. 2; PT 3, pl. 1. fig. 4; PT 2, pl. 2, fig. 1; PT 4, pl. 3, fig. 1) also occur and are depicted in *Pls. II–V*. The 4th paratype (J51767) is a Dorset specimen from Miller's Quarry Sherborne and is the most coarsely ribbed of the type series. The location of Miller's Quarry appears lost, but by matrix, it can only have come from a geographically restricted, narrow belt of strata, of the Oborne Ironshot Member, Frogden Ironshot Beds (CHANDLER et al 2014), Bed 4c belonging to the Humphriesianum Subzone, *humphriesianum* or *gibbosum* biohorizon from between Sherborne and Oborne. That specimen figured by GALÁCZ (1994, pl. 3, fig. 1) as paratype 4 is refigured here from new photographs as *Pl. VI, 1a–b*. Similar additional specimens from Dorset are demonstrated to range as low as the Sauzei Zone and up to the Banksii Subzone. Only examples from part of that range are included here as some specimens await preparation.

Included in *Lokuticeras* GALÁCZ, 1994 are macroconch species *Stephanoceras* (*Stephanoceras*) *sturanii* PAVIA, 1983 of the Humphriesianum/Niortense boundary and *Lokuticeras fredericiromani* (ROCHÉ, 1939) of the Blagdeni Subzone. The holotype of *St. sturanii* PAVIA is figured in PAVIA (1983 pl. 13, fig. 6; listed incorrectly in GALÁCZ 1994 as pl. 14). PAVIA figures additional specimens from Bayeux (pl. 13, fig. 2) and another from Chaudon (pl. 13, fig. 4). The Dorset specimens figured herein (*Pl. IV, 3a–b*; *Pl. V, 2a–b* are slightly different; therefore these have been listed as aff. or as a transitional form.

The profile of the mouth-border of many of these ammonites is similar to that depicted by J. BUCKMAN (1881, p. 64, text fig. 6). The microconch partners of *Lokuticeras* are placed in *Masckeites* BUCKMAN, 1920 and include *Masckeites *densus* BUCKMAN, 1920 of the Humphriesianum Zone and *Masckeites psilacanthoides* (SANDOVAL, 1983), Niortense Zone.

It should be clarified that the above are morphospecies that can be located to a specific range of biohorizons in Dorset at a number of locations. In all cases the observations of GALÁCZ (1994) can be confirmed with the qualifications made below.

Discussion

This account is based on a large number of specimens collected *in situ*; however not all have yet been prepared in time for this work. Records of the stratigraphical distribution of '*Lokuticeras*' morphology in Dorset appears to begin lower in the succession than in Hungary, first occurring in the Sauzei Zone or below. This may be due to earlier examples not so far being identified in Hungary, stratigraphic omission or an ecological factor. It may also be the case that if this ammonite group arrived via the 'Hispanic Corridor' (SADKI & MOUTERDE 1994) morphs leading to *Lokuticeras* may have inhabited western Europe slightly earlier. Examples of what GALÁCZ considers included in *Lokuticeras* are quite widely reported across Europe (e.g., PAVIA 1983 for France, FERNÁNDEZ–LÓPEZ 1985 for Spain, CRESTA & GALÁCZ 1990 for Hungary and Italy). A specimen figured by DIETZE (2010, pl. 4, figs. 3–4) from southern Germany has similar ribbing on the inner whorls to (pl. 3, fig. 1) of GALÁCZ (1994) paratype 4 but has a broader whorl section and is less serepnticonic. All the macroconchs figured by GALÁCZ (1994) lack a ventral view image therefore the interpretations here must take that into account.

In Dorset the first specimens collected to date that match the morphology of *Lokuticeras* [M & m] occur in the assemblage of the *rhytum* biohorizon of the upper part of the Sauzei Zone. They occur in the Romani Subzone and become relatively abundant in the lower Humphriesianum Subzone. They are most common (as observed by GALÁCZ) in the uppermost Humphriesianum Subzone and persist at least to the *polygyralis* biohorizon of the Niortense Zone.

All the specimens have fine close ribbing, coronate innermost whorls, short primary ribbing and lack pronounced tubercles, some have tiny sharp spines. The most notable feature is the abundance of small macroconchs (e.g., *Pl. III, Figs. 1–4*; *Pl. IV, Figs. 2a–b, 3a–b*; *Fig. 5. 2a–b, 3a–b*) that show the features of adults with well-developed mouth-borders and lacking lappets. Such specimens are what CHANDLER (2019) referred to as mesoconchs. Taking only the range of morphological variability of *Lokuticeras* as described by GALÁCZ in isolation, it is reasonable to consider, as GALÁCZ concluded, that *Lokuticeras* forms a separate evolutionary lineage within the Stephanoceratidae; however this interpretation must be judged, based on the information presented here.

The Dorset specimens from the upper Sauzei Zone constitute a continuum, a plexus of morphology and size variability centred on *Stephanoceras rhytum*, the type of which has fine close ribbing of the inner whorls and similarity to *Lokuticeras*. *Stephanoceras* (*St.*) aff. *scalare* (*Pl. IV, 3a–b*) has morphology intermediate to *S.* aff. *sturanii*, It is arguable (as discussed by CHANDLER 2019) that the generic names *Skirroceras* or *Stephanoceras* can both be applied to the ammonites at this level as the plexus of variability ranges from stephanoceratids with depressed oval whorls sections approaching *Stephanoceras humphriesianum* to slender rather quadrate, very evolute *Skirroceras*. The line leading to *Stephanoceras* sensu stricto (**Ammonites humphriesianus* J. de C. SOWERBY, 1825 [M]), is present in the *rhytum* assemblage, as part of a continuum that can be traced back to the Aalenian from *Riccardiceras*. Furthermore, some of the more coarsely ribbed morphospecies (e.g., *Kumatostephanus*) likely originate from a different ancestor.

The size variability of complete adult macroconchs in the *rhytum* biohorizon and above is staggering, with small macroconchs of around 80 mm existing alongside shells of 350 mm, all displaying features of adulthood. A mesoconch specimen with *Lokuticeras* morphology identified as *Stephanoceras* aff. *pyritosum* (QUENSTEDT) from the Sauzei Zone is given in *Pl. V, 1a–b*. A further observation is that the larger examples develop coarser, more distant ribbing on the later whorls and sometimes spines or tubercles on the body-chamber. In all cases the ribbing persists to a short distance before the aperture. The mouth-border is flared with a constriction preceding the peristome.

Collections from Dorset from the Sauzei Zone to Blagdeni Subzone includes the *Lokuticeras* morphs within the intraspecific variability of the assemblage. The *Lokuticeras* morphology attains maximum abundance in the lowest Blagdeni Subzone and is the dominant stephanoceratid (excluding teloceratids). In the *blagdeniforme* and *blagdeni* biohorizons *Lokuticeras* persists as the only serpenticonic/subserpenticonic stephanoceratid alongside abundant '*Teloceras*-like' forms. Further insight into the evolution of the morphogenus can be evaluated from specimens collected from three key Dorset locations

Redhole Lane is the most westerly exposure of strata of Humphriesianum Zone age relevant here. Further west, in a short distance at Sandford Lane (ST 628 178) the entire succession of the Humphriesianum Zone and almost all of the Niortense Zone is cut out beneath the Upper Bajocian. The outcrop at Redhole Lane is in an agricultural field and has been studied in temporary excavations (HUXTABLE 1999, CHANDLER 2019). Records from historical exposures nearby are by BUCKMAN (1893). Above the Sauzei Zone (*Fig. 4*) is a series of thin ironshot, oolitic limestones (Bed 5 & 6) representing the upper part of the Romani Subzone to the Humphriesianum Subzone; these are labelled 5a–g. Bed 6 is Blagdeni Subzone and contains common *Lokuticeras* in the lowest part. The beds are discontinuous across the area and are sometimes, locally, individually absent. New information regarding Beds 5 and 6 is now available shedding further clarity on the biostratigraphical division of this bed at Redhole Lane and Frogden Quarry. CHANDLER (2019, fig 13e) introduced the species *Stephanoceras* (*Skirroceras*) *englandi* HT, from Frogden Quarry, Bed 4c–5a transition (*Fig. 4*). The inner whorls of members of the type series closely resemble *Lokuticeras*; they are also close to GALÁCZ

(1991, pl. 1, fig. 3) referred to as *Stephanoceras* sp. A number of examples of *S. englandi* have now been collected *in situ* from Redhole Lane and Frogden Quarry and their levels of occurrence can now be separated. The lower level at which the stouter '*Skirroceras*' morphology of *S. englandi* is found is in the *humphriesianum* biohorizon (in the middle part of Bed 4c at Frogden) and includes large (300 mm +) *S. humphriesianum* and smaller *Lokuticeras*; this is the level of PT 4 of *L. *rossbrunnense* GALÁCZ, 1994 with relatively common chorotypes of PT 4. The large *S.* aff. *englandi* are intermediate between *S. humphriesianum* and *Skirroceras* (*Pl. I, 1a–b*). Directly above at both Redhole Lane and Frogden Quarry is a bed of rotted limestone with specimens including some of the type series of *S. englandi.* These specimens are smaller than those below (c 150-250 mm or less) (*Pl. I, 2a–b*) and have rope-like narrow coiling and less pronounced close ribbing. They are accompanied by common *Lokuticeras* [M] at Redhole Lane (*Pl. III, 1–4*; *Pl. IV, 1a–b, 2a–b*; *Pl. V, 3a–b*) and lesser numbers at Frogden (*Pl. II, 1a–b, 2a–b, 3a–b*). They include diminutive examples (all c110 mm) of *L. rossbrunnense*, that themselves resemble small morphs of *S. englandi*. The same occurrence is seen at Frogden Quarry, but there *L. rossbrunnense* is less frequent and both *Kumatostephanus gibbosum* and *Teloceras* occur at the same level.

The microconch association remains more obscure. The specimen of *Masckeites densus* [m] (*Pl. I, 3a–b*) is a fairly common form throughout the upper Humphriesianum and Blagdeni subzones and *Gerzenites rugosus* WESTERMANN [m] (*Pl. V, Figs. 4a–b*) occurs in the Humphriesianum Subzone. Finely ribbed examples such as *Germanites bicostatus* (WESTERMANN) [m] (*Pl. IV, Fig. 4*) occur in the Sauzei Zone.

The occurrence of '*Skirroceras*-like *Lokuticeras*' in the Sauzei Zone in the plexus of forms in the *Stephanoceras rhytum* biohorizon (*Pl. V, 1a–b*) and in the Romani Subzone, *delphinium* biohorizon of Milborne Wick (*Pl. IV, 3a–b*; *Pl. V, 2a–b*) points to the origins of at least some *Lokuticeras* species in the Sauzei Zone from miniature members of the assemblage. Small macroconch ammonites (mesoconchs) are constituent members of stephanoceratid assemblages throughout the Bajocian and can also be identified in other families (e.g. sphaeroceratids, otoitids, perisphinctids). The smallest collected so far is *Pl. II, 3a–b* at 50 mm, smaller than some contemporary microconchs. They are paedomorphic members of the palaeobiospecies at the levels sampled, each being a miniature version of the normal size population. At some levels (e.g., *humphriesianum* biohorizon) there is indication of a trimodal size distribution (macroconchs, mesoconchs and microconchs). Testing this reliably, statistically, is challenging without knowing how many generations of ammonites are present in the time duration of a biohorizon. It is also likely that these ammonites could represent the extreme end of a highly variable palaeobiospecies with respect to size. FERNÁNDEZ-LÓPEZ & PAVIA (2016) have presented biological mechanisms to explain such size discrepancies. The upper levels of the occurrence of *Lokuticeras* are still in the early stage of study in Dorset; *L. rossbrunnense* and spp. aff. rather than splitting-off towards the top of the Humphriesianum Zone evolve as surviving stephanoceratids with morphological changes including both an increase in size of the larger end members and evolution of others to *Cadomites* (see GALÁCZ 1991, fig. 1). *L. rossbrunnense* occupies a stratigraphical position in Dorset where it is a common, characteristic, guide fossil in the uppermost Humphriesianum Subzone and lower Blagdeni Subzone. This range of occurrence is similar in Hungary and close matches to specimens that can be attributed to *Lokuticeras* can now be confirmed from collections made in Hungary (GALÁCZ 1991, 1994), Hungary and Italy (CRESTA & GALÁCZ 1990), Spain (FERNÁNDEZ–LÓPEZ 1985), Germany (DIETZE 2010), SE France (PAVIA 1983) and recently western France at La Grande Palisse, Nanteuil (Deux-Sèvres) in Bed 19b of the Blagdeni Subzone (LACROIX *pers. comm.*). Typical specimens centre on *L. rossbrunnense* which here is erected as the lowest biohorizon of the Blagdeni Subzone of the Humphriesianum Zone and included in the table of biohorizons (*Fig. 2*).

Conclusion

In Dorset the morphology of *Lokuticeras* can be traced back to the Sauzei Zone and possibly earlier. The morphology of the genus in Dorset constitutes part of the total stephanoceratid assemblage of biohorizons of the Humphriesianum Zone and in minor numbers in the Sauzei Zone. It becomes the dominant ammonite in the upper Humphriesianum Subzone/lowest Blagdeni Subzone for which a *L. rossbrunnense* biohorizon is erected herein. Specimens included in *Lokuticeras* have been widely reported across parts of Europe. Its persistence into higher strata gives rise to *Cadomites*. Much still needs to be clarified regarding the relationship of diminutive, but mature, small macroconchs of a number of taxa.

Acknowledgements

The author thanks Orsolya SZTANÓ (editor-in-chief) and István FŐZY (section editor) for their guidance in the preparation of this work. Thanks are given to professors J.C.W. COPE and G. PAVIA for their critical review of the manuscript and suggestions for its improvement. This work was made possible by the kind cooperation of Sherborne Castle Estates over many years. In particular the expert quarry management and skill of Martin DODGE. Robert and Peter HUNT are thanked as tenants of land on which Frogden and Redhole Lane are situated. Natural England gave consent to work in SSSI designated areas. In the field John H. CALLOMON (deceased) contributed much to the work at Redhole Lane. Much of the industrious effort in the collection of specimens was provided by Andy STEADMAN, Peter LANGHAM, Andy COWAP and Volker DIETZE. From earlier times great thanks are due to Andrew ENGLAND (deceased) name giver of *S.*

englandi, William JONES and John WHICHER. The late J.G. HUXTABLE first identified the site of investigation at Redhole Lane. Information on specimens from La Grande Palisse is kindly provided by Pierre LACROIX (project geologist) and Jérôme CAILLET-LABASSE (owner Labasse et Fils Company). Matt RILEY of the Sedgwick Museum, Cambridge is thanked for providing images of J51767 housed in that collection. John FREDD is thanked for preparing some of the figured specimens.

References – Irodalom

BUCKMAN, J. 1881: On the termination of some ammonites from the Inferior Oolite 0f Dorset and Somerset. – *Quarterly Journal of the Geological Society of London* **37**, 57–66. https://doi.org/10.1144/GSL.JGS.1881.037.01-04.08

BUCKMAN, S.S. 1893: The Bajocian of the Sherborne district: its relation to subjacent and superjacent strata. – *Quarterly Journal of the Geological Society of London* **49**, 479–522. https://doi.org/10.1144/GSL.JGS.1893.049.01-04.60

BUCKMAN, S.S. 1909–1930: *Type Ammonites*. – Weldon and Wesley, Thame and London. 7 vols., 790 pls.

CALLOMON, J.H. 1994: Palaeontological methods of stratigraphy and biochronology: Some introductory remarks. – *Geobios* **27**, 16–30. https://doi.org/10.1016/S0016-6995(94)80122-3

CALLOMON, J.H. 1995: Time from fossils: S.S. Buckman and Jurassic high–resolution geochronology. – In: LE BAS, M.J. (Ed.), *Milestones in Geology*. *Geological Society of London, Memoirs*, **16**, 127–150. https://doi.org/10.1144/GSL.MEM.1995.016.01.14

CALLOMON, J.H. & CHANDLER, R.B. 1990: A review of the ammonite horizons of the Aalenian–Lower Bajocian stages in the Middle Jurassic of southern England. – In: CRESTA, S. & PAVIA, G. (Eds.): Atti del meeting sulla stratigra a del Baiociano, vol. **40**. *Memorie descrittive della Carta geologica d'Italia*, 85–112.

CALLOMON, J.H. & COPE, J.C.W. 1995: The Jurassic Geology of Dorset. – In: TAYLOR, P.D. (Ed.): *Field geology of the British Jurassic*. Geological Society, London, 51–103.

CHANDLER, R.B. 2019: Two new stephanoceratid ammonites from the Aalenian–Lower Bajocian (Middle Jurassic, Dorset, UK) and their phylogenetic signi cance. – *Proceedings of the Geologists' Association* **130**, 307–325. https://doi.org/10.1016/j.pgeola.2018.05.003

CHANDLER, R.B. & CALLOMON, J.H. 2009: The Inferior Oolite at Coombe Quarry, near Mapperton, Dorset, and a new Middle Jurassic ammonite Faunal Horizon, Aa–3b, *Leioceras comptocostosum* n. biosp. In the Scissum Zone of the Lower Aalenian. – *Proceedings of the Dorset Natural History and Archaeological Society* **130**, 99–132.

CHANDLER, R.B., DIETZE, V., CHIARINI, R. & WHICHER, J. 2023: Ammonites and stratigraphy of the "Wild Bed" (Middle Jurassic, Aalenian, Inferior Oolite) at Quarr Hill, Chideock, Dorset. – *Proceedings of the Geologists' Association* **134**, 283–313. https://doi.org/10.1016/j.pgeola.2023.03.004

CHANDLER, R.B., DIETZE, V. & WHICHER, J. 2017: A revision of some British Lower Bajocian stephanoceratid ammonites. – *Proceedings of the Geologists' Association* **128**, 636–658. https://doi.org/10.1016/j.pgeola.2017.04.008

CHANDLER, R.B., WHICHER, J., DODGE, M. & DIETZE, V. 2014: Revision of the stratigraphy of the Inferior Oolite at Frogden Quarry, Oborne, Dorset, UK. – *Neues Jahrbuch für Geologie und Paläontologie – Abhandlungen* **274**, 133–148. https://doi.org/10.1127/0077-7749/2014/0429

CHANDLER, R.B., WHICHER, J., GRULKE, W. & COWAP, A. 2013: The Middle Jurassic stephanoceratid ammonite *Kumatostephanus* from Dorset and Somerset, UK, and its evolution. – *Geobios* **46**, 285–297. https://doi.org/10.1016/j.geobios.2013.01.005

COX, B.M. & SUMBLER, M.G. 2002: *British Middle Jurassic Stratigraphy*. – *Geological Conservation Review* **26**. Joint Nature Conservation Committee, Peterborough, 508 p.

CRESTA, S. & GALÁCZ, A. 1990: Mediterranean basal Bajocian ammonite faunas. Examples from Hungary and Italy. – In: CRESTA, S. & PAVIA, G. (Eds.): Atti del meeting sulla stratigra a del Baiociano, vol. **40**. *Memorie descrittive della Carta geologica d'Italia*, 165–198.

DIETZE, V. 2010: Über *Ammonites Humphriesianus umbilicus* Quenstedt, 1886 an seiner Typus-Lokalität (östliche Schwäbische Alb, Südwestdeutschland). – *Zitteliana* A**50**, 55–69.

FERNÁNDEZ–LÓPEZ, S.R. 1985: *El Bajocense en la Cordillera Ibérica*. – Madrid (Facultad de Ciencias Géologicas, Departamento de Paleontologia, Universidad Complutense), 848, 23 pls.

FERNÁNDEZ–LÓPEZ, S.R. & PAVIA, G. 2016: *Paragarantiana* and other new latest Bajocian garantianin lineage (Ammonoidea, Middle Jurassic): A case of proterogenesis and neoteny. – *Neues Jahrbuch für Geologie und Paläontologie – Abhandlungen* **282/3**, 225–249. https://doi.org/10.1127/njgpa/2016/0615

GALÁCZ, A. 1976: Bajocian (Middle Jurassic) sections from the Northern Bakony (Hungary). – *Annales Universitatis Scientiarium Budapestinensis de Rolando Eötvös nominatae, Sectio Geologica* **18**, 177–191.

GALÁCZ, A. 1991: Bajocian stephanoceratid ammonites from the Bakony Mountains, Hungary. – *Palaeontology* **34,** 859–885.

GALÁCZ, A. 1994: *Lokuticeras* nov. gen. a new genus for a Mediterranean Bajocian (Middle Jurassic) stephanoceratid ammonite group. – *Miscellanea del Servizio Geologico Nazionale* **5**, 161–175.

GÉCZY, B. 1967: Ammonoides Jurassiques de Csernye, Montagne Bakony, Hongrie, Part II. (excl. Hammatoceratidae). – *Geologica Hungarica, Series Palaeontologica* **35,** 1–413, Budapest.

HUDLESTON, W.H. 1887–1896: *A Monograph of the Inferior Oolite Gasteropoda.* – Palaeontographical Society, London.

HUDLESTON, W.H. & WOODWARD, H.B. 1885: Excursion to Sherborne and Bridport. – *Proceedings of the Geologists' Association* **9**, 187–209. https://doi.org/10.1016/S0016-7878(85)80034-1

HUXTABLE, J.G. 1999: A review of the stratigraphy of the Inferior Oolite (Bajocian Stage; Middle Jurassic) near Clatcombe, Sherborne, with a description of temporary sections. – *Proceedings of the Dorset Natural History and Archaeological Society* **121**, 101–06.

HUXTABLE, J.G. 2005: A description of a permanent new section and of nearby temporary sections in the Inferior Oolite (Bajocian Stage, Middle Jurassic) of Milborne Wick, Somerset. – *Proceedings of the Dorset Natural History and Archaeological Society* **127**, 77–85.

LARWOOD, J.G. & CHANDLER, R.B. 2016: Conserving classic geological sections in the Inferior Oolite Formation, Middle Jurassic of the Wessex Basin, south–west England. – *Proceedings of the Geologists' Association* **127**, 132–145. https://doi.org/10.1016/j.pgeola.2016.03.007

PAVIA, G. 1983: Ammoniti e biostratigrafia del Baiociano inferiore di Digne (Francia SE, Dip. Alpes–Haute–Provence). – *Museo Regionale di Scienze Naturali, Monografie,* II, 1–354, Torino.

SADKI, D. & MOUTERDE, R. 1994: Ammonites de l' Aalénien supérieur et du Bajocien inférieur à affinités américaines dans le Haut-Atlas marocain. – *Miscellanea del Servizio Geologico Nazionale* **5**, 191–201.

Manuscript received: 07/02/2024

Plate I – 1. tábla

Fig. 1a–b. *Stephanoceras* (*Skirroceras*) aff. *englandi* CHANDLER [M] CT, WC6067, Bed 4c middle part, *humphriesianum* biohorizon.

Fig. 2a–b. *St.* (*Sk.*) *englandi* [M] CT, WC6066, Bed 4d, *gibbosum* biohorizon.

Fig. 3a–b. *Stephanoceras* (*Masckeites*) aff. *densus* (BUCKMAN) [m], WC0934, Bed 4c lower or middle part, *labrum* or *humphriesianum* biohorizon. Humphriesianum Zone, Oborne Ironshot Member, Frogden Ironshot Beds, Frogden Quarry, Oborne, Dorset.

Scale bar Figs. 1–2 is 120 mm and Fig. 3 is 40 mm. A black star marks the last preserved suture.

Fig. 1a–b. Stephanoceras *(*Skirroceras*) aff.* englandi *CHANDLER [M] CT, WC6067, 4c réteg,* humphriesianum *biohorizont középső része.*

Fig. 2a–b. St. *(*Sk.*)* englandi *[M] CT, WC6066, 4d réteg,* gibbosum *biohorizont.*

Fig. 3a–b. Stephanoceras *(*Masckeites*) aff.* densus *(BUCKMAN) [m], WC0934, 4c réteg, alsó vagy középső része a* labrum *vagy* humphriesianum *biohorizontnak. Humphriesianum zóna, Oborne Ironshot Member, Frogden Ironshot Beds, Frogden Quarry, Oborne, Dorset.*

Méretarány: Figs. 1–2: 120 mm és Fig. 3: 40 mm. A csillag az utolsó megőrződött szutúrát jelzi.

Plate II – 2. tábla

Figs. 1–4. *Stephanoceras scalare* WEISERT [M]. 1a–b. WC0311, Bed 4c middle part, Humphriesianum Subzone, *humphriesianum* biohorizon. 2a–b. WC0032 & 3a–b. WC2397, Bed 4b, Romani Subzone, *wrighti* biohorizon. WC2397 is the smallest [M] specimen found to date. Humphriesianum Zone, Oborne Ironshot Member, Frogden Ironshot Beds, Frogden Quarry, Oborne, Dorset. 4a–b. WC6072 *St.* (*L.*) *scalare*.

Fig. 5a–b. WC6071 *Stephanoceras zieteni* (QUENSTEDT), both Bed 5a, *delphinum* biohorizon, Milborne Wick, Little Bradly, Humphriesianum Zone, Romani Subzone.

Scale bar is 40 mm. A black star marks the last preserved suture.

Figs. 1–4. Stephanoceras scalare *WEISERT [M]. 1a–b. WC0311, 4c réteg, Humphriesianum szubzóna középső része,* humphriesianum *biohorizont. 2a–b. WC0032 és 3a–b. WC2397, 4b réteg, Romani Szubzóna,* wrighti *biohorizont. WC2397 a legkisebb valaha talált [M] példány. Humphriesianum zóna, Oborne Ironshot Member, Frogden Ironshot Beds, Frogden Quarry, Oborne, Dorset. 4a–b. WC6072 St.* (*L.*) *scalare.*

Fig. 5a–b. WC6071 Stephanoceras zieteni *(QUENSTEDT), mindkettő az 5a rétegből,* delphinum *biohorizont, Milborne Wick, Little Bradly, Humphriesianum zóna, Romani szubzóna.*

Méretarány: 40 mm. A csillag az utolsó megőrződött szutúrát jelzi.

Plate III – 3. tábla

Figs. 1–3. *Stephanoceras scalare* WEISERT & aff. [M]. 1a–b. WC0320 *St. a*ff. *scalare*, Bed 5d, 2a–b. WC2396 Bed 5d, 3a–b. WC0033 Bed 5d, *humphriesianum* biohorizon.

Fig. 4a–b. *Lokuticeras rossbrunnense* GALÁCZ, Bed 5f, *gibbosum* biohorizon.

All Humphriesianum Zone, Humphriesianum Subzone, Sherborne, Clatcombe, Redhole Lane.

Scale bar is 40 mm. A black star marks the last preserved suture.

Figs. 1–3. Stephanoceras scalare *WEISERT & aff. [M]. 1a–b. WC0320* St*. aff.* scalare*, 5d réteg, 2a–b. WC2396 5d réteg, 3a–b. WC0033 5 réteg,* humphriesianum *biohorizont.*

Fig. 4a–b. Lokuticeras rossbrunnense *GALÁCZ, 5f réteg,* gibbosum *biohorizont.*

Minden példány Humphriesianum zóna, Humphriesianum szubzóna, Sherborne, Clatcombe, Redhole Lane.

Méretarány: 40 mm. A csillag az utolsó megőrződött szutúrát jelzi.

Plate IV – 4. tábla

Fig. 1a–b. *Lokuticeras* aff. *rossbrunnense* GALÁCZ [M] WC6070 Bed 5e, *gibbosum* biohorizon.

Fig. 2a–b. *L. rossbrunnense* [M] WC0598 Bed 5d, *humphriesianum* biohorizon. Both Humphriesianum Subzone, Sherborne, Clatcombe, Redhole Lane.

Fig. 3a–b. *Stephanoceras* (*St.*) *scalare t*rans. *sturanii* PAVIA [M] WC2428 Bed 5a, *delphinum* biohorizon. Romani Subzone, Milborne Wick, Little Bradley.

Fig. 4a–b. *Germanites bicostatus* (WESTERMANN) [m] WC2223, Bed 4b, Sauzei Zone, Hebridica Subzone, *rhytum* biohorizon. Clatcombe, Redhole Lane. The specimen is attached to a specimen of *Dorsetensia*.

Scale bar is 40 mm. A black star marks the last preserved suture.

Fig. 1a–b. Lokuticeras *aff.* rossbrunnense *GALÁCZ [M] WC6070 5e réteg,* gibbosum *biohorizont.*

Fig. 2a–b. L. rossbrunnense *[M] WC0598 5d réteg,* humphriesianum *biohorizont. Mindkettő Humphriesianum szubzóna, Sherborne, Clatcombe, Redhole Lane.*

fig. 3a–b. Stephanoceras *(*St.*)* scalare *trans.* sturanii *PAVIA [M] WC2428 5a réteg,* delphinum *biohorizont. Romani szubzóna, Milborne Wick, Little Bradley.*

Fig. 4a–b. Germanites bicostatus *(WESTERMANN) [m] WC2223, 4b réteg, Sauzei zóna, Hebridica szubzóna,* rhytum *biohorizont. Clatcombe, Redhole Lane. A példány egy* Dorsetensia *példányával van összenőve.*

Méretarány: 40 mm. A csillag az utolsó megőrződött szutúrát jelzi.

Plate V – 5. tábla

Fig. 1a–b. *Stephanoceras* aff. *pyritosum* (QUENSTEDT) [M] WC2670 Bed 4 Sauzei Zone, Hebridica Subzone, *rhytum* biohorizon.

Fig. 2a–b. *Stephanoceras* (*St.*) aff. *sturanii* PAVIA [M] WC2427 Bed 5a, *delphinum* biohorizon. Romani Subzone 1-2 Milborne Wick, Little Bradley.

Fig. 3a–b. *Lokuticeras rossbrunnense* GALÁCZ [M] WC2407 Bed 5g or 6a, *gibbosum* or *rossbrunnense* biohorizon, Sherborne, Clatcombe, Redhole Lane. A specimen of *Sphaeroceras* is adhering to the body-chamber.

Fig. 4a–b. *Gerzenites rugosus* WESTERMANN [m] WC0723 *humphriesianum* biohorizon, Oborne Wood adjacent to Frogden Quarry. 3–4: both Humphriesianum Zone and Subzone.

Scale bar is 40 mm.

Fig. 1a–b. Stephanoceras *aff.* pyritosum *(QUENSTEDT) [M] WC2670 4. réteg, Sauzei zóna, Hebridica szubzóna,* rhytum *biohorizont.*

Fig. 2a–b. Stephanoceras *(*St.*) aff.* sturanii *PAVIA [M] WC2427 5a réteg,* delphinum *biohorizont. Romani szubzóna 1-2 Milborne Wick, Little Bradley.*

Fig. 3a–b. Lokuticeras rossbrunnense *GALÁCZ [M] WC2407 5g vagy 6a réteg,* gibbosum *vagy* rossbrunnense *biohorizont, Sherborne, Clatcombe, Redhole Lane. A példány egy* Sphaeroceras *lakókamrájával van összenőve.*

Fig. 4a–b. Gerzenites rugosus *WESTERMANN [m] WC0723* humphriesianum *biohorizont, Oborne Wood a Frogden Quarry szomszédságában. 3–4: Humphriesianum zóna és szubzóna. A csillag az utolsó megőrződött szutúrát jelzi.*

Méretarány 40 mm.

Plate VI – 6. tábla

Fig. 1a–b. *Lokuticeras rossbrunnense* GALÁCZ [M] Sedgwick Museum, Cambridge J51767. 4th paratype of GALÁCZ, 1994. Monk Collection. Miller's quarry, Sherborne. See text for details.

Scale bar is 50 mm. A black star marks the approximate position of the last preserved suture.

Fig. 1a–b. Lokuticeras rossbrunnense *GALÁCZ [M] Sedgwick Museum, Cambridge J51767. 4th paratype of GALÁCZ (1994). Monk-gyűjtemény. Miller's quarry, Sherborne. Részletek a szövegben.*

Méretarány: 50 mm. A csillag az utolsó megőrződött szutúra hozzávetőleges helyét jelzi.

Plate I – 1. tábla

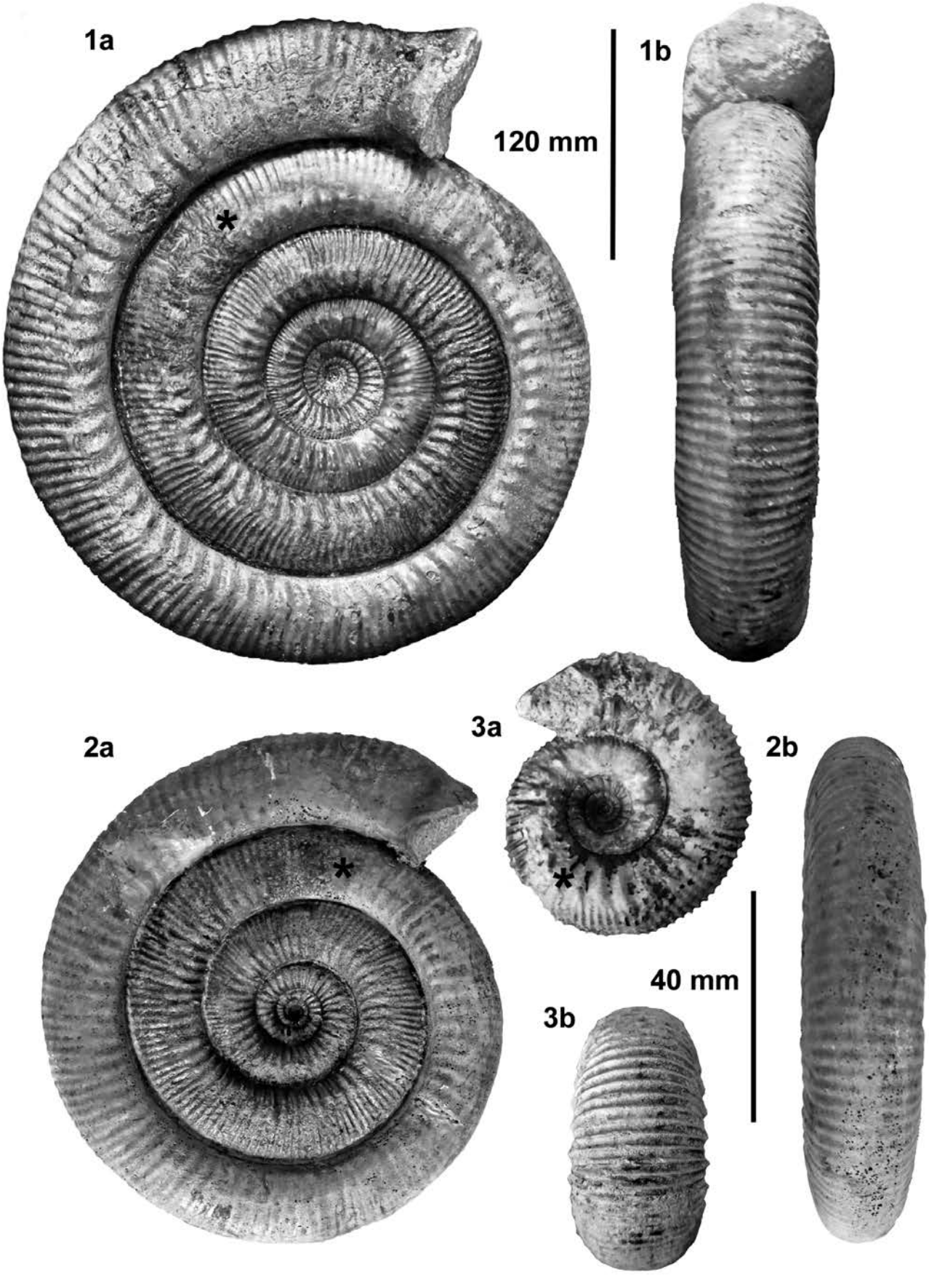

Plate II – 2. tábla

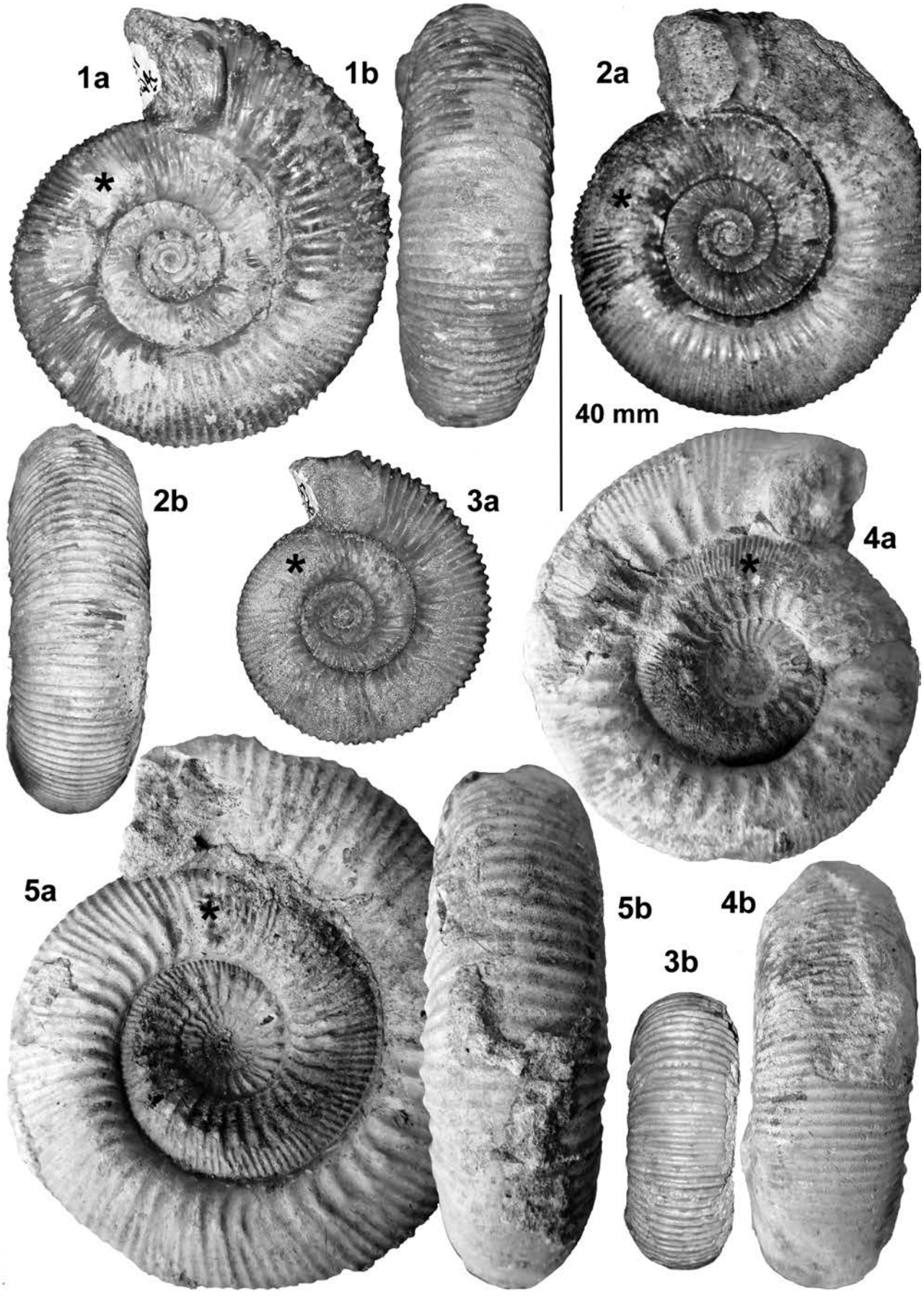

Plate III – 3. tábla

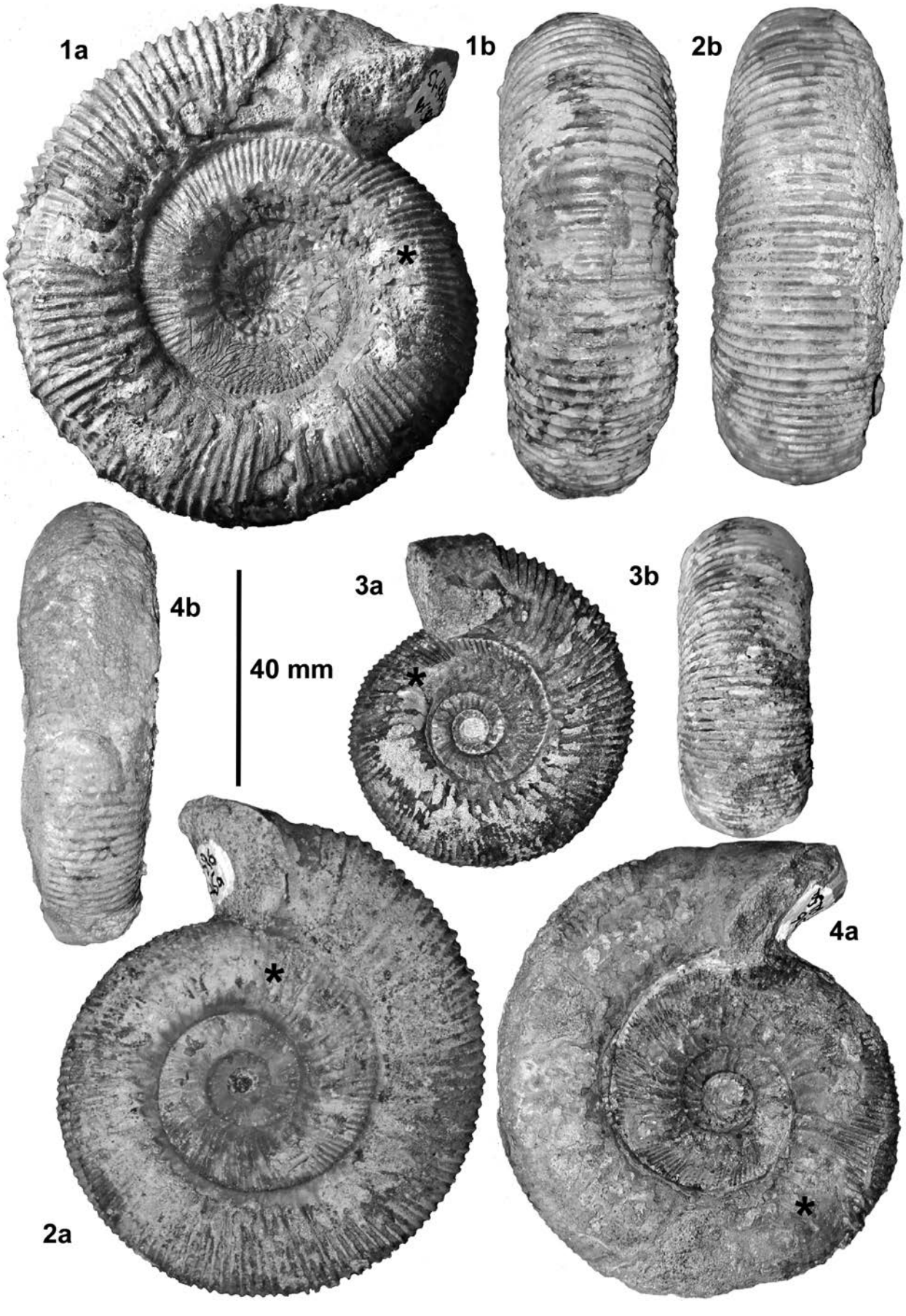

Plate IV – 4. tábla

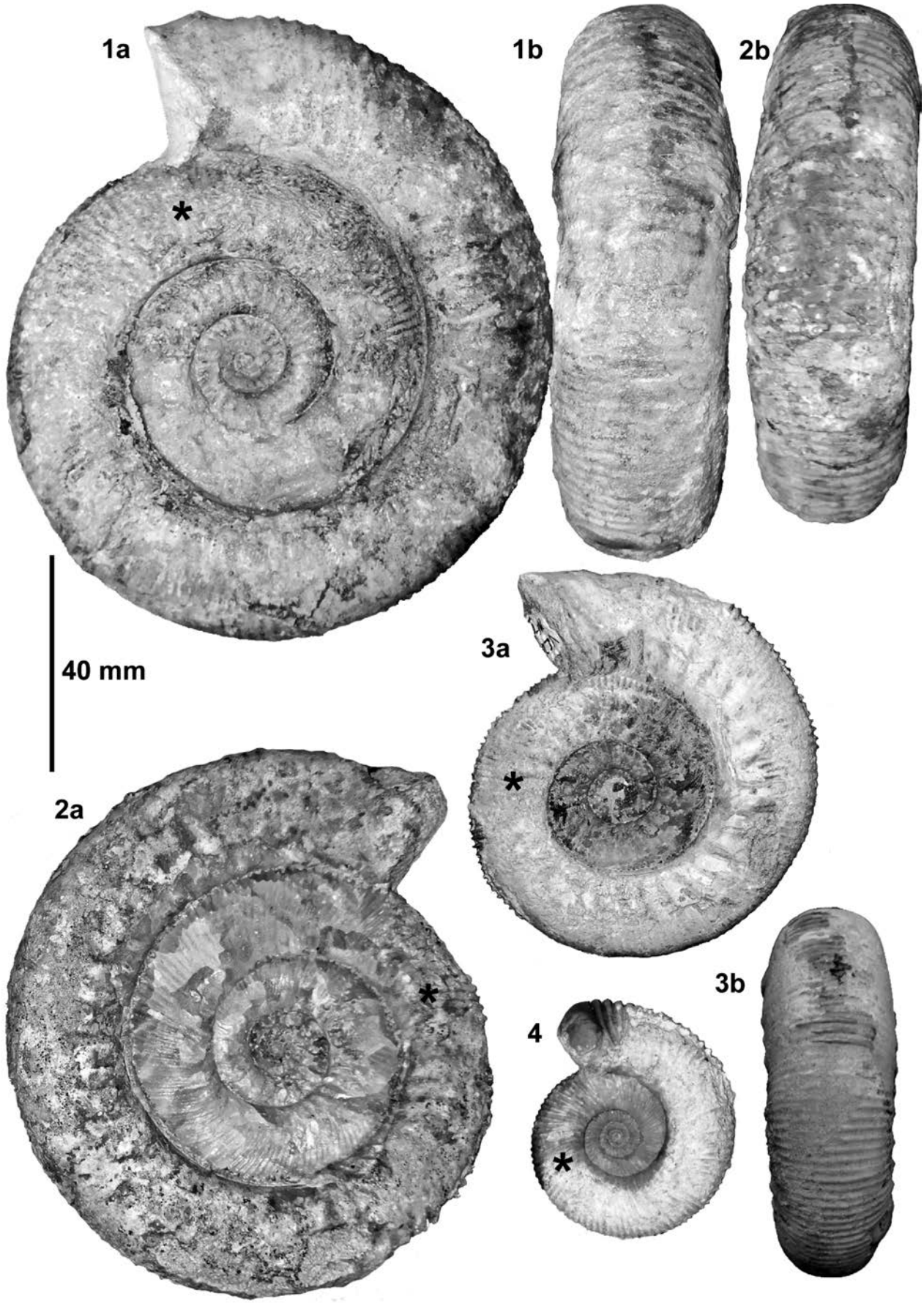

Plate V – 5. tábla

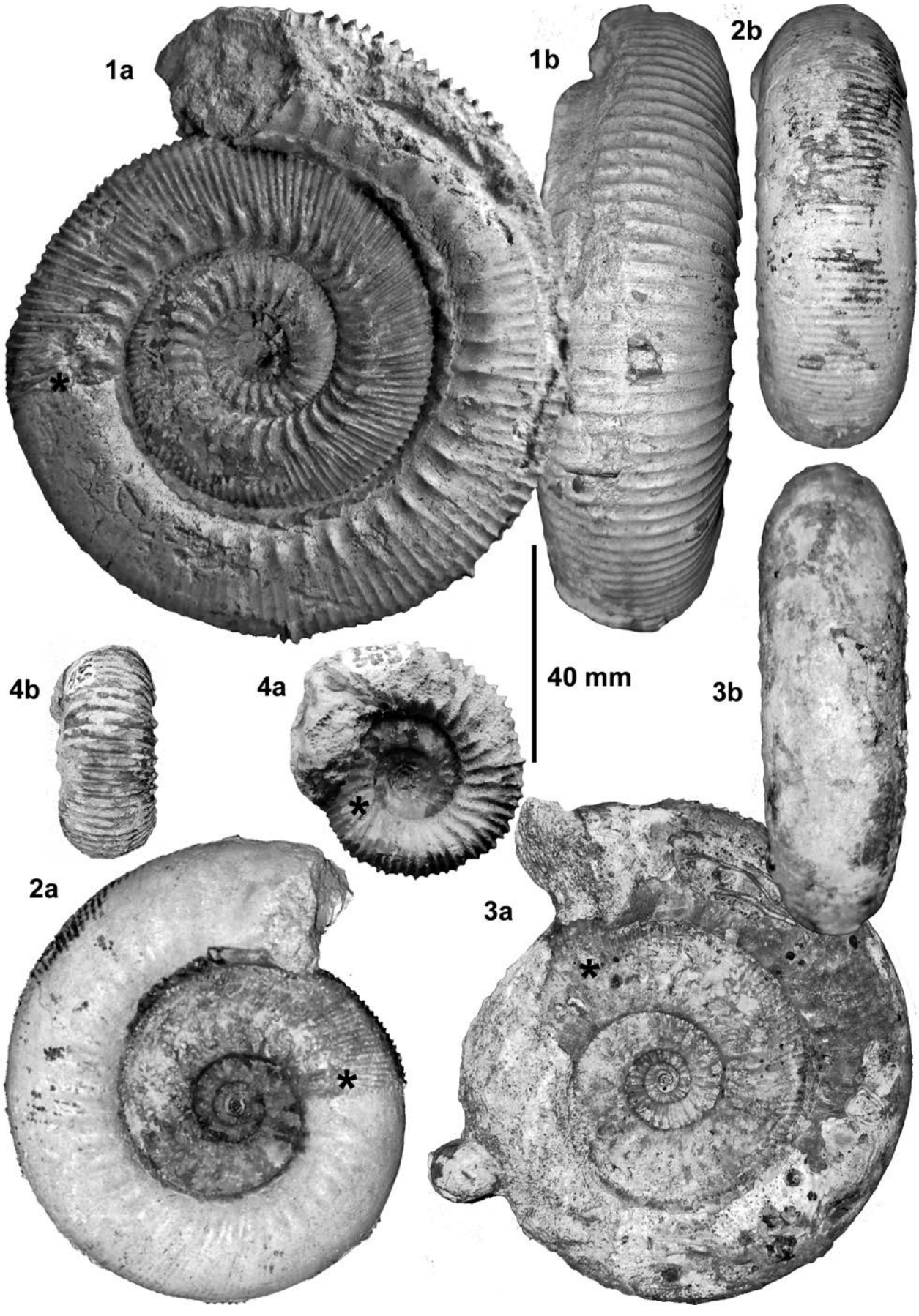

Plate VI – 6. tábla

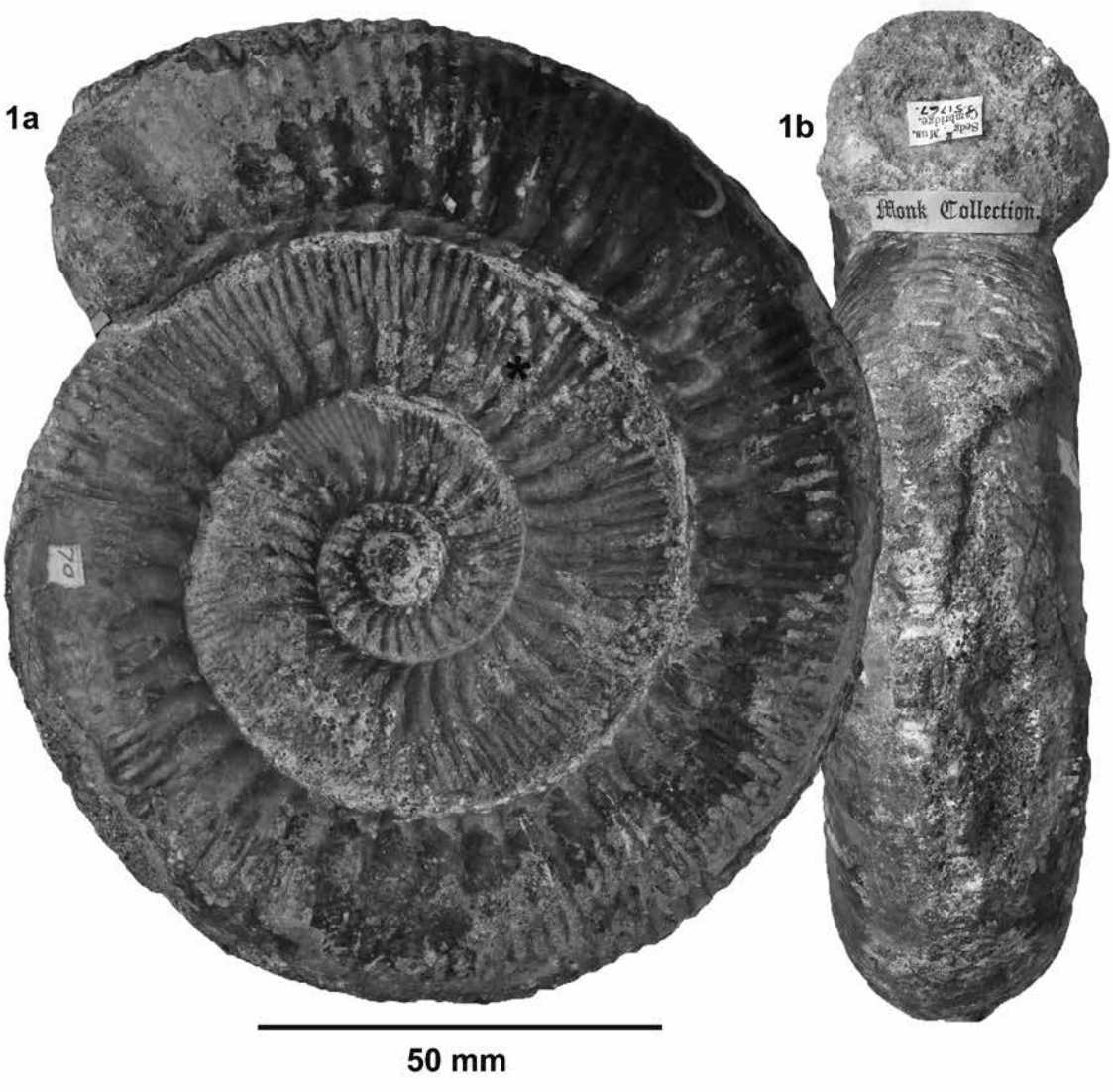

Magyarhoni Földtani Társulat
Földtani Közlöny
Hungarian Geological Society

154/2, 195–198., Budapest, 2024

DOI: 10.23928/foldt.kozl.2024.154.2.195

Two bivalve species, hitherto unrecorded, from the Upper Jurassic of the Transdanubian Range (Hungary)

SZENTE, István

ELTE Tatai Geológus Kert – Természetvédelmi Terület és Szabadtéri Geológiai Muzeális Közgyűjtemény,
E-mail: szente@staff.elte.hu
ORCID: 0000-0002-8679-8425

Két, a Dunántúli-középhegység felső jurájából eddig nem dokumentált kagylófaj

Összefoglalás

A Dunántúli-középhegység felső jurájából a 2010-es évek elejéig előkerült kagylókat az utóbbi évtizedben megjelent két tanulmány ismerteti. A publikációk megjelenését követően a területről korábban nem ismert két faj egy-egy példánya került elő. Az antimarginális irányú redőkkel díszített teknőjű osztrigafélék közé tartozó *Actinostreon* aff. *gregareum* (J. SOWERBY, 1815) teknőjét a tatai Kálvária-dombon feltárt vörös, *Saccocoma*-maradványokban gazdag kimmeridgei mészkő egy 2015-ben, törmelékben talált darabja tartalmazza, míg a tágabb értelemben vett *Pholadomya*-féléket képviselő *Procardia* aff. *acuminata* (HARTMANN, 1830) példánya a hárskúti Közöskúti-árok vörös, gumós, ammoniteszes, tithon mészkövéből 2022-ben került elő. Mindkét előfordulás a Pálihálási Mészkő formációt képviseli.

A jelen dolgozatban dokumentált formák kevés példánnyal képviselt, kis diverzitású kagylófaunák elemei. Feltételezhető, hogy az *A*. aff. *gregareum* teknője sekélyebb vizű régióból, áthalmozódás útján került a beágyazódási helyére. A leletek egyben a két genus első ismert előfordulását jelentik a Dunántúli-középhegység jurájában. Mind az *Actinostreon*, mind a *Procardia* kifejezetten ritka a Földközi-tengert övező térség mélyebb vízi, pelágikus felső jurájában.

Tárgyszavak: Mediterrán jura, kimmeridgei, tithon, Bakony, Tata, Ostreoidea, Pholadomyoidea

Abstract

Upper Jurassic bivalves yielded by the Transdanubian Range until the early 2010s were documented in two papers published in the last decade. Following the publication of them, two specimens representing species previously unknown from the area have been found. The Kimmeridgian limestone of Kálvária Hill, located in the town of Tata has yielded the lophate oyster *Actinostreon* aff. *gregareum* (J. SOWERBY, 1815), while a specimen of the pholadomyoidean *Procardia* aff. *acuminata* (HARTMANN, 1830) was collected from the Tithonian limestone exposed in the Közöskút Ravine, located near the village of Hárskút (Bakony Mts). The new finds represent the first known occurrence of the genera *Actinostreon* and *Procardia* in the Jurassic of the Transdanubian Range. Both genera are particularly uncommon in the deeper water pelagic Upper Jurassic of the peri-Mediterranean region.

Keywords: Mediterranean Jurassic, Kimmeridgian, Tithonian, Bakony, Tata, Ostreoidea, Pholadomyoidea

Introduction

Bivalve fossils are remarkably rare in deeper water pelagic facies of the Mediterranean Late Jurassic (ZIEGLER 1971) and this statement applies to the Transdanubian Range as well. Based on a study of approx. 250 specimens accumulated in Hungary in public collections since the second half of the 19th century, however, a relatively diverse assemblage, altogether composed of around 30 species assigned to 17 genera, has recently been documented from the Gerecse Mts. and its surroundings including the Kálvária Hill of Tata, as well as from the Bakony Mts., by SZENTE (2013) and SZENTE (2022), respectively.

Since the publication of the afore-mentioned papers, two specimens representing two further species (as well as genera) have been found. In 2015, during the large-scale reconstruction of the ELTE Geological Garden located at the Kálvária Hill, a loose slab of the red Kimmeridgian limestone

assigned to the Pálihálás Limestone Formation, a unit displaying variable lithology and usually rich in *Saccocoma*-remains, ammonites as well as manganese-oxide nodules, was found to contain a lophate oyster identified as *Actinostreon* aff. *gregareum* (J. SOWERBY, 1815). In October of 2022, when participating in a field exercise for the course "Fossil collecting and preparation", András SZABÓ, a geology student at the Eötvös University collected a specimen of the pholadomyoidean *Procardia* aff. *acuminata* (HARTMANN, 1830), yielded by red, nodular, ammonite-rich Tithonian limestone (Pálihálás Limestone Formation) of the HK-12 section, located in the Közöskút Ravine. Details on the locality, including data on fossil assemblages, can be found in FÜLÖP (1976) and in FŐZY et al. (2022). Since both genera are new for the Jurassic of the Transdanubian Range, these unique finds are worth documenting here.

Remarks on the new finds

Actinostreon aff. *gregareum* (J. SOWERBY, 1815) (Figure 1, A)

The specimen is a slightly worn right valve exposed on the surface of a slab of dark red limestone. It bears around 35 plicae oriented in antimarginal direction. Their crest is composed of alternative swellings and depressions, presumably indicating the presence of empty shell chambers. On the basis of the afore-mentioned features, the specimen corresponds to the description of *Actinostreon gregareum* given recently by KOPPKA (2015). The only argument against this interpretation is the large number of plicae compared to the small size of the specimen (height =14 mm, width = 8 mm). The number of plicae increases either by bifurcation or intercalation during ontogeny in *A. gregareum* and reaches a maximum of 35 in specimens considerably larger than the one at Tata (up to 70 mm in height, KOPPKA 2015, see also MACHALSKI 1998). The specimen documented here is either a dwarf representative of *A. gregareum* or belongs to a new species.

As reviewed by KOPPKA (2015), *A. gregareum* was an ecologically tolerant and widely distributed form adapted to various marine environments ranging from reefs including the Tithonian Štramberk Limestone of Moravia (BOEHM 1883, REMEŠ 1903) to "relatively calm subtidal environments." It forms shell beds, e.g., in the Kimmeridgian Coquina Formation of the Mesozoic Border of the Holy Cross Mountains of Poland, a unit deposited in "a relatively shallow-water setting" (MACHALSKI 1998, ZATOŃ & MACHALSKI 2013). There, two morphotypes reflecting different life positions ("mud-sticker" and "recliner" sensu SEILACHER 1984) occur. As indicated by its straight and elongated outline, the Tata specimen seems to represent the former mode of life.

In contrast to coeval shallow-marine rocks of Europe, however, this species – and, actually, lophate oysters in general – are extremely rare in deeper water Late Jurassic facies of the peri-Mediterranean region. Apparently, the only previously documented occurrence is the specimen identified as *Lopha* (*Lopha*) *solitaria* (J. DE C. SOWERBY, 1832) by MONARI (1995) from the Kimmeridgian "Calcari Diasprigni" of the Terminilletto outcrop (Umbria-Marche Apennines, Italy), a section rich in re-deposited clasts of shallower-water origin (BARTOLINI et al. 1996). According to KOPPKA (2015) "*L. solitaria*" is a name applied by several authors to *A. gregareum*. *Actinostreon* was a cementing form attached to solid substrate by its left valve. The substrate is, however, unknown in both cases. Thus, it cannot be excluded that the specimens in question are allochtonous elements, re-deposited from areas covered by shallower-water. The Tata specimen forms part of a sparse and low-diversity bivalve fauna dominated by the byssally attached epifaunal *Camptonectes*? sp. (SZENTE 2013).

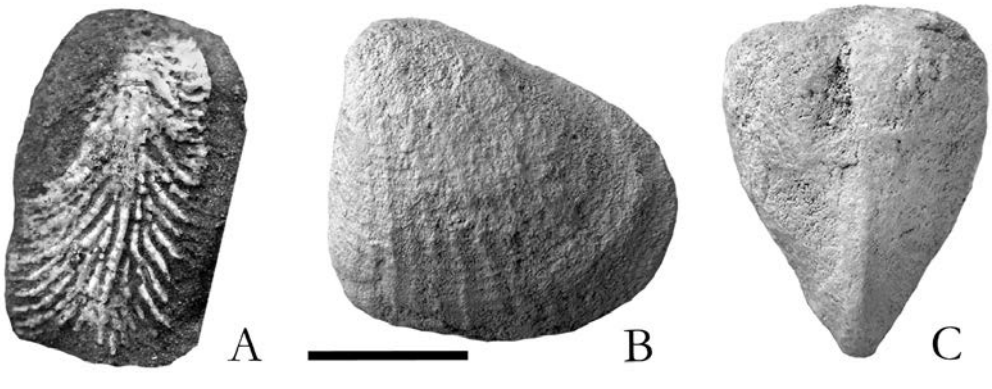

Figure 1. Upper Jurassic bivalves from the Transdanubian Range. A) *Actinostreon* aff. *gregareum* (J. SOWERBY, 1815) from the Kimmeridgian of the Kálvária Hill (Tata); B, C) *Procardia* aff. *acuminata* (HARTMANN, 1830) from the Tithonian of the Közöskút Ravine (Hárskút, Bakony Mts), B: lateral view, C: dorsal view. B and C covered with ammonium-chloride. Scale bar represents 7 mm for (A) and 10 mm for (B) and (C). The specimens are housed in the collection of the ELTE Tata Geological Garden

1. ábra. *Felső jura kagylók a Dunántúli-középhegységből. A)* Actinostreon *aff.* gregareum *(J. SOWERBY, 1815) a Tatai Kálvária-domb kimmeridgei mészkövéből; B, C)* Procardia *aff.* acuminata *(HARTMANN, 1830) a hárskúti (Bakony) Közöskúti-árok tithon mészkövéből. B: oldalnézet, C: háti nézet. B és C ammónium-kloriddal van bevonva. A mérce 7 mm (A); 10 mm (B, C). A példányok az ELTE Tatai Geológus Kert gyűjteményében találhatók*

Procardia aff. *acuminata* (HARTMANN, 1830)
(Figure 1, B, C)

The specimen is a small-sized (length = 22 mm, height = 19 mm) composite internal mould of rounded sub-triangular outline, bearing around 12 radial ribs. These features correspond to the description of "*Pholadomya* (*Pholadomya*) *acuminata*", as given by DELVENE (2001). Ventral margin of the Hárskút specimen is, however, convex while that of *P. acuminata* figured in the literature is nearly straight.

Assignment of this relatively well-characterized species to *Procardia* MEEK, 1871 is, however, much more justified (e.g., SZTAJNER 2020). *Procardia* was treated either as a subgenus of *Pholadomya* (e.g., SZENTE 2003, SZTAJNER 2020), or as a separate genus (RUNEGGAR 1974, AMANO 2019, SZENTE 2022), and the latter view is shared here. Its systematic status is discussed in detail in AMANO (2019). According to BEU & RAINE (2009) *Procardia* belongs to the family Parilimyidae MORTON, 1981 and, consequently, to the order Poromyida RIDEWOOD, 1903, instead of the order Pholadomyida NEWELL, 1965. AMANO (2019), however, assigned Parilimyidae to the superfamily Pholadomyoidea KING, 1844, and this taxonomic opinion is shared here.

Pholadomyoidean bivalves sensu stricto (family Pholadomyidae GRAY, 1847) are widely distributed in the European epicontinental Upper Jurassic (e.g., MOESCH 1874) and occasionally considered emblematic fossils of lithostratigraphic units, such as the "Pholadomyen" of the Oxfordian of the Jura Mts. (e.g., ÉTALLON 1863). On the other hand, Pholadomyoidean bivalves as a whole are uncommon elements in fossil assemblages of the deeper water pelagic facies of the peri-Mediterranean region and seem to be confined to rare finds of *Procardia*. A single specimen of *P. acuminata*, along with a diverse ammonite fauna, was documented by NICOLIS & PARONA (1886) from the Upper Tithonian of near Verona (Southern Alps) and another one has been figured by REMEŠ (1903) from the Štramberk Limestone of Moravia. The faunal association of the latter is unknown.

P. acuminata was a deep-burrower, low level suspension-feeder form (DELVENE 2001, SZTAJNER 2020). Thus, it is considered an autochtonous element of the low-diversity Upper Jurassic bivalve fauna of the HK–12 section, consisting nearly exclusively of species of the epibenthic *Rhynchomytilus* ROLLIER, 1914. It is worth mentioning that in the Lower Cretaceous of the Transdanubian Range another *Procardia* species identified as *P. malbosi* (PICTET, 1863) is widely distributed and represented by at least a dozen specimens in public collections (SZENTE 2003, 2022). The latter bears a close resemblance to *P. acuminata* and is probably identical with it. Further studies are, however, needed to answer this question.

Conclusion

Since the publication of comprehensive papers on Upper Jurassic bivalves of the Transdanubian Range, two hitherto undocumented species represented by single specimens have been found and identified. These finds prove that extensively studied fossil localities occasionally yield unexpected, rare forms. Probably due to the relatively wide range of environments reflected by the lithological variety of the sections, as well as to the intensive collecting work carried out in the last one and a half century, the Transdanubian Range has yielded the most diverse bivalve assemblage of the deeper water pelagic Upper Jurassic of the peri-Mediterranean region.

Acknowledgments

This paper is dedicated to Professors András GALÁCZ and Attila VÖRÖS, acknowledged scholars and teachers, on occasion of their 80th birthday. Due to their achievement and guidance, both Triassic and Jurassic research are nowadays prolific branches of geology in Hungary. Sincere thanks are due to István FŐZY, who encouraged me to prepare this paper and provided fundamental help in the identification of *Actinostreon* aff. *gregareum*. I am deeply grateful to András SZABÓ, who kindly donated the specimen of *Procardia* aff. *acuminata* he found. Constructive remarks and suggestions of reviewers Dr. Michał KROBICKI and Dr. Stefano MONARI, as well as thought-provoking questions of the editor Dr. Orsolya SZTANÓ are also gratefully acknowledged herein.

References – Irodalom

AMANO, K. 2019: A Paleocene species of *Procardia* (Bivalvia: Anomalodesmata: Parilimyidae) from the Katsuhira Formation in Urahoro Town, eastern Hokkaido, Japan. – *The Nautilus* **133**, 22–25.

BARTOLINI, A., BAUMGARTNER, P. O. & HUNZIKER, J. 1996: Middle and Late Jurassic carbon stable-isotope stratigraphy and radiolarite sedimentation of the Umbria-Marche Basin (Central Italy). – *Eclogae geologicae Helvetiae* **89/2**, 811–844.

BEU, A. G. & RAINE, J. I. 2009: Revised descriptions of New Zealand Cenozoic Mollusca from BEU and MAXWELL (1990). – *GNS Science miscellaneous series* **27**. (https://pal.gns.cri.nz/mollusca/)

BOEHM, G. 1883: Die Bivalven der Stramberger Schichten. – *Palaeontographica, Supplement* **2/4**, i–viii, 493–680.

DELVENE, G. 2001: Middle and Upper Jurassic bivalves from the Iberian Range (Spain). – *Beringeria* **28**, 43–106.

ÉTALLON, A. 1863: Études paléontologiques sur le Jura graylois: terrains jurassiques moyen et supérieur. – *Mémoires de la Société d'Émulation du Doubs* **3/8**, 221–506.

FŐZY, I., FODOR, L., GRABOWSKI, J., LODOWSKI, G. D., PRICE, G., SCHERZINGER, A., SZENTE, I., VÖRÖS, A. & SZIVES, O. 2022: Late Jurassic–Early Cretaceous fossil localities of the Bakony Mountains, Hungary – Rocks, fossils and stratigraphy. – In: FŐZY, I. (ed.): *Fauna, biostratigraphy, facies and paleotectonic evolution of the Late Jurassic–Early Cretaceous formations in the Bakony Mountains (Transdanubian Range, Hungary)*. Institute of Geosciences, University of Szeged, GeoLitera Publishing House, 45–99.

FÜLÖP, J. 1976: The Mesozoic basement horst blocks of Tata. – *Geologica Hungarica, Series Geologica* **16**, 229 p.

KOPPKA, J. 2015: Revision of the Bivalvia from the Upper Jurassic Reuchenette Formation, Northwest Switzerland – Ostreoidea. – *Zootaxa* **3927**, 117 p. https://doi.org/10.11646/zootaxa.3927.1.1

MACHALSKI, M. 1998: Oyster life positions and shell beds from the Upper Jurassic of Poland. – *Acta Palaeontologica Polonica* **43/4**, 609–634.

MOESCH, C. 1874: Monographie der Pholadomyen I. – *Abhandlungen der Schweizerischen Paläontologischen Gesellschaft* **1**, 1–78.

MONARI, S. 1995: I bivalvi giurassici dell'Appennino umbro-margchigiano (Italia centrale). – *Studi geologici Camerti volume speciale „Biostratigrafia dell'Italia centrale"*, 157–187.

NICOLIS, E. & PARONA, C. F. 1886: Note stratigrafiche e paleontologiche sul Giura superiore della provincia de Verona. – *Bollettino della Società Geologica Italiana* **4**, (1885), 1–96.

REMEŠ, M. 1903: Nachträge zur Fauna von Stramberg. IV. Über Bivalven der Stramberger Schichten. – *Beiträge zur Paläontologie Österreichs-Ungarns und des Orients* **15**, 185–219.

RUNNEGAR, B. N. 1974: Evolutionary history of the subclass Anomalodesmata. – *Journal of Paleontology* **48**, 904–939.

SEILACHER, A. 1984: Constructional morphology of bivalves: evolutionary pathways in primary versus secondary soft-bottom dwellers. – *Palaeontology* **27**, 207–237.

SZENTE, I. 2003: Late Jurassic and Early Cretaceous bivalve assemblages from Transdanubia (Hungary). – *Földtani Közlöny*, **133/4**, 477–499.

SZENTE, I. 2013: Late Jurassic bivalves from the Gerecse Mountains and its environs (Transdanubian Range, Hungary). – In: FŐZY, I. (ed.) *Late Jurassic–Early Cretaceous fauna, biostratigraphy, facies and deformation history of the carbonate formations in the Gerecse and Pilis Mountains (Transdanubian Range, Hungary)*. Institute of Geosciences, University of Szeged, GeoLitera Publishing House, 361–375.

SZENTE, I. 2022: Late Jurassic and Early Cretaceous (Kimmeridgian–Barremian) bivalves from the Bakony Mountains (Transdanubian Range, Hungary). – In: FŐZY, I. (ed.): *Fauna, biostratigraphy, facies and paleotectonic evolution of the Late Jurassic–Early Cretaceous formations in the Bakony Mountains (Transdanubian Range, Hungary).* Institute of Geosciences, University of Szeged, GeoLitera Publishing House, 215–233.

SZTAJNER, P. 2020: The mode of life in the genus *Pholadomya* as inferred from the fossil record. – *Geosciences* **2020, 10/10, 397.** https://doi.org/10.3390/geosciences10100397

ZATOŃ, M. & MACHALSKI, M. 2013: Oyster–microbial rolling stones from the Upper Jurassic (Kimmeridgian) of Poland. – *Palaios* **28/11**, 839–850. https://doi.org/10.2110/palo.2013.025

ZIEGLER, B. 1971: Pelecypoden im mediterranen Oberjura. – *Annales Instituti Geologici Publici Hungarici* **54/2**, 258–262.

Manuscript received: 16/01/2024

Magyarhoni Földtani Társulat
Földtani Közlöny
Hungarian Geological Society

154/2, 199–238., Budapest, 2024

DOI: 10.23928/foldt.kozl.2024.154.2.199

First report of the Mid Barremian Event from the Transdanubian Range (Hungary) and associated Leptoceratoididae (Ammonoidea) fauna

GŐGÖS, Gergő[1], SZIVES, Ottilia[2]*

[1]Eötvös Loránd University, Department of Paleontology, Budapest, Hungary
[2]Department of Collections, Geological Survey, Supervisory Authority for Regulatory Affairs, Budapest, Hungary

A Középső Barremi Esemény felismerése a Dunántúli-középhegységben és az azzal egykorú Leptoceratoididae ammoniteszek revíziója

Összefoglalás

Jelen munkánkban a Leptoceratoididae-család kora és késő barremiben élt képviselőinek magyarországi elterjedését vizsgáltuk, valamint azokat a környezeti tényezőket igyekeztünk megkeresni, amelyek hatást gyakorolhattak a csoport gyakoriságára, diverzitására és paleoökológiájára. Ezen ammoniteszcsalád példányai két hazai lelőhelyről kerültek elő: a Bersek-hegy (Gerecse hegység) két szelvényéből és a Sümeg Süt-17 fúrásból (Déli-Bakony).

Legfontosabb rétegtani eredményünk a Bersek-hegy barremi rétegeiről készült korábbi rétegoszlopok adatainak integrálása és a Leptoceratoididae család képviselőinek eltérő rétegtani elterjedésének a demonstrálása. Az általunk létrehozott rétegoszlop korábbi szerzők rétegszámait korrelálja egymással, valamint saját geokémiai és nannofosszília mintáinkkal. Ez a kompozit rétegsor nagy pontossággal használható a *Toxancyloceras vandenheckii* Zónában, valamint megbízható a *Moutoniceras moutonianum* Zónában, viszont a *Kotetishvilia compressissima* Zóna alsó részében pontossága fenntartásokkal kezelendő. Taxonómiai vizsgálatunk eredményeképp megállapítottuk, hogy a *Karsteniceras*- és a *Leptoceratoides* nemzetségek nem egymás szinonimái. A Bersek-hegy szelvényeiben a Leptoceratoididae családot három faj képviseli részben eltérő rétegtani elterjedéssel: a *Leptoceratoides balernaensis* a *M. moutonianum* Zónában, a *Leptoceratoides pumilus* főként a *T. vandenheckii* Zónában fordul elő. Rétegtani elterjedésük a *M. moutonianum* Zóna felső részén fed csak át. A *Karsteniceras ibericum* a leggyakrabban előforduló faj, a *K. compressissima* Zóna alsó részétől a *T. vandenheckii* Zóna aljáig terjedő rétegtani elterjedéssel. A Sümeg Süt-17 fúrásban a *L. pumilus* kizárólagos tömeges előfordulása mutatható ki. Azonban ez utóbbi rétegsorban a *M. moutonianum* Zóna rétegtani helyzete csak indirekt módon állapítható meg.

A vizsgált két lelőhely faunájának eltérését részben a rétegsorok eltérő ősföldrajzi helyzetével és ebből következően eltérő paleoceanográfiai paramétereivel magyarázzuk, vagyis a különböző ősföldrajzi helyzetű egykori medencék ammoniteszei eltérő módon reagálhattak a környezetváltozásra, illetve eltérő környezeti igényeik lehettek. Feltételezhetően ezek az apró ammoniteszek is különböző ökológiai igényekkel rendelkeztek, vagyis nem alkottak homogén csoportot. Taxonómiai eredményeinket őskörnyezeti keretbe helyezve arra a következtetésre jutottunk, hogy a Bersek-hegyi előfordulás kapcsán a különböző belemniteszcsoportokon korábban mért stabil szénizotóp görbe hirtelen +1‰ kilengése a *M. moutonianum* Zónában a Középső Barremi Eseményt (KBE) jelzi. A gyors környezetváltozással összefüggő melegedésre utal a stabil oxigén izotóp -1,5‰ feletti változása is. Ekkor a szárazulatok felől a gerecsei üledékgyűjtőbe jutó megnövekedett szerves anyag mennyisége, és az ezt valószínűleg követő primer produktivitás növekedése dyzoxikus környezetet idézhetett elő a medence aljzatán. A megnövekedett szerves anyag mennyiségét a Leptoceratoididae család képviselői, valamint más epipelágikus zónában élő ammoniteszek jól tolerálhatták, míg bizonyos csoportok hiányoznak ebből a rétegösszletből.

Tárgyszavak: Leptoceratoididae; Középső Barremi Esemény, Dunántúli-középhegység, Magyarország

Abstract

Here the distribution of criocone members of the family Leptoceratoididae that proliferated during the early and late Barremian are investigated. We attempted to identify environmental factors that may have influenced the abundance, diversity and palaeoecology of the group. Specimens of this ammonite family were found at two Hungarian localities: the Bersek Hill (Gerecse Mountains) and the Sümeg Süt-17 drill core (Southern Bakony).

Our most important stratigraphic result is the integration of stratigraphic frameworks of different autors from the

Bersek Hill section which enabled us to precisely evaluate the stratigraphic distribution of this ammonite family. This integrated stratigraphy can be used with high accuracy for the *Toxancyloceras vandenheckii* Zone and is reliable for the *Moutoniceras moutonianum* Zone, but its accuracy for the lower part of the *Kotetishvilia compressissima* Zone is less stable. Our taxonomic analysis confirmed that *Karsteniceras* and *Leptoceratoides* should be kept as separate genera. In the Bersek Hill sections, family Leptoceratoididae is represented by *Karsteniceras ibericum* as the most common species found in basal *K. compressissima* to basal *T. vandenheckii* Zones. *Leptoceratoides balernaensis* occurs in the *M. moutonianum* and *Leptoceratoides pumilus* occurs mainly in the *T. vandenheckii* Zone. Their stratigraphic occurrence displays that only a few beds overlap at the top *M. moutonianum* Zone. In the Süt-17 borehole, the family is monospecific with *L. pumilus* occurrences. Unfortunately, the stratigraphic position of the *Moutoniceras moutonianum* Zone in Süt-17 borehole could only be inferred indirectly. Local response of Leptoceratoididae to the Mid Barremian Event shows spatial distribution patterns and resulted in different assemblage composition between the two localities. Discussion on lifestyle and paleoecology of criocone Leptoceratoididae ammonites is presented. Comparing our paleontologic findings to previously measured stable isotope data on belemnite rostra from Bersek Hill, we suggest that within the *Moutoniceras moutonianum* Zone, a sudden +1‰ shift in the stable carbon isotope excursion indicates the Mid Barremian Event (MBE). The -1.5‰ shift in the stable oxygen isotope excursion also indicates warming associated with rapid environmental change. During this time interval, increased organic matter might have entered into the Gerecse basin that could have induced increased primary productivity, hence dysoxic environment on the ocean floor. The increasing organic matter content was probably well tolerated by members of the family Leptoceratoididae and by other ammonite taxons that might have lived in the epipelagic zone, while certain groups of ammonites are missing from these strata.

Keywords: Leptoceratoididae; Mid Barremian Event, Transdanubian Range, Hungary

Introduction

In the past few decades, several new achievements were accomplished on the investigation of Lower Cretaceous deposits and their fauna of the Transdanubian Range including the Bersek Hill quarry (FŐZY & FOGARASI 2002; FŐZY et al. 2002; JANSSEN & FŐZY 2003, 2004, 2005; FŐZY & JANSSEN 2009; FŐZY 2017, 2024; BAJNAI et al. 2017; LODOWSKI et al. 2022). These authors provided new additions to the classical geological compilations (FÜLÖP 1958, HAAS et al. 1985). Related to the Bersek Hill quarry, detailed faunal lists of the sequence were given, which defined its Valanginian–Barremian age. Paleontologic, geochemical and stratigraphic data were combined into multiproxy analysis, and the Valanginian Weissert Event was reported (Bajnai et al. 2017). Moreover, a detailed integrated bio- and chemostratigraphy was carried out on the Barremian strata, where stable ^{18}O and ^{13}C isotopes were measured from different belemnite taxa together with Mg/Ca ratios (PRICE et al. 2011).

Although the macrofauna of this locality is well documented (see references above), there are still faunal elements – including tiny heteromorph Leptoceratoididae – which are less investigated. During our previous work on Cretaceous deposits of Hungary (SZIVES et al. 2007) one of us encountered two sequences in the Transdanubian Range where enrichments of tiny heteromorphs of Barremian age were detected. Appearance of this group is linked to certain paleoenvironmental perturbations (LUKENEDER & TANABE 2002); however, their ecology and periodic mass occurrences in the paleontologic record is still obscure.

Scientific interest on global scale is focussed on the environmental and climatic changes of the Earth, and some of them can be traced in the deep past as well with the tools of geochemistry and paleontology. One of the less known environmental changes is called „Mid Barremian Event (MBE)" by COCCIONI et al. (2003), who documented a thin black shale level from the Umbria–Marche Basin (UMB, Italy) and associated a 0.5 per mil positive shift in the carbon isotope values in addition to certain biotic turnovers. This observed event occured in the *Moutoniceras moutonianum* standard Mediterranean ammonite Zone (SZIVES et al. 2023). Within this ammonite zone, a significant enrichment of tiny heteromorph ammonites (*Karsteniceras ternbergense* LUKENEDER & TANABE 2002) from family Leptoceratoididae of Barremian age was also observed first by LUKENEDER & TANABE (2002); however, reports on this family are very sporadic worldwide (*Fig. 1*). These enrichment levels are

→ **Figure 1.** Occurrences of family Leptoceratoididae (rectangle) and records of the MBE (circle) from the Tethyan and Boreal regions (A), and other paleogeographic realms (B) (Barremian paleomaps are modified after SCOTESE, 2014).

Numbers refer the following locatilies: (A) 1, England (Speeton) (MUTTERLOSE et al. 2009); 2, North Germany (Letter, Gott, A39, Roklum) (MUTTERLOSE et al. 2009; MALKOC & MUTTERLOSE 2010); 3, Silesia (Czech Republik) (UHLIG 1883; VAŠÍČEK 1972, 1979, 1999; VAŠÍČEK & WIEDMANN 1994; VAŠÍČEK & KLAJMON 1998); 4, Veveyse (Switzerland) (OOSTER 1860; SARASIN & SCHÖNDELMAYER 1902; VAŠÍČEK & WIEDMANN 1994; BUSNARDO et al. 2003; VAŠÍČEK & HOEDEMAEKER 2003a); 5, Inner Carpathians (Slovakia) (VAŠÍČEK & WIEDMANN 1994); 6, Southern- and Eastern Carpathians (Romania) (AVRAM & KUSKO 1984; VAŠÍČEK & WIEDMANN 1994; AVRAM 1999); 7, SE France (Angles, Cluses) (VAŠÍČEK & WIEDMANN 1994; KAKABADZE & HOEDEMAEKER 1997; VERMEULEN 1998; WISSLER et al. 2002; BUSNARDO et al. 2003; GODET et al. 2006; BODIN et al. 2009; HUCK et al. 2013; MARTINEZ et al. 2023); 8, Kraptshene (Prebalkan Mts., Bulgaria) (MANOLOV 1962; DIMITROVA 1967; VAŠÍČEK & WIEDMANN 1994); 9, Swiss Alps and Southern Alps (RIEBER 1977; LUKENEDER & GRUNERT 2013); 10, Austria (WIEDMANN 1978; VAŠÍČEK & WIEDMANN 1994; LUKENEDER & TANABE 2002; LUKENEDER 2003, 2005, 2007); 11, SE Spain (FALLOT & TERMIER 1923; VAŠÍČEK & WIEDMANN 1994; VAŠÍČEK & HOEDEMAEKER 2003a; COMPANY et al. 2005; AGUADO et al. 2014, 2022; MATAMALES-ANDREU et al. 2019; MARTINEZ et al. 2020, 2023); 12, Sümeg Süt-17 drill core (Hungary) (HAAS et al. 1985); 13, Bersek Hill (Hungary) (FÜLÖP 1958; NAGY 1967; JANSSEN & FŐZY 2005; FŐZY & JANSSEN 2009); 14, Vezirhan (Turkey) (YILMAZ et al. 2012); 15, Italy (COCCIONI et al. 2003; SPROVIERI et al. 2006; HUCK et al. 2013); 16, NE Tunisia (TALBI et al. 2021); (B) 17, Cuba (MYCZYNSKI & TRIFF 1986; MYCZYNSKI 1977; VAŠÍČEK & WIEDMANN 1994); 18, Colombia (ROYO Y GOMEZ 1945; ETAYO-SERNA 1968; VAŠÍČEK & WIEDMANN 1994; KAKABADZE & HOEDEMAEKER 1997; VAŠÍČEK & HOEDEMAEKER 2003b); 19, Trinidad (IMLAY 1954; VAŠÍČEK & WIEDMANN 1994); 20, Cape Verde (Maio) (STAHLECKER 1935; VAŠÍČEK & WIEDMANN 1994; CASSON et al. 2020); 21, Japan (YABE et al. 1927; MATSUKAWA 1987, 1988, 2019, 2022; VAŠÍČEK & WIEDMANN 1994; OBATA & MATSUKAWA 2007); 22, Argentina (Neuquén Basin) (AGUIRRE-URRETA & RAWSON 2012).

→ ***1. ábra.*** *Leptoceratoididae-család elterjedése (rombusszal jelölve) és a Középső Barremi Esemény (körrel jelölve) megjelenése a tethysi és a*

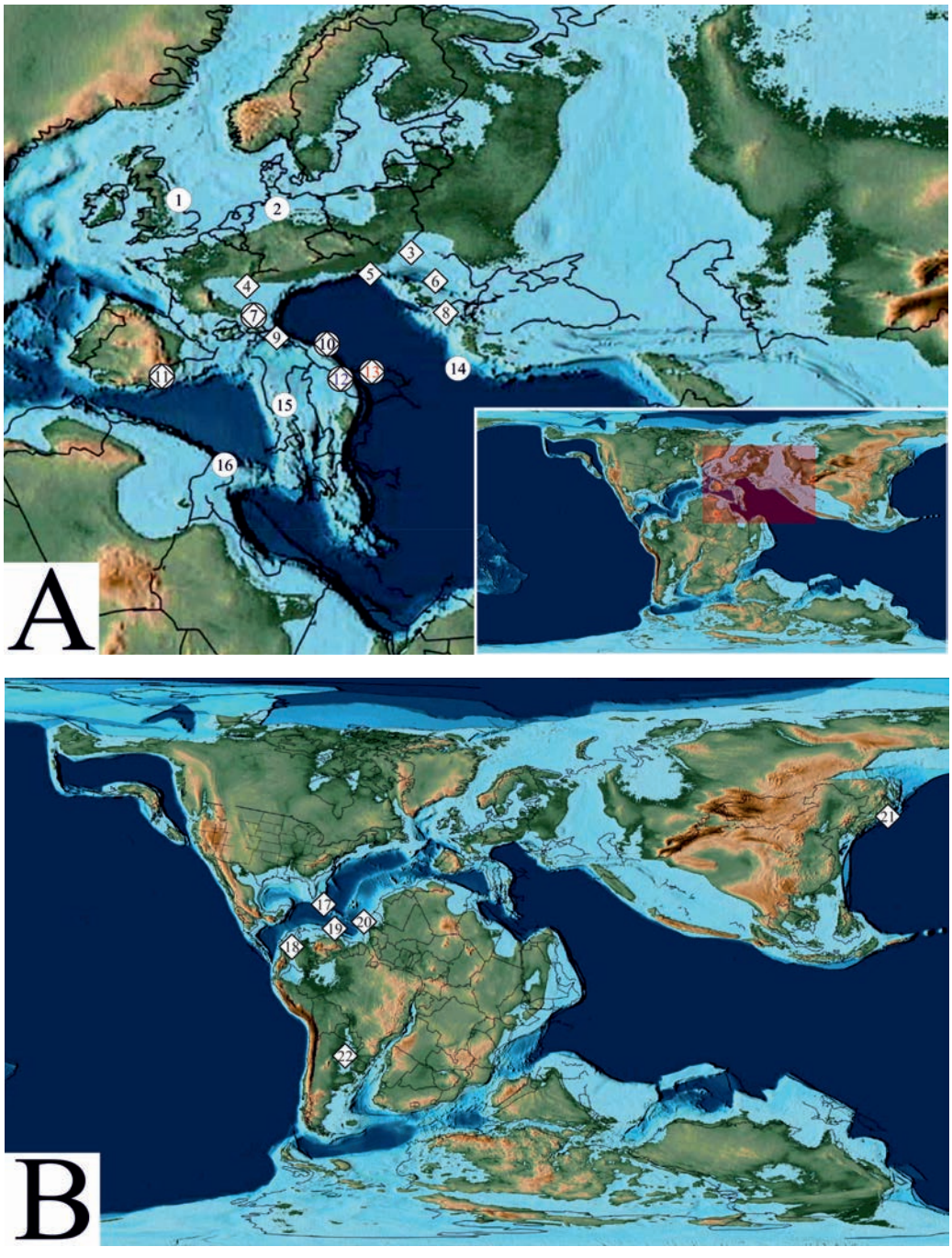

boreális területeken (A), valamint a Leptoceratoididae család Európán kívüli elterjedése (B) (barremi paleotérkép Scotese *2014 után modosítva).*

*A számok a következő földrajzi elterjedéseket jelölik: (A) 1, Anglia (Speeton) (*Mutterlose *et al. 2009); 2, Észak Németország (Letter, Gott, A39, Roklum) (*Mutterlose *et al. 2009;* Malkoc & Mutterlose *2010); 3, Szilézia (Csehország) (*Uhlig *1883;* Vašíček *1972, 1979, 1999;* Vašíček & Wiedmann *1994;* Vašíček & Klajmon *1998); 4, Veveyse (Svájc) (*Ooster *1860;* Sarasin & Schöndelmayer *1902;* Vašíček & Wiedmann *1994;* Busnardo *et al. 2003;* Vašíček & Hoedemaeker *2003a); 5, Belső-Kárpátok (Szlovákia) (*Vašíček & Wiedmann *1994); 6, Déli- és Keleti-Kárpátok (Románia) (*Avram & Kusko *1984;* Vašíček & Wiedmann *1994;* Avram *1999); 7, Délkelet-Franciaország (Angles, Cluses) (*Vašíček & Wiedmann *1994;* Kakabadze & Hoedemaeker *1997;* Vermeulen *1998;* Wissler *et al. 2002;* Busnardo *et al. 2003;* Godet *et al. 2006;* Bodin *et al. 2009;* Huck *et al. 2013;* Martinez *et al. 2023); 8, Kraptshene (Balkán-hegység előtere, Bulgária) (*Manolov *1962;* Dimitrova *1967;* Vašíček & Wiedmann *1994); 9, Svájci-Alpok és Déli-Alpok (*Rieber *1977;* Lukeneder & Grunert *2013); 10, Ausztria (*Wiedmann *1978;* Vašíček & Wiedmann *1994;* Lukeneder & Tanabe *2002;* Lukeneder *2003, 2005, 2007); 11, Délkelet-Spanyolország (*Fallot & Termier *1923;* Vašíček & Wiedmann *1994;* Vašíček & Hoedemaeker *2003a;* Company *et al. 2005;* Aguado *et al. 2014, 2022;* Matamales-Andreu *et al. 2019;* Martinez *et al. 2020, 2023); 12, Sümeg Süt-17 fúrás (Magyarország) (*Haas *et al. 1985); 13, Bersek-hegy (Magyarország) (*Fülöp *1958;* Nagy *1967;* Janssen & Főzy *2005;* Főzy & Janssen *2009); 14, Vezirhan (Törökország) (*Yilmaz *et al. 2012); 15, Olaszország (*Coccioni *et al. 2003;* Sprovieri *et al. 2006;* Huck *et al. 2013); 16, Északkelet-Tunézia (*Talbi *et al. 2021); (B) 17, Kuba (*Myczynski & Triff *1986;* Myczynski *1977;* Vašíček & Wiedmann *1994); 18, Kolumbia (*Royo y Gomez *1945;* Etayo-Serna *1968;* Vašíček & Wiedmann *1994;* Kakabadze & Hoedemaeker *1997;* Vašíček & Hoedemaeker *2003b); 19, Trinidad (*Imlay *1954;* Vašíček & Wiedmann *1994); 20, Zöld-foki Köztársaság (Maio) (*Stahlecker *1935;* Vašíček & Wiedmann *1994;* Casson *et al. 2020); 21, Japán (*Yabe *et al. 1927;* Matsukawa *1987, 1988, 2019, 2022;* Vašíček & Wiedmann *1994;* Obata & Matsukawa *2007); 22, Argentína (Neuquén-medence) (*Aguirre-Urreta & Rawson *2012).*

named as "*Karsteniceras* Level" by LUKENEDER (2003, 2005) and are possibly linked to an environmental perturbation, which resulted in dysaerobic conditions. This is inferred from their age, which may fit the stratigraphic extent of the MBE (LUKENEDER & TANABE 2002; LUKENEDER 2007) within the *M. moutonianum* Zone. Organic-rich levels did not always form during the MBE, but they were recently interpreted as episodes of regional expansion of the oxygen minimum zone (MARTÍNEZ et al. 2020, FÖLLMI 2012).

The ecologic affinities of the family Leptoceratoididae of mainly Barremian age are not straightforward and their possible connection with the Mid Barremian Event is still unlcear; however, their mass occurrence was observed to be in the middle Barremian (LUKENEDER 2003, 2005, 2007). RIEBER (1977) considered Leptoceratoididae to be a nekton, VAŠÍČEK & WIEDMANN (1994) considered them to be a group living and grazing within the algal mats, while WESTERMANN (1996), due to the shape of the fragile small shell, suggested a pseudoplanktonic or planktonic lifestyle in contrast to feeding on the shallow neritic waters.

Based on these previous observations, we present the first complete account of Hungarian representatives of the family with a precise stratigraphy, together with giving a taxonomic revision of the fauna. Furthermore, we attempt to link Leptoceratoididae occurrences to the MBE on the basis of the stable isotope curve measured from belemnites of the Bersek Hill (PRICE et al. 2011). Moreover, we also outline and discuss the spatial and temporal abundance and diversity changes of this family with regards to paleoecologic and paleoenvironmental factors.

Geological background

Levels with members of family Leptoceratoididae were found within Barremian sediments of the Bersek Hill and the Sümeg Süt-17 drill core, situated in the Transdanubian Range, Gerecse and Bakony mountains, respectively (*Fig. 2A*). Related to their previous paleogeographic position (*Fig. 2B*), both sections are within the ALCAPA (acronym from **Al**ps, **Ca**rpathians and **Pa**nnonian Basin) terrain (CSONTOS & VÖRÖS 2004); however, these sections belonged to different segments of a foreland basin system (FODOR et al. 2013; FODOR & FŐZY 2013, 2022; FŐZY 2024).

Sümeg Süt-17 (Süt-17) drill core

To better understand the Southern Bakony basin, the Hungarian Geological Survey drilled several boreholes in the area including the Sümeg Süt-17 core in 1983, which is situated within the town of Sümeg (*Fig. 2A, B*).

The extensively investigated core (HAAS et al. 1985) starts with a Jurassic pelagic limestone which grades into a Lower Cretaceous siliciclastic deposit called Sümeg Marl Formation (SMF). The depositional environment was interpreted (HAAS et al. 1985) as a calm deep neritic zone below the wave base. Upward increasing amount of terrigenious material may be related to the southwestward movement of the forebulge towards the Southern Bakony basin of the Sümeg area (FODOR et al. 2013; FODOR & FŐZY 2013, 2022; FŐZY 2024). The SMF is rich in macro– and microfauna, which also point to an open neritic environment (HAAS et al. 1985, BENCE et al. 1990, KNAUER 1996). According to the most recent summary (CSÁSZÁR & HAAS 2023), this sedimentary unit was deposited in a shallow bathyal depth. Planispiral ammonites do not appear within the same interval together with Leptoceratoididae, but otherwise are relatively abundant in the Süt-17 core. Nevertheless, these are beyond the scope of this work.

Bersek Hill quarry

Another sedimentary unit where Barremian tiny heteromorphs were found is situated in the Gerecse Mountains, south from the small town of Lábatlan (*Fig. 2A, B*).

During the late Berriasian, in the Gerecse Basin a turbidite system connected to a foredeep basin was established, which caused the termination of carbonate sedimentation much earlier than in the Bakony Mountains. This resulted in the onset of a mixed siliciclastic–carbonate sedimentation in the late Berriasian (SASVÁRI 2009, CSÁSZÁR et al. 2012, FODOR et al. 2013, FODOR & FŐZY 2013, SZTANÓ et al. 2018, FŐZY 2024). The Lower Cretaceous "flysch" succession (KÁZMÉR 1987, FOGARASI 1995a, b) crops out in the northern wall of a huge open pit quarry at Bersek Hill (*Fig. 3*).

The so-called Bersek Marl Formation (BMF, FÜLÖP 1958), which represents the lower part of the clastic succession (*Fig. 3*), crops outin the lowest level of the quarry. Its age is early Valanginian to late Hauterivian based on its abundant ammonite findings (FŐZY 2017, 2024 and references within) and rich in aptychi. During the Barremian, input of coarse clastic material increased, and the marlstone deposition was replaced by the deposition of the Lábatlan Sandstone Formation (LSF, FÜLÖP 1958). Ammonites are less frequently found within this grey sandstone; however, its age was first established on the basis of ammonites (FŐZY 2017) as late Hauterivian/early Barremian to earliest Aptian (Lb-36 drill core, Főzy et al. 2002).

The boundary between the Bersek and Lábatlan Formations (*Fig. 3*) is a greenish grey slump–fold unit (FOGARASI 1995a), which is a very important marker level observed continuously (FŐZY 1995, SZTANÓ et al. 2018). This greenish unit contains chaotically folded sandstone and marl layers, deformed in the frontal part of an extensive slump (FOGARASI 1995a, SZTANÓ et al. 2018).

The Lábatlan Sandstone Formation in the Bersek Hill is comprised of rhytmic alternation of sandy beds and marly intercalations (*Fig. 3*) interpreted as the margin of a turbidite system (FOGARASAI 1995b, CSÁSZÁR et al. 2012, SZTANÓ et al 2018). The upward coarsening and thickening sandstone series with thick, massive, amalgamated sandstones deposited on the progradational lobes and lobe complexes (SZTANÓ 1990, FODOR et al. 2013). The deposition of LSF was mostly controlled by gravity mass movements, mainly

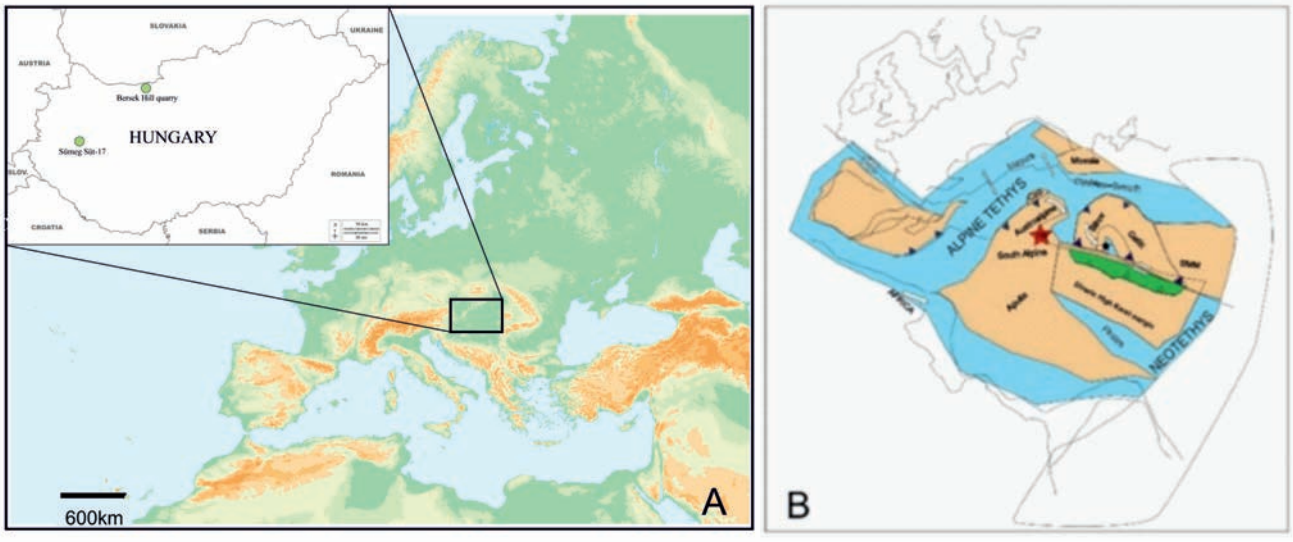

Figure 2. Geographic position of the investigated sections. (A): present day (green circles mark the localities), (B): during the early Aptian after Csontos & Vörös (2004). Red star marks the Transdanubian Range, blue areas are deep oceanic basins, brown areas are shallower neritic water masses. Thrust fronts marked with triangles, thrust zones with arrows. Continental areas are not coloured

2. ábra. *A vizsgált területek földrajzi elhelyezkedése. (A): napjainkban (zöld körökkel jelölve), (B): valamint a kora apti során Csontos & Vörös (2004) után. A vörös csillag a Dunántúli-középhegységet, a kék területek az óceáni medencéket, a barna területek a sekélytengeri övezeteket jelölik. A takarófrontok háromszögekkel, míg a takaró zónák nyíllal vannak jelölve. A kontinentális területek fehérek*

turbidity currents and rarely debris flows, where the two different paleocurrent directions were from east to west and northeast to southwest (in present direction) (Fogarasi 1995a, Fodor et al. 2013).

The depth of the basin is still debated, but on the basis of nannofossil studies and sedimentry features, Fogarasi (1995b) placed it between the aragonite (ACD) and calcite compensation (CCD) depths. Based on foraminifers, Szűcs (2004) concluded that estimates of sea depth between ACD and CCD came from a probable misinterpretation and the lack of aragonite ammonite shells is not a depositional feature but is due to diagenetic processes. The Barremian paleoposition of the Gerecse in a foredeep setting is in contrast to that of the Bakony Mts, since the Bakony Mts was probably located in the backbulge of the foreland basin system (Tari 1994, Fodor & Főzy 2022).

The upper part of the Lower Cretaceous sedimentary cycle is missing from the early Aptian and upwards due to the tectonism related to the Alpine orogeny (Tari 1994, Sasvári 2009, Fodor & Főzy 2013, Szives et al. 2018)

Figure 3. The north wall of the Bersek Hill quarry with the sequence of the Lábatlan Sandstone Formation (LSF) and the underlying Bersek Marl Formation (BMF). The boundary between the two sedimentary units (greenish grey slump-fold unit [base of LSF] and BMF) is marked with yellow line

3. ábra. *A Bersek-hegy északi oldalában található szelvény feltárja a Lábatlani Homokkő Formációt (LSF), valamint a fekü Berseki Márga Formációt (BMF). A két képződmény határa (zöldesszürke, deformált homokkő réteg [LSF bázisa] és BMF között) sárga vonallal jelölve*

Material

Sümeg Süt-17 drill core

The Leptoceratoididae from Sümeg Süt-17 borehole have been already depicted in the literature (HAAS et al. 1985). All of the relatively abundant ammonites revealed in the Süt-17 core are shelled, among them 28 specimens were determined to belong to Leptoceratoididae, which were investigated and photographed for taxonomic purposes. Our investigated heteromorph material is from between 257.5–297.4 meters, but in one level (263.6 m; core sample is archived as K.12649), mass occurrence of specimens is observed. Specimens were labelled with the exact depth of occurrence and a repository number with "K." prefix. To our knowledge, futher collecting work is not possible as no surface outcrop is present that reveals the Barremian part of the SLF.

Specimens are archived in the Cretaceous Collection of the Geological Survey Collection Department belongs to the Supervisory Authority of Regulatory Affairs (SARA) governmental institution.

Bersek Hill quarry

A huge collection of more than 11,000 ammonite internal moulds were collected by the FÜLÖP team and is informally called the "Fülöp Collection", which contains heteromorph ammonites in great numbers (FŐZY 2017), from which more than two dozens belong to the family Leptoceratoididae. These ammonites were collected in the early 1960's from the A, B and E sections (*Fig. 4*). Accordingly, specimens from the Bersek Hill are labelled with a letter (A, B, E) and a number, where the letters refer to the exact section and the numbers mean bed numbers.

All specimens are internal moulds, no shelled specimens are found. The specimens are listed bed-by-bed in *Appendix 1*. During recent field work, five additional Leptoceratoididae remains (*M. moutonianum* Zone, *T. vandenheckii* Zone) and 78 rock samples were collected (A, B, E sections) in order to perform geochemical and microfossil investigations. Ammonites are housed in the Department of Paleontology and Geology of the Hungarian Natural History Museum and catalogued with "INV" prefix.

Methods

The investigated specimens underwent cleaning, preparation and photographing. Collected specimens were cleaned with soap water and prepared with Dremel vibrotool, all of them were measured with electronic scale, examinded with lupe of 3x magnification. Ammonites were covered with NH_4Cl vapor and photographed using NIKON camera and Xiaomi 12X cellphone with a Sony IMX766 camera.

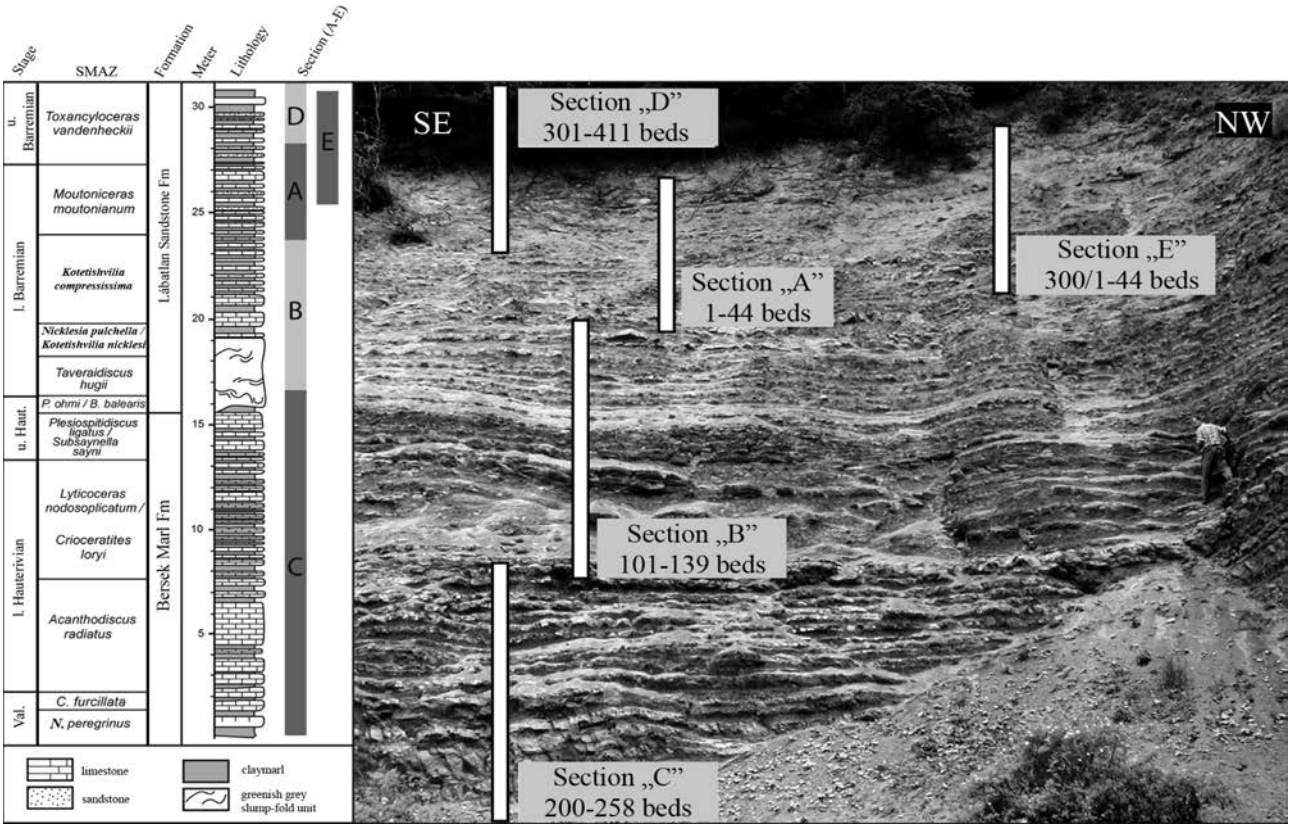

Figure 4. Positions of different collecting sections of FÜLÖP named by FŐZY (2017 and references therein) as Sections A, B, C, D, E and this work (modified after FŐZY 2017) on the Bersek Hill succession. Abbreviations: Val.: Valanginian, l.: lower, u.: upper, Haut.: Hauterivian, SMAZ: Standard Mediterranean Ammonite Zonation is after SZIVES et al. (2023)

4. ábra. *A FÜLÖP által létrehozott különböző szelvények elhelyezkedése a Bersek-hegyen. Ezeket FŐZY (2017) A, B, C, D, E szelvényeknek nevezte el (módosítva FŐZY 2017 után). Rövidítések: Val.: valangini, l.: alsó, u.: felső, Haut.: hauterivi, SMAZ: tethysi ammoniteszzónák SZIVES et al. (2023) után*

For purposes of stratigraphy, we used the latest Tethyan Standard Mediterranean Ammonite Zonation (SMAZ) recently updated by SZIVES et al. (2023). For measuring the small heteromorph specimens, we established metric parameters (*Fig. 5*).

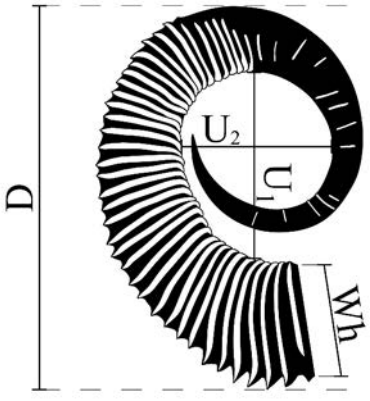

Figure 5. Measurements of a leptoceratoid conch: D: diameter; Wh: whorl height; U1: height of the umbilical opening; U2: width of the umbilical opening

5. ábra. *A vizsgált vázparaméterek egy leptoceratoid-maradványon: D: átmérő; Wh: kanyarulat magasság; U1: köldök magasság; U2: köldök szélesség*

Ammonite taxonomy

Our most important paleontologic result is the taxonomic revision of the Barremian small heteromorph fauna collected from Hungarian sections. During this work we confirmed that genera *Karsteniceras* and *Leptoceratoides* are different and should not be used as synonyms.

Taxonomic interpretation of the fauna is documented below; higher taxonomic ranks follow recent updates by HOFFMANN et al. (2022).

Phylum Mollusca LINNAEUS, 1758
Class Cephalopoda CUVIER, 1797
Order Ammonitida HAECKEL, 1866
Superfamily Ancyloceratoidea GILL, I871
Family Leptoceratoididae THIEULOY, 1966

Within the Leptoceratoididae, 12 genera (*Eoheteroceras*, *Hamulinites*, *Josticeras*, *Karsteniceras, Leptoceratoides*, *Manoloviceras*, ?*Monsalveiceras*, *Orbignyceras*, *Sabaudiella*, *Vasicekites*, *Veveysiceras*, ?*Veveysiella*) are separated (KLEIN et al. 2007). Separation of genera and species is very difficult because they share a similar biostratigraphic occurrence mostly in the Barremian.

The earliest known stratigraphic distribution of the family reported by MATAMALES-ANDREU et al. (2019) is in the upper Hauterivian *Balearites krenkeli* Subzone of the *Balearites balearis* Zone where the genus *Hamulinites* appears. The appearance of several other genera is linked to the Faraoni Event during the late Hauterivian (*Pseudothurmannia ohmi* and *Pseudothurmannia mortilleti* subzonal boundary), where *Karsteniceras* (*K.* cf. *beyrichoide*), *Sabaudiella* (*S. simplex* BUSNARDO, 2003) and *Leptoceratoides* (THIEULOY, 1966) are first observed. Moreover, first reports of *Hamulinites munieri* (NICKLÈS, 1894) and *Hamulinites nicklesi* (AVRAM, 1999) were documented (COMPANY et al. 2005, LUKENEDER 2012, LUKENEDER & GRUNERT 2013, MATAMALES-ANDREU et al. 2019). Furthermore, VAŠÍČEK & WIEDMANN (1994) and MATAMALES-ANDREU et al. (2019) reported the first representatives of the genus *Veveysiceras* from the upper Hauterivian/lower Barremian *Pseudothurmannia picteti* Subzone.

The dispersal of Leptoceratoididae was rather rapid as the first *Sabaudiella* are also reported (AGUIRRE-URRETA & RAWSON 2012) from the uppermost Hauterivian *Sabaudiella riverorum* Zone (= upper part of the *Pseudothurmannia picteti* Subzone in the Mediterranean Province following SZIVES et al. 2023) of Neuquén Basin. In the lower Barremian deposits, various representatives of Leptoceratoididae are documented worldwide from the Central Atlantic (STAHLECKER 1935, ROYO Y GOMEZ 1945, IMLAY 1954, ETAYO-SERNA 1968, MYCZYNSKI 1977, MYCZYNSKI & TRIFF 1986, VAŠÍČEK & WIEDMANN 1994, KAKABADZE & HOEDEMAEKER 1997, VAŠÍČEK & HOEDEMAEKER 2003b, CASSON et al. 2020) and Japan (YABE et al. 1927; MATSUKAWA 1987, 1988, 2019, 2022; VAŠÍČEK & WIEDMANN 1994; OBATA & MATSUKAWA 2007).

Based on our material at disposal, we do not agree with VAŠÍČEK & WIEDMANN (1994) who used *Leptoceratoides* and *Karsteniceras* as synonyms. In our opinion, they show strong morphological differences that do not fall within intraspecific variation detailed below.

Genus *Leptoceratoides* THIEULOY, 1966
Type species: *Crioceras* (*Leptoceras*) *pumilum* UHLIG, 1883

Genus *Leptoceratoides* is generally characterized by tiny, few centimetres in diameter criocone morphology (VAŠÍČEK & WIEDMANN 1994, WRIGHT et al. 1996), apart from ?*Leptoceratoides heeri* (OOSTER, 1860), which is much bigger with different (criocone, ?baculicone, ?hamulicone) type of coiling. In our opinion, this species does not belong to *Leptoceratoides*, probably not even into the family Leptoceratoididae.

Ribbing pattern is simple; however, the direction of ribs may vary between species (VAŠÍČEK & WIEDMANN 1994, WRIGHT et al. 1996). Moreover, in certain species [*L. balernaensis* (RIEBER, 1977)] rib direction, density and thickness may change during the ontogeny [*L. subtilis* (UHLIG, 1883), *L. pumilus* (UHLIG, 1883)] resulting in simple, but somewhat irregular ribbing pattern. The most important generic feature is that no ventrolateral tuberculation or spines are present, which clearly mark the difference from *Karsteniceras*. Likewise, the ribbing and suture are also simple with wide saddles and trifid lobes (SARASIN & SCHÖNDELMAYER 1902, VAŠÍČEK & WIEDMANN 1994, WRIGHT et al. 1996).

Leptoceratoides balernaensis (RIEBER, 1977)
Plate I, Figures 1–4

?1967 *Leptoceras subtile* – DIMITROVA, p. 39, pl. 12, fig. 7
*1977 *Karsteniceras balernaense* – RIEBER, p. 779, pl. 1, figs 1–7, text-fig. 3.
1994 *Karsteniceras balernaense* – VAŠÍČEK & WIEDMANN, p. 218, pl. 3, fig. 4.

Material – Three internal moulds in various state of preservation. The phragmocone of specimen from B/108 (INV.2023.12.) is a spire with several rounds. We collected a specimen from layer 300/40 of section E (INV.2023.32.) which has a similar character, while the remains from layer 16 of section A (INV.2023.21.) consist of a single phragmocone fragment.

Measurements

Bed numbers	Number	Wh (cm)	D (cm)	U_1 (cm)	U_2 (cm)
Bersek Hill, section B, bed 108	INV.2023.12.	0.415	1.98	1.08	–
Bersek Hill, section A, bed 16	INV.2023.21.	–	1.335	0.705	–
Bersek Hill, section E, bed 300/40	INV.2023.382.	0.455	1.365	0.685	–

Description – Criocone internal moulds with basically rectiradiate ribs (mainly on the body chamber), then towards the spire some ribs become rursiradiate. The ribs are simple, dense, high and there are no nodules on the ventrolateral side. No depression is visible on the ventral side. No lobeline is observed.

Discussion – The absence of nodules on the ventrolateral side rules out the possibility that the specimens belong to the genus *Karsteniceras*. Species of *L. brunneriformis* (AVRAM, 1999) or *L. svinitensis* (AVRAM, 1999) resemble the specimens, but the ribs are not as prominent as in these two species. The ribs of these two species are rectiradiate, whereas some reported transitional forms are characterised mainly by rectiradiate, and in some cases prorsiradiate ribs. The specimen depicted by DIMITROVA (1967) differs quite a bit from the holotype of the species as its ribbing is more rigid and the coiling is much more open.

Stratigraphic and geographic occurrence – The species occurs in the lower Barremian strata of the Bersek Hill section of the LSF Formation (B section 108, E section 300/40 and A section 16). The species is known from the Southern Alps (Breggia Gorge, Switzerland) and the Pre-Balkan (Krapchene, Bulgaria). The age of the remains is restricted to the Barremian (Switzerland), Bulgarian specimens are from lower Barremian strata. The specimens from Bersek Hill (Hungary) confirm the early Barremian age.

Leptoceratoides pumilus (UHLIG, 1883)
Plate II, Figures 1–5; Plate III, Figures 1–5; Plate IV, Figures 1–3; Plate V, Figures 1, 2; Plate XI, Figure 4

1860 *Ancyloceras Escheri* – OOSTER, pl. 37, figs 3, 4.
*1883 *Crioceras (Leptoceras) pumilum* – UHLIG, p. 270, pl. 29, figs 4, 5, 6a, 6b.
1927 *Leptoceras* cfr. *pumilum* – YABE et al., p. 73(41), pl. 15(4), fig. 30.
1938 *Leptoceras parvulum* – ROMAN, pl. 35, figs 335–336 (= UHLIG 1883, pl. 29, figs 4, 5).
?1958 *Leptoceras parvulum* – FÜLÖP, pl. 7, fig. 3.
1962 *Leptoceras pumilum* – MANOLOV, p. 532.
1966 *Leptoceratoides pumilus* – THIEULOY, p. 289.
1969 *Leptoceras pumilum* – WIEDMANN, pl. 2, fig. 3 (= UHLIG 1883, pl. 29, fig. 6a).
1972 *Leptoceratoides pumilus* – VAŠÍČEK, p. 54, pl. 4, fig. 5.
1984 *Leptoceras pumilum* – AVRAM & KUSKO, p. 14, pl. 2, fig. 8.
1985 *Leptoceras parvulum* – HAAS et al., p. 89, pl. 24, fig. 3.
1987 *Leptoceratoides pumilus* – MATSUKAWA, p. 349.
1994 *Karsteniceras pumilum* – VAŠÍČEK & WIEDMANN, p. 213, pl. 1, fig. 9 (= UHLIG, 1883, pl. 29, fig. 4). pl. 2, figs 3 (= UHLIG, 1883, pl. 29, fig. 6a), 4.
2023 *Leptoceratoides pumilus* – VAŠÍČEK, p. 113.

Material – Several specimens in variable state of preservation. Most of them are fragments that accumulated in a single piece of rock, so the identification number does not indicate the specimen itself, but the hosting piece of rock. Among the Bersek sections, there are two specimens from layer 300/8 of section E (INV.2023.2.), seven remains from layer 300/11 (INV.2023.3., INV.2023.4., INV.2023.383., INV.2023.384., INV.2023.385.), and one fragment of a spire is from layer 16 of section A (INV.2023.30.). The specimens from Bersek Hill are internal moulds, while shelly specimens appear in the drill core of Süt-17.

Measurements

Bed / Depth (m)	Jele	Wh (cm)	D (cm)	U_1 (cm)	U_2 (cm)
Bersek Hill, section E, bed 300/8	INV.2023.2.	–	0.75	0.37	–
		–	0.61	0.32	–
Bersek Hill, section E, bed 300/11	INV.2023.3.	–	–	–	–
		3.7	1.05	3.7	–
		0.59	1.275	–	–
Bersek Hill, section E, bed 300/11	INV.2023.4.	0.535	1.37	0.575	–
Bersek Hill, section A, bed 16	INV.2023.30.	0.355	0.975	0.385	–
Bersek Hill, section E, bed 300/11	INV.2023.383.	–	–	–	–
Bersek Hill, section E, bed 300/11	INV.2023.384.	–	1.01	–	–
Bersek Hill, section E, bed 300/11	INV.2023.385.	0.41	–	–	–
Bersek Hill, section E, bed 300/11	INV.2023.401.	0.49	1.38	0.575	–
		–	–	–	–
Süt–17, 257.5 m	K.12639	0.265	1.145	0.785	–
Süt–17, 262.7 m	K.12646	0.44	1.26	0.545	0.52
Süt–17, 264.0 m	K.12647	0.34	1.19	0.54	0.47
Süt–17, 263.6 m	K.12649	0.44	1.49	0.82	–
		0.475	1.56	0.83	0.655
		–	0.725	0.465	0.385
		0.245	0.92	0.54	0.365
		0.145	0.55	0.415	–
		0.29	0.99	0.57	0.47
		0.15	0.62	0.465	–
		0.165	0.795	0.525	–
		0.21	–	0.5	0.415
		0.365	1.22	0.69	–
		0.26	–	–	–
		0.235	0.86	0.48	0.395
		0.155	0.69	0.4	–
		0.26	0.85	0.52	0.475
		0.25	0.805	0.55	0.39
		0.23	0.62	0.39	0.35
		0.44	1.44	0.766	–
		0.28	1.065	0.61	–
		0.235	1.015	0.615	0.435
		0.145	0.67	0.425	–
		0.26	1.23	0.925	–
		0.24	0.96	0.595	–
Süt– 17, 270.1 m	K.12655	0.565	–	1.085	–
		0.415	–	–	–
		0,555	–	–	–

Description – Finely ornamented criocone internal moulds are assigned to this species. The ribs are sharp, some on the body chamber becoming biconcave (INV.2023.3., INV.2023.4.) and rarely bifurcated (INV.2023.4., K.12649). Later they become rectiradiate as the ribs progress towards the spire. In some specimens, rursiradiate ribs are also observed in the body chamber (INV.2023.4.), and ribs may also be thickened on the phragmocone (INV.2023.2.). No ventral furrow is observed, no lobeline is visible.

Discussion – No nodules are visible on the ventrolateral part of the criocone phragmocone, so the remains belong to genus *Leptoceratoides*. Based on the irregular rib pattern (thickened ribs), *L. pumilus* and *L. subtilis* (Uhlig, 1883) are the most likely species that are similar to our fragments. Among them, only *L. pumilus* has biconcave, bifurcated ribs. A further difference is that the fragments do not show a thickening of the ribs in the ventrolateral part, nor a weakening of the ornamentation in the ventral part, which is characteristic of *L. subtilis*. Most of the specimens from Süt-17 do not show the biconcave ribs typical of the lectotype, except for a few specimens from samples K.12646 and K.12649 (pl. 4, fig 1a, 1b, 1c, 1d). Furthermore, the specimens show similarities with specimens illustrated by Uhlig (1883, pl. 29, fig. 6a) and Vašíček & Wiedmann (1994, pl. 2, fig. 3), which also show rectiradiate ribs. Specimens with a similar appearance to the fauna of Sümeg (INV.2023.401., INV.2023.30.) are also known from Bersek Hill. The presence of morphological separation/variation within the species can be interpreted as intraspecific variation.

The difference between the genera *L. balernaensis* and *L. pumilus* is mainly reflected in the rib pattern. *L. balernaensis* has a smaller number of ribs, the distance between them does not vary, and the shape of the shell shows more variability compared to *L. pumilus*. This latter is more densely ornamented and the distance between the ribs and their thickness may vary. Furthermore, *L. pumilus* is characterized by lower ribs, which are often biconcave.

Stratigraphic and geographic occurrence – The species is present between 254.3 to 270.1 m of the Süt-17 borehole, as well as in the lower Barremian *M. moutonianum* Zone of the Bersek Hill quarry Lábatlan Sandstone (A section, bed 16) and in the upper Barremian *T. vandenheckii* Zone (E section, beds 300/11 and 300/8).

The species occurs at several localities in the Carpathians: Czechia (Tichá) and in the Silesian–Beskydy Mountains (Straconka and Górki Wielkie) in Poland, as well as in the Romanian Carpathians. The species has also been documented from the Swiss Alps (Veveyse). Its presence in Japan (Shinano Province) is questionable. The species is typical of the Barremian period; specimens from Silesia (Tichá) are early Barremian. The Hungarian specimens are both early and late Barremian in age.

?*Leptoceratoides* sp.
Plate V, Figure 3

Material – A single specimen in poor state of preservation from the Süt-17 drill core.

Measurements

Bed / Depth (m)	Jele	Wh (cm)	D (cm)	U_1 (cm)	U_2 (cm)
Süt-17, 297.4 m	K.12661	0.57	3.905	–	–

Description – Hamulicone phragmocone with prorsiradiate ribs on the body chamber, which towards the spire, become rectiradiate. The ventral part and the lobe line are not visible on the specimen.

Discussion – Due to the poor preservation of the specimen, the classification is questionable. The few morphological characters suggest the species may belong to ?*Leptoceratoides heeri.* We exclude this specimen from further interpretations, because this specimen is fundamentally different from leptoceratoid ammonites and probably belong to a different family.

Stratigraphic and geographic occurrence – The specimen is from Süt-17 297.4 m depth, its age is likely late Hauterivian–early Barremian inferred indirectly after Haas et al. (1985).

Genus *Karsteniceras* Royo y Gomez, 1945
Type species: *Ancyloceras beyrichii* Karsten, 1858

Genus *Karsteniceras* is generally characterized by tiny, few centimetres in diameter criocone morphology (Vašíček & Wiedmann 1994, Wright et al. 1996), apart from *K. aequicostatum* Vašíček & Hoedemaeker 2003b and ?*K. filicostatum* (Stahlecker, 1935) ,which are bigger. The ribbing pattern is similar to *Leptoceratoides*; the major difference is the presence of ventrolateral tuberculation, which is the generic feature of *Karsteniceras*. The suture is simple, very similar to *Leptoceratoides* (Vašíček & Wiedmann 1994, Wright et al. 1996).

Karsteniceras ibericum Vašíček & Wiedmann, 1994
Plate VI, Figures 1–3; Plate VII, Figures 1–3; Plate VIII, Figures 1–3; Plate IX, Figures 1–4; Plate X, Figures 1–5; Plate XI, Figures 1–3

1945 *Karsteniceras beyrichii* – Royo y Gomez, p. 461, pl. 71, fig. 1a, 1b, 1c.
1968 *Karsteniceras beyrichii* – Etayo-Serna, p. 54, pl. 1, figs 1–3, text-fig. 4: 8–9.
1978 *Karsteniceras beyrichii* – Wiedmann, pl. 4, fig. 2a, 2b.
*1994 *Karsteniceras ibericum* – Vašíček & Wiedmann, p. 212, pl, 1, figs 4, 5.

Material – 19 fragments of specimens, which are mostly spire fragments, all are from the Bersek Hill.

Measurements

Bed	Rep. nr.	Wh (cm)	D (cm)	U_1 (cm)	U_2 (cm)
Bersek Hill, section A, bed 8	INV.2023.5.	0.66	–	–	–
Bersek Hill, section A, bed 8	INV.2023.6.	–	–	–	–
Bersek Hill, section A, bed 8	INV.2023.7.	0.51	1.82	0.93	0.655
Bersek Hill, section E, bed 300/35	INV.2023.8.	0.6	2.1	1.1	–
Bersek Hill, section A, bed 16	INV.2023.9.	–	–	–	–
Bersek Hill, section B, bed 108	INV.2023.11	–	1.97	0.97	–
Bersek Hill, section B, bed 114	INV.2023.13.	0.51	–	–	–
Bersek Hill, section B, bed 126	INV.2023.14.	–	1.72	0.635	–
Bersek Hill, section B, bed 116	INV.2023.15.	0.225	–	–	–
Bersek Hill, section A, bed 25	INV.2023.17.	0.29	–	–	–
Bersek Hill, section A , bed 25	INV.2023.18.	–	–	–	–
Bersek Hill, section A, bed 17	INV.2023.20.	0.35	1.4	0.72	–

Bersek Hill, section E, bed 300/40	INV.2023.22.	0.34	–	–	–
Bersek Hill, section A, bed 12	INV.2023.23.	–	–	–	–
Bersek Hill, section A, bed 7	INV.2023.24.	0.455	2.08	1.015	–
Bersek Hill, section E, bed 300/15	INV.2023.25.	0.26	–	0.615	–
Bersek Hill, section E, bed 300/15	INV.2023.28.	0.53	1.59	0.615	–
Bersek Hill, section B, bed 111	INV.2023.29.	–	1.2	0.44	–
Bersek Hill, section E, bed 300/11	INV.2023.381.	–	–	–	–
Bersek Hill, section E, bed 300/11	INV.2023.400.	–	–	–	–

Description – Criocone fragments of internal moulds, where dense rectiradiate ribs are present on the body chamber. In addition, few rursiradiate ribs also appear, which are not only present on the body chamber but also on the spire, and then, towards the spire, prorsiradiate ribs (INV.2023.6.) also appear. The spire itself is missing from the internal moulds. In the ventrolateral part, most of the ribs display small tuberculation, and a ventral furrow is visible. In some fragments, some ribs show thickening and a change in rib density (INV.2023.5.). In some specimens (INV.2023.20, INV.2023.25), the ribs pass the ventral part interrupting the course of the ventral depression. On two specimens (INV.2023.17, INV.2023.5), the ventral depression is not visible. In other specimens (INV.2023.25, INV.2023.381), the ventral depression is only visible on the ribs. No lobeline is visible on any specimens.

Discussion – Based on the generic features – criocone phragmocone and small tubercles on the ventrolateral part – the specimens are assigned to genus *Karsteniceras*. On the basis of its irregular rib pattern, the specimens resemble *K. beyrichii*, but there is no ventral depression displayed at any *Karsteniceras* species but *K. ibericum*. A further difference is that *K. beyrichii* has been described only from the Central Atlanticum, in contrast to *K. ibericum*, which has been detected from the Alpine Tethys and Neotethys basins.

Stratigraphic and geographic occurrence – The species has been described from the Western Tethyan region, mainly from the Iberian Peninsula (Sierra Mediana, Spain) and the Alps (Ranzenberg, Vorarlberg, Austria; WIEDMANN 1978). In the Central Atlantic it occurs in Colombia, where it was reported from Barremian strata, in Austria it was discovered around the lower/upper Barremian boundary, while in Spain it occurs only in the upper Barremian strata. The Hungarian findings confirm the early Barremian occurrence of the species.

Karsteniceras sp. 1
Plate XII, Figures 1–3

Material – Four badly preserved internal moulds from the Bersek Hill.

Measurements

Bed	Rep. nr.	Wh (cm)	D (cm)	U_1 (cm)	U_2 (cm)
Bersek Hill, section A, bed 16	INV.2023.10.	0.47	–	–	–
Bersek Hill, section A, bed 35	INV.2023.16.	–	–	–	–
Bersek Hill, section E, bed 300/15	INV.2023.27.	–	–	–	–
		–	–	–	–

Description – The specimens have simple rectiradiate ribs. The width of the ribs is greater than the distance between them and there is no abrupt change in the spacing (density) of the ribs. Nodules are visible in the ventrolateral part. In the ventral part, no depression and no lobeline are visible.

Discussion – Species level identification is not possible on the basis of the morphological features observed on the internal moulds, most likely due to the poor preservation.

Differences between *Karsteniceras* sp. 1 and *K. ibericum* are manifested in the ornamentation. In *Karsteniceras* sp. 1, rectiradiate ribs are observed, equally spaced apart, whereas in *K. ibericum* specimens, the ribbing pattern is rather irregular as rectiradiate and prorsiradiate ribs both appear, as well as rursiradiate ones. In addition, on *K. ibericum*, a thickening of the ribs and a change in the density of the ornamentation are also observed. Furthermore, no ventral depression is visible on the specimens, which is present on the majority of *K. ibericum* specimens.

Stratigraphic and geographic occurrence – The specimens occur in different strata of the LSF of the Bersek Hill. The lowest occurrence is in the *M. moutonianum* Zone (in beds 16 and 35 of section A), followed by the *T. vandenheckii* Zone (in bed 300/15 of section E).

Karsteniceras sp. 2
Plate XII, Figure 4

Material – A single internal mould of a specimen from the Bersek Hill.

Measurements

Bed	Rep. nr.	Wh (cm)	D (cm)	U_1 (cm)	U_2 (cm)
Bersek Hill, section E, bed 300/15	INV.2023.26.	0.26	1.12	0.615	–

Description – Criocone phragmocone with rectiradiate ribs on the body chamber. Towards the spire, rursiradiate ribs also appear on the remains. There is no visible thickening between the ribs and no abrupt change in rib spacing (density). Tuberculation is visible on the ventrolateral part. No ventral depression and lobe are visible.

Discussion – The morphological features of the phragmocone and the poor preservation do not allow species level specification. Both rectiradiate and rursiradiate ribs appear on *Karsteniceras* sp. 2, which shows similarity with *K. ibericum*, but no variation in the density of ornamentation and thickness of ribs is observed. Furthermore, the ventral depression, which is characteristic of *K. ibericum,* is not visible on the specimen.

Stratigraphic and geographic occurrence – The internal moulds are from the *T. vandenheckii* Zone of Bersek Hill (E section, bed 300/15).

Stratigraphy

Bersek Hill quarry

Compilation of an integrated section log is the main stratigraphic achievement of this work, which allows comparing different bed numberings of FÜLÖP, FŐZY and FOGARASI

available in the literature (FÜLÖP 1958; FŐZY 1995, 2017; FOGARASI 1995a, b, 2001; FŐZY & FOGARASI 2002; FŐZY & JANSSEN 2009; PRICE et al. 2011).

Originally, all the specimens collected by the FÜLÖP team were assigned a letter (A, B, C, D, E) and a number. Some of them were published by FÜLÖP (1958). After FÜLÖP passed away, for many years it was not clear what these letters meant. This problem was solved in the late 1990's by István FŐZY with the help of the late Tibor STEINER, the last living member of the original collecting team by then, who showed the positions of collected sections, which likely corresponded to the letters (A, B, C, D, E). Their approximte position on the quarry wall was also shown by Tibor STEINER, depicted on *Fig. 4*. However, the lack of the original field notes was still a problem that inhibited the precise identification of ammonite bearing beds in the field (FŐZY 1995, 2017). FOGARASI (1995a, b, 2001), who worked on the nannofossils and sedimentary features of Bersek Hill, gave his own, new bed numberings and documented an extremely detailed sedimentologic log based on his field observations. His results were documented in his PhD (FOGARASI 2001) and later published (FŐZY & FOGARASI 2002). In 2015, FŐZY & SZENTE also prepared a new section log with new bed numbers based on *their* field observations. This log is not published but was used on the field during our sampling.

Our objective was to reconcile the various bed numbering systems. We examined the bed thicknesses in the field and the fauna given by the various authors. Based on these observations, we created a synthesis of bed numbers (*Appendix 2*) and made a composite section.

The integrated stratigraphic column (*Appendix 2*) includes the bed numbers of

(i) FÜLÖP's sections (A, B, C, D, E) and bed numbers displayed on the ammonites. FŐZY published his works with these numberings;

(ii) FOGARASI (2001) (115 beds) based on his very precisely measured lithology;

(iii) *this work*, where we collected 78 samples to nannofossil and geochemical analysis.

As a first step, on the basis of lithology observed in the field, we identified marker beds and used *i–iii* numberings. Two beds fit the requirement: the greenish grey slump bed at the base of LSF (*Fig. 3*) with an approximate 3-metres-thickness, which decreases with distance, and a massive sand bed of uniform, 20 cm thickness numbered as "Bed 20". After fixing these two marker levels as *i–iii* numberings, we correlated the pack of 113 beds of FOGARASI and the 43 beds with our numbers based on observations of bed thicknesses and lithology. Matching of these *i–iii* beds is completed. The greatest inconsistence was around the top 1–8 beds of ours because were measured these thicker than the top few beds of FOGARASI.

The next step was the most problematic: to fit the original bed and section (A, B, E) numbers of FÜLÖP displayed on the ammonites to the integrated stratigraphic column. In order to proceed with this, ammonite biozones given by FŐZY (2017) were fit to the integrated stratigraphy on the basis of lithology, number of collected specimens and even based on the non–ammonitiferous beds. We double-checked our correlations in the field by short collecting campaigns. These resulted in several new specimens with only five of them suitable for specific identification. Our correlation was the least precisc for section B where only the biozones and the base of the LSF were possible to be determined, and not the exact beds.

Sümeg Süt-17 drill core

The ammonite fauna of Süt-17 drill core was published by HAAS et al. (1985) focussing on biostratigraphical points. The tiny heteromorph mass occurrence was also displayed on a plate. However, the lack of modern biostratigraphic framework of microfossil groups, age indicative ammonites and chemostratigraphy makes it difficult to assign a precise stratigraphic position of Leptoceratoididae occurrences within the *M. moutonianum* Zone approximate; the comparisons to Bersek Hill section are somewhat hypotethical.

Occurrences of Leptoceratoididae

Bersek Hill quarry

Leptoceratoididae from the Bersek Hill are diverse (Plates I–IV, VI–XII) with co-occurrences of *Leptoceratoides* and *Karsteniceras* species. Specimens from this locality are internal moulds with variable but mostly medium to poor state of preservation. Their abundance is given bed-by-bed (*Fig 6*).

Sümeg Süt-17 drill core

Our findings related to Leptoceratoididae are the following:

(i) five accumulation levels (270.1 m; 264.0 m; 263.6 m; 262.7 m; 257.5 m) of Leptoceratoididae were observed;

(ii) from 297.4 m depth, a ?*Leptoceratoides* sp. was found, which is excluded from this investigation due to its uncertain taxonomic position discussed above;

(iii) all are shelled specimens;

(iv) 28 specimens were eligible for species level determination, among them 27 is *L. pumilus*;

(v) a mass occurrence level (263.6 m) is found with more than 20 specimens in a 10 cm of diameter drill core – and 100% of them is *L. pumilus;*

(vi) no planispiral ammonites or accompanying macrofauna is present between 264.0 m and 262.7 meters, also at 257.5 m;

(vii) Leptoceratoididae in Süt-17 (Plates II, IV, V) are less diverse compared to the Bersek Hill fauna.

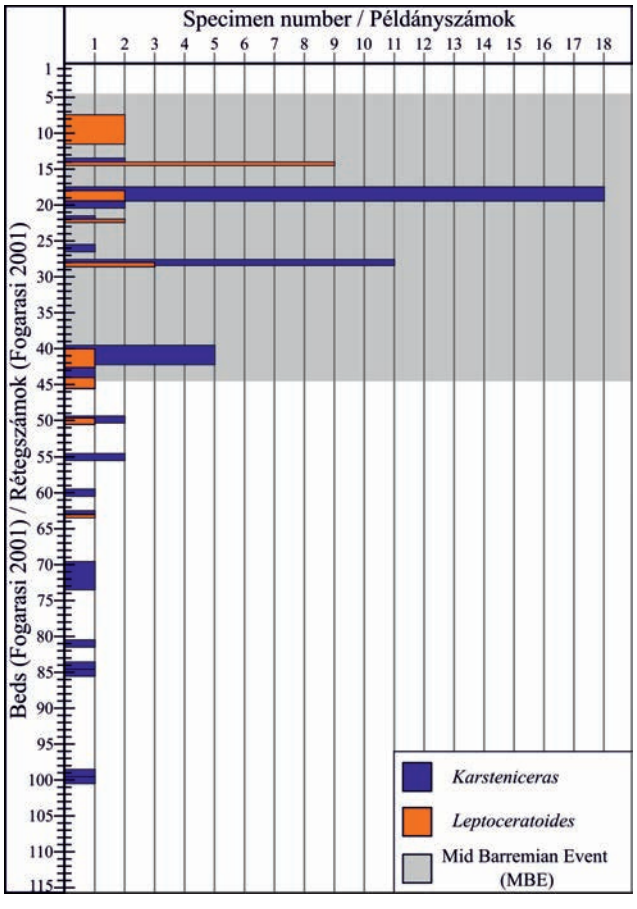

Figure 6. Specimen numbers of *Karsteniceras* spp. and *Leptoceratoides* spp. at the Bersek Hill. Grey band represents the inferred MBE interval (detailed below). Data is visualized from the *Appendix 1.* data matrix

6. ábra. Karsteniceras *spp. és* Leptoceratoides *spp. példányszámai a Bersek-hegyen. Szürke sáv jelöli a Középső Barremi Eseményt (részletesen lejjebb). Adatok megjelenítése az* 1. számú melléklet *mátrixából származik*

Discussion

Paleoenvironmental perturbations during the Mid Barremian Event

During the mid Barremian time interval, an environmental change took place and caused a positive 0.5‰ shift of the $\delta^{13}C$ that is documented by SPROVIERI et al. (2006) and named as Mid Barremian Event, along with the radiation of planctonic foraminifers and the sudden change of the radiolarian faunas (COCCIONI et al. 2003). MAHANIPOUR & EFTEKHARI (2017) observed an increasing trend in the number of warm water taxa in NC5D [nannozone] that they linked to a warming event that occured during the mid Barremian. Moreover, reported from southern Spain (AGUADO et al. 2014), an increasing trend in the number of eutrophic nannofossil taxa is also recorded from the middle part of NC5D nannozone which may indicate intermittent episodes of relative eutrophication of surface waters throughout the latest Hauterivian to earliest late Barremian interval. This also suggests warm and humid climatic conditions in the adjacent hinterlands with increased freshwater, nutrient rich runoff into the basin. Under these climatic conditions, the less saline surface waters facilitated the stratification of the water column including the development of dysoxic/anoxic bottom environments. In summary, both authors link bottom anoxia to increased pelagic primary production. Fertile pelagic watermasses might be unfavorable for most of the ammonites but provided an interval of opportunity for tiny Leptoceratoididae. The very recent summary of MARTÍNEZ et al. (2023) based on cyclostratigraphic observations, is that 1‰ PDB increase of bulk carbonate $\delta^{13}C$ values and a reduced pelagic sedimentation rate is observed during the MBE, which, in their interpretation could be a consequence of basin starvation at a time of fastest rise in sea level.

Characterization of the Mid Barremian Event in Hungary

Bersek Hill quarry

The precise stratigraphic position of the *M. moutonianum* Zone can be depicted on the basis of previously published data (FŐZY & JANSSEN 2009; PRICE et al. 2011). The separate 5-point running mean stable $\delta^{18}O$ and $\delta^{13}C$ isotope excursions measured from different belemnite taxa were previously published by PRICE et al. (2011) where mean values are plotted against the lithologic log and stratigraphic and percentile Leptoceratoididae occurrences (*Figure 7*).

The latter displays the characteristics of the Mid Barremian Event as a slight positive +0.5‰ shift in $\delta^{13}C$ values. Moreover, a slow but continuous increase the $\delta^{18}O$ values from the early Hauterivian towards the mid Barremian is observed which was interpreted by PRICE et al. (2011) as a gradual warming. They concluded that the Mg/Ca data run parallel the $\delta^{18}O$ data suggest that the overriding control on the oxygen isotope trends is indeed temperature and not evaporation or/and freshwater input. This fits to the concept of MBE by AGUADO et al. (2014) and MARTÍNEZ et al. (2023) who both assume a warm and humid pulse during the MBE.

Moreover, stratigraphic occurrences of the documented Leptoceratoididae specimens can be separated as *L. balernaensis* occurs in the *M. moutonianum,* while *L. pumilus* mainly in the *T. vandenheckii* Zone. Their stratigraphic occurrence displays only few beds that overlap at the top *M. moutonianum* Zone. *K. ibericum* is the most common species found from basal *K. compressissima* to basal *T. vandenheckii* Zones. Leptoceratoididae diversity peak observed in section A, bed 16 and a mass occurrence level at section E, bed 300/11 are both within the *M. moutonianum* Zone and, based on the above mentioned observations, might have been deposited during the MBE.

Sümeg Süt-17 drill core

Biodiversity loss of the macrofauna is observed between 264.0 and 262.7 meters (HAAS et al. 1985, table 4) where the otherwise abundant planispiral ammonites and associated macrofauna is absent, only monospecific Leptoceratoididae

were found and named here as the "Leptoceratoididae interval". Compiling published data (HAAS et al. 1985) with our findings, we assume this 1.3-meter-thick "Leptoceratoididae interval" might have been deposited during the Mid Barremian Event, but the exact stratigraphic position of *M. moutonianum* Zone (including the MBE) needs further confirmation. Taking the lithology in consideration, between 270–273 metres a double terrigenious input peak was observed on the $CaCO_3$ curve by HAAS et al. (1985, fig. 27a–b). In our opinion this reflects two sudden increases in terrigenious material. These might be linked to two rapid pulses of a warmer and more humid climatic conditions and/or intensification of orogenic (uplift) movements. However, biostratigraphic uncertanties and the lack of chemostratigraphy make these assumptions and possible comparisons to the Bersek Hill section hypotethical to a degree.

Paleoecology and lifestyle of Leptoceratoididae

Paleoecology and lifestyle of heteromorph ammonites, including tiny Leptoceratoididae are still poorly understood (LUKENEDER 2003, 2005). However, all authors agree in the specialized nature of heteromorphs. Here we summarize the limited information available in the literature on this family.

RIEBER (1977) was the first who suspected a nectic mode of life for *Leptoceratoides balernaensis* (RIEBER, 1977) grazing above the anoxic seafloor. VAŠÍČEK & WIEDMANN (1994) connected the presence of small Leptoceratoididae with dark grey or black, organic matter rich pyritic muddy laminated sediments which are indicative of anoxia. They concluded that their habitat might be related to seafloor algal mats where they were grazing similar to those of Middle Jurassic heteromorphs (DIETL 1978). Due to the excellent state of preservation, all mentioned authors believe that these tiny forms did not suffer post-mortem transportation. Later, WESTERMANN (1996) interpreted a stable vertical position in the water column for criocones (= gyrocones see LUKENEDER 2015) based on the strong resistance of the forms against water currents thus indicating a pseudoplanktonic lifestyle within the epipelagic zone. LUKENEDER (2015) also shared this opinion.

Some authors (RIEBER 1977; VAŠÍČEK & WIEDMANN 1994; LUKENEDER & TANABE 2002; LUKENEDER 2003, 2005, 2007) have documented mass occurrence of Leptoceratoididae. The abundance of *Karsteniceras ternbergense* is above 90% in low oxygenated facies as LUKENEDER & TANABE (2002) and LUKENEDER (2003, 2005, 2007) reported. These authors interpreted its mass occurrence to indicate *r*–lifestyle (opportunistic) strategy. They assumed these forms were adapted to low oxygen levels that likely dominated the dysoxic sea bottom. They placed this environment to the epipelagic zone with approximate water depth of 70–80 m (LUKENEDER 2003), where the lack of bottom currents likely allowed the in-situ fossilization of finely detailed shells together with their aptichi (LUKENEDER & TANABE 2002). Nutricline depths were measured in the eastern Pacific where the number and diversity of planktonic organisms is concentrated in the 35–80 m depth zone (LONGHURST 1985). When comparing this observation with those of LUKENEDER & TANABE (2002), it becomes apparent that these tiny forms were possibly quasi-planktonic and preferred the most nutrient rich interval of the epipelagic zone which could have easily been dysoxic.

COMPANY et al. (2005) and LUKENEDER & GRUNERT (2013) believe that small Leptoceratoididae as *Karsteniceras*, *Sabaudiella* and *Hamulinites* might have lived planktonic "drifter" lifestyle. COMPANY et al. (2005) inferred that they might have lived in the epipelagic area and, therefore, anoxic events did not affect their population negatively. Nevertheless, nutrient increase during dysoxic/anoxic periods is directly linked to their increase in diversity according to these authors. Based on data reported by WESTERMANN (1996), LUKENEDER & TANABE (2002), COMPANY et al. (2005) and LUKENEDER & GRUNERT (2013), it can be assumed that the planktonic, plankton-feeding criocone shell Leptoceratoididae lived in the most nutrient-rich (nutricline) depth range of the epipelagic zone. Their fragile shell (with high interfacial resistance) might have made it difficult for Leptoceratoididae – which might have been passive drifters – to move out of this zone, thus their chances of survival would have significantly declined due to the reduced nutrient supply within this zone.

The main food source of Cretaceous heteromorphs was likely zooplankton, as confirmed by the morphology of the jaws and radula and the remains of prey animals (gastropoda, crustacea, crinoidea) (WIPPICH & LEHMANN 2004, KRUTA et al. 2011, HOFFMANN et al. 2021).

Tiny heteromorphs were more diverse in the proximal Gerecse basin, while *L. pumilus* was exclusively present in the distal Bakony basin (if we accept that the two Leptoceratoididae findings are the same age). This may give the idea that they might have lived in the epipelagic area but even tiny heteromorph ammonites could have had different ecological preferences and might have tolerated certain stress factors like lack of food, water clarity or dysoxia differently. We do not believe that with such a fragile shell these tiny forms were grazing among the sea grass and risk injuries. Combining our results with WESTERMANN (1996), it seems logical that these tiny criocone Leptoceratoididae were attracted to certain vertical levels (close to, or even within the nutricline) and movement out vertically from this level was at the minimum challenging – or almost impossible – due to the shape of the conch.

Local response of Leptoceratoididae to the Mid Barremian Event

Appearance of family Leptoceratoididae is linked to the upper Hauterivian (COMPANY et al. 2005, LUKENEDER 2012, LUKENEDER & GRUNERT 2013, MATAMALES-ANDREU et al. 2019) where their first representatives are observed in sedi-

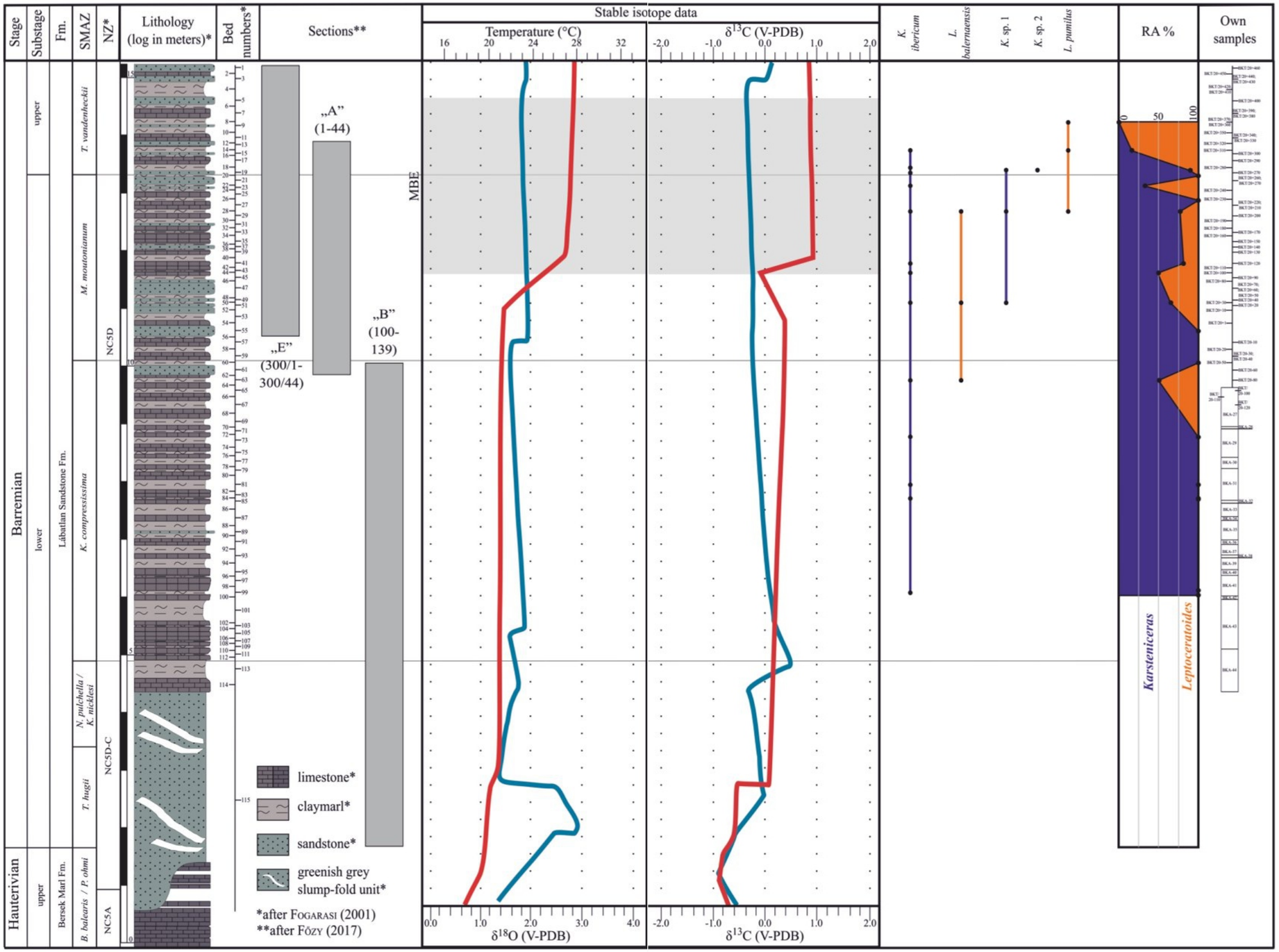

Figure 7. Biostratigraphy, lithology, sections, bed numbers and stratigraphic occurrences of identified *Karsteniceras (K.)* spp. and *Leptoceratoides (L.)* spp. of Bersek Hill quarry. Relative abundances (RA%) of these two genera (on the right) are plotted against the lithologic log. Inferred stratigraphic position of the Mid Barremian Event (MBE) is shaded grey. Chemostratigraphy data lines are simplified, measured from *Duvalia/Pseudobelus* is coloured blue, *Vaunagites pistilliformis/ "Belemnites" pistilliformis/Hibolithes* is coloured with red line (after PRICE et al. 2011)

Abbreviations: Fm.: Formation, NZ.: Calcareous nannofossil zonation

7. ábra. *A Bersek-hegy integrált biosztratigráfiája, litológiája, szelvények és rétegszámok elhelyezkedése, valamint a* Karsteniceras (K.) *spp. és* Leptoceratoides (L.) *spp. rétegtani elterjedése. Belemnitesz-taxonokból kinyert kemosztratigráfiai adatok felhasználásával készült trendvonalak mutatják a Középső Barremi Eseményt (szürke mezővel jelölve), ahol a kék vonal a* Duvalia/Pseudobelus *taxonokat, míg a vörös vonal jelöli a* Vaunagites pistilliformis/"Belemnites" pistilliformis/Hibolithes *taxonokat (PRICE et al. 2011)*

Rövidítések: Fm.: Formáció, NZ.: mészvázú nannofosszília zónák, RA: Relatív abundancia (%)

mentary sequences. Their dispersal was rather rapid towards the Central Atlantic and Japan during the early Barremian, but the members of this family were only present as suppressed elements in ammonite assemblages. In contrast, their mass occurrences are observed in middle Barremian deposits.

If we accept the hypothesis that the "Leptoceratoididae interval" of Süt-17 and the Leptoceratoididae from the Bersek Hill are coeval, the diversity of the family shows spatial and temporal changes. The greatest diversity of tiny heteromorphs is within *M. moutonianum* Zone of Bersek Hill (*Fig. 6*), with co-occurrence of *Karsteniceras ibericum, Leptoceratoides balernaensis* and *L. pumilus* (*Fig. 7*). In contrast, a monospecific mass occurrence of *L. pumilus* is visible (263.6 m) at Süt-17.

In our opinion, diversity differences may be related to the different paleogeographic positions and likely reflect different paleoceanographic features of the two basins: sediments of Süt-17 were deposited in a shallow bathyal depth of a back-bulge of the fordeep (Bakony Basin) (TARI 1994, FODOR & FŐZY 2022) where increasing terrigenus input upward in the section reflects a regression according to HAAS et al. (1985); while the Bersek Hill succession (Gerecse basin) was deposited in a forebulge side of a fordeep basin (FODOR et al. 2013). If we assume the Leptoceratoidiae occurrences of Bersek Hill and Süt-17 are coeval, there could be a starvation of detrital (but not carbonate) sediments in the distal Bakony basin because siliciclastic sediments are trapped on the platform at times of rapid rise in sea level. Meantime, there would be a greater influx of nutrients on the continental shelves (or in basins closer to them, like in the Gerecse basin), so primary productivity would be higher there compared to pelagic settings. This is in apparent contrast with HAAS et al. (1985), which warrants further investigations.

This observed temporal and spatial shift in diversity is linked to phenomena which might be closely related to the environmental perturbations during the Mid Barremian Event, in particular, conincident with the orogenic movements of the Alpine system:

(i) Expanding dysoxia: the vertical expansion of the oxygen minimum zone forced the less tolerable forms to leave and provided and opportunity to various tiny heteromorphs to take over the more nutrient rich, proximal (however deeper) basin of the Gerecse (Bersek Hill). In the meantime, within the more distal Bakony basin (Süt-17) only one species, *L. pumilus* was able to handle the expanding dysoxic environment, which is supported by the complete lack of the accompanying fauna. Although many ammonites with different conch types could migrate vertically to higher, therefore, more oxygenated parts of the water column, criocone shell type allow only limited vertical migration (WESTERMANN 1996, LUKENEDER 2015). Vertical (and horizontal) migration necessarily occurs if the food sources leave the area or die due to expanding dysoxic conditions of the water column or the seafloor. Moreover, dwelling in the bottom might be important for hatching and was impossible for those groups that did not tolerate dysoxic conditions;

(ii) Different food supply: tiny heteromorphs moved to the proximal (but deeper) Gerecse basin, but not due to the expanding anoxia but in search of more easily available nutrients. The Gerecse basin was closer to the thrust front; therefore, higher detrital input and nutrients supported greater diversity of planctic and nektic groups than in the more distal Bakony basin;

(iii) Increased riverine input of fresh water can intensify during humid periods – like the Mid Barremian Event – or during periods of more intese uplift of the hinterland. Freshwater input may also play an important role as it facilitats both the stratification of the water column and changes in diversity of fitoplankton living on the sea surface. Runoff is more expressed in the proximal Gerecse basin; therefore, the greater diversity is directly related to the increased nutrient supply there. We do not agree with PRICE et al. (2011) who linked the lower oxygen isotope values from the Barremian part of the Bersek Hill section to episodes of increased freshwater input due to arid climatic conditions. In contrast, we believe their data are consistent with the scenario of AGUADO et al. (2014) and MARTÍNEZ et al. (2023) who interpreted the onset of more humid and warm climatic conditions that characterize the MBE.

Conclusions

1) A precise integration of independent stratigraphic columns of different authors is presented here on the Barremian strata of the Lábatlan Sandstone Formation of the Bersek Hill from the *K. compressissima*, *M. moutonianum* and *T. vandenheckii* Zones. Reliability of the integrated column is the lowest in the lower *K. compressissima* Zone.

2) Tiny heteromorph ammonites can be observed in certain levels in both the Bersek Hill quarry and Süt-17 drill core, also mass occurrence levels of them are reported. These are taxonomically revised to belong to family Leptoceratoididae apart from one specimen from Süt-17 (297.4 m).

3) Our taxonomic analysis confirmed that the genera *Karsteniceras* and *Leptoceratoides* should be kept as different genera and not be used as synonyms.

4) There is a stratigraphic shift between species that can be observed at the Bersek Hill: *L. balernaensis* occurs in the *M. moutonianum,* while *L. pumilus* mainly in the *T. vandenheckii* Zone. Their stratigraphic occurrence displays only a few beds that overlap at the top *M. moutonianum* Zone. *K. ibericum* is the most common species found from basal *K. compressissima* to basal *T. vandenheckii* Zones.

5) There are major differences in the assemblage composition of Leptoceratoididae between the two sections: assemblage of Süt-17 dominated by *L. pumilus,* while assemblage of Bersek Hill is comprised by *K. ibericum*, *L. balernaensis* and *L. pumilus*. The synchroneity of Leptoceratoididae occurrences from Süt-17 drill core and Bersek Hill is not fully established and thus remain hypothetic.

6) Discussion on the lifestyle and paleoecology of criocone Leptoceratoididae ammonites is presented.

7) Based on already published stable isotope and biostratigraphic data, we suggest the presence of the Mid Barremian Event within the *M. moutonianum* Zone of the Bersek Hill at sections E and A. Position of the MBE in Süt-17 core can only be inferred indirectly.

Acknowledgements

With this contribution we would like to tribute to the scientific works and outstanding personality of our beloved professors, András Galácz and Attila Vörös, on their 80th birthday. Both authors are lucky to know them, grateful for the supervision, the help, the kind guidance and the possibility of joint work with them. We wish them a lot more healthy and active years with our warmest regards and deepest honour.

The authors are extremely grateful for Miguel Company and István Főzy for their constructive comments and critical arguements, which improved the quality of the manuscript greatly. We also thank Alex Lukeneder for his review. The authors are also grateful for the help of Attila Fogarasi, Tamás Müller, Viktor Karádi, Emma Vadler, Emőke Mohr and István Szente for their support during the fieldwork, for the information they provided on the sections and for reviewing the geological setting section. Zdenek Vašíček is warmly thanked for providing access to missing literature. We acknowledge the comments and corrections on the geological settings made by László Fodor and Orsolya Sztanó. Klára Palotás, together with the SARA Geological Survey Collection Department and colleagues of the Department of Paleontology and Geology of the Hungarian Natural History Museum, are deeply thanked for providing the available specimens and technical support. We thank Zsolt Tilk and the HOLCIM Company for providing access to the Bersek Hill quarry sections.

This research was supported by the OTKA NKFIH K135309 grant.

References – Irodalom

Aguado, R., Company, M., O'Dogherty, L., Sandoval, J. & Tavera, J. M. 2014: Late Hauterivian–early Barremian calcareous nannofossil biostratigraphy, palaeoceanography, and stable isotope record in the Subbetic domain (southern Spain). – *Cretaceous Research* **49**, 105–124. https://doi.org/10.1016/j.cretres.2014.02.006

Aguado, R., Company, M., O'Dogherty, L., Sandoval, J. & Martinez, M. 2022: New insights into the Barremian–lower Aptian calcareous nannofossils of the Mediterranean Tethys: Chronostratigraphic and paleobiogeographic implications. – *Marine Micropaleontology* **173**. https://doi.org/10.1016/j.marmicro.2022.102114

Aguirre–Urreta, B. & Rawson, P. F. 2012: Lower Cretaceous ammonites from the Neuquén Basin, Argentina: a new heteromorph fauna from the uppermost Agrio Formation. – *Cretaceous Research* **35**, 208–216. https://doi.org/10.1016/j.cretres.2012.01.001

Avram, E. 1999: Some new species of the subfamily 'Leptoceratoidinae' (Ancyloceratina, Ammonoidea) in uppermost Hauterivian and lower Barremian deposits from Rumania. – *Scripta Geologica*, Special Issue **3**, 31–43.

Avram, E. & Kusko, M. 1984: Céphalopodes éocrétacés de la partie centrale et méridionale des Monts Baraolt (Carpathes Orientales). – *Dări de Seamă ale Şedinţelor, Insitutul de Geologie şi Geofizică, 3 Paleontologie* **69**, 5–24.

Bajnai, D., Pálfy, J., Martinez, M., Price, G. D., Nyerges, A. & Főzy, I. 2017: Multi-proxy record of orbital-scale changes in climate and sedimentation during the Weissert Event in the Valanginian Bersek Marl Formation (Gerecse Mts., Hungary). – *Cretaceous Research* **75**, 45–60. https://doi.org/10.1016/j.cretres.2017.02.021

Bence G., Bernhardt B., Bihari D., Bálint Cs., Császár G., Gyalog L., Haas J., Horváth I., Jámbor Á., Kaiser M., Kéri J., Kókay J., Konda J., Lelkesné Felvári Gy., Majoros Gy., Peregi Zs., Raincsak Gy., Solti G., Tóth Á. & Tóth Gy. 1990: *A Bakony hegység földtani képződményei: magyarázó a Bakony hegység fedetlen földtani térképéhez: 1: 50000*. – Magyar Állami Földtani Intézet, Budapest, 119.

Bodin, S., Fiet, N., Godet, A., Matera, V., Westermann, S., Clément, A., Janssen, N. M. M., Stille, P. & Föllmi, K. B. 2009: Early Cretaceous (late Berriasian to early Aptian) palaeoceanographic change along the northwestern Tethyan margin (Vocontian Trough, southeastern France): 13C, 18O and Sr–isotope belemnite and whole–rock records. – *Cretaceous Research* **30(5)**, 1247–1262. https://doi.org/10.1016/j.cretres.2009.06.006

Busnardo, R., Charollais, J., Weidmann, M. & Clavel, B. 2003: Le Crétacé inférieur de la Veveyse de Châtel (Ultrahelvétique des Préalpes externes; canton de Fribourg, Suisse). – *Revue de Paléobiologie* **22(1)**, 1–174.

Casson, M., Bulot, L. G., Jeremiah, J. & Redfern, J. 2020: Deep sea rock record exhumed on oceanic volcanic islands: The Cretaceous sediments of Maio, Cape Verde. – *Gondwana Research* **81**, 252–264. https://doi.org/10.1016/j.gr.2019.11.007

Coccioni, R., Galeotti, S. & Sprovieri, M. 2003: The Mid-Barremian Event (MBE): the prelude to the OAE1a. – *Eos. Trans. AGU* **84(46)**, Fall. Meet. Suppl., Abstract PP41B-0835.

Company, M., Aguado, R., Sandoval, J., Tavera, J. M., De Cisneros, C. J. & Vera, J. A. 2005: Biotic changes linked to a minor anoxic event (Faraoni Level, latest Hauterivian, Early Cretaceous). – *Palaeogeography, Palaeoclimatology, Palaeoecology* **224(1–3)**, 186–199. https://doi.org/10.1016/j.palaeo.2005.03.034

Cuvier, G. L. C. F. D. 1797: *Tableau élémentaire de l'histoire naturelle animaux*. – xvi + 710 pp., 14 pi. Baudouin, Paris.

Császár G. & Haas J. 2023: Sümegi Márga Formáció. – In: Babinszki E., Piros O., Budai T., Gyalog L., Halász A., Király E., Koroknai B., Lukács R. & M. Tóth T. (szerk.): *Magyarország litosztratigráfiai egységeinek leírása I. Prekainozoos képződmények*. – SzTFH, Budapest, 237.

Császár, G., Haas, J., Sztanó, O. & Szinger, B. 2012: From Late Triassic passive to Early Cretaceous active continental margin of dominantly carbonate sediments in the Trasndanubian Range, Western Tethys. – *Journal of Alpine Geology* **55**, 33–99.

Csontos, L. & Vörös, A. 2004: Mesozoic plate tectonic reconstruction of the Carpathian region. – *Palaeogeography, Palaeoclimatology, Palaeoecology* **210**, 1–56. https://doi.org/10.1016/j.palaeo.2004.02.033

Dietl, G. 1978: Die heteromorphen Ammoniten des Dogger. (Stratigraphie, Taxonomie, Phylogenie, Ökologie). – *Stuttgarter Beiträge zur Naturkunde Serie B (Geologie und Paläontologie)* **33**, 1–97.

Dimitrova, N. 1967: *Fossils of Bulgaria. IV. Lower Cretaceous – Cephalopoda (Nautiloidea & Ammonoidea)*. – Bulgarian Academy of Sciences, Sofia, 424 p.

Etayo-Serna, F. 1968: Apuntaciones acerca de algunas amonitas interesantes del Hauteriviano y del Barremiano de la regin de Villa de Leiva (Boyac, Colombia, SA). – *Boletín Geología* **24**, 51–70.

Fallot, P. & Termier, H. 1923: Ammonites nouvelles des îles Baléares. – *Trabajos del Museo Nacional de Ciencias Naturales*, *Madrid, Serie Geologica* **32**, 1–85.

Fodor, L. & Főzy, I. 2013: Late Middle Jurassic to earliest Cretaceous evolution of basin geometry of the Gerecse Mountains. – In: Főzy, I. (ed.): *Late Jurassic–Early Cretaceous fauna, biostratigraphy, facies and deformation history of the carbonate formations in the Gerecse and Pilis Mountains (Transdanubian Range, Hungary)*. – Institue of Geoscience, University of Szeged, GeoLitera Publishing House, Szeged, 117–135.

Fodor, L. & Főzy, I. 2022: Fault geometry, basin topography and evolution of the Middle Jurassic to Early Cretaceous basins of the northern Bakony Mountains and their tectonic connections. – In: Főzy, I. (ed.): *Fauna, biostratigraphy, facies and paleotectonic evolution of the Late Jurassic–Early Cretaceous formations in the Bakony Mountains (Transdanubian Range, Hungary)*. – Institute of Geosciences, University of Szeged, GeoLitera Publishing House, 139–152.

Fodor, L., Sztanó, O. & Kövér, Sz. 2013: *Pre-conference field trip: Mesozoic deformation of the northern Transdanubian range (Gerecse and Vértes Hills).* CETEG–11th meeting of the Central European Tectonic Studies Group. – *Acta Mineralogica–Petrographica*, *Field Guide Series* **31**, 1–52.

Fogarasi A. 1995a: Üledékképződés egy szerkezeti mozgásokkal maghatározott kréta korú tengeralatti lejtőn a Gerercse hegységben – munkahipotézis. – *Általános Földtani Szemle* **27**, 15–41.

Fogarasi A. 1995b: Ciklussztratigráfiai vizsgálatok a gerecsei krétában: előzetes eredmények. – *Általános Földtani Szemle* **27**, 43–58.

Fogarasi A. 2001: *Dunántúli-középhegységi alsó-kréta képződmények mészvázú nannoplankton sztratigráfiája*. – Kézirat, PhD-dolgozat, ELTE Földrajz–Földtudományi Intézet, Általános és Alkalmazott Földtani Tanszék, 95.

Föllmi, K. B. 2012: Early Cretaceous life, climate and anoxia. – *Cretaceous Research* **35(2)**, 230–257. https://doi.org/10.1016/j.cretres.2011.12.005

Főzy I. 1995: A gerecsei Bersek-hegy alsó kréta ammonitesz rétegtana. – *Általános Földtani Szemle* **27**, 7–14.

Főzy I. 2017: *A Dunántúli-középhegység oxfordi–barremi (felső-jura–alsó-kréta) rétegsora: Cephalopoda-fauna, biosztratigráfia, őskörnyezet és medencefejlődés*. – Geolitera, Szeged, 208 p.

Főzy I. 2024: *BERSEK – Kőzetek és kövületek – Egy gerecsei hegy története*. – Geolitera, Szeged, 130 p.

Főzy I. & Fogarasi A. 2002: A gerecsei Bersek–hegy törmelékes sorozatának tagolása az alsó-kréta ammonitesz fauna és a nannoplankton flóra alapján. – *Földtani Közlöny* **132(3–4)**, 293–324.

Főzy I., Fogarasi A. & Szives O. 2002: A Lábatlan–36 jelű fúrás felső-barrémi–apti rétegsorának integrált ammonitesz és mészvázú nannoplankton biosztratigráfiája. – *Földtani Közlöny* **132**, 45–56.

Főzy, I. & Janssen, N. M. M. 2009: Integrated Lower Cretaceous biostratigraphy of the Bersek Quarryquarry, Gerecse Mountains, Transdanubian Range, Hungary. – *Cretaceous Research* **30(1)**, 78–92. https://doi.org/10.1016/j.cretres.2008.05.002

Fülöp J. 1958: A Gerecse-hegység kréta időszaki képződményei. – *Geologica Hungarica Series Geologica* **11**, 124 p.

Gill, T. 1871: Arrangements of the families of mollusks. – *Smithsonian Miscellaneous Collections* **227**, 1–49. https://doi.org/10.5962/bhl.title.1740

Godet, A., Bodin, S., Föllmi, K. B., Vermeulen, J., Gardin, S., Fiet, N., Adatte, T., Berner, Zs., Stüben, D. & Van De Schootbrugge, B. 2006: Evolution of the marine stable carbon–isotope record during the early Cretaceous: A focus on the late Hauterivian and Barremian in the Tethyan realm. – *Earth and Planetary Science Letters* **242(3–4)**, 254–271. https://doi.org/10.1016/j.epsl.2005.12.011

Haas, J., Jocháné Edelényi, E., Gidai, L., Kaiser, M., Kretzoi, M. & Obavecz, J. 1985: Geology of the Sümeg Area. – *Geologica Hungarica Series Geologica* **20**, 250 p.

Haeckel, E. 1866: *Allgemeine Entwicklungsgeschichte der Organismen*. – Berlin (Reimer).

Hoffmann, R., Slattery, J. S., Kruta, I., Linzmeier, B. J., Lemanis, R. E., Mironenko, A., Goolaerts, S., De Baets, K., Peterman, D. J. & Klug, C. 2021: Recent advances in heteromorph ammonoid palaeobiology. – *Biological Reviews* **96(2)**, 576–610. https://doi.org/10.1111/brv.12669

Hoffmann, R., Howarth, M. K., Fuchs, D., Klug, C. & Korn, D. 2022: The higher taxonomic nomenclature of Devonian to Cretaceous ammonoids and Jurassic to Cretaceous ammonites including their authorship and publication. – *Neues Jahrbuch für Geologie und Paläontologie* **305(2)**, 187–197. 10.1127/njgpa/2022/1085

Huck, S., Heimhofer, U., Immenhauser, A. & Weissert, H. 2013: Carbon-isotope stratigraphy of Early Cretaceous (Urgonian) shoal-water deposits: Diachronous changes in carbonate-platform production in the north-western Tethys. – *Sedimentary Geology* **290**, 157–174. https://doi.org/10.1016/j.sedgeo.2013.03.016

Imlay, R. W. 1954: Barremian Ammonites from Trinidad, BWI. – *Journal of Paleontology* **28**, 662–667.

Janssen, N. M. M. & Főzy, I. 2003: Neocomian belemnites from the Bersek Hill (Gerecse Mountains, Hungary). – *Földtani Közlöny* **133(2)**, 291–294.

Janssen, N. M. M. & Főzy, I. 2004: Neocomian belemnites from the Bersek-hegy (Gerecse Mountains, Hungary), part I: Late Valanginian to earliest Barremian. – *Fragmenta Palaeontologica Hungarica* **22,** 27–49.

Janssen, N. M. M. & Főzy, I. 2005: Neocomian belemnites and ammonites from the Bersek-hegy (Gerecse Mountains, Hungary), part II: Barremian. – *Fragmenta Palaeontologica Hungarica* **23,** 59–86.

Kakabadze, M. V. & Hoedemaeker, P. J. 1997: New and less known Barremian–Albian ammonites from Colombia. – *Scripta Geologica* **114**, 57–117.

Karsten, H. 1858: Über die geognostischen Verhältnisse des westlichen Columbien, der heutigen Republiken Neu-Granada und Equador. – *Amtlicher Bericht über die Versammlung Deutscher Naturforscher und Aerzte* **32**, 80–117.

Kázmér, M. 1987: A Lower cretaceous submarine fan sequence in the Gerecse Mts., Hungary. – *Annales Universitatis Scientiarium Budapestiensis de Rolando Eötvös nominatae, Sectio Geologica* **27**, 101–116.

Klein, J., Busnardo, R., Company, M., Delanoy, G., Kakabadze, M.V., Reboulet, S., Ropolo, P., Vašíček, Z. & Vermeulen, J. 2007: *Fossilium catalogus, I: Animalia – Lower Cretaceous Ammonites III: Bochianitoidea, Protancyloceratoidea, Ancyloceratoidea, Ptychoceratoidea*. – Backhuys Publishers, Leiden, 381.

Knauer J. 1996: Sümegi Márga Formáció. – In: Császár G. (szerk.): *Magyarország litosztratigráfiai alapegységei. Kréta*. – Magyar Állami Földtani Intézet, Budapest, 30–32.

Kruta, I., Landman, N., Rouget, I., Cecca, F. & Tafforeau, P. 2011: The role of ammonites in the Mesozoic marine food web revealed by jaw preservation. – *Science* **331**, 70–72. https://doi.org/10.1126/science.1198793

Linnaeus, C. 1758: *Systema Naturae per Regna Tria Naturae, Secundum Classes, Ordines, Genera, Species, cum Characteribus, Differentiis, Synonymis, Locis* **10(1)**. i–iii, 824 p. https://doi.org/10.5962/bhl.title.542

Lodowski, D. G., Pszczółkowski, A., Szives, O., Főzy, I. & Grabowski, J. 2022: Jurassic–Cretaceous transition in the Transdanubian Range (Hungary): integrated stratigraphy and paleomagnetic study of the Hárskút and Lókút sections. – *Newsletters on Stratigraphy* **55(1)**, 99–135. https://doi.org/10.1127/nos/2021/0656

Longhurst, A. R. 1985: Relationship between diversity and the vertical structure of the upper ocean. – *Deep Sea Research Part A. Oceanographic Research Papers* **32(12)**, 1535–1570. https://doi.org/10.1016/0198-0149(85)90102-5

Lukeneder, A. 2003: The Karsteniceras Level: Dysoxic ammonoid beds within the Early Cretaceous (Barremian, Northern Calcareous Alps, Austria). – *Facies* **49(1)**, 87–100. https://doi.org/10.1007/s10347–003–0026–x

Lukeneder, A. 2005: The Early Cretaceous Karsteniceras Level in the Vienna Woods (Northern Calcareous Alps, Lower Austria). – *Geologica Carpathica* **56(4)**, 307–315.

Lukeneder, A. 2007: Cephalopod evolution: a new perspective – Implications from two Early Cretaceous ammonoid suborders (Northern Calcareous Alps, Upper Austria). – *Denisia* **20**, 395–404.

Lukeneder, A. 2012: New biostratigraphic data on an Upper Hauterivian–Upper Barremian ammonite assemblage from the Dolomites (Southern Alps, Italy). – *Cretaceous Research* **35**, 1–21. https://doi.org/10.1016/j.cretres.2011.11.002

Lukeneder, A. & Grunert, P. 2013: Palaeoenvironmental evolution of the Southern Alps across the Faraoni level equivalent: new data from the Trento plateau (Upper Hauterivian, Dolomites, N. Italy). – *Acta Geologica Polonica* **63(1)**, 89–104. https://doi.org/10.2478/agp–2013–0003

Lukeneder, A. & Tanabe, K. 2002: In situ finds of aptychi in the Barremian of the alpine Lower Cretaceous (northern calcareous Alps, Upper Austria). – *Cretaceous Research* **23(1)**, 15–24. https://doi.org/10.1006/cres.2001.0303

Mahanipour, A. & Eftekhari, M. 2017: The first record of the mid-Barremian Oceanic Anoxic Event in the Zagros Basin: evidence from calcareous nannofossils. – *Journal of Nannoplankton Research* **37**, 106.

Malkoc, M. & Mutterlose, J. 2010: The early Barremian warm pulse and the late Barremian cooling: a high–resolution geochemical record of the Boreal Realm. – *Palaios* **25(1),** 14–23. https://doi.org/10.2110/palo.2010.p09–029r

Manolov, J. R. 1962: New ammonites from the Barremian of North Bulgaria. – *Palaeontology* **5(3)**, 527–539.

Martinez, M., Aguado, R., Company, M., Sandoval, J. & O'Dogherty, L. 2020: Integrated astrochronology of the Barremian Stage (Early Cretaceous) and its biostratigraphic subdivisions. – *Global and Planetary Change* **195**, https://doi.org/10.1016/j.gloplacha.2020.103368

Martinez, M., Aguirre-Urreta, B., Dera, G., Lescano, M., Omarini, J., Tunik, M., O'Dogherty, L., Aguado, R., Company, M. & Bodin, S. 2023: Synchrony of carbon cycle fluctuations, volcanism and orbital forcing during the Early Cretaceous. – *Earth-Science Reviews* **239**, https://doi.org/10.1016/j.earscirev.2023.104356

Matamales-Andreu, R., Juárez-Ruiz, J., Pictet, A. & Moreno-Bedmar, J. A. 2019: *Glaucoceras* gen. nov., a small uncoiled ammonoid from the Tethyan late Hauterivian (Early Cretaceous): evolutionary implications at the dawn of the diversification of heteromorphic lineages. – *Cretaceous Research* **100**, 114–125. https://doi.org/10.1016/j.cretres.2019.02.025

Matsukawa, M. 1987: Early shell morphology of *Karsteniceras* (Ancyloceratid) from the Lower Cretaceous Choshi Group, Japan and its significance to the phylogeny of Cretaceous heteromorph ammonites. – *Transactions and of the Paleontological Society of Japan. New series* **148** (850), 346–359. https://doi.org/10.14825/prpsj1951.1987.148_346

Matsukawa, M. 1988: Barremian ammonites from the Ishido Formation, Japan: Supplements and faunal analysis. – *Transactions and proceedings of the Paleontological Society of Japan. New series* **149** (854), 396–416. https://doi.org/10.14825/prpsj1951.1988.149_396

Matsukawa, M. 2019: Barremian–Aptian (Lower Cretaceous) ammonites from eastern part of the Sanchu Cretaceous, Japan. – *Bulletin of Tokyo Gakugei University, Division of Natural Sciences* **71**, 129–152.

Matsukawa, M. 2022: Barremian–Aptian ammonite biostratigraphy of the Sanchu Cretaceous, Japan. – *Cretaceous Research* **137.** https://doi.org/10.1016/j.cretres.2022.105245

Mutterlose, J., Pauly, S. & Steuber, T. 2009: Temperature controlled deposition of early Cretaceous (Barremian–early Aptian) black shales in an epicontinental sea. – *Palaeogeography, Palaeoclimatology, Palaeoecology* **273(3–4),** 330–345. https://doi.org/10.1016/j.palaeo.2008.04.026

Myczynski, R. 1977: Lower Cretaceous ammonites from Sierra del Rosario (western Cuba). – *Acta Palaeontologica Polonica* **22(2)**, 139–173.

Myczynski, R. & Triff, J. 1986: Los ammonites del Cretácico Inferior de las provincias de Pinar del Río y Matanzas. – *Bulletin of the Polish Academy of Sciences. Earth Sciences* **34(1)**, 113–137.

Nagy, I. Z. 1967: Unterkretazische Cephalopoden aus dem Gerecse–Gebirge I. – *Annales historico–naturales Musei nationalis hungarici* **59**, 53–79.

Obata, I. & Matsukawa, M. 2007: Barremian–Aptian (Early Cretaceous) ammonoids from the Choshi Group, Honshu (Japan). – *Cretaceous Research* **28(3)**, 363–391. https://doi.org/10.1016/j.cretres.2006.06.004

Ooster, W. A. 1860: Catalogue des Cephalopodes fossiles des Alpes suisses. Couches Cretacees. La description et les figures des especes remarquables. Veme Parli: Cephalopodes tentaculiferes, Ammonitides, G. Scaphites, Ancyloceras, Crioceras, Toxoceras, Hamites, Ptychoceras, Baculites, Heteroceras, Turrilites, Anisoceras. – *Nouveaux Mémoires de la Societé Helvétique des Sciences Naturelles* **18**, 1–100, 34 pI.

Price, G., Főzy, I., Janssen, N. M. M. & Pálfy, J. 2011: Late Valanginian–Barremian (Early Cretaceous) palaeotemperatures inferred from belemnite stable isotope and Mg/Ca ratios from Bersek Quarryquarry (Gerecse Mountains, Transdanubian Range, Hungary). – *Palaeogeography Palaeoclimatology Palaeoecology* **305(1–4)**, 1–9. https://doi.org/10.1016/j.palaeo.2011.02.007

Rieber, H. 1977: Eine Ammonitenfauna aus der oberen Maiolica der Breggia–Schlucht (Tessin/Schweiz). – *Eclogae Geologicae Helvetiae* **70(3),** 777–787.

Roman, F. 1938: *Les Ammonites: Jurassiques et Crétacées – Essai de Genera*. – Masson, Paris, 554 p. https://doi.org/10.1086/624841

Royo y Gomez, J. 1945: *Fósiles del Barremiense* **6**, 459–494.

Sarasin, C. & Schöndelmayer, C. 1902: Étude monographique des ammonites du Crétacique inférieur de Chatel-Saint-Denis. 2ème partie. – *Mémoires de la Société Paléontologique Suisses* **29**, 95–195.

Sasvári Á. 2009: *Középső-kréta rövidüléses deformáció és szerkezeti betemetődés a Gerecse területén*. – Kézirat, PhD-dolgozat, ELTE Földrajz–Földtudományi Intézet, Általános és Alkalmazott Földtani Tanszék, 146 p.

Scotese, R. 2014: *Atlas of Early Cretaceous Paleogeographic Maps*, PALEOMAP Atlas for ArcGIS, volume 2, The Cretaceous, Maps 23–31, Mollweide Projection, PALEOMAP Project, Evanston, IL. https://doi.org/10.13140/2.1.4099.4560

Sprovieri, M., Coccioni, R., Lirer, F., Pelosi, N. & Lozar, F. 2006: Orbital tuning of a lower Cretaceous composite record (Maiolica Formation, central Italy). – *Paleoceanography* **21.** https://doi.org/10.1029/2005pa001224

Stahlecker, R. 1935: Neocom auf der Kapverden–Insel Maio. – *Neues Jahrbuch für Geologie und Palaeontologie* **73**, 265–301.

Szives, O., Csontos, L., Bujtor, L. & Főzy, I. 2007: Aptian–Campanian ammonites of Hungary. – *Geologica Hungarica Series Palaeontologica* **57**.

Szives, O., Fodor, L., Fogarasi, A. & Kövér, Sz. 2018: Integrated calcareous nannofossil and ammonite data from the upper Barremian–lower Albian of the northeastern Transdanubian Range (central Hungary): Stratigraphical implications and consequences for dating tectonic events. – *Cretaceous Research* **91**, 229–250. https://doi.org/10.1016/j.cretres.2018.06.005

Szives, O., Moreno-Bedmar, J. A., Aguirre-Urreta, B., Company, M., Frau, C., López-Horgue, M., Pictet, A., Ploch, I., Salazar, C., Barragán, R., Latil J.-L., Lehmann, J., Robert, E. & Reboulet, S. 2023: Report on the 7th International Meeting of the IUGS Lower Cretaceous Ammonite Working Group, the Kilian Group (Warsaw, Poland, 21st August 2022): state of the art on the current Standard Ammonite Zonation of the Western Tethyan Mediterranean Province. – *Cretaceous Research* **153**, https://doi.org/10.1016/j.cretres.2023.105716

Sztanó O. 1990: Durvatörmelékes üledékek gravitációs tömegmozgásai egy gerecsei alsókréta tengeralatti csatornakitöltő konglomerátum példáján. – *Általános Földtani Szemle* **25**, 337–360.

Sztanó O., Császár G. & Fodor L. 2018: Kréta. – In: Budai T. (szerk.): *Magyarázó a Gerecse hegység tájegységi földtani térképéhez (1:50000)*. MBFSz, Budapest, 40–57.

Szűcs, Z. 2004: Early Cretaceous foraminifera fauna from Bersek Hill, Gerecse Mts, Hungary. – In: Kázmér, M. (ed.): *Shallow Tethys 6 Symposium Proceedings, 25–29 August 2003*. *Hantkeniana* **4**, 47–62.

Talbi, R., Amri, A., Boujemaa, A., Gabtni, H., Spiller, R. & Levey, R. 2021: First evidence of the early cretaceous oceanic anoxic events (MBE and OAE1a) in the southern Tethyan margin (NE-Tunisia): biostratigraphy and shale resource system. – *Journal of Petroleum Exploration and Production* **11(4)**, 1559–1575. https://doi.org/10.1007/s13202-021-01126-0

Tari, G. 1994: *Alpine tectonics of the Pannonian Basin*. – Rice University, Houston, Texas, 501 p.

Thieuloy, J. P. 1966: Leptocères berriasiens du massif de la Grande-Chartreuse. – *Géologie Alpine*. *Travaux du Laboratoire de Géologie de la Faculté des Sciences de Grenoble* **42**, 281–295.

Uhlig, V. 1883: Die Cephalopodenfauna der Wernsdorfer Schichten. – *Denkschriften der Kaiserlichen Akademie der Wissenschaften, Wien, Mathematisch–Naturwissenschaftliche Classe* **46**, 127–290 (1–166), 32 pls.

Vašíček, Z. 1972: Ammonoidea of the Těšín-Hradiště Formation (Lower Cretaceous) in the Moravskoslezské Beskydy Mts. – *Rozpravy Ústředního Ústavu Geologického* **38**, 1–104.

Vašíček, Z. 1979: Zwei neue faunistische Fundorte der Unterkreide in der Silesischen Einheit und Zusammenfassung der Revision der von V. Uhlig (1883) beschriebenen Ammoniten. – *Sbornik vědeckých prací Vysoké školy báňské v Ostravě, řada hornicko–geologická* **25**, 119–134.

Vašíček, Z. 1999: Comments on some new occurrences of heteromorph ammonites in the Lower Cretaceous (late Valanginian–early Barremian) of the Eastern Alpine and Western Carpathian systems. – *Scripta Geologica. Special Issue* **3**, 215–227.
Vašíček, Z. 2023: Early Cretaceous ammonite associations in the Western Carpathians (the Moravian–Silesian area and Western Slovakia). – *Acta Musei Moraviae Scientiae Geologicae* **108(1)**, 107–125.
Vašíček, Z. & Hoedemaeker, P. J. 2003a: Small Berriasian, lower Valanginian and Barremian heteromorphic ammonites from the Río Argos succession (Caravaca, southeast Spain). – *Scripta Geologica* **125**, 11–33.
Vašíček, Z. & Hoedemaeker, P. J. 2003b: A new *Karsteniceras* from the Barremian (Lower Cretaceous) of Colombia. – *Scripta Geologica* **125**, 141–143.
Vašíček, Z. & Klajmon, P. 1998: Contribution to the knowledge of some small early Barremian ammonites from the Silesian Unit (Outer Western Carpathians, Czech Republic). – *Věstník Českého Geologického ústavu* **73**, 331–342.
Vašíček, Z. & Wiedmann, J. 1994: The Leptoceratoidinae: small heteromorph ammonites from the Barremian. – *Palaeontology* **37**, 203–239.
Vermeulen, J. 1998: Biohorizons ammonitiques dans le Barrémien du Sud-Est de la France (de la zone à Hugii à la zone à Sartousiana). – *Géologie Alpine* **73** (1997), 99–117.
Westermann, G. E. 1996: Ammonoid life and habitat. – In: Landman, N. H., Tanabe, K. & Davis, R. A. (eds): *Ammonoid paleobiology* (607–707). Boston, MA – Springer US. https://doi.org/10.1007/978–1–4757–9153–2_16
Wiedmann, J. 1969: The heteromorphs and ammonoid extinction. – *Biological Reviews*, **44(4)**, 563–602. https://doi.org/10.1111/j.1469–185x.1969.tb00612.x
Wiedmann, J. 1978: On the significance of ammonite nuclei from sieve residues. – *Annales des Mines et de la géologie, Tunis* **28** (1977), 135–161p.
Wippich, M. G. & Lehmann, J. 2004: Allocrioceras from the Cenomanian (mid-Cretaceous) of the Lebanon and its bearing on the palaeobiological interpretation of heteromorphic ammonites. – *Palaeontology* **47(5)**, 1093–1107. https://doi.org/10.1111/j.0031-0239.2004.00408.x
Wissler, L., Weissert, H., Masse, J. P. & Bulot, L. 2002: Chemostratigraphic correlation of Barremian and lower Aptian ammonite zones and magnetic reversals. – *International Journal of Earth Sciences* **91**, 272–279. https://doi.org/10.1007/s005310100210
Wright, C. W., Callomon, J. H. & Howarth, M. K. 1996: *Part L, Mollusca 4 (Revised), vol. 4, Cretaceous Ammonoidea. Treatise on Invertebrate Paleontolog*y. – The Geological Society of America & The University of Kansas, Boulder, Colorado & Lawrence, Kansas, 362 p. https://doi.org/10.17161/dt.v0i0.5285
Yabe, H., Nagao, T. & Shimizu, S. 1927: Cretaceous Mollusca from the Sanchu-graben in the Kwanto mountainland, Japan. – *Science Reports of the Tohoku Imperial University*, *Sendai, Japan*, *series 2, Geology* **9** (1926), 33–76.
Yilmaz, I. O., Altiner, D., Tekin, U. K. & Ocakoglu, F. 2012: The first record of the "Mid–Barremian" Oceanic Anoxic Event and the Late Hauterivian platform drowning of the Bilecik platform, Sakarya Zone, western Turkey. – *Cretaceous Research* **38**, 16–39. https://doi.org/10.1016/j.cretres.2012.04.010

Manuscript reeceived: 21/12/2023

Plate I – I. tábla

Figure 1. *Leptoceratoides balernaensis* (Rieber, 1977) – INV.2023.12. BHQ; section B; bed 108; Compressissima Zone.
Figure 2. *Leptoceratoides balernaensis* (Rieber, 1977) – INV.2023.382. BHQ; section E; bed 300/40; Moutonianum Zone.
Figure 3. *Leptoceratoides balernaensis* (Rieber, 1977) Holotype (Rieber 1977, Pl. 1, Fig. 1)
Figure 4. *Leptoceratoides balernaensis* (Rieber, 1977) – INV.2023.21. BHQ; section A; bed 21; Moutonianum Zone.

1. ábra. Leptoceratoides balernaensis *(Rieber, 1977) – INV.2023.12. Bersek-hegy; B szelvény; 108. réteg; Compressissima zóna.*
2. ábra. Leptoceratoides balernaensis *(Rieber, 1977) – INV.2023.382. Bersek-hegy; E szelvény; 300/40. réteg; Moutonianum zóna.*
3. ábra. Leptoceratoides balernaensis *(Rieber, 1977) Holotípus (Rieber 1977, pl. 1, fig. 1)*
4. ábra. Leptoceratoides balernaensis *(Rieber, 1977) – INV.2023.21. Bersek-hegy; A szelvény; 21. réteg; Moutonianum zóna.*

Plate II – II. tábla

Figure 1. *Leptoceratoides pumilus* (Uhlig, 1883) – INV.2023.384. BHQ; section E; bed 300/11; Vandenheckii Zone.
Figure 2. *Leptoceratoides pumilus* (Uhlig, 1883) – INV.2023.385. BHQ; section E; bed 300/11; Vandenheckii Zone.
Figure 3. *Leptoceratoides pumilus* (Uhlig, 1883) Lectotype (Vašíček & Wiedmann 1994, pl. 1, fig. 9)
Figure 4. *Leptoceratoides pumilus* (Uhlig, 1883) – K.12647. Sümeg Süt-17; 264.0 m; Barremian?
Figure 5. *Leptoceratoides pumilus* (Uhlig, 1883) – K.12646. Sümeg Süt-17; 262.7 m; Barremian?

1. ábra. Leptoceratoides pumilus *(UHLIG, 1883) – INV.2023.384. Bersek-hegy; E szelvény; 300/11. réteg; Vandenheckii zóna.*
2. ábra. Leptoceratoides pumilus *(UHLIG, 1883) – INV.2023.385. Bersek-hegy; E szelvény; 300/11. réteg; Vandenheckii zóna.*
3. ábra. Leptoceratoides pumilus *(UHLIG, 1883) Lektotípus (VAŠÍČEK & WIEDMANN 1994, pl. 1, fig. 9)*
4. ábra. Leptoceratoides pumilus *(UHLIG, 1883) – K.12647. Sümeg Süt-17; 264,0 m; Barremi?*
5. ábra. Leptoceratoides pumilus *(UHLIG, 1883) – K.12646. Sümeg Süt-17; 262,7 m; Barremi?*

Plate III – III. tábla

Figure 1. *Leptoceratoides pumilus* (UHLIG, 1883) – INV.2023.2. BHQ; section E; bed 300/8; Vandenheckii Zone.
Figure 2. *Leptoceratoides pumilus* (UHLIG, 1883) – INV.2023.3. BHQ; section E; bed 300/11; Vandenheckii Zone.
Figure 3. *Leptoceratoides pumilus* (UHLIG, 1883) – INV.2023.4. BHQ; section E; bed 300/11; Vandenheckii Zone.
Figure 4. *Leptoceratoides pumilus* (UHLIG, 1883) – INV.2023.383. BHQ; section E; bed 300/11; Vandenheckii Zone.
Figure 5. *Leptoceratoides pumilus* (UHLIG, 1883) – INV.2023.30. BHQ; section A; bed 16; Moutonianum Zone.

1. ábra. Leptoceratoides pumilus *(UHLIG, 1883) – INV.2023.2. Bersek-hegy; E szelvény; 300/8. réteg; Vandenheckii zóna.*
2. ábra. Leptoceratoides pumilus *(UHLIG, 1883) – INV.2023.3. Bersek-hegy; E szelvény; 300/11. réteg; Vandenheckii zóna.*
3. ábra. Leptoceratoides pumilus *(UHLIG, 1883) – INV.2023.4. Bersek-hegy; E szelvény; 300/11. réteg; Vandenheckii zóna.*
4. ábra. Leptoceratoides pumilus *(UHLIG, 1883) – INV.2023.383. Bersek-hegy; E szelvény; 300/11. réteg; Vandenheckii zóna.*
5. ábra. Leptoceratoides pumilus *(UHLIG, 1883) – INV.2023.30. Bersek-hegy; A szelvény; 16. réteg; Moutonianum zóna.*

Plate IV – IV. tábla

Figure 1. Mass-occurrence of *Leptoceratoides pumilus* (UHLIG, 1883) from drilling core (Süt-17) – K.12649. 263.6 m; Barremian?
Figure 2. *Leptoceratoides pumilus* (UHLIG, 1883) – INV.2023.401. BHQ; section E; bed 300/11; Vandenheckii Zone.
Figure 3. *Leptoceratoides pumilus* (UHLIG, 1883) – K.12649. Sümeg Süt-17; 263.6 m; Barremian?

1. ábra. Leptoceratoides pumilus *(UHLIG, 1883) tömeges megjelenése a Süt-17 fúrásban – K.12649. 263,6 m; Barremi?*
2. ábra. Leptoceratoides pumilus *(UHLIG, 1883) – INV.2023.401. Bersek-hegy; E szelvény; 300/11. réteg; Vandenheckii zóna.*
3. ábra. Leptoceratoides pumilus *(UHLIG, 1883) – K.12649. Sümeg Süt-17; 263,6 m; Barremi?*

Plate V – V. tábla

Figure 1. *Leptoceratoides pumilus* (UHLIG, 1883) – K.12655. Sümeg Süt-17; 263.6 m; Barremian?
Figure 2. *Leptoceratoides pumilus* (UHLIG, 1883) – K.12639. Sümeg Süt-17; 257.5 m; Barremian?
Figure 3. *Leptoceratoides*? sp. – K.12661. Sümeg Süt-17; 297.4 m; Barremian?

1. ábra. Leptoceratoides pumilus *(UHLIG, 1883) – K.12655. Sümeg Süt-17; 263,6 m; Barremi?*
2. ábra. Leptoceratoides pumilus *(UHLIG, 1883) – K.12639. Sümeg Süt-17; 257,5 m; Barremi?*
3. ábra. Leptoceratoides*? sp. – K.12661. Sümeg Süt-17; 297,4 m; Barremi?*

Plate VI – VI. tábla

Figure 1. *Karsteniceras ibericum* VAŠÍČEK & WIEDMANN, 1994 – INV.2023.22. BHQ; section E; bed 300/40; Moutonianum Zone.
Figure 2. *Karsteniceras ibericum* VAŠÍČEK & WIEDMANN, 1994 (ETAYO-SERNA 1968, pl. 1, figs 1, 2, 3)
Figure 3. *Karsteniceras ibericum* VAŠÍČEK & WIEDMANN, 1994 – INV.2023.6. BHQ; section A; bed 8; Vandenheckii Zone.

1. ábra. Karsteniceras ibericum *VAŠÍČEK & WIEDMANN, 1994 – INV.2023.22. Bersek-hegy; E szelvény; 300/40. réteg; Moutonianum zóna.*
2. ábra. Karsteniceras ibericum *VAŠÍČEK & WIEDMANN, 1994 (ETAYO-SERNA 1968, pl. 1, figs 1, 2, 3)*
3. ábra. Karsteniceras ibericum *VAŠÍČEK & WIEDMANN, 1994 – INV.2023.6. Bersek-hegy; A szelvény; 8. réteg; Vandenheckii zóna.*

Plate VII – VII. tábla

Figure 1. *Karsteniceras ibericum* VAŠÍČEK & WIEDMANN, 1994 – INV.2023.7. BHQ; section A; bed 8; Vandenheckii Zone.
Figure 2. *Karsteniceras ibericum* VAŠÍČEK & WIEDMANN, 1994 – INV.2023.24. BHQ; section A; bed 7; Vandenheckii Zone.
Figure 3. *Karsteniceras ibericum* VAŠÍČEK & WIEDMANN, 1994 – INV.2023.28. BHQ; section E; bed 300/15; Vandenheckii Zone.

1. ábra. Karsteniceras ibericum *VAŠÍČEK & WIEDMANN, 1994 – INV.2023.7. Bersek-hegy; A szelvény; 8. réteg; Vandenheckii zóna.*
2. ábra. Karsteniceras ibericum *VAŠÍČEK & WIEDMANN, 1994 – INV.2023.24. Bersek-hegy; A szelvény; 7. réteg; Vandenheckii zóna.*
3. ábra. Karsteniceras ibericum *VAŠÍČEK & WIEDMANN, 1994 – INV.2023.28. Bersek-hegy; E szelvény; 300/15. réteg; Vandenheckii zóna.*

Plate VIII – VIII. tábla

Figure 1. *Karsteniceras ibericum* Vašíček & Wiedmann, 1994 – INV.2023.5. BHQ; section A; bed 8; Vandenheckii Zone.
Figure 2. *Karsteniceras ibericum* Vašíček & Wiedmann, 1994 – INV.2023.17. BHQ; section A; bed 25; Moutonianum Zone.
Figure 3. *Karsteniceras ibericum* Vašíček & Wiedmann, 1994 – INV.2023.25. BHQ; section E; bed 300/15; Vandenheckii Zone.

1. ábra. Karsteniceras ibericum *Vašíček & Wiedmann, 1994 – INV.2023.5. Bersek-hegy; A szelvény; 8. réteg; Vandenheckii zóna.*
2. ábra. Karsteniceras ibericum *Vašíček & Wiedmann, 1994 – INV.2023.17. Bersek-hegy; A szelvény; 25. réteg; Moutonianum zóna.*
3. ábra. Karsteniceras ibericum *Vašíček & Wiedmann, 1994 – INV.2023.25. Bersek-hegy; E szelvény; 300/15. réteg; Vandenheckii zóna.*

Plate IX – IX. tábla

Figure 1. *Karsteniceras ibericum* Vašíček & Wiedmann, 1994 – INV.2023.8. BHQ; section E; bed 300/35; Moutonianum Zone.
Figure 2. *Karsteniceras ibericum* Vašíček & Wiedmann, 1994 – INV.2023.9. BHQ; section A; bed 16; Moutonianum Zone.
Figure 3. *Karsteniceras ibericum* Vašíček & Wiedmann, 1994 – INV.2023.11. BHQ; section B; bed 108; Compressissima Zone.
Figure 4. *Karsteniceras ibericum* Vašíček & Wiedmann, 1994 – INV.2023.13. BHQ; section B; bed 114; Compressissima Zone.

1. ábra. Karsteniceras ibericum *Vašíček & Wiedmann, 1994 – INV.2023.8. Bersek-hegy; E szelvény; 300/35. réteg; Moutonianum zóna.*
2. ábra. Karsteniceras ibericum *Vašíček & Wiedmann, 1994 – INV.2023.9. Bersek-hegy; A szelvény; 16. réteg; Moutonianum zóna.*
3. ábra. Karsteniceras ibericum *Vašíček & Wiedmann, 1994 – INV.2023.11. Bersek-hegy; B szelvény; 108. réteg; Compressissima zóna.*
4. ábra. Karsteniceras ibericum *Vašíček & Wiedmann, 1994 – INV.2023.13. Bersek-hegy; B szelvény; 114. réteg; Compressissima zóna.*

Plate X – X. tábla

Figure 1. *Karsteniceras ibericum* Vašíček & Wiedmann, 1994 – INV.2023.14. BHQ; section B; bed 126; Compressissima Zone.
Figure 2. *Karsteniceras ibericum* Vašíček & Wiedmann, 1994 – INV.2023.15. BHQ; section B; bed 116; Vandenheckii Zone.
Figure 3. *Karsteniceras ibericum* Vašíček & Wiedmann, 1994 – INV.2023.20. BHQ; section A; bed 17; Moutonianum Zone.
Figure 4. *Karsteniceras ibericum* Vašíček & Wiedmann, 1994 – INV.2023.18. BHQ; section A; bed 25; Moutonianum Zone.
Figure 5. *Karsteniceras ibericum* Vašíček & Wiedmann, 1994 – INV.2023.400. BHQ; section A; bed 16; Moutonianum Zone.

1. ábra. Karsteniceras ibericum *Vašíček & Wiedmann, 1994 – INV.2023.14. Bersek-hegy; B szelvény; 126. réteg; Compressissima zóna.*
2. ábra. Karsteniceras ibericum *Vašíček & Wiedmann, 1994 – INV.2023.15. Bersek-hegy; B szelvény; 116. réteg; Vandenheckii zóna.*
3. ábra. Karsteniceras ibericum *Vašíček & Wiedmann, 1994 – INV.2023.20. Bersek-hegy; A szelvény; 17. réteg; Moutonianum zóna.*
4. ábra. Karsteniceras ibericum *Vašíček & Wiedmann, 1994 – INV.2023.18. Bersek-hegy; A szelvény; 25. réteg; Moutonianum zóna.*
5. ábra. Karsteniceras ibericum *Vašíček & Wiedmann, 1994 – INV.2023.400. Bersek-hegy; A szelvény; 16. réteg; Moutonianum zóna.*

Plate XI – XI. tábla

Figure 1. *Karsteniceras ibericum* Vašíček & Wiedmann, 1994 – INV.2023.29. BHQ; section B; bed 111; Compressissima Zone.
Figure 2. *Karsteniceras ibericum* Vašíček & Wiedmann, 1994 – INV.2023.381. BHQ; section E; bed 300/11; Vandenheckii Zone.
Figure 3. *Karsteniceras ibericum* Vašíček & Wiedmann, 1994 – INV.2023.23. BHQ; section A; bed 12; Moutonianum Zone.
Figure 4. *Leptoceratoides pumilus* (Uhlig, 1883) – INV.2023.401. BHQ; section E; bed 300/11; Vandenheckii Zone.

1. ábra. Karsteniceras ibericum *Vašíček & Wiedmann, 1994 – INV.2023.29. Bersek-hegy; B szelvény; 111. réteg; Compressissima zóna.*
2. ábra. Karsteniceras ibericum *Vašíček & Wiedmann, 1994 – INV.2023.381. Bersek-hegy; E szelvény; 300/11. réteg; Vandenheckii zóna.*
3. ábra. Karsteniceras ibericum *Vašíček & Wiedmann, 1994 – INV.2023.23. Bersek-hegy; A szelvény; 12. réteg; Moutonianum zóna.*
4. ábra. Leptoceratoides pumilus *(Uhlig, 1883) – INV.2023.401. Bersek-hegy; E szelvény; 300/11. réteg; Vandenheckii zóna.*

Plate XII – XII. tábla

Figure 1. *Karsteniceras* sp. 1 – INV.2023.10. BHQ; section A; bed 16; Moutonianum Zone.
Figure 2. *Karsteniceras* sp. 1 – INV.2023.16. BHQ; section A; bed 35; Moutonianum Zone.
Figure 3. *Karsteniceras* sp. 1 – INV.2023.27. BHQ; section E; bed 300/15; Vandenheckii Zone.
Figure 4. *Karsteniceras* sp. 2 – INV.2023.26. BHQ; section E; bed 300/15; Vandenheckii Zone.

1. ábra. Karsteniceras *sp. 1 – INV.2023.10. Bersek-hegy; A szelvény; 16. réteg; Moutonianum zóna.*
2. ábra. Karsteniceras *sp. 1 – INV.2023.16. Bersek-hegy; A szelvény; 35. réteg; Moutonianum zóna.*
3. ábra. Karsteniceras *sp. 1 – INV.2023.27. Bersek-hegy; E szelvény; 300/15. réteg; Vandenheckii zóna.*
4. ábra. Karsteniceras *sp. 2 – INV.2023.26. Bersek-hegy; E szelvény; 300/15. réteg; Vandenheckii zóna.*

Plate I – I. tábla

1a

1b

2a

1.5 cm

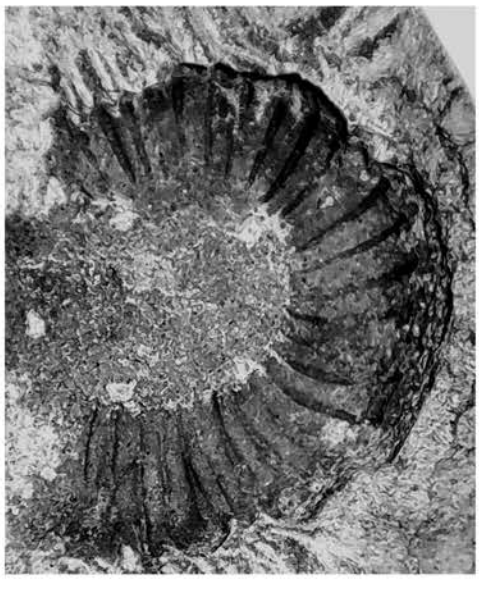

2b

3

1 cm

1 cm

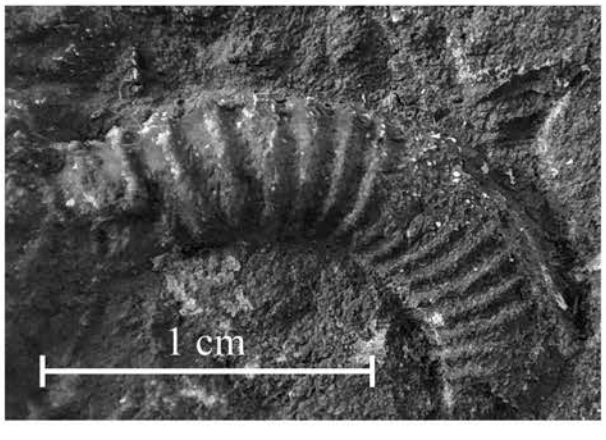

1 cm

4a

4b

Plate II – II. tábla

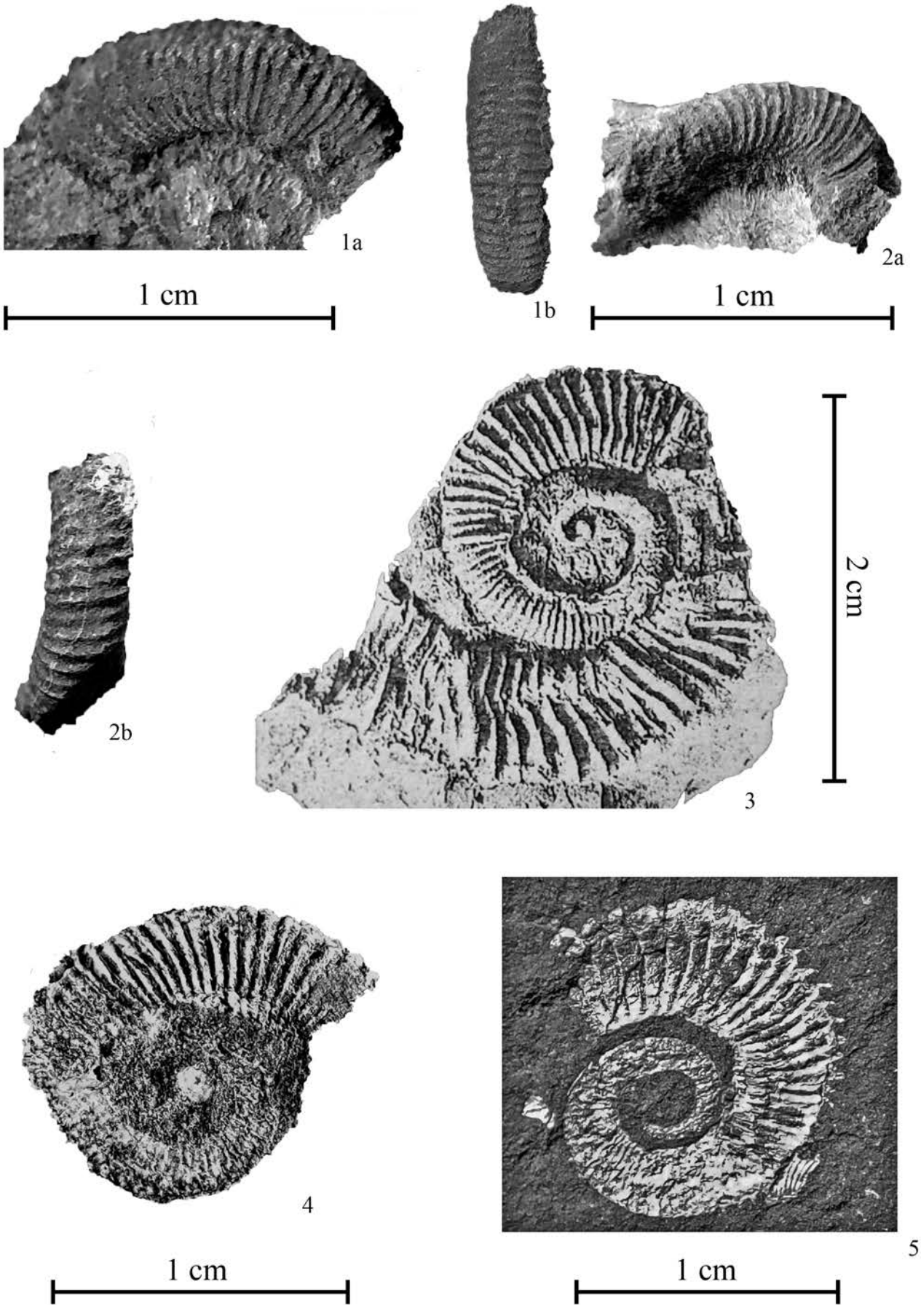

Plate III – III. tábla

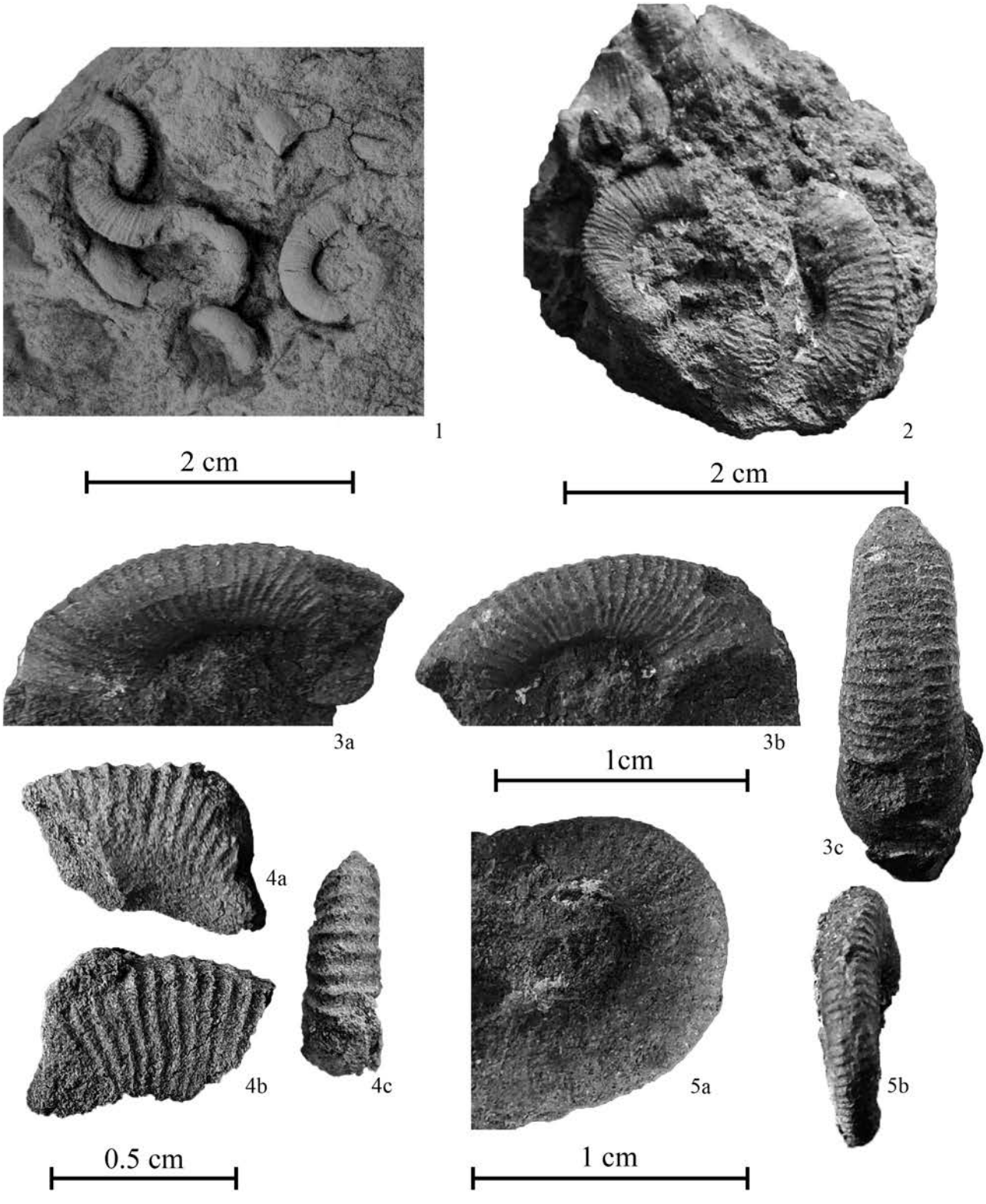

Plate IV – IV. tábla

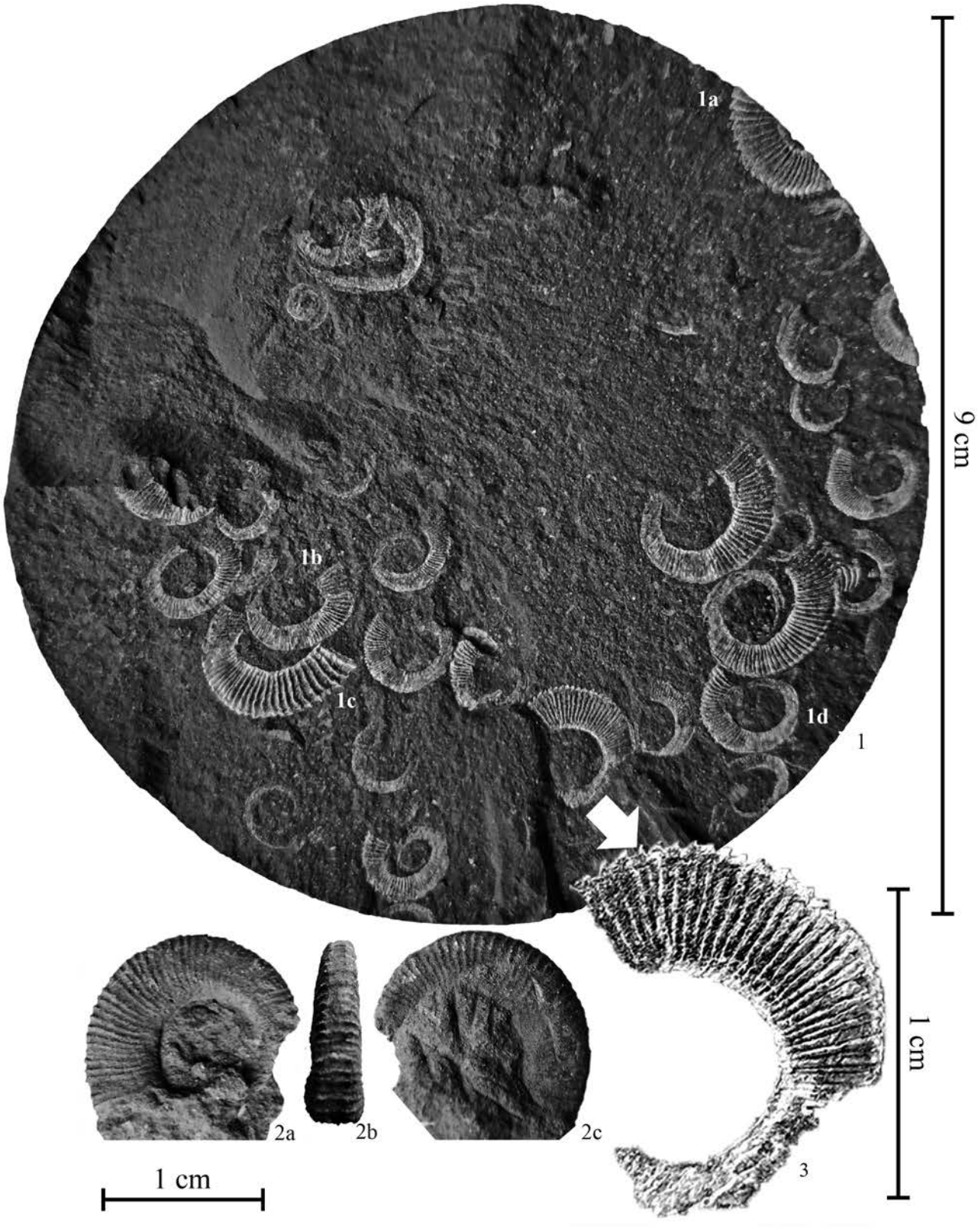

Plate V – V. tábla

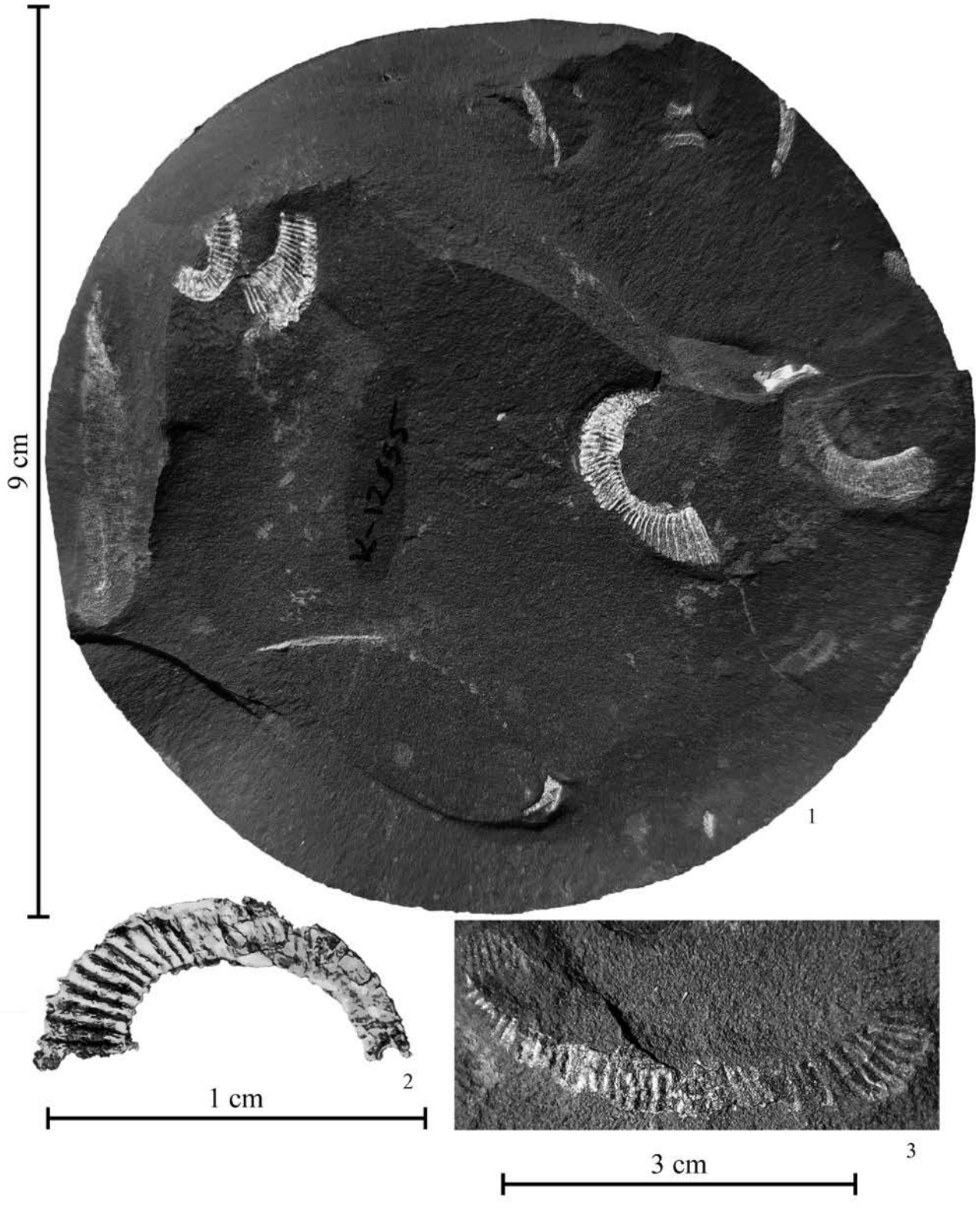

Plate VI – VI. tábla

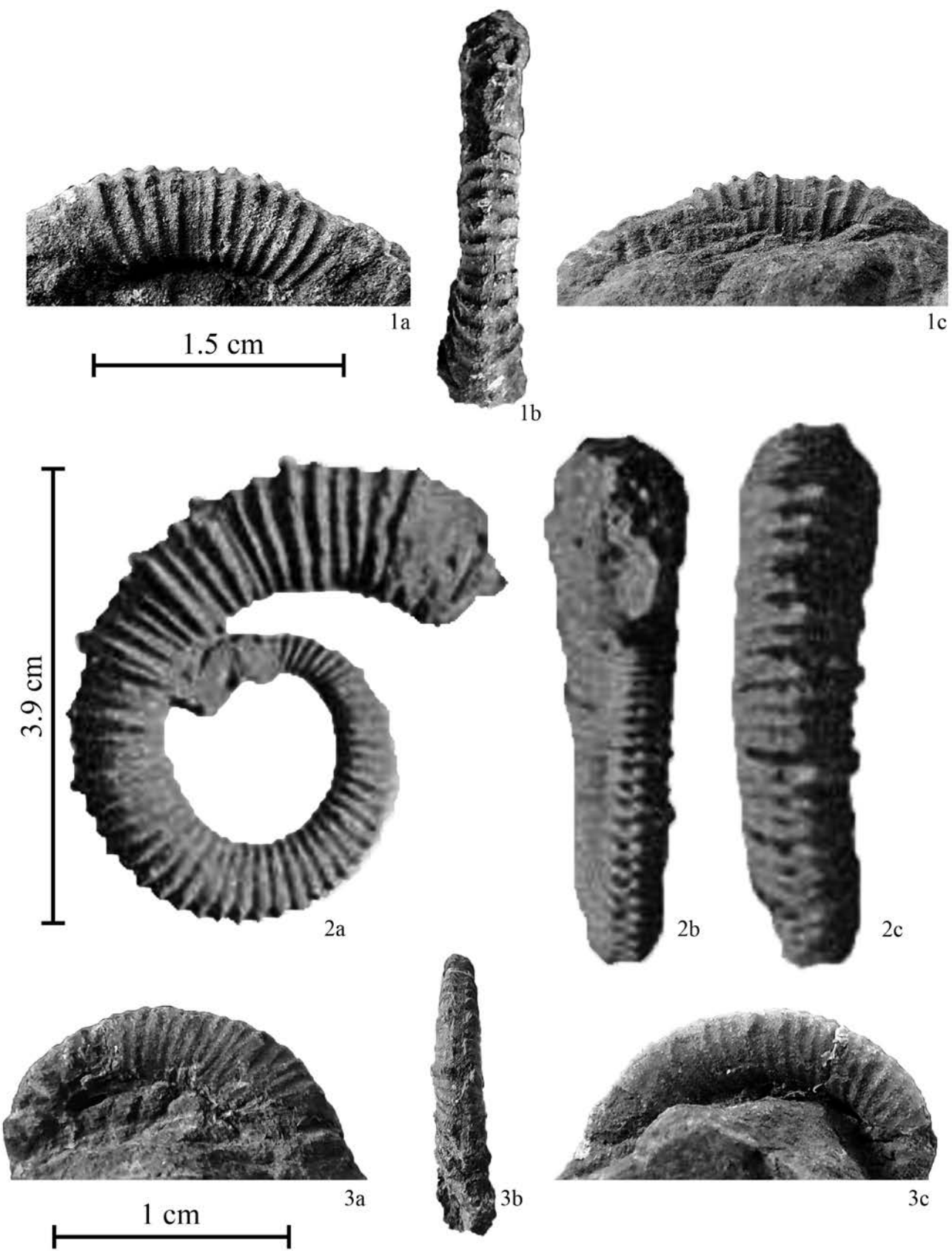

Plate VII – VII. tábla

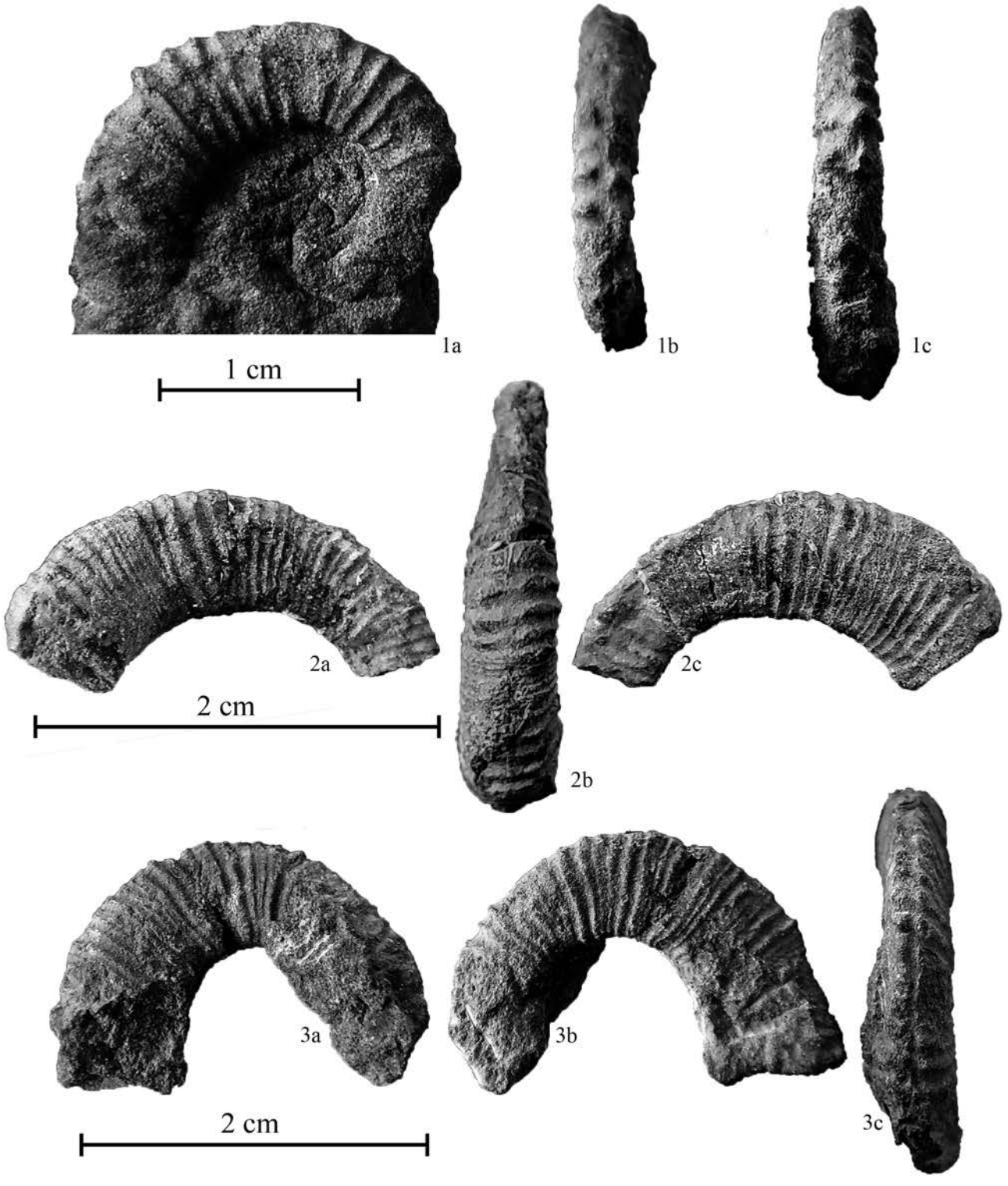

Plate VIII – VIII. tábla

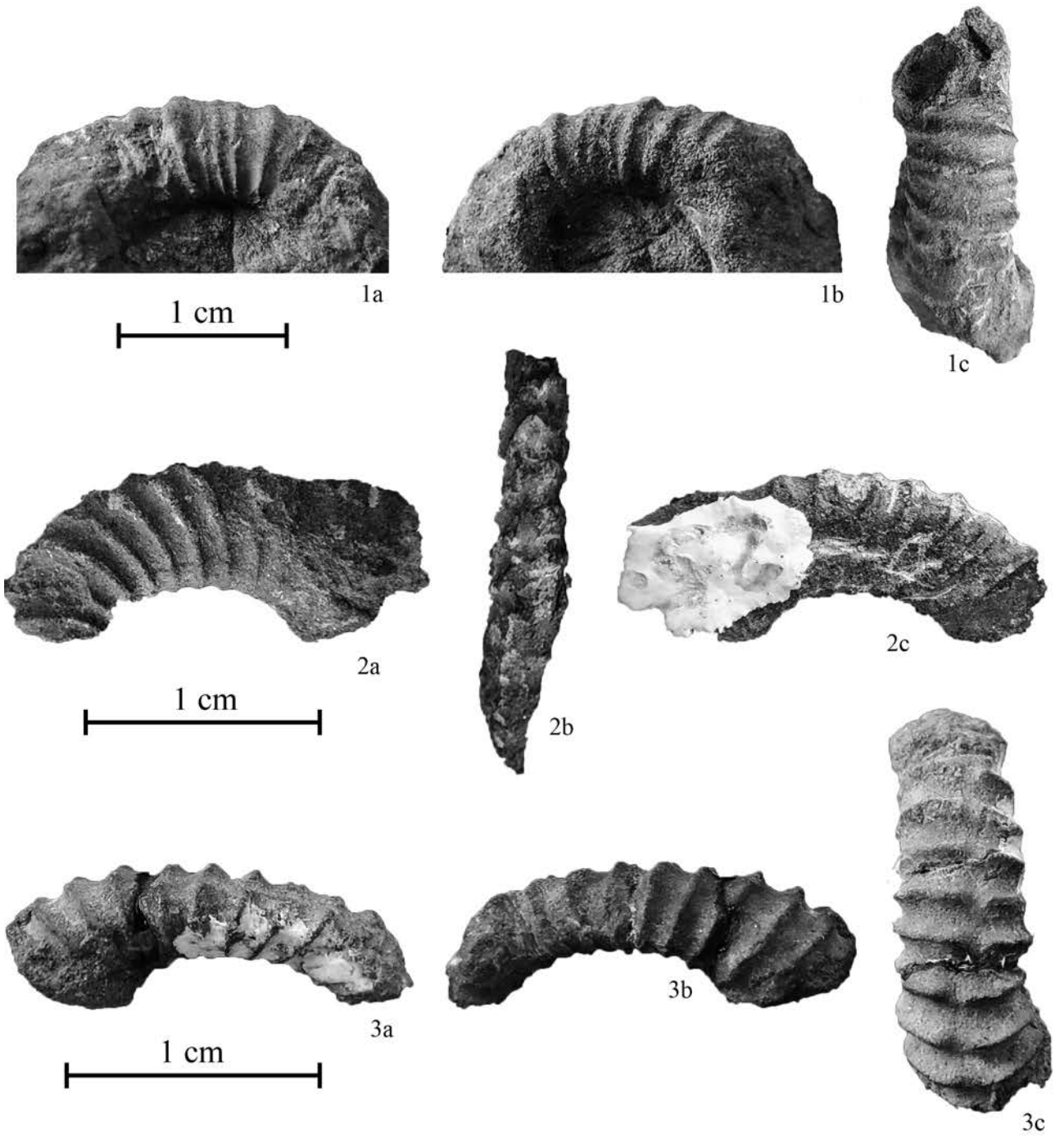

Plate IX – IX. tábla

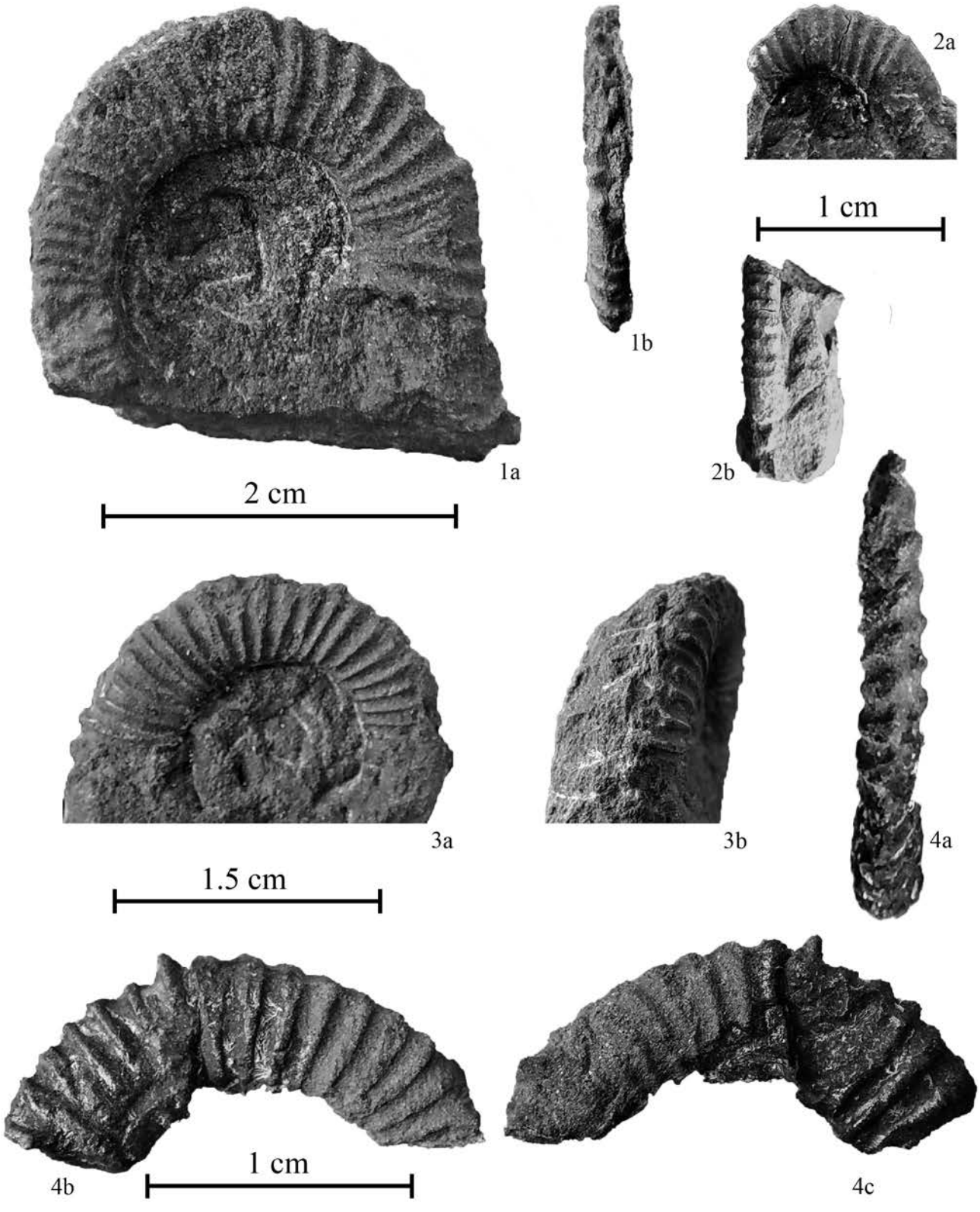

Plate X – X. tábla

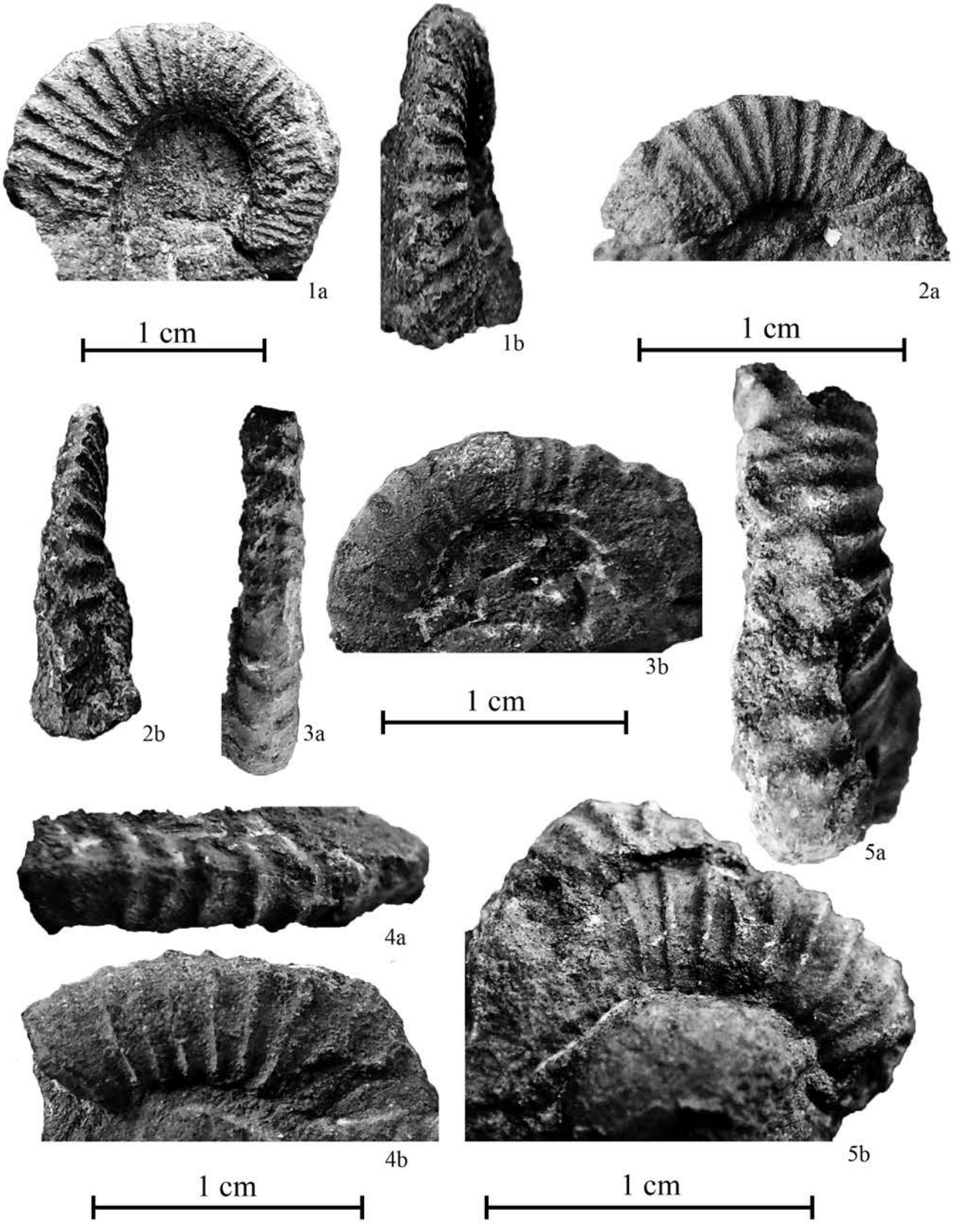

Plate XI – XI. tábla

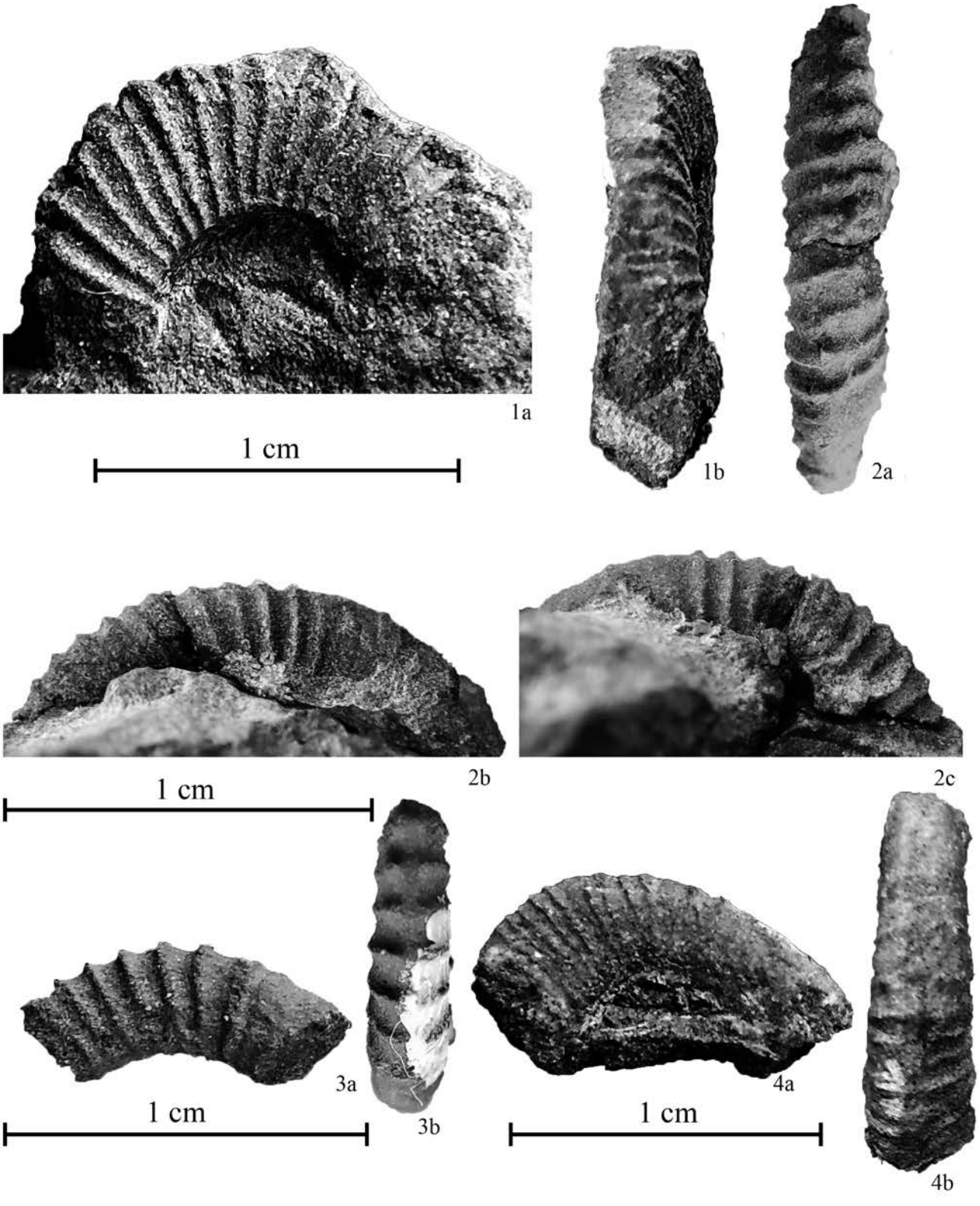

Plate XII – XII. tábla

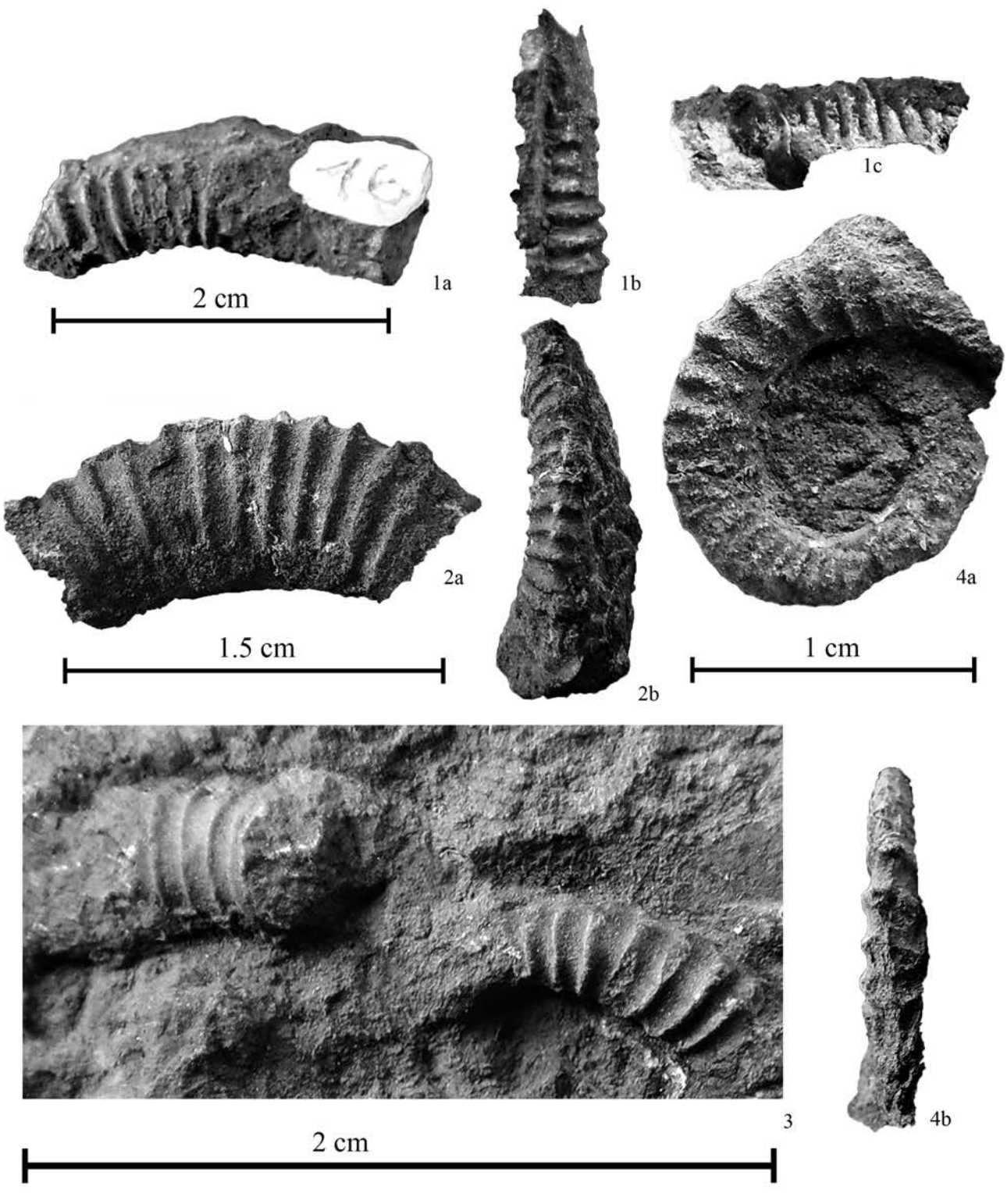

Magyarhoni Földtani Társulat
Földtani Közlöny
Hungarian Geological Society

154/2, 239–256., Budapest, 2024

DOI: 10.23928/foldt.kozl.2024.154.2.239

Triász medence-geometria és fáciesváltozások hatása a Balaton-felvidék és a Veszprémi-fennsík eoalpi szerkezetalakulására

HÉJA Gábor[1]*, BUDAI Tamás[2], CSICSEK Ádám[3,4]

[1]SzTFH Földtani Szolgálat
[2]Pécsi Tudományegyetem, Földtani és Meteorológiai Tanszék
[3]Department of Earth Science and Engineering, Imperial College London, London, UK
[4]ELTE Általános és Alkalmazott Földtani Tanszék
*hejagabor@hotmail.com

The effect of Triassic basin geometry and lateral facies changes on the Eoalpine deformation of the Balaton Highland and the Veszprém Plateau (Transdanubian Range, Hungary)

Abstract

In this study, we describe the influence of the Triassic basin geometry and structural inheritance in the evolution of the Balaton Highland and the Veszprém Plateau during the Cretaceous Eoalpine compression. Palaeozoic and Triassic sediments of the study area are subdivided into tectonostratigraphic groups based on their rheological properties. A new simplified geological map of the Balaton Highland and Veszprém Plateau area was constructed. We briefly analyse the major Cretaceous compressional structures (e.g., the Litér thrust) based on our geological map and previous studies/literature review. The most significant lateral changes in competency occur within the Middle Anisian and Carnian sequences. The Middle Anisian and Lower Carnian geometries of the basin and the approximate palinspastic position of the basin and platform facies zones are also reconstructed.

Based on our interpretation, the ramp of the southwestern part of the Litér thrust was localised by the Carnian platform–basin transition. We argue that the lateral ramp between the two segments of the Litér thrust was localized by the zone of Middle Triassic platform–basin transition. In contrast, along the northeastern segment of the Liter thrust, Triassic facies boundaries were crosscut by the straight thrust fault without any significant change in its orientation.

Our model is in accordance with several analogue models, and natural examples worldwide: the related studies emphasize the fundamental role of pre-existing basin geometry in the development of the subsequent folding and thrusting. This study shows that the Balaton Highland is no exception.

Keywords: rheology, structural inheritance, pre-folding basin geometry, fold and thrust belts, Balaton Highland, Veszprém Plateau

Összefoglalás

Munkánkban a triász medence-geometria kréta gyűrődésre gyakorolt hatását vizsgáltuk a Balaton-felvidék és a Veszprémi-fennsík területén. A terület paleozoos és triász formációit reológiai alapon csoportokba rendeztük, és ezeket a terület földtani térképén ábrázoltuk. A dolgozatban röviden jellemeztük a Balaton-felvidék és a Veszprémi-fennsík legfontosabb kréta kompressziós szerkezeteit (pl. Litéri-rátolódás) az általunk szerkesztett földtani térkép elemzése, valamint a korábbi szerzők munkái alapján. A földtani térkép alapján vázlatosan körvonalaztuk a triász medence geometriáját, melyben a legjelentősebb laterális fáciesváltások a középső anisusi és a karni képződmények esetében jelentkeznek.

Kimutattuk, hogy a Litéri-rátolódás délnyugati szegmensét a karni platform–medence átmenete lokalizálta. Értelmezésünk szerint a Litéri-rátolódás két szegmensét összekötő laterális rámpa (harántszerkezet) a középső triász Felsőörsi-medence területén jött létre, a medencét délnyugatról határoló platformperemmel párhuzamosan. Ezzel szemben a Litéri-rátolódás északkeleti szegmense csapásváltás nélkül metszi a Felsőörsi-medence északkeleti peremét.

A vizsgálati területre kidolgozott modellünk jól összeegyeztethető a téma nemzetközi irodalmával, mely alapján elmondható, hogy a gyűrődést megelőzően kialakult medence-geometria alapjaiban határozza meg a gyűrt–pikkelyes övek felépítését.

Kulcsszavak: reológia, szerkezeti átöröklés, gyűrődés előtti medence-geometria, gyűrt–pikkelyes övek, Balaton-felvidék, Veszprémi-fennsík

Bevezetés

Az utóbbi években számos kutatás mutatta ki világszerte, hogy a gyűrődést megelőző medence-geometria, valamint a kapcsolódó oldalirányú fáciesváltozások kulcsfontosságú szerepet töltenek be a gyűrt–pikkelyes övek szerkezeti felépítésében. A rátolódások lefutása (*ramp localization*) gyakran a gyűrődést szenvedett rétegsorban megjelenő laterális fáciesváltozásokat követi. A gyűrt–pikkelyes övekben megjelenő inhomogenitások, például a harántirányú szerkezetek (*oblique and lateral ramps, tear-faults*), valamint a háttér felé vergáló rátolódások (*backthrusts*) kialakulása gyakran a gyűrődés előtti medencegeometriát leképező laterális fáciesváltozásokra (LUJÁN et al. 2003, LIVANI et al. 2018, VIDAL-ROYO et al. 2009), illetve a gyűrődés előtti medencét kialakító normálvetők reaktivációjára vezethetőek vissza (DE VICENTE 2009, USTASZEWSKI & SCHMID 2006, SAĎD et al. 2011, PEDRERA et al. 2020, HÉJA et al. 2022).

A Balaton-felvidék és a Veszprémi-fennsík a Dunántúli-középhegységi-egység szinklinális szerkezetének a DK-i szárnyát alkotja (*1. ábra*, Bakonyi-szinklinális), ahol a szerkezeti egység paleozoos és triász képződményei bukkannak felszínre. A Balaton-felvidéket DK-ről a Velencei-antiklinális – magjában paleozoos képződményekkel – és az azt kísérő Balaton-vonal határolja (*1. ábra*). A szinklinális szerkezetet létrehozó középső kréta kompresszió hatására a szárnyakon gyűrődések és rátolódások alakultak ki, amelyek közül a legjelentősebbek a KÉK–NyDNy-i csapású (hosszanti) rátolódások. A hosszanti csapású szerkezetek mellett azonban ÉNy–DK csapású kompressziós harántszerkezetek is megjelennek.

A Balaton-felvidék és a Veszprémi-fennsík földtani felépítését meghatározó triász rendszeren belül jelentős mértékű vertikális és laterális fáciesváltások tapasztalhatóak (*2. ábra*). A vertikális fáciesváltások szerepét a Balaton-felvidék szerkezetalakulásában már LACZKÓ (1911: 31), később ifj. LÓCZY (1917), SZENTES (1949, 1961), DUDKO (1991, 1996) és mások is hangsúlyozták, megállapítva, hogy a rétegsor inkompetens képződményei jobban hajlamosak a gyűrődésre, mint a kompetens képződmények. A laterális fáciesváltásoknak a hatását a Balaton-felvidék gyűrt szerkezetének kialakulásában azonban eddig alig vizsgálták részleteiben (FODOR et al. 2017), annak ellenére, hogy a középső és a felső triász sorozaton belül az egymással heteropikus medence- és platformkifejlődésű kőzettestek egymástól lényegesen eltérő kompetenciával rendelkeznek. Jelen munkánkban összevetettük a Balaton-felvidék és a Veszprémi-fennsík térképi léptékű kompressziós szerkezeteinek lefutását, valamint a középső és késő triász medence geometriáját. Elemzésünk alapján úgy találtuk, hogy az eoalpi rátolódások geometriájára jelentős hatással volt a triász medencék és platformok morfológiája.

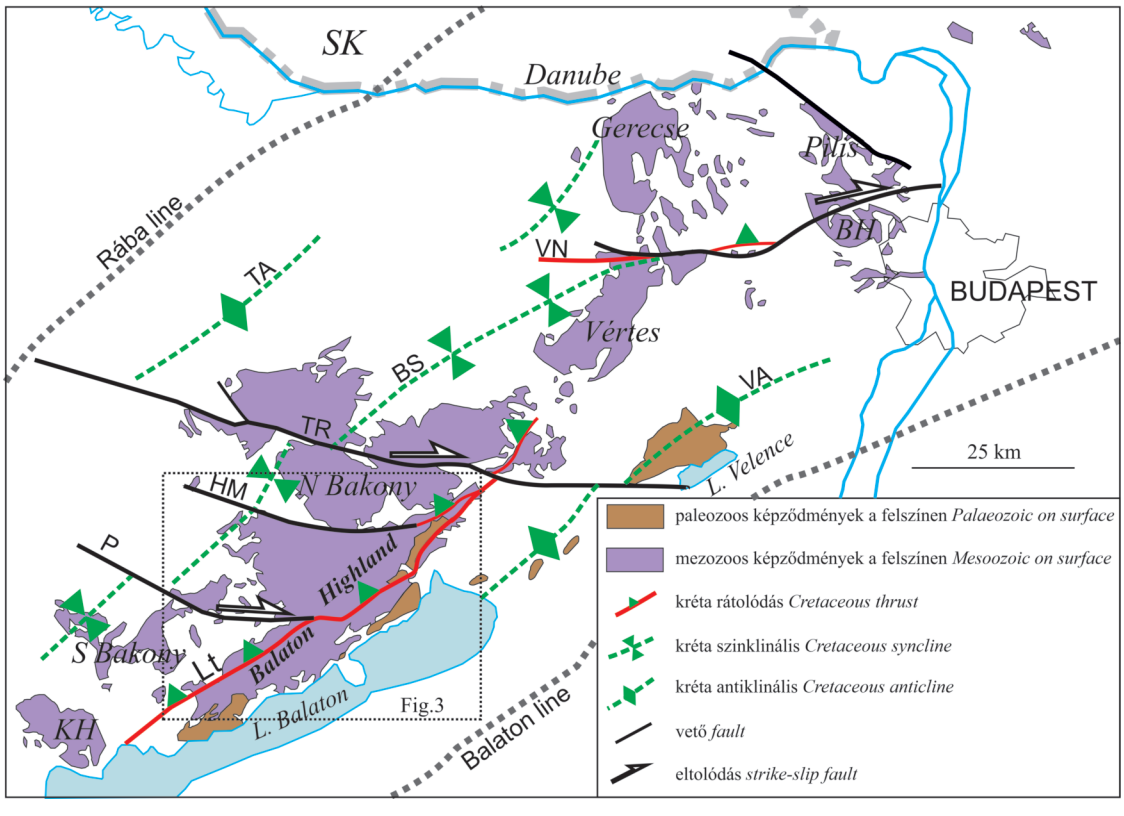

1. ábra. A Dunántúli-középhegységi-egység szerkezeti vázlata (FODOR et al. 2005 alapján, módosítva), a 3. ábra prekainozoos térképének helyzetével. BH – Budai-hegység; BS – Bakonyi-szinklinális; KH – Keszthelyi-hegység. HM – Herend–márkói-szerkezet; Lt – Litéri-rátolódás; P – Padragi-szerkezet; TA – Téti-antiklinális; TR – Telegdi-Roth-szerkezet; VA – Velencei-antiklinális; VN – Vértessomló–nagykovácsi-szekezet

Figure 1. *Structural sketch of the Transdanubian Range Unit (after FODOR et al. 2005, modified) showing the position of the Pre-cenozoic map of Fig. 3. BH – Buda Hills; BS – Bakony syncline; KH – Keszthely Hills; HM – Herend–Márkó structure; Lt – Litér thrust; P – Padrag structure; TA – Tét anticline; TR – Telegdi-Roth structure; VA – Velence anticline; VN – Vértessomló–Nagykovácsi structure*

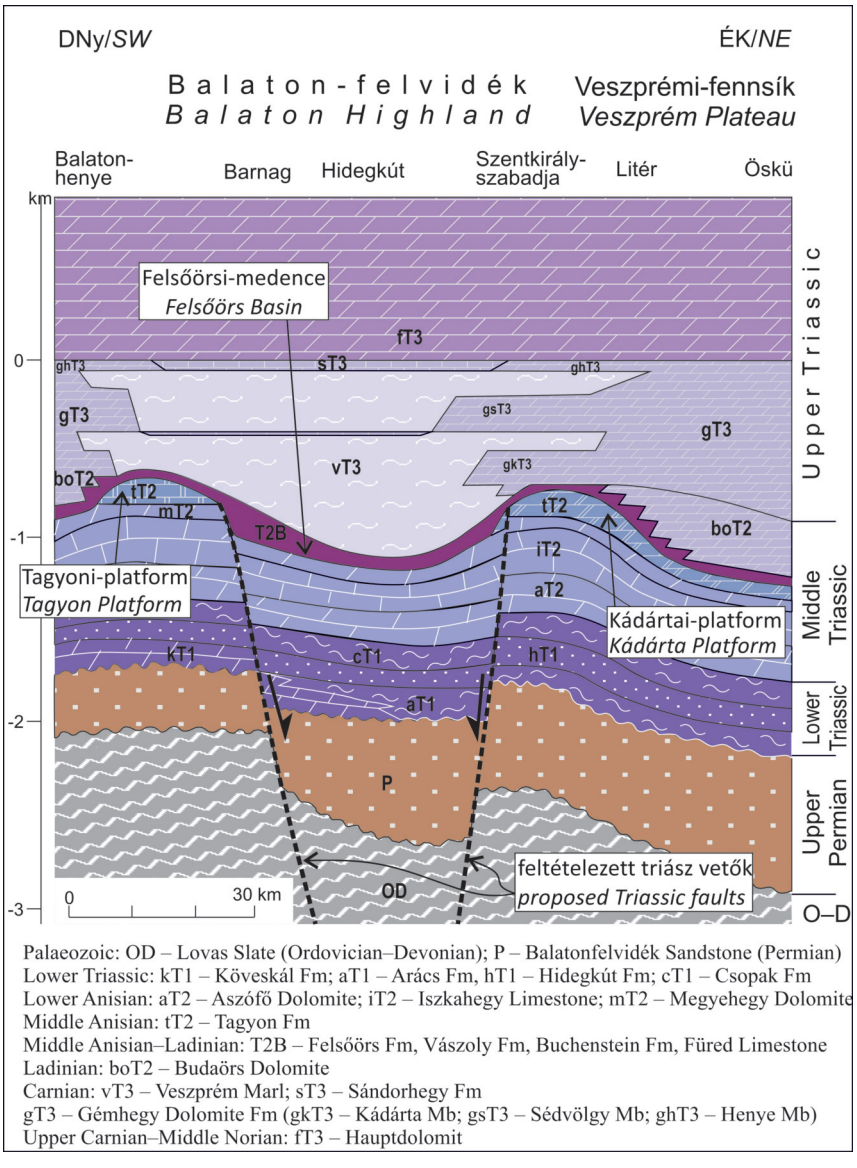

Palaeozoic: OD – Lovas Slate (Ordovician–Devonian); P – Balatonfelvidék Sandstone (Permian)
Lower Triassic: kT1 – Köveskál Fm; aT1 – Arács Fm, hT1 – Hidegkút Fm; cT1 – Csopak Fm
Lower Anisian: aT2 – Aszófő Dolomite; iT2 – Iszkahegy Limestone; mT2 – Megyehegy Dolomite
Middle Anisian: tT2 – Tagyon Fm
Middle Anisian–Ladinian: T2B – Felsőörs Fm, Vászoly Fm, Buchenstein Fm, Füred Limestone
Ladinian: boT2 – Budaörs Dolomite
Carnian: vT3 – Veszprém Marl; sT3 – Sándorhegy Fm
gT3 – Gémhegy Dolomite Fm (gkT3 – Kádárta Mb; gsT3 – Sédvölgy Mb; ghT3 – Henye Mb)
Upper Carnian–Middle Norian: fT3 – Hauptdolomit

2. ábra. A Balaton-felvidék és a Veszprémi-fennsík prekainozoos képződményeinek vastagságarányos ábrázolása a Fődolomit talpához viszonyítva Balatonhenye (DNy) és Öskü (ÉK) között (Haas & Budai 1995 nyomán, módosítva).

Figure 2. *Pre-Cenozoic units of the Balaton Highland and the Veszrém Plateau between Balatonhenye (SW) and Öskü (NE) represented in thickness ratio relative to the base of the Hauptdolomit (after Haas & Budai 1995).*

Földtani felépítés

A Balaton-felvidék és a Veszprémi-fennsík variszkuszi aljzatát erősen gyűrt anchimetamorf agyagpala (Lovasi Formáció) és abban települő metavulkanitok inkompetens sorozata alkotja (*2–3. ábra*: OD). Erre jelentős üledékhézaggal települ a több száz méter vastag szárazföldi, felső perm kompetens homokkő (Balatonfelvidéki Homokkő, *2–3. ábra*: P). A sekélytengeri sziliciklasztitokból és karbonátokból felépülő, mintegy 300-400 m vastag, alsó triász rétegsort (Budai et al. 1999b) vékonyrétegzett–lemezes, inkompetens kőzettestek alkotják (Arácsi Márga, Zánkai Homokkő, Hidegkúti Dolomit, Csopaki Márga, *3. ábra*: T1).

Az alsó triász „werfeni csoport” fölött következő, 500–600 méter vastagságot is elérő, jól rétegzett, többnyire vékonyréteges, sekélytengeri, alsó anisusi karbonátok (Aszófői Dolomit, Iszkahegyi Mészkő, *3. ábra*: T2a) gyűrődésre hajlamos, inkompetens sorozatot alkotnak a Balaton-felvidék és a Veszprémi-fennsík teljes csapásában (*4. A ábra*).

A terület triász rétegsorában az első jelentős laterális fáciesváltozás a középső anisusi (pelsoi) alemeletben jelentkezik, és szerkezeti okokra vezethető vissza (Budai & Vörös 2006). A középső anisusi extenziós árkokban és félárkokban a medencekifejlődésű Felsőörsi Mészkő rakódott le, míg a normálvetők által kontrolált magaslatokon a Felsőörsi Formációval részben heteropikus, sekélytengeri Tagyoni Formáció képződött (Budai et al. 1993, 1999b; Budai & Haas 1997; Budai & Vörös 2006). A Tagyoni Formáció (*3. ábra*: tT2) jelentős mértékben dolomitosodott, akár a 100-150 m vastagságot is elérő, ciklusos platformkarbonátja (Haas et al. 2014) kompetens kőzettestként viselkedik, míg a jól rétegzett Felsőörsi Mészkő és a fölötte települő, felső anisusi (illyr), ladin és legalsó karni képződmények (Vászolyi F., Buchensteini F. és Füredi Mészkő, *3. ábra*: T2l) inkompetens sorozatot alkotnak (*4. B ábra*). Itt meg kell jegyeznünk, hogy az alsó anisusi Megyehegyi Dolomit és a középső anisusi Tagyoni F. dolomitosodott kifejlődése a legutóbb publikált földtani térképeken sem került külön ábrázolásra (Budai et al. 1999a, 2000) annak ellenére, hogy több megelőző publikációban is megfogalmazódott a mészkő–dolomit litológia alárendelt jelentősége a két képződmény litosztratigráfiai elkülönítésében (Budai et al. 1993, 1999b; Budai & Haas 1997; Vörös et al. 1997). Az általunk bemutatott prekainozoos térképen (*3. ábra*) a Megyehegyi Dolomit különösebb szedimentológiai bélyegeket nélkülöző, szubtidális karbonátrámpa rétegsorát összevontuk a feküjében lévő, rokon kifejlődésű, alsó anisusi sekélytengeri karbonátokkal (*3. ábra*: T2a), és így elkülönítettük a középső anisusi Tagyoni F. (*3. ábra*: tT2) jellemzően lofer-ciklusos, platformkarbonát kifejlődésétől azokon a területeken is, ahol az utóbbi nem mészkő, hanem dolomit litológiájú. Az elkülönítést a két képződmény közötti eltérő kompetencia is indokolja, ugyanis a vékonyrétegzett, bitumenes, szűkebb értelemben vett Megyehegyi Dolomit kevésbé viselkedik ridegen a Tagyoni Formációt alkotó pados–vastagpados platformkarbonáthoz képest. A Tagyoni F. elterjedése a Balaton-felvidéken a Litéri-rátolódástól D-re lévő pikkely középső – Szentantalfa és Aszófő közötti – részére (Tagyoni-platform), valamint a

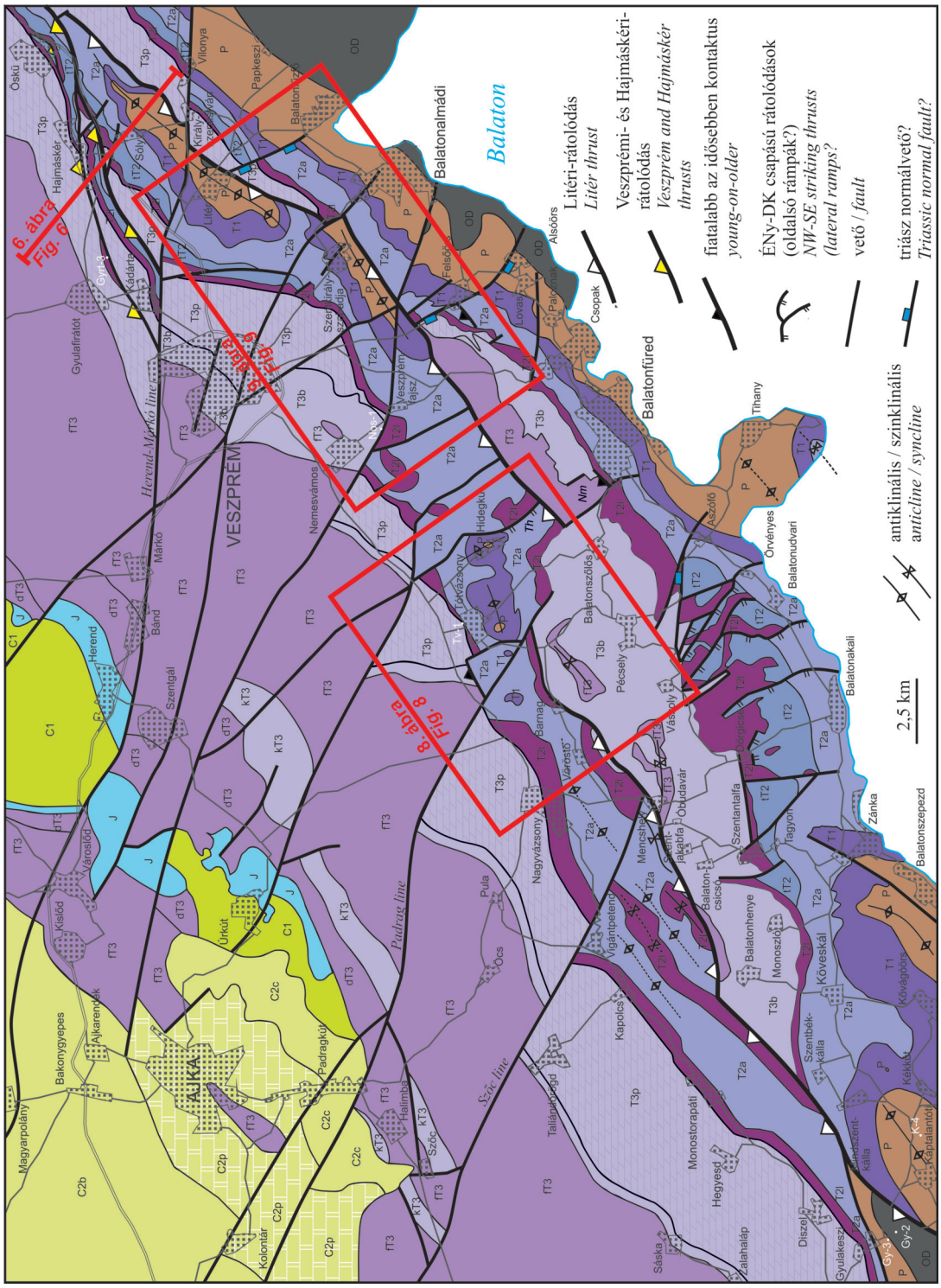

3. ábra. A Balaton-felvidék és a Veszprémi-fennsík prekainozoos földtani térképe (BUDAI et al. 1999a, 2000; GYALOG & CSÁSZÁR 1990 térképének felhasználásával).

OD – ordovicium–devon agyagpala; P – felső perm szárazföldi homokkő; T1 – alsó triász sziliciklasztos–karbonátos rámpaösszlet tagolás nélkül; T2a – alsó anisusi sekélytengeri rámpakarbonátok tagolás nélkül; tT2 – középső anisusi platformkarbonát; T2l – középső anisusi – alsó karni medencekarbonátok tagolás nélkül; T3b – karni medencekifejlődésű márga–mészkő tagolás nélkül; T3p – karni platformkarbonátok; fT3 – Födolomit; kT3 – Rezi–Kösseni F.; dT3 – Dachsteini Mészkő F.; J – jura tagolás nélkül; C1 – alsó kréta tagolás nélkül; C2c – felső kréta szárazulati képződmények; C2b – felső kréta medencekifejlődések; C2p – felső kréta platformkarbonát. Nm – Nagymezői-pikkely; Th – Tormán-hegy. Fúrások: Gyulakeszi Gy–2, –3; Gyulafirátót Gyrt–3; Kékkút K–4; Nemesvámos Nos–1; Tótvázsony Tv–1

Figure 3. *Pre-Cenozoic geological map of the Balaton Highland and of the Veszprém Plateau (after BUDAI et al. 1999a, 2000; GYALOG & CSÁSZÁR 1990).*

OD – Ordovician–Devonian slate; P – Upper Permian terrestrial sandstone; T1 – Lower Triassic siliciclastic–carbonate ramp formations; T2a – Lower Anisian ramp carbonates; tT2 – Middle Anisian platform carbonate; T2l – Upper Anisian – lowermost Carnian basin carbonates; T3b – Carnian basin marls and carbonates; T3p – Carnian platform carbonates; fT3 – Hauptdolomit Fm; kT3 – Rezi–Kössen Fm; dT3 – Dachstein Limestone Fm; J – Jurassic formations undivided; C1 – Lower Cretaceous formations; C2c – Upper Cretaceous continental deposits; C2b – Upper Cretaceous basin facies; C2p – Upper Cretaceous platform carbonate. Nm – Nagymező nappe, Th – Tormán Hill. Wells: Gyulakeszi Gy–2, –3; Gyulafirátót Gyrt–3; Kékkút K–4; Nemesvámos Nos–1; Tótvázsony Tv–1

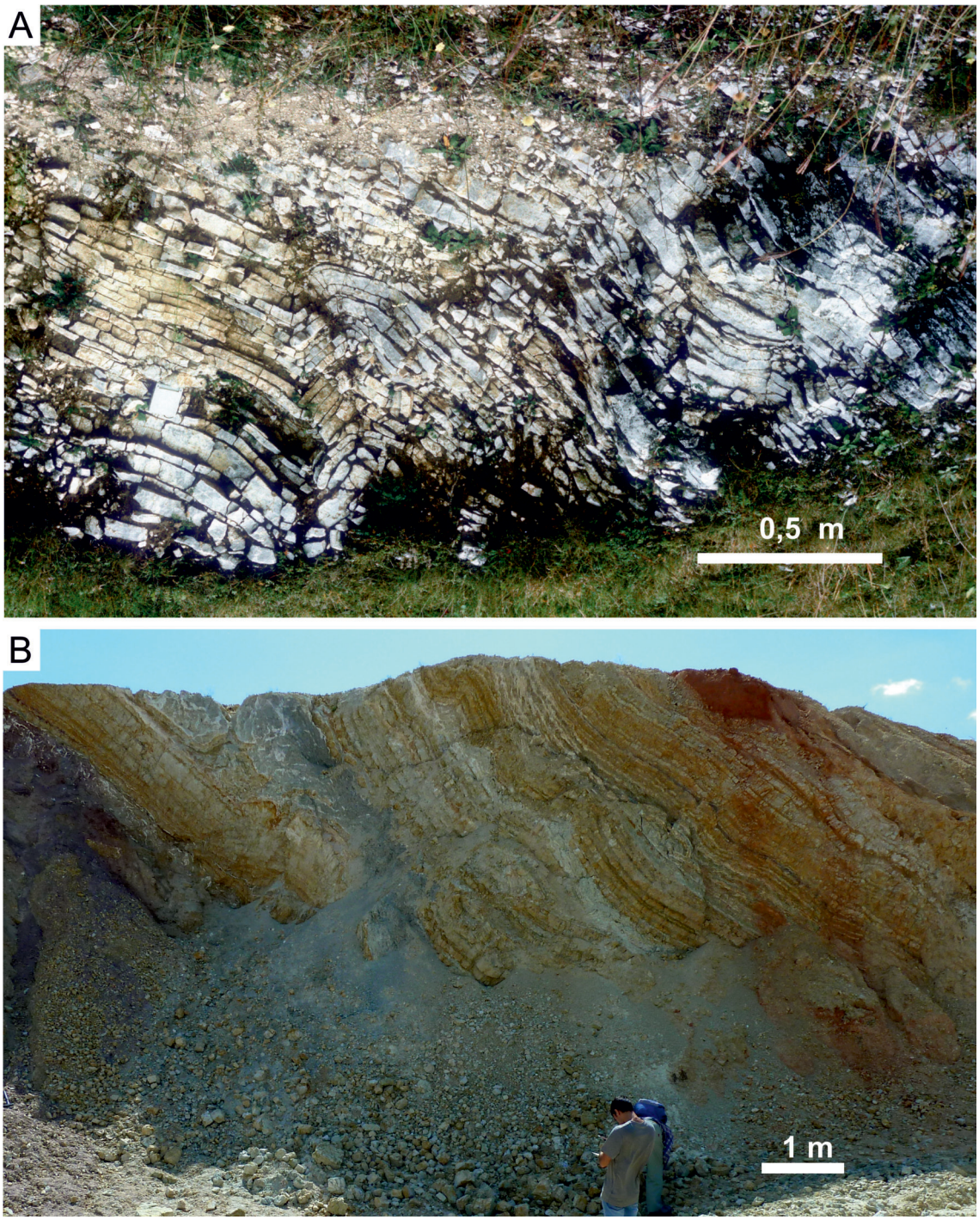

4. ábra. A triász rendszer inkompetens képződményeinek jellemző feltárásai: A) elnyírt redő alsó anisusi, gyűrt Iszkahegyi Mészkőben, Mindszentkálla (fotó: Dudko A.); B) gyűrt, felső anisusi, medencefáciesű rétegsor (Vászolyi Formáció) a kádártai kőfejtőben

Figure 4. *Exposure of some incompetent formations of the Triassic system: A) folded layers of the Lower Anisian Iszkahegy Limestone near Mindszentkálla (photo: A. Dudko); B) folded layers of the basin facies of the Upper Anisian Vászoly Formation in the Kádárta quarry*

Veszprémi-fennsíkra jellemző (Kádártai-platform). Egy harmadik platform kisebb részlete is ismert a Litéri-rátolódás északi, rátolt blokkjában Barnagtól É-ra (Budai & Vörös 2006). A Tagyoni- és a Kádártai-platform közti szerkezetileg kontrolált árok a Felsőörsi-medence (Budai et al. 1999b). A középső anisusi extenziót neptuni telérek (Budai et al. 2001) és több feltárás léptékű, ÉNy–DK csapású, szinszediment normálvető is bizonyítja, melyekből ÉK–DNy-i extenzió becsülhető (Csicsek 2015, Csicsek & Fodor 2016, Fodor et al. 2017). A platform–medence határ ÉNy–DK-i csapású, a feltárásokban dokumentált extenziós triász szerkezetekhez hasonlóan.

A triász rétegsoron belül a következő laterális fáciesváltás a felső anisusi–ladin medencekifejlődések (Vászolyi F. és Buchensteini F.) és a velük heteropikus platformkarbonát (Budaörsi Dolomit) között jelentkezik. Elsősorban a Veszp-

rémi-fennsíkon ékelődnek kompetens dolomittestek az inkompetens medence kifejlődésű rétegsorokba a Keleti-Bakony progradáló platformja felől (BUDAI et al. 2001, BUDAI & VÖRÖS 2006).

Ennél jóval markánsabb laterális fáciesváltás mutatkozik a karni kifejlődések vonatkozásában (*2. ábra*). A Balaton-felvidékre jellemző medencekifejlődésű, akár 600 m vastagságot is elérő Veszprémi Márga és Sándorhegyi Mészkő inkompetens rétegsorát (*3. ábra*: T3b) a Balaton-felvidék É-i részén és a Veszprémi-fennsíkon a vele heteropikus, hasonló vastagságú, kompetens platformkarbonát váltja fel (Gémhegyi Dolomit F., *3. ábra*: T3p). A medence és a platform közötti lejtő összefogazódó kifejlődése a Litéri-rátolódástól É-ra lévő blokkban Veszprém és Nemesvámos környékén (LACZKÓ 1911, PEREGI 1979, BUDAI et al. 1999b), a Litéri-rátolódástól délre pedig Felsőörs és a Nosztori-völgy között nyomozható (LÓCZY 1913, BUDAI 1991, BUDAI & HAAS 1997, BUDAI et al. 2001), ahol a karni medencefáciesű rétegsor három szintjében jelennek meg dolomittestek (*2. ábra*) a Gémhegyi-platform progradációs ékeiként (HAAS & BUDAI 1999, 2014). Hasonló a platform–medence fácieskapcsolat DNy-on, Balatonhenyénél is (BUDAI et al. 1999b). Az alsó karni medence- és platformkifejlődések fölött települő, felső triász platformkarbonátok akár 1500–2000 m vastag, kompetens összletét a felső karni – középső nori Fődolomit (*3. ábra*: fT3) és a rhaeti Dachsteini Mészkő alkotja (*3. ábra*: dT3), közöttük a néhányszor tíz méter vastagságú, inkompetens felső nori – alsó rhaeti Rezi–Kösseni Formáció (*3. ábra*: kT3) közbetelepülésével (utóbbi két egység a Balaton-felvidék és a Veszprémi-fennsík felépítésében nem szerepel).

Módszerek

Jelen feldolgozásunkban azoknak a szerkezeteknek a térképi elemzését tárgyaljuk, amelyek kialakulását és jellegét jelentős mértékben befolyásolhatta a triász rendszert felépítő kőzettestek egymástól eltérő kompetenciája. A területről szerkesztett prekainozoos térkép (*3. ábra*) – méretarányánál fogva – lehetőséget ad a nagyobb léptékű szerkezetek megfelelő áttekintésre, ugyanakkor az összes litosztratigráfiai egység önálló ábrázolására nem alkalmas. Ezért olyan csoportosítást alkalmaztunk az egymással rokon kifejlődések összevonásánál, amelyek kompetenciája a csoporton belül nem tér el jelentősen, ugyanakkor a szomszédos egységektől nagymértékben különbözik (*5. ábra*). A kompetencia relatív fogalom, ami a különböző szilárdságú anyagok összehasonlítására szolgál (FOSSEN 2010). Egy kőzet akkor kompetens, ha feszültség hatására lassan deformálódik/torzul más kőzetekhez képest (TWISS & MOORES 2007). A képződmények kompetencia szerinti osztályozásánál az irodalmi adatok (LÓCZY 1917, SZENTES 1949, DUDKO 1991, LINZER & TARI 2012) mellett terepi tapasztalatainkra támaszkodtunk. A kompetencia és ezzel összefüggésben a gyűrődésre való hajlam megmutatkozik a

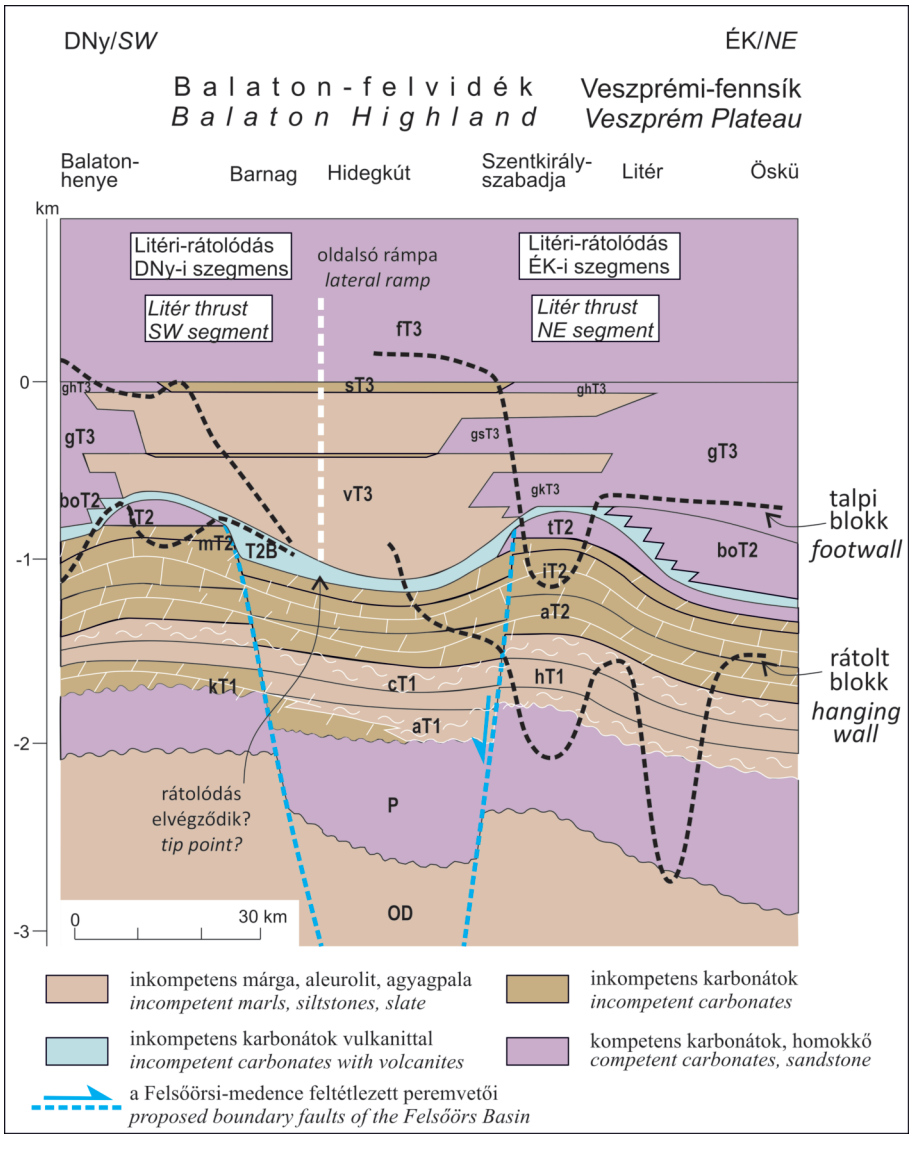

5. ábra. A Litéri-rátolódás rétegtani elvetés diagramja (Balatonhenye és Öskü között). Az ábrán szereplő két görbe mutatja, hogy a Litéri-rátolódás felszíni metszésvonala mentén milyen kompetenciájú képződmények érintkeznek a talpi (felső görbe) és a rátolt blokkban (alsó görbe). A földtani indexek magyarázatát lásd a 2. ábrán

Figure 5. *Stratigraphic separation diagram of the Liter thrust (between Balatonhenye and Öskü). The two curves on the figure show the along-strike variations of formations characterized by different rheology along the surface cut-off line of the Litér thrust in the hanging wall and footwall, respectively. For explanation of symbols see Fig. 2*

feltárásokban: a gyűrődésre hajlamos, inkompetens kőzetek olyan rövid hullámhosszú redőket produkálnak, amelyek feltárásban is észlelhetők (*4. ábra*). Ezzel szemben a kompetens kőzetek, például a platformkarbonátok sokkal nagyobb hullámhosszú gyűrődést szenvednek, ami feltárás léptékben csak a rétegek egységes kibillenésében nyilvánul meg. Az *5. ábrá*n a Balaton-felvidék és a Veszprémi-fennsík rétegsorát kompetencia szerint csoportosítottuk. A reológiai csoportosításhoz négy kategóriát állítottunk fel, a mereven viselkedő (kompetens) kőzettestektől a gyűrődésre hajlamos (inkompetens) karbonát- és finomszemcsés sziliciklasztit kőzettípusokon át a tektonikai szempontból leginkább mobilis, mállott vulkanitokat tartalmazó karbonátokig.

A terület legfontosabb kompressziós szerkezete a Litéri-rátolódás, melynek elkészítettük a rétegtani elvetés diagramját (*stratigraphic separation diagram*) WOODWARD (1987) alapján (*5. ábra*). A rátolódás mértékét illusztráló „ugrómagassági" diagramot a Litéri-rátolódás ÉK-i szakaszára korábban ERDÉLYI-FAZEKAS (1943) is szerkesztett. Az *5. ábrá*n két görbe mutatja, hogy a Litéri-rátolódás felszíni metszésvonala mentén milyen képződmények érintkeznek a talpi (felső görbe) és a rátolt blokkban (alsó görbe). A diagram alapján jól kirajzolódik, hogy hogyan változik csapás mentén a rétegtani elvetés a rátolódás két végpontja közt.

A meghatározó szerkezetek jellemzése

Ebben a fejezetben a Balaton-felvidék legfontosabb térképi léptékű szerkezeteit írjuk le DNy-ról ÉK-felé haladva (*3. ábra*).

A Balaton-felvidék felépítését meghatározó legfontosabb szerkezeti elem a Litéri-rátolódás, amely mentén a paleozoos–triász képződmények szerkezetileg ismétlődnek. A Litéri-rátolódást már a terület úttörő térképezői is felismerték (BÖCKH 1872: 33), a rátolódás részletes jellemzésével (rétegtani elvetés- és csapásváltozások) és az azt kísérő szerkezetek elemzésével később több szerző is foglakozott (LACZKÓ 1911; id. LÓCZY 1913; ifj. LÓCZY 1917, 1937; ERDÉLYI-FAZEKAS 1943; TELEKI 1939, 1941a, b; BUDAI 1991; BUDAI & CSILLAG 1998), ezek összefoglalása megtalálható DUDKO (1991, 1996; BUDAI et al. 1999b) munkáiban. A DDK-i vergenciájú Litéri-rátolódás NyDNy–KÉK-i csapásban végigkövethető a Balaton-felvidéken és a Veszprémi-fennsíkon. A *3. ábra* földtani térképén látható, hogy a rátolódás két szakaszból, egy DNy-i és egy ÉK-i szegmensből áll.

A Litéri-rátolódás DNy-i szegmense

A Litéri-rátolódás DNy-i szegmense DNy-on Gyulakeszi és Káptalantóti között kerül felszínközelbe, pozíciója az uránkutató fúrások alapján viszonylag jól rögzíthető (CSÁSZÁR et al. 1978, FÜLÖP 1990). Ezen a szakaszon variszkuszi metamorfitok képezik a rátolódás rátolt blokkját a Gyulakeszi Gy–2 fúrás alapján. Ettől ÉK felé – Mindszentkálla és Szentbékkálla között – néhány kilométernyi fedett szakaszon csak kisebb foltokban bukkan felszínre az alaphegység, ezért a szerkezet megítélése itt bizonytalan. Balatonhenyétől kezdődően ÉK felé azonban a Litéri-rátolódás DNy-i szegmense folyamatosan követhető a felszínen egészen Barnagig. Ezen a szakaszon többnyire középső triász, inkompetens képződmények tolódtak karni medencefáciesű képződményekre (*3.* és *5. ábra*). Balatonhenye és Mencshely között a rátolódás rátolt blokkjában a középső triász képződmények pár száz méter hullámhosszú szinklinálisba gyűrődtek a rátolódás mentén (CSILLAG 1991, BUDAI et al. 1999a). Ettől ÉNy-ra további redők rajzolódnak ki: az antiklinálisok magját alsó anisusi karbonátrámpa-kifejlődésű (T2a), a szinklinálisok magját pedig középső triász, medencekifejlődésű rétegsor (T2l) alkotja (*3. ábra*). Ezek az antiklinális–szinklinális párok a Szőci-szerkezetig nyomozhatóak. Ezt az ÉNy–DK csapású szerkezetet a Bakonyt és a Balaton-felvidéket keresztező, miocén jobbos eltolódások egyikeként tartja számon a szakirodalom (MÉSZÁROS 1983a, BUDAI et al. 1999b), noha a Szőci-vonal nem diszlokálja a Litéri-rátolódást. A Szőci-szerkezet ÉK-i blokkjában egy több kilométer hullámhosszú antiklinális rajzolódik ki a Litéri-rátolódás rátolt blokkjában, magjában alsó anisusi, karbonátrámpa-kifejlődésű képződményekkel (T2a). Barnagtól keletre a Litéri-rátolódás amplitúdója minimális (*5. ábra*), a rosszul feltárt terület kibúvásai akár egy folyamatos, monoklinálisan DK-felé dőlő rétegsorként is értelmezhetők (CSILLAG 1991, BUDAI & CSILLAG 1998).

Haránt irányú szerkezetek a Balaton-felvidék középső részén

A Litéri-rátolódás DNy-i szegmense Barnagtól keletre elvégződik (*3.* és *5. ábra*). Ettől a vetővégponttól DK-re, a balatonfüredi Nagymezőtől kezdve térképezhető a Litéri-rátolódás ÉK-i szegmense – kisebb megszakításokkal – egészen Ösküig, a Várpalotai-medence D-i peremeig (*3. ábra*). A két szegmens közti ellépéshez számos szerkezet kapcsolódik. Ebbe a zónába fut bele az ÉNy–DK-i csapású Padragi-vonal, amelyet a Szőci-vonalhoz hasonlóan miocén jobbos eltolódásként értelmezték a korábbi munkák (MÉSZÁROS 1983a, b; BUDAI et al. 1999b; FODOR et al. 2005). A térképi rajzolat szerint (*3. ábra*) a Padragi-szerkezet diszlokálja a Litéri-rátolódást a Pécselyi-medence ÉK-i peremén, ahol utóbbi jobbos elmozdulást szenved, miközben rétegtani amplitúdója „eltűnik". A Litéri-rátolódás talpi blokkját felépítő, perm – középső triász rétegsort azonban nem veti el a Padragkúti-szerkezet. A Litéri-rátolódást kísérő antiklinálisoknak a csapása és az amplitúdója egyaránt megváltozik a Padragi-vonalat átlépve. A rátolt blokkban megjelenő antiklinálisok tengelyirányai Hidegkút környékén fokozatosan elfordulnak, és a redőtengelyek ÉNy–DK-i csapást vesznek fel (BUDAI et al. 1999b). Ezeket az ÉNy–DK csapású redőket ÉK felől az ÉK-i vergenciájú Tormánhegyi-rátolódás határolja, mely mentén középső triász képződmények tolódtak egymásra (*3. ábra*). A Padragi-szerkezethez annak ÉK-i oldala mentén két szakaszon is csatlakozik „fiatalabb az idősön" jellegű (*„young on older"*) szerkezeti kontaktus pár kilométer hosszan, ahol a felső szerkezeti helyzetben lévő

egységet Fődolomit, míg az alsó egységet karni és középső triász képződmények alkotják. Ezek közül a jelentősebb, és több korábbi szerző (id. LÓCZY 1913; ifj. LÓCZY 1917, 1937; MÉSZÁROS 1983a; BUDAI et al. 1999b; FODOR et al. 2005) által is elemzett szerkezet a balatonfüredi Nagymezőipikkely (*3. ábra*: Nm). A Padragi-szerkezet mentén Tótvázsonytól Ny-ra is megjelenik *"young-on-older"* szerkezet (*3. ábra*).

A Padragi-szerkezettől délre – Szentantalfa és Aszófő között – a Dörgicsei-szerkezet zavarja meg a triász képződmények hosszanti, DNy–ÉK-i csapású, ún. „pásztás" elrendeződését (*3. ábra*). A Dörgicsei-szerkezet középső triász képződményekből felépülő vonulatában ÉÉNy–DDK-i tengelyirányú, viszonylag rövid hullámhosszú redők alakultak ki (BUDAI 1988, BUDAI & CSILLAG 1998). A redőkhöz kapcsolódó ÉÉNy–DDK csapású vetőket keleties vergenciájú, kis rétegtani amplitúdójú feltolódásként értelmezték a korábbi szerzők (BUDAI 1988, BUDAI & CSILLAG 1998, BUDAI et al. 1999b). Figyelemre méltó, hogy a pikkelyekből felépülő, jellegzetes szerkezet a Balaton-felvidéknek éppen azon a szakaszán alakult ki (*3. ábra*), ahol a kompetens, középső anisusi platformkarbonát (Tagyoni F.) heteropikusan helyettesíti az inkompetens medencekifejlődést (Felsőörsi F.).

A Litéri-rátolódás ÉK-i szegmense

A Litéri-rátolódás ÉK-i szegmense mentén változatos képződmények érintkeznek egymással. A szegmens DNy-i szakaszán – Balatonfüred és Felsőörs között – a kompetens Fődolomitra alsó anisusi, inkompetens rétegsor tolódott, a kontaktus a felszínen jól követhető (*3.* és *5. ábra*). Ettől ÉK felé egyre idősebb képződmények között halad a rátolódás: a Litér és Sóly közötti szakaszon a D-i blokk karni dolomitjára felső perm homokkő tolódott, sőt Litér környékén a variszkuszi aljzat is kibukkan a perm homokkő alól a rátolt blokkban (*5. ábra*). Ezen a szakaszon DK-i szárnyukon átbuktatott antiklinálisok nyomozhatók a Litéri-rátolódás rátolt blokkjában (*3.* és *6. ábra*). CSICSEK (2015) értelmezése szerint a Litéri-rátolódás rátolt blokkjában megjelenő antiklinális felfogható egy olyan vetőharapódzási redőnek (*fault-propagation fold*), amelynek a frontális szárnyát néhol egy másodlagos, meredek rátolódás metszi át (*high-angle breakthrough thrust*) (SUPPE & MEDWEDEFF 1990). A vetőharapódzási redő tengelye a Veszprémi-fennsík ÉNy-i részén NyDNy-i, míg annak középső és keleti részén KÉK-i dőlésű (*doubly plunging anticline)* (TWISS & MOORES 2007).

A Litéri-rátolódás talpi blokkja a Velencei-antiklinális (*1. ábra*) ÉNy-i szárnyán helyezkedik el, így annak kibillent helyzete a Velencei-antiklinális hatásának tulajdonítható, amelynek magjában a variszkuszi aljzat végig nyomozható a Balaton mentén (*6. ábra*). A Velencei-antiklinális TARI (1994) szerint egy nagy, ÉNy-i vergenciájú, aljzati rátolódás felett alakult ki.

A Veszprémi- és Hajmáskéri-rátolódás

A Litéri-rátolódást tőle ÉNy-ra egy vele hasonló jellegű és vergenciájú, de valamivel kisebb rétegtani amplitúdójú rátolódás kíséri a Veszprémi-fennsíkon (LACZKÓ 1911). A szerkezet rátolódás jellege Kádárta és Hajmáskér között tapasztalható egyértelműen (*6. ábra*), ahol a kompetens, alsó karni Kádártai Dolomitra (Gémhegyi Formáció, T3p) alsó anisusi karbonátrámpa (T2a) illetve felső anisusi–ladin, medencekifejlődésű (T2l), inkompetens kőzettestek tolódtak (*6. ábra*).

A Veszprémi-rátolódástól ÉNy-ra, egy vele nagyjából

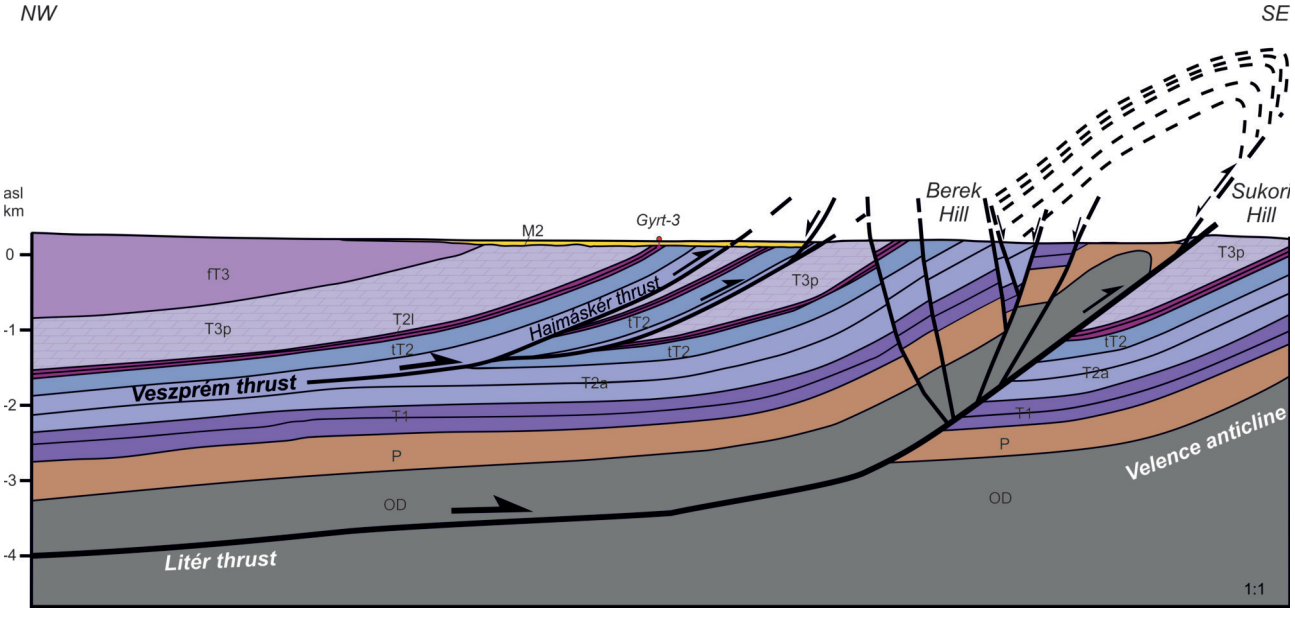

6. ábra. A Litéri-rátolódás, az azt kísérő átbuktatott boltozat és a Veszprémi-rátolódás a vilonyai Sukori-hegy és a hajmáskéri Berek-hegy földtani szelvényében (CSICSEK 2015 nyomán). Jelmagyarázat és a szelvény nyomvonala a 3. ábrán. M2 – szarmata üledékek

Figure 6. *The Litér thrust, the linking overturned anticline and the Veszprém thrust along the geological profile between the Sukori Hill at Vilonya and the Berek Hill at Hajmáskér (after CSICSEK 2015). For symbols and position of the profile see Fig. 3. M2 – Sarmatian deposits*

párhuzamos, javarészt neogén üledékekkel fedett, kompressziós szerkezet, a Hajmáskéri-rátolódás található, mely mentén – a Veszprémi-rátolódáshoz hasonlóan – az alsó anisusi Iszkahegyi Mészkő (iT2/T2a) tolódik az alsó karni Kádártai Dolomitra (*3. ábra*) (Csicsek 2015, Csicsek & Fodor 2016). A rátolódás Hajmáskértől DK-re bukkan a felszínre, Ny felé a Gyulafirátót Gyrt–3 fúrás alapján szerkeszthető ki felszín alatti lefutása. A Veszprémi-rátolódás lenyesése az Iszkahegyi Mészkő felső részén található (*6. ábra*), és ebből a lenyesésből ágazik ki a Hajmáskéri-rátolódás is.

A Hajmáskéri-rátolódás Öskü és Hajmáskér között csatlakozik a Veszprémi-rátolódásra (Csicsek 2015). A Veszprémi- és a Litéri-rátolódás Ny-ról K felé konvergál egymáshoz (*3. ábra*), és Öskünél a Veszprémi-rátolódás csatlakozik a Litéri-rátolódáshoz (Csicsek 2015).

A Veszprémi- és a Hajmáskéri-rátolódás – hasonlóan a Litéri-rátolódáshoz – az eoalpi orognezis során ÉNy–DK-i összenyomás hatására jött létre (Budai et al. 1999b). Az eoalpi összenyomás irányait alapul véve a Veszprémi- és a Hajmáskéri-rátolódás K–Ny-i csapású szakaszai ferde rámpák lehetnek, míg a Litéri-rátolódással párhuzamos szakaszaik frontális rámpákként értelmezhetők (Csicsek 2015).

Laczkó (1911: 30) szerint a „veszprémi-törés" csapása Kádártánál megtörik, Veszprémen belül az É-i pikkelyt alkotó karni márga és a D-i pikkelyt alkotó Fődolomit szerkezeti határát alkotja, majd innen Ny felé a Séd völgyében halad Márkó irányába. Lényegében ugyanez a szerkezeti kép jelenik meg Lóczy (1920) földtani térképén, valamint a Bakony részletes földtani térképezése során megjelent munkákban is (Peregi 1979; Peregi & Raincsák 1980, 1983; Gyalog & Császár 1990). Kádártától Ny-ra a Veszprémi-rátolódás jellegének korábbi szerzők többsége által képviselt értelmezése azonban vitatható, amit a felső triász dolomitok téves rétegtani besorolásával magyarázhatunk. Veszprémben ugyanis a karni medencekifejlődésű rétegsor (T3b) feküjében lévő dolomit az alsó karni platformhoz (T3p) és nem a Fődolomithoz tartozik, tehát települési és nem szerkezeti határ van a két képződmény között (*3. ábra*). Dudko modelljében (Dudko 1991, 1996; Budai et al. 1999b) a Veszprémi-vonal Kádártától DNy-ra bizonytalan, Veszprémtől DNy felé pedig „fiatalabb az idősön" („*young-on-older*") szerkezetként jelenik meg, amely mentén az É-i pikkely „Fődolomitja" áttolt helyzetben érintkezik a D-i pikkely idősebb képződményeivel, nagyjából a Veszprém–Tapolca közötti műút mentén. Ez a szerkezeti modell sem veszi figyelembe azonban a karni platformdolomit térhódítását a heteropikus, medencekifejlődésű képződmények rovására a Déli-Bakony területén (*2. ábra*). A térképezési tapasztalatok és a területen mélyült fúrások (Tótvázsony Tv–1, Nemesvámos Nos–1 stb.) szerint ugyanis a ladin, medencekifejlődésű rétegsor fölött alsó karni dolomit következik folyamatos, települt helyzetben (Budai et al. 1999a, b), és nem a korábbi térképeken tektonikus kontaktussal ábrázolt, fiatalabb Fődolomit (*3. ábra*). Megjegyzendő, hogy a Sándorhegyi Mészkő a Déli-Bakony azon területein is kifejlődött, ahol egyébként a teljes alsó karni rétegsort dolomit alkotja, például Tótvázsony környékén (Budai & Csillag 1998) vagy Sáskán (Peregi & Bence 1987, Bence & Peregi 1988).

Ezek után felmerül a kérdés, hogy Kádártától Ny-ra egyáltalán megvan-e, és ha igen, akkor merre folytatódik a Veszprémi-rátolódás. Erre a kérdésre a Csicsek (2015), Csicsek & Fodor (2016) és Fodor et al. (2017) által ismertetett szerkezeti modell nyújt megoldást. Ebben fontos szerepe van a Herend–márkói-eltolódásnak, amely a Bakony és a Balaton-felvidék területéről ismert, ún. haránt jobbos eltolódások egyike (Mészáros 1983a, b, 1985; Tari 1991; Budai et al. 1999b; Fodor et al. 2002; Linzer & Tari 2012). A modell szerint a Veszprémi- és a Hajmáskéri-rátolódás csupán a Herend–márkói-vetőtől ÉK-re létezik, és a rátolódások elvetése az eltolódás menti jobbos elmozdulásban oldódik fel. Ez alapján a Herend–márkói-eltolódás a kréta eoalpi deformáció során alakult ki mint gyűrődéssel egyidős eltolódás (*tear-fault*) (Csicsek 2015, Csicsek & Fodor 2016, Fodor et al. 2017, Tari 1994, Linzer & Tari 2012), szemben a korábbi értelmezésekkel, amelyek a jobbos eltolódások miocén korát hangsúlyozták (Mészáros 1983a, b, 1985; Tari 1991; Kókay 1996; Budai et al. 1999b).

A triász medence-geometria hatása a kréta gyűrődésre

A Balaton-felvidéken a hosszanti rátolódások mellett több harántszerkezet is megfigyelhető, például a Dörgicsei-szerkezet, valamint a Litéri-rátolódás két szegmensét összekötő zónában lévő, ÉNy–DK-i csapású redők és a kapcsolódó Tormánhegyi-rátolódás. A Veszprémi- és a Hajmáskéri-rátolódás csapása is több helyen jelentősen eltér a hosszanti szerkezetek ÉK–DNy-i csapásától. Ezekről a szerkezetekről az előző fejezetben adtunk rövid leírást.

A harántirányú szerkezetek kialakulására több magyarázat is született. Egyes szerzők feltételezik, hogy a hosszanti rátolódásokat kialakító, ÉNy–DK-i összenyomás mellett létezett egy ÉK–DNy-i összenyomással jellemezhető feszültségmező is, amely a haránt irányú szerkezetek kialakulásáért felelős (Dudko 1991, 1996; Tari 1994; Tari & Horváth 2010), így a bonyolult redőgeometria kétfázisú gyűrődéssel magyarázható. Ugyanakkor Dudko (1991, 1996) és Fodor et al. (2005) annak a lehetőségét sem zárta ki, hogy egyes haránt irányú szerkezetek hosszanti irányú rátolódások „meghajlásával", rotációjával alakultak ki. Némiképp eltérő értelmezés bontakozik ki Csicsek (2015), Csicsek & Fodor (2016) és Fodor et al. (2017) munkáiban, mely szerint a Balaton-felvidék K–Ny-i és ÉNy–DK-i csapású kompressziós szerkezetei egyidősek a területet uraló, KÉK–NyDNy-i csapású rátolódásokkal, és az ÉÉNy–DDK-i irányú összenyomással párhuzamos, illetve ferde csapású szerkezetek oldalsó, illetve ferde rámpákként értelmezhetők. A nemzetközi szakirodalom alapján a gyűrt–pikkelyes övekben jelentkező harántszerkezetek kialakulása gyakran a gyűrődést megelőző medence-geometriából öröklődik át (hivatkozásokat lásd a Bevezetésben). A triász medence-geometria és a kréta kompressziós szerkezetek viszonyát a

Balaton-felvidék esetében részleteiben eddig nem vagy csak érintőlegesen vizsgálták (FODOR et al. 2017), így a következőkben ezt a témát járjuk körül.

Triász platform–medence elrendeződés

A középső triász képződmények laterális fáciesváltozását a Balaton-felvidéken alapvetően a Felsőörsi-medence határozza meg (BUDAI & VÖRÖS 2006), amely egy ÉNy–DK-i csapású, középső triász, szinszediment extenziós árok. A Felsőörsi-medence választja el a Tagyoni- és Barnagi-platformot a Kádártai-platformtól (*7. A ábra*). A Felsőörsi-medencét határoló, triász normálvetők kijelölése nem egyértelmű. Potenciális térképi léptékű, triász normálvető lehet a *3. ábrán* is jelölt két vető Alsóörs és Balatonfűzfő környékén, a Felsőörsi-medence ÉK-i peremén. Mindkét szerkezet ÉNy–DK-i csapású, látszólagos balos elvetést mutatnak, és mindkét vetőt elmetszi a Litéri-rátolódás. A Dörgicsei-szerkezetet ÉK felé a Pécsely–Aszófő közötti vető zárja le, amely véleményünk szerint a Felsőörsi-medence DNy-i peremvetője lehet a Tagyoni-platform és a Felsőörsi-medence határán (BUDAI & VÖRÖS 2006).

A középső triász extenziós tektonika befejeződésével a poszt-rift süllyedés és az eusztatikus tengerszintváltozások kontrollálták a terület ladin és a karni medence-geometriát (*7. ábra*), így az anisusi medence-geometria csak részben öröklődött át a triász későbbi szakaszaira. A ladin és a karni platform–medence átmenet – az ismétlődő platform-progradáció és -visszahúzódás ellenére – többnyire követi a Felsőörsi-medence ÉK-i peremét, a felső anisusi – ladin Budaörsi- és az alsó karni Gémhegyi-platform a középső anisiusi Kádártai-platform fölött jött létre (*7. ábra*). Más a helyzet a Felsőörsi-medence DNy-i peremén: a Tagyoni- és a Barnagi-platform megfulladását követően mindenütt medencefáciesű képződmények képviselik a ladin emeletet a Balaton-felvidék középső részén (*7. B ábra*) (BUDAI et al. 1999b). A Déli-Bakony felől történő platform-progradáció nyomán a medencekifejlődésű képződmények mellett platformkarbonátok is megjelennek a Balaton-felvidék középső részének karni rétegsorában. A Litéri-rátolódás DNy-i szegmensének talpi blokkjában a karni képződményeket vastag, inkompetens, medencekifejlődésű rétegsor építi fel, míg a rátolt blokkban kompetens platformkarbonátok képviselik a karni emeletet. Lehetségesnek véljük, hogy a Litéri-rátolódás DNy-i szegmensének frontális rámpaszakaszát a karni platform–medence átmenete lokalizálta (*7. C ábra*).

A Litéri-rátolódás szegmentálódása a Felsőörsi-medence DNy-i pereme mentén

A Litéri-rátolódás két szegmense közti ellépést a korábbi munkák a Padragi-vonal menti, jobbos elvetéssel magyarázták (DUDKO 1991, 1996; FODOR et al. 2005). A DUDKO

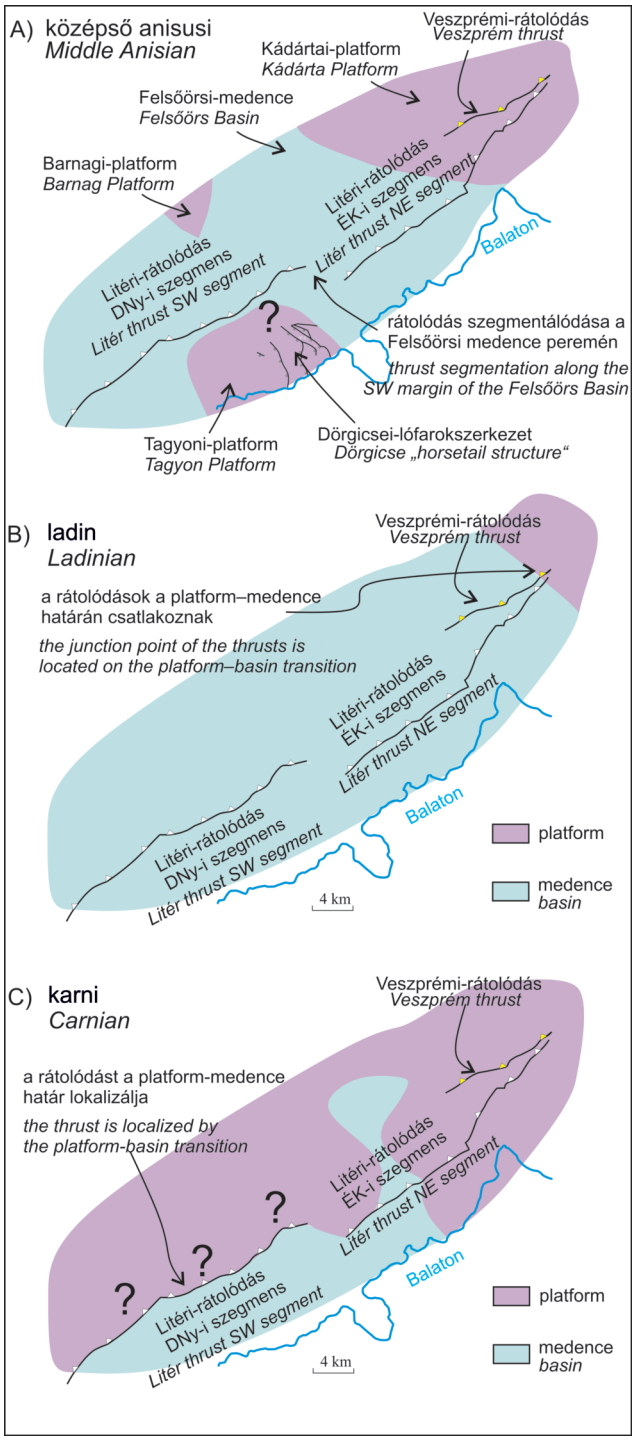

→ **7. ábra.** A középső és késő triász platform–medence-geometria hatása a kréta rátolódások lefutására.

A) Középső anisusi rekonstrukció: a Litéri-rátolódás csapásváltása és szegmentálódása egybeesik a középső anisusi Tagyoni-platform ÉK-i elvégződésével. Megjegyzés: Litéri-rátolódás talpi blokkjának ÉNy-i sávjában a középső triász fedett helyzetben van (kérdőjellel jelölve), a Tagyoni-platform É-i peremének lefutása bizonytalan. B) Ladin rekonstrukció: a Veszprémi- és a Hajmáskéri-rátolódás a medence–platform átmenet mentén ágazik ki a Litéri-rátolódásból. C) Karni rekonstrukció: a Litéri-rátolódás DNy-i szegmensét a platform–medence átmenet lokalizálhatta. Megjegyzés: a Litéri-rátolódás rátolt blokkjának DK-i sávjában a karni lepusztult (kérdőjelekkel jelölve).

→ ***Figure 7.*** *Effect of the Middle and Late Triassic basin–platform configuration on the Cretaceous thrusting.*

A) Configuration of basins and platforms for the Middle Ansisian: the segmentation of the Litér thrust and the formation of the connecting lateral ramp took place close to the NE termination of the Tagyon Platform. Note, the Middle Triassic is covered in the footwall of the Litér thrust (marked by question mark) the position of the northern margin of the Tagyon Platform is uncertain. B) Configuration of basins and platforms for the Ladinian: the junction point of the Veszprém and the Litér thrust is located in the zone of Ladinian basin and platform transition. C) Configuration of basins and platforms for the Carnian: the SW segment of the Litér thrust is localized along the Carnian platform margin. Note, the Carnian eroded on the proximal hanging wall of the Litér thrust (marked by question marks).

(1991, 1996) és Fodor et al. (2005) által felvázolt modellek egyaránt feltételezik, hogy a Litéri-rátolódás eleinte folytonos, egyenes csapású volt, és a rátolódás szegmentálódása, valamint a két szegmens között létrejövő, ferde (ÉNY–DK-i) csapású redők kialakulása a Padragi-vonal menti, miocén elvonszolás következménye. Fodor et al. (2005) a Nagymezői-pikkelyt *young-on-older* szerkezetként, a gyűrődés utáni laposszögű rátolódásként értelmezte. Fodor et al. (2005) értelmezése szerint a Padragi-szerkezet menti, jobbos elmozdulás a Nagymezői-pikkely rátolódásában oldódott fel – ez a modell elegánsan magyarázza, hogy a Padragi-vonal miért nem veti el a perm – középső triász rétegsort a Nagymezői-pikkelytől délre.

A Litéri-rátolódást kísérő antiklinálisok amplitúdója számottevően változik a Padragi-szerkezet két oldalán: a Padragi-vonal DNy-i oldalán középső és alsó triász tárul fel az antiklinális magjában, míg a vető ÉK-i oldalán a perm is felszínre bukkan (*3. ábra*). Ebből az a következtetés vonható le, hogy a Litéri-rátolódás mentén tapasztalható, eltérő mértékű gyűrődés a Padragi-szerkezet mentén oldódik fel. Tehát a Padragi-vonal a kréta gyűrődéssel egy időben működhetett egyfajta harántszerkezetként (*tear fault, lateral ramp*), a Herend–márkói-szerkezethez hasonlóan. Itt teszünk említést a Szőci-vonalról, amely mentén szintén jelentősen változik a redőgeometria a Litéri-rátolódás rátolt blokkjában, miközben a Szőci-szerkezet nem diszlokálja a Litéri-rátolódást (*3. ábra*). Ennek a szerkezetnek az esetében is felmerül tehát a kréta gyűrődéssel egyidős korbesorolás, hasonlóan Linzer & Tari (2012) értelmezéséhez. Visszatérve a Padragi-szerkezethez, véleményünk szerint a Litéri-rátolódás szegmentálódása már a krétában megtörtént, sőt azt sem tartjuk kizártnak, hogy a rátolódás két szegmensét összekötő zóna – ahol a kapcsolódó redők tengelyirányai lokálisan ÉNy–DK csapást vesznek fel – már az összenyomásos deformáció kezdetén egyfajta oldalsó rámpaként (*lateral ramp*) működött (*8. ábra*). Ebben az esetben a két szegmens közötti elmozdulás egy jelentős hányada már a kréta rövidülés kezdetén létezett, és nem utólagos (miocén) eltolódás következmé-

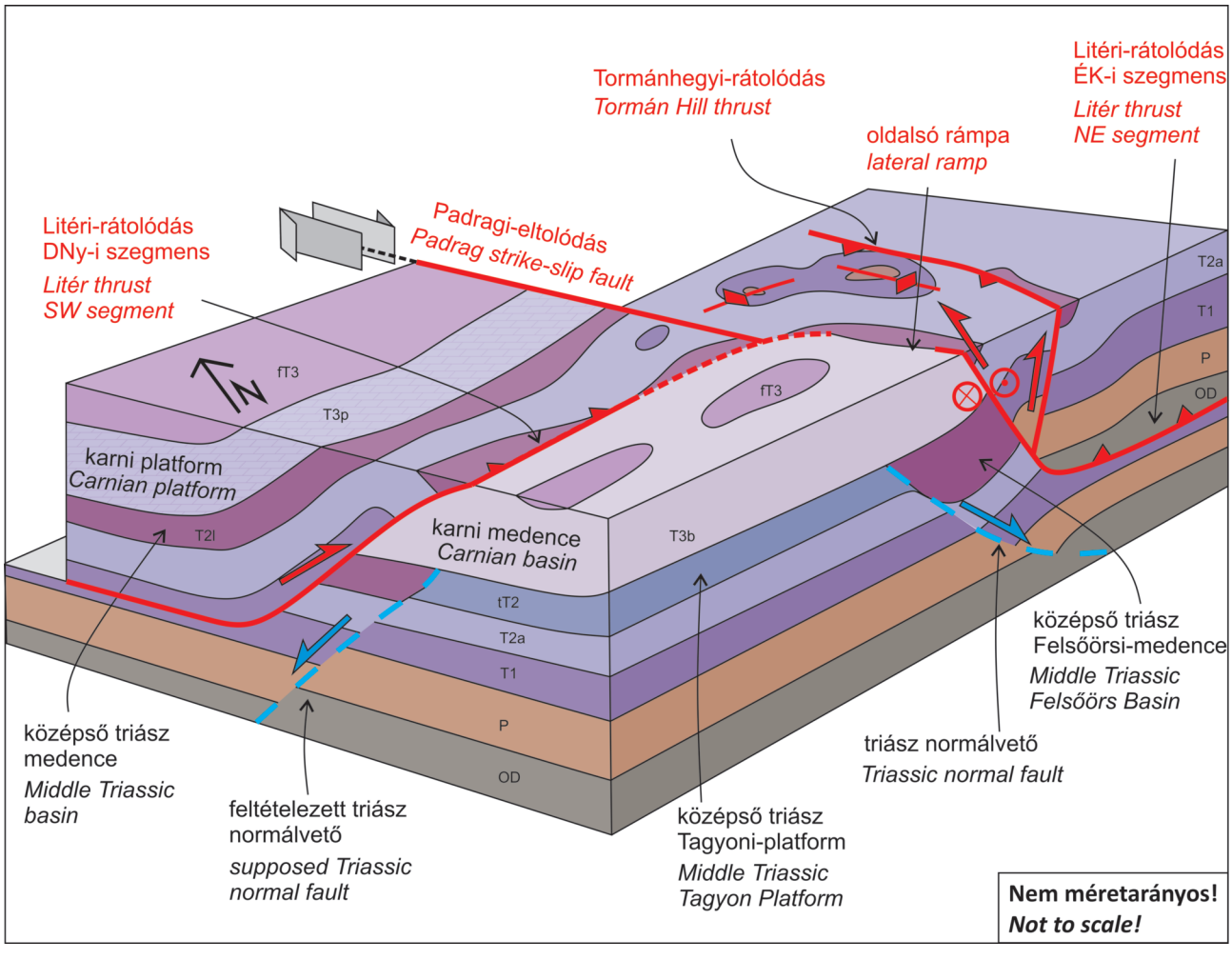

8. ábra. A Litéri-rátolódás szegmentálódását mutató blokkmodell. A két szegmenst összekötő oldalsó rámpa a Tagyoni-platform és a Felsőörsi-medence határával párhuzamosan alakult ki. A modell helyzete és a jelmagyarázat a 3. ábrán látható

Figure 8. *3D modell showing the relationship between the position of the Tagyon Platform and the segmentation of the Litér thrust. The lateral ramp of the Litér thrust is located close to the northeastern termination of the Middle Anisian Tagyon Platform. For the location of the block model and the legend see Fig. 3*

nye. A középső triász medence-geometriát tekintve figyelemre méltó egybeesés, hogy a Litéri-rátolódást kettévágó oldalsó rámpa a Felsőörsi-medence DNy-i részén alakult ki, és a harántszerkezet párhuzamosan fut a középső anisusi Tagyoni-platform és a Felsőörsi-medence határával (*7, A* és *8. ábra*) (BUDAI & VÖRÖS 2006, BUDAI et al. 1999b). Véleményünk szerint a Litéri-rátolódás két szegmensét összekötő harántszerkezetet a középső triász platform–medence átmenet lokalizálta. Fontos megemlíteni, hogy vázolt modellünk nem ad magyarázatot a Padragi-szerkezet menti *young-on-older* szerkezetek létrejöttére. Úgy gondoljuk azonban, hogy ezek a szerkezetek nem feltétlenül kompressziós eredetűek, mint ahogy azt DUDKO (1991, 1996) és FODOR et al. (2005) feltételezi, és érdemes lenne azt a lehetőséget is vizsgálni, hogy a rétegkicsípődések a triász extenzió számlájára írhatók-e. Hasonló dilemma (*young-on-older* rátolódás vs. preorogén normálvető) más gyűrt–pikkelyes övekben is felmerült (PACE et al. 2014).

Az eoalpi rátolódások és a Felsőörsi-medence ÉK-i peremének kapcsolata

A Felsőörsi-medence DNy-i peremével ellentétben az ÉK-i medenceperemet csapásváltás nélkül metszi a Litéri-rátolódás (*3. ábra*). Habár csapásváltás nem tapasztalható a Litéri-rátolódásnak ezen a szakaszán, a rátolódás rátolt és talpi blokkjában egyaránt ugrásszerűen idősebb képződmények jelennek meg, ahogy a Felsőörsi-medence felől átlépünk a Kádártai-platform területére. Felmerül a kérdés, hogy vajon mi okozza a különböző képződmények megjelenését a Litéri-rátolódás ÉK-i szegmense mentén, ami a rétegtani elvetés diagramok hullámos lefutása alapján is kirajzolódik (*5. ábra*). Véleményünk szerint ez a szerkezeti geometria jól magyarázható azzal, hogy a kréta rövidülés során a Litéri-rátolódás nem egy vízszintes rétegekből álló, dobostortaszerű sorozatot, hanem már egy eleve erősen deformált rétegsort metszett át (*9. ábra*). Ez a rövidülést megelő-

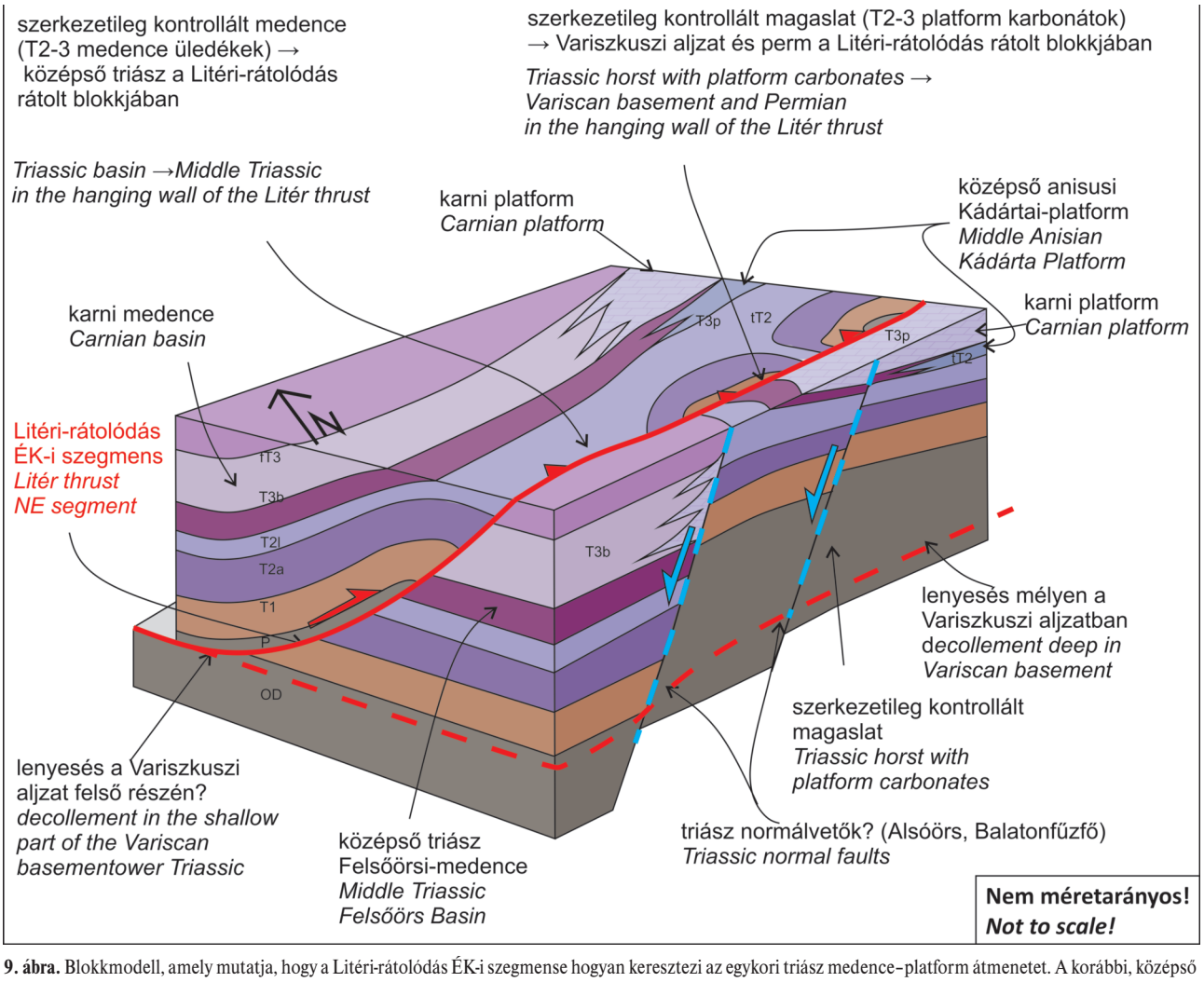

9. ábra. Blokkmodell, amely mutatja, hogy a Litéri-rátolódás ÉK-i szegmense hogyan keresztezi az egykori triász medence–platform átmenetet. A korábbi, középső triász Felsőörsi-medence területén relatíve fiatalabb, középső triász képződmények jelennek meg a rátolt blokkban. A triász során kiemelt Kádártai-platform területén (Veszprémi-fennsík) mélyebb rétegtani egységek (felső perm homokkő, variszkuszi anchimetamorf képződmények) is megjelennek a rátolódás mentén. A modell helyzete és a jelmagyarázat a 3. ábrán látható

Figure 9. *3D modell showing the northeastern segment of the Litér thrust, that crosses the Triassic basin–platform transition. In the area of the former Middle Triassic Felsőörs Basin, the hanging wall of the thrust is built up by Middle Triassic. In contrast, in the area of the Middle Triassic Kádárta Platform (Veszprém Plateau), the deformed succession was in an elevated position prior to thrusting. Consequently older, Palaeozoic rocks are exposed along the thrust. For the location of the block model and the legend see Fig. 3*

ző deformáció a triász extenziós szerkezetalakuláshoz köthető. Feltételezhető, hogy a Litéri-rátolódás lenyesési felülete azonos mélységben metszette a Felsőörsi-medence és a Kádártai-platform alatti rétegsort. Mivel a Kádártai-platform már a kréta rövidülés előtt kiemelt helyzetben volt, a Litéri-rátolódás lenyesési felülete nagyobb vastagságban metszett bele a variszkuszi képződményekbe, mint a Felsőörsi-medence területén (*9. ábra*). A Litéri-rátolódás ÉK-i szegmesének DNy-i szakasza az egykori triász medencén keresztül húzódik, ahol mind a középső triász, mind a karni képződmények medencekifejlődésűek. Itt viszonylag fiatal képződmények vannak a szerkezet mentén egymásra tolva (középső triász a Fődolomitra tolva; *5.* és *9. ábra*). Ezzel szemben a Litéri-rátolódás ÉK-i szegmensének ÉK-i szakasza egy triász magaslaton halad keresztül, ahol platformkarbonátok dominálnak a középső és a felső triász rétegsorban (*7. ábra*). A Litéri-rátolódás itt egy már létező szerkezeti magaslatot deformált, ezért ezen a területen idősebb képződmények jelennek meg a rátolódás két oldalán.

Fontos megjegyezni, hogy a Litéri-rátolódást ÉNy felől követő, eoalpi kompressziós szerkezetek csapásváltásai ott következnek be, ahol a triász medence- és platformkifejlődésű kőzettestek összefogazódnak (*3. ábra*). A Veszprémi- és a Hajmáskéri-rátolódás ott fut bele a Litéri-rátolódásba, ahol a felső anisusi – alsó karni, medencekifejlődésű képződmények (T2l) kiékelődnek ÉK-i irányban. Ettől ÉK-re, a miocén Várpalotai-medence keleti oldalán csak egy rátolódás nyomozható („Bakonykúti-rátolódás", Raincsák 1980), ami a Litéri-rátolódás folytatása (ez a terület nincs ábrázolva a *3. ábra* térképén). A Várpalotai-medencétől keletre a középső–felső triász sorozatot uraló platformkarbonátok vastagsága tetemesen megnő a medenceüledékek rovására. Ez alapján lehetségesnek tartjuk, hogy a kréta rátolódások ferde szakaszainak kialakulásában a triász képződmények laterális vastagságváltozásai és kompetenciakülönbségei is szerepet játszhattak.

Diszkusszió

Gyűrt–pikkelyes években az összenyomásra merőleges redők és rátolódások mellett gyakran megjelennek az összenyomás irányával párhuzamos vagy ferde csapású szerkezetek: gyűrődéssel egyidős eltolódások (*tear fault*) (pl. Ortner et al. 2016), továbbá az orogén csapására ferde (*oblique ramp*) (pl. Saïd et al. 2011, Héja et al. 2022) illetve merőleges rátolódások *(lateral ramp*) (van Kooten et al. 2023). Ezek a harántszerkezetek gyakran ívelt alakzatokat (*salient*) hoznak létre térképi nézetben (Marshak 2004, Deng et al. 2019, Sieberer et al. 2023, Livani et al. 2018, Saïd et al. 2011). A gyűrt–pikkelyes években megjelenő harántszerkezetek lefutása sokszor az összenyomás előtti medence-geometriára vezethető vissza. Harántszerkezetek kialakulását a lenyesési felületekben (Luján et al. 2003, Livani et al. 2018), illetve az azokat fedő üledékes sorozatban jelentkező heterogenitások egyaránt elősegíthetik (Sieberer et al. 2023). Ilyen heterogenitás lehet egy laterális reológiai különbség (pl. platform–medence átmenet; egy evaporit réteg kivékonyodása, amiben a talpi lenyesési felület fut), vagy egy preorogén normálvető (Yagupsky et al. 2008, Deng et al. 2019, Héja et al. 2022). Harántszerkezetek egy preorogén normálvető ferde csúszású reaktivációjával is kialakulhatnak, de az is előfordulhat, hogy a preorogén normálvető csak lokalizálja a későbbi harántszerkezetet, így a harántszerkezet és a preorogén normálvető síkja nem feltétlen esik egybe (Héja et al. 2022). Fontos megjegyezni, hogy akár olyan esetben is történhet szerkezeti átöröklődés, ha a heterogenitás mentén nincs litológiai váltás, hanem csak hirtelen vastagságváltozás jelentkezik (Sieberer et al. 2023).

Értelmezésünk szerint a Litéri-rátolódás két szegmensét összekötő harántszerkezet egy olyan összetett oldalsó rámpa, amely a középső anisusi Felsőörsi-medence DNy-i peremével párhuzamosan alakult ki (*8. ábra*). Ezzel szemben a Litéri-rátolódás ÉK-i szegmense mindenfajta csapásváltás nélkül metszi a Felsőörsi-medence és a Kádártai-platform közti határt (*9. ábra*). Ha a Litéri-rátolódás szegmentáltsága a Tagyoni-platform és Felsőörsi-medence közti reológiai különbségekre vezethető vissza, miért nem tapasztalható a Litéri-rátolódás hasonló csapásváltása a Kádártai-platform nyugati peremén? Véleményünk szerint erre Sieberer et al. (2023) egyik homokdobozmodellje adhat választ (*10. A ábra*), amely a Balaton-felvidék szerkezetéhez nagyon hasonló geometriát mutat. Sieberer és munkatársai a modellt először extenziósan, majd kompressziósan deformálták úgy, hogy az első, extenziós deformációs fázis során létrejött árok csapása kis szöget zárt be a kompressziós fázis összenyomásának irányával. A szerzők azt találták, hogy a rátolódások csapása általában azon árokperemek mentén változik jelentősen, amelyek szintetikusak a rátolódásokra. Ezzel szemben a legtöbb rátolódás jelentősebb csapásváltás nélkül metszi azokat az árokperemeket, amelyek a rátolódásokhoz viszonyítva antitetikus dőlést mutatnak. Ez a megállapítás különösen szembeötlő a modell bal oldali részén elhelyezkedő árok esetében (*10. A ábra*). A Felsőörsi-medence peremeinek csapása Budai et al. (1999b) szerint ÉNy–DK-i. Sieberer et al. (2023) homokdobozmodell analógiája alapján feltételezhető, hogy a Felsőörsi-medence DNy-i peremvetői és a DDK-i vergenciájú Litéri-rátolódás szintetikusak (annak ellenére, hogy dőlésirányuk között nagy a szögkülönbség), így a triász medenceperemet átmetsző Litéri-rátolódás csapást vált a medenceperem mentén (*10. B ábra*). Ezzel szemben a Felsőörsi-medence ÉK-i peremvetői antitetikusak a DDK-i vergenciájú Litéri-rátolódásra feltételezésünk szerint, így ez a medence-geometria nem okozott csapásváltást a Litéri-rátolódás ÉK-i szegmensében (*10. B ábra*).

A homokdobozmodell jobb oldali része némiképp ellentmond az előbbiekben leírt megállapításnak. Itt is létrejöttek olyan rátolódások, amelyek csapásváltás nélkül metszik a rátolódásokra antitetikus árokperemet. Ugyanakkor néhány ferde csapású rátolódás is megjelenik: ezek a ferde

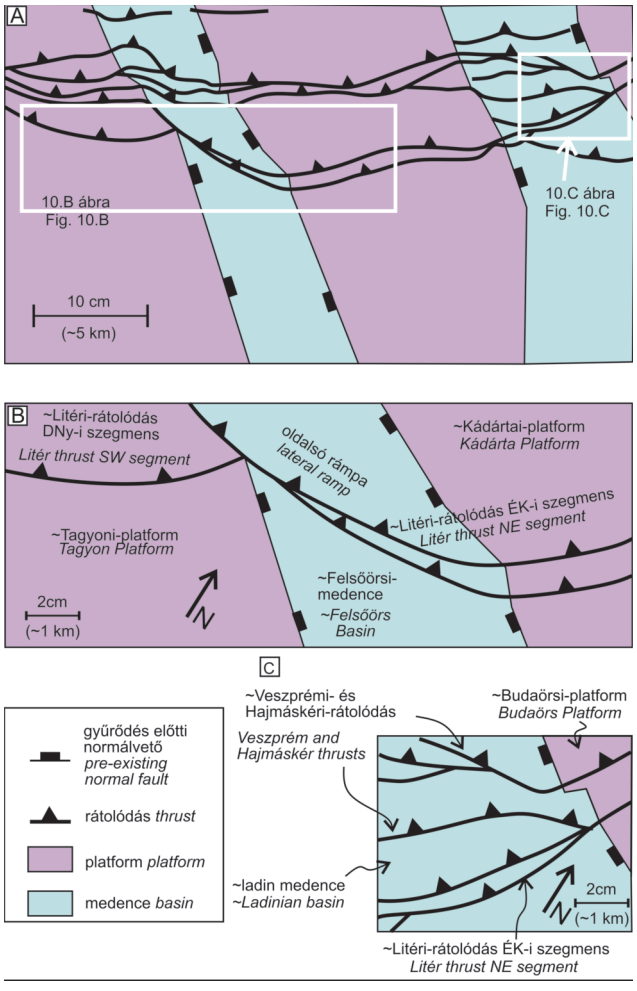

10. ábra. SIEBERER et al. (2023) homokdobozmodellje (átrajzolva) – analógia a Balaton-felvidék szerkezetére. A) A homokdobozmodell kétfázisú deformáció során jött létre: az első, extenziós deformáció során két árok és két platform keletkezett. Ezután a homokdobozmodell összenyomásnak lett kitéve, az összenyomás iránya kis szöget zár be az árkok csapásával. B) Kivágat a modell bal oldaláról: itt jól látszik, hogy a keletkező rátolódások többnyire ott váltanak csapást, ahol a rátolódások szintetikusak a gyűrődés előtti árokperemekre (hasonlóan a Litéri-rátolódás két szegmensét összekötő oldalsó rámpához, ami Felsőörsi-medence DNy-i pereme mentén jött létre). C) Kivágat a modell jobb oldaláról: itt az látható, hogy a rátolódások többnyire csapásváltás nélkül metszik azokat az árokperemeket, amelyeknek a peremvetői antitetikusak a rátolódásokra (hasonlóan a Litéri-rátolódás ÉK-i szegmenséhez, amely a Felsőörsi-medence ÉK-i peremét metszi). Alárendelten a medence ezen peremén is megfigyelhetők ferde csapású rátolódások: ezek jellemzően a platform–medence határon ágaznak szét (hasonlóan a Veszprémi- és a Hajmáskéri-rátolódáshoz). Az ábrán feltüntettük, hogy a homokdoboz centiméter skálájú léptéke hozzávetőlegesen hány kilométernek felel meg a Balaton-felvidéki szerkezetek esetében

Figure 10. *Sandbox model of* SIEBERER *et al. (2023), (redrawn) – structural analogy for the Balaton Highland. A) The sandbox model was created by two phases of deformations: first horsts/platforms and grabens/basins were formed due to an extensional phase of deformation. Then the model was shortened, where the grabens strike at low angle to the direction of compression. Oblique and lateral ramps typically developed along those graben bounding pre-existing faults that are synthetic to the thrust faults. In contrast, most of the thrusts cut across those platform–basin boundaries, which were controlled by pre-existing faults that are antithetic to the thrusts, however, some oblique ramps occur subordinately along these basin margins too. B) Detailed view of the left side of the model that represents an analogy for the lateral ramp of the Litér thrust at the SW margin of the Felsőörs Basin. C) Detailed view of the right side of the model which is a good analogy for the Veszprém and Hajmáskér thrusts and NE segment of the Litér thrust that cross the NE margin of the Felsőörs Basin. In addition to the cm scale of the models we indicated the approximate scale of the analogue structures of the Balaton Highland in km*

rámpák éppen az árok peremén ágaznak ki abból a rátolódásból, amely csapásváltás nélkül, egy frontális rámpa mentén metszi a medence–platform átmenetet (*10. C ábra*). Ez a szerkezeti geometria megegyezik a Litéri-rátolódás és a Hajmáskéri- és Veszprémi-rátolódások által kirajzolt képpel. Utóbbi két rátolódás ferde rámpaszegmensei éppen ott ágaznak ki a Litéri-rátolódásból, ahol a Budaörsi-platform és a ladin medence (Buchensteini F.) érintkezik egymással.

Konklúzió

A Balaton-felvidék és a Veszprémi-fennsík térképi léptékű szerkezeteinek elemzése során arra a megállapításra jutottunk, hogy a kréta rövidüléses szerkezetek lefutására jelentős hatással volt a triász medence-geometria és a kapcsolódó laterális fáciesváltások, preorogén normálvetők. Megfigyeléseinket a következő pontokban összegezzük:

A Litéri-rátolódás DNy-i szegmensének frontális rámpája a karni platform–medence átmenet mentén alakult ki (Balatonhenye és Pécsely között).

A Litéri-rátolódás egy középső anisusi medenceperem (Tagyoni-platform és a Felsőörsi-medence átmenete) mentén szegmentálódik. A két szegmenst egy összetett felépítésű harántszerkezet (oldalsó rámpa) köti össze. Ez az oldalsó rámpa a Felsőörsi-medencében, a Tagyoni-platform DNy-i peremével párhuzamosan alakult ki, ahol feltételezhetően a medencét kontrolláló, triász normálvetők szintetikusak a DDK-i vergenciájú Litéri-rátolódásra.

A Litéri-rátolódás ÉK-i szegmense csapásváltás nélkül metszi a Felsőörsi-medence ÉK-i peremét, ahol a medencét kialakító, triász normálvetők feltehetően antitetikusak a DDK-i vergenciájú Litéri-rátolódásra.

A Kádártai-platform területén idősebb képződmények közt fut a Litéri-rátolódás, mint a Felsőörsi-medence területén. Ez azzal magyarázható, hogy a kréta rátolódás már a triász során deformálódott rétegsorba metszett bele.

A Veszprémi- és Hajmáskéri-rátolódások ott csatlakoznak a Litéri-rátolódáshoz, ahol a felső anisusi – alsó karni medenceüledékek ÉK-i irányban kiékelődnek, és azokat heteropikus platformkarbonátok váltják fel.

További kutatási lehetőségek

Modellünk a térképi mintázat szerkezeti elemzésén alapul, amit részletes földtani szelvényháló szerkesztésével lehetne tovább pontosítani. A rátolódásokra merőleges csapású szelvények alapján kiszerkeszthetők a rátolódások lenyesési felületeinek mélységviszonya és a képződményekben jelentkező vastagságváltozások. Szelvénykiegyenlítés segítségével számszerűsíteni lehet az összenyomás mértékét, pontosabban lehet rekonstruálni a triász medence-geometriát. Ezáltal vizsgálható lehet, hogy hogyan változik az összenyomás mértéke laterálisan, a triász medence-geometria függvényében.

Ajánlás

Jelen publikációjukkal a szerzők Vörös Attila és Galácz András tiszteletének adóznak, akik felhívták a figyelmet a szinszediment tektonika jelentőségére a Dunántúli-középhegység mezozoos fejlődéstörténetében.

Köszönetnyilvánítás

A szerzők köszönettel tartoznak Tari Gábornak, Csillag Gábornak és Sasvári Ágostonnak a kéziraton végzett lektori munkájukért és konstruktív javaslataikért.

Irodalom – References

Bence G. & Peregi Zs. 1988: A Bakony hegység földtani térképe 20 000-es sorozat, Sáska, fedetlen földtani térkép. – *A Magyar Állami Földtani Intézet Kiadványa.*

Böckh J. 1872: A Bakony déli részének földtani viszonyai. I. – *A Magyar Királyi Földtani Intézet Évkönyve* **2/2**, 31–166.

Budai T. 1988: A Balaton-felvidék földtani viszonyai Dörgicse és Balatonudvari között. – *Kézirat* (PhD disszertáció). Országos Földtani Szakkönyvtár, Budapest

Budai T. 1991: Újabb adatok Felsőörs környékének geológiai felépítéséről. – *A Magyar Állami Földtani Intézet Évi Jelentése 1989*, 17–33.

Budai T. & Csillag G. 1998: A Balaton-felvidék középső részének földtana. – *A Bakony természettudományi kutatásának eredményei* **22**, 118 p.

Budai, T. & Haas, J. 1997: Triassic sequence stratigraphy of the Balaton Highland (Hungry). – *Acta Geologica Hungarica* **40/3**, 307–335.

Budai, T. & Vörös, A. 2006: Middle Triassic platform and basin evolution of the Southern Bakony Mountains (Transdanubian Range, Hungary). – *Rivista Italiana di Paleontologica e Stratigrafia* **112/3**, 359–371

Budai, T., Lelkes, Gy. & Piros, O. 1993: Evolution of Middle Triassic shallow marine carbonates in the Balaton Highland (Hungary). – *Acta Geologica Hungarica* **36/1**, 145–165.

Budai T., Csillag G., Dudko A. & Koloszár L. (szerk.) 1999a: *A Balaton-felvidék földtani térképe* [Geological map of the Balaton Highland], 1:50 000. – A Magyar Állami Földtani Intézet Kiadványa.

Budai T., Császár G., Csillag G., Dudko A., Koloszár L. & Majoros Gy. 1999b: A Balaton-felvidék földtana. Magyarázó a Balaton-felvidék földtani térképéhez, 1:50 000. [Geology of the Balaton Highland. Explanation to the Geological Map of the Balaton Highland, 1:50 000]. – *A Magyar Állami Földtani Intézet Alkalmi Kiadványa* **197**, 257 p.

Budai T., Csillag G., Gyalog L., Jocháné Edelényi E., Müller P., Nádor A. & Tóthné Makk Á. 2000: *Dunántúli-középhegység*. – Magyarország mélyföldtani térképe, Pretercier. https://map.mbfsz.gov.hu/mol100/

Budai T., Csillag G., Vörös A. & Dosztály L. 2001: Középső- és késő-triász platform- és medencefáciesek a Veszprémi-fennsíkon. – *Földtani Közlöny* **131/1–2**, 37–70.

Császár G., Haas J. & Jocháné Edelényi E. 1978: *A Dunántúli-középhegység bauxitföldtani térképe M=1:100 000.* – A Magyar Állami Földtani Intézet Kiadványa.

Csicsek L. Á. 2015: A Veszprémi-fennsík Kádárta és Öskü közötti területének szerkezeti elemzése, különös tekintettel a kréta korú rátolódások vizsgálatára. – *Kézirat*, MSc disszertáció, ELTE.

Csicsek L. Á. & Fodor L. 2016: Középső-triász képződmények pikkelyeződése a Bakonyban, Öskü környékén. – *Földtani Közlöny* **146/4**, 355–370.

Csillag G. 1991: Mencshely környékének földtani felépítése. – *Kézirat* (egyetemi doktori értekezés).

De Vicente, G., Vegas, R., Muñoz-Martín, A., Van Wees, J. D., Casas-Sáinz, A., Sopeña, A. & Fernández-Lozano, J. 2009: Oblique strain partitioning and transpression on an inverted rift: The Castilian Branch of the Iberian Chain. – *Tectonophysics* **470/3–4**, 224–242. https://doi.org/10.1016/j.tecto.2008.11.003

Deng, H., Koyi, H. A. & Zhang, J. 2019: Modelling oblique inversion of pre-existing grabens. – *Geological Society, London, Special Publications* **487**, 263–290. https://doi.org/10.1144/sp487.5

Dudko A. 1991: A Balaton-felvidék szerkezeti elemei. Kirándulásvezető, 1991 szeptember 28. – *Kézirat*. Magyar Állami Földtani, Geofizikai és Bányászati Adattár, Budapest, T. 15638.

Dudko A. 1996: A Balaton-felvidék szerkezete (fedetlen földtani térkép alapján) – *Kézirat*. Magyar Állami Földtani, Geofizikai és Bányászati Adattár, Budapest, Tekt. 436.

Erdélyi Fazekas J. 1943: A Balaton-felvidék geológiai és hegyszerkezeti viszonyai a Veszprémi fennsíkon és Vilonya környékén. – *A Magyar Királyi Földtani Intézet Évkönyve* **36/3**, 3–29.

Fodor L. 2010: Mezozoos-kainozoos feszültségmezők és törésrendszerek a Pannon-medence ÉNy-i részén – módszertan és szerkezeti elemzés. – *Kézirat*. MTA doktori disszertáció, Magyar Állami Földtani Intézet.

Fodor, L., Jelen, B., Márton, E., Rifelj, H., Kraljic, M., Kevric, R., Márton, P., Koroknai, B. & Báldi-Beke, M. 2002: Miocene to Quaternary deformation, stratigraphy and paleogeography in Northeastern Slovenia and Southwestern Hungary. – *Geologija* **45**, 103–114.

Fodor, L., Csillag, G., Németh, K., Budai, T., Cserny, T., Brezsnyánszky, K. & Dewey, J. 2005: Tectonic development, morphotectonics and volcanism of the Transdanubian Range and Balaton Highland: a field guide. – In: Fodor, L. & Brezsnyánszky, K. (eds): Proceedings of the workshop on "Application of GPS in plate tectonics, in research on fossil energy resources and in earthquake hazard assessment". *Occasional Papers of the Geological Institute of Hungary* **24**, 68–86.

Fodor, L., Héja, G., Kövér, Sz., Csillag, G. & Csicsek, Á. L. 2017: Cretaceous deformation of the south-eastern Transdanubian Range Unit, and the effect of inherited Triassic–Jurassic normal faults. Pre-conference Excursion Guide, 15th Meeting of the Central European Tectonic Studies Group (CETeG) 5–8th April 2017 Zánka, Lake Balaton. – *Acta Mineralogica-Petrographica*, *Field Guide Series* **32**, 47–76.

Fodor L., Héja G. & Kövér Sz. 2020: A Balaton-felvidék és környezete szerkezeti felépítése. – In: Babinszki E. & Horváth F. (szerk.): *A Balaton kutatása Lóczy Lajos nyomdokán*, 73–89. A Magyarhoni Földtani Társulat Kiadványa.

Fossen, H. 2010: *Structural Geology*. – Cambridge University Press, Cambridge, 463. https://doi.org/10.1017/CBO9780511777806

Fülöp J. 1990: *Magyarország geológiája. Paleozoikum I.* – A Magyar Állami Földtani Intézet Kiadványa, 325 p.

Gyalog L. & Császár G. 1990: *A Bakony hegység fedetlen földtani térképe M=1:50 000*. – A Magyar Állami Földtani Intézet Kiadványa, Budapest.

Haas, J. & Budai, T. 1995: Upper Permian–Triassic facies zones in the Transdanubian Range. – *Rivista Italiana di Paleontologia e Stratigrafia* **101/3**, 249–266.

Haas, J. & Budai, T. 1999: Triassic sequence stratigraphy of the Transdanubian Range, Hungary. – *Geologica Carpathica* **50/6**, 459–475.

Haas J. & Budai T. 2014: A Dunántúli-középhegység felső-triász képződményeinek rétegtani- és fácieskérdései. Régi problémák újragondolása újabb ismeretek alapján. – *Földtani Közlöny* **144/2**, 445–468.

Haas, J., Budai, T., Győri, O. & Kele, S. 2014: Similarities and differences in the dolomitization history of two coeval Middle Triassic carbonate platforms, Balaton Highland, Hungary. – *Facies* **60/2,** 581–602. https://doi.org/10.1007/s10347-014-0397-1

Héja, G., Ortner, H., Fodor, L., Németh, A. & Kövér, Sz. 2022: Modes of oblique inversion: a case study from the Cretaceousfold and thrust belt of the western Transdanubian Range (TR), West Hungary. – *Tectonics*. https://doi.org/10.1029/2021TC006728

Kaiser, M. 1997: A geomorphic evolution of the Transdanubian Mountains, Hungary. – *Zeitschrift für Geomorphologie N. F.* **110**, 1–14.

Kókay J. 1996: A várpalotai neogén medence tektonikai összefoglalója. – *Földtani Közlöny* **126/4**, 417–445.

Laczkó D. 1911: Veszprém városának és tágabb környékének geológiai leírása. – *A Balaton tudományos tanulmányozásának eredményei* **I/I**, *Geológiai Függelék* I.

Linzer, H. G. & Tari, G. 2012: Structural correlation between the Northern Calcareous Alps (Austria) and the Transdanubian Central Range (Hungary). – In: Gao, D. (ed.): Tectonics and sedimentation: Implications for petroleum systems. *AAPG Memoir* **100**, 249–266. https://doi.org/10.1306/13351556M1003533

Livani, M., Scrocca, D., Arecco, P. & Doglioni, C. 2018: Structural and stratigraphic control on salient and recess development along a thrust belt front: The Northern Apennines (Po Plain, Italy). – *Journal of Geophysical Research: Solid Earth* **123**, 4360–4387. https://doi.org/10.1002/2017JB015235

Lóczy L., id. 1913: A Balaton környékének geológiai képződményei és ezeknek vidékek szerinti telepedése. – *A Balaton tudományos tanulmányozásának eredményei* **I/I**, 617 p.

Lóczy L., id. 1920: *A Balaton-tó környékének részletes geológiai térképe. M=1: 75 000*. – A Magyar Királyi Földtani Intézet Kiadványa.

Lóczy L., ifj. 1917: A Balaton-felvidék hegyszekezeti képe Balatonfüred környékén. – *A Magyar Királyi Földtani Intézet Évi Jelentése 1916*, 353–388.

Lóczy L., ifj. 1937: A Balatonfüred és Aszófő között elterülő vidék hegyszerkezeti és hidrogeológiai viszonyai, különös tekintettel a széndioxid gáz és savanyúvíz feltárásra. – *A Magyar Királyi Földtani Intézet Évi Jelentése 1929–32*, 71–125.

Luján, M., Storti, F., Balanyá, J. C., Crespo-Blanc, A. & Rosetti, F. 2003: Role of décollement material with different rheological properties in the structure of the Aljibe thrust imbricate (Flysch Trough, Gibraltar Arc): an analogue modelling approach. – *Journal of Structural Geology* **25**, 867–881. https://doi.org/10.1016/S0191-8141(02)00087-1

Marshak, S. 2004: Salients, recesses, arcs, oroclines, and syntaxes – A review of ideas concerning the formation of map-view curves in fold-thrust belts. – In: McClay, K. R. (ed.): Thrust tectonics and hydrocarbon systems. *AAPG Memoir* **82**, 131–156. https://doi.org/10.1306/M82813C9

Mészáros J. 1983a: Szerkezetföldtani törvényszerűségek a Bakony hegység DNy-i részén és a nyersanyagkutatás. – *Kézirat* (kandidátusi értekezés), Magyar Földtani, Geofizikai és Bányászati Adattár.

Mészáros J. 1983b: A bakonyi vízszintes eltolódások szerkezeti és gazdaságföldtani jelentősége. – *A Magyar Állami Földtani Intézet Évi Jelentése 1981*, 485–502.

Mészáros J. 1985: Módszertani útmutató a vízszintes elmozdulások szerkesztéséhez. Bakony hegység I. neogén oldaleltolódások. – In: *Gyakorlati szerkezetföldtani vizsgálatok*. MTESZ kiadvány, Budapest, 59–88.

Ortner, H., Kositz, A., Willingshofer, E. & Sokoutis, D. 2016: Geometry of growth strata in a transpressive fold belt in field and analogue model: Gosau Group at Muttekopf, Northern Calcareous Alps, Austria. – *Basin Research* **28,** 731–751. https://doi.org/10.1111/bre.12129

Pace, P., Domenica, A. D. & Calamita, F. 2014: Summit low-angle faults in theCentral Apennines of Italy: Younger-on-older thrusts or rotated normal faults? Constraints for defining the tectonic styleof thrust belts. – *Tectonics* **33,** 756–785. doi:10.1002/2013TC003385.

Pedrera, A., Ruiz-Constán, A., García-Senz, J., Azor, A., Marín-Lechado, C. & Ayala, C. 2020: Evolution of the South-Iberian paleomargin: From hyperextension to continental subduction. – *Journal of Structural Geology* **138**, 104122. https://doi.org/10.1016/j.jsg.2020.104122

Peregi Zs. 1979: A Veszprém környéki karni képződmények. – *A Magyar Állami Földtani Intézet Évi Jelentése 1977*, 203–216.

Peregi Zs. & Bence G. 1987: *Magyarázó a Bakony hegység 20 000-es térképsorozatához, Sáska.* – A Magyar Állami Földtani Intézet Kiadványa, 112 p.

Peregi Zs. & Raincsák Gy. 1980: *A Bakony hegység földtani térképe, 20 000-es sorozat, Veszprém.* – A Magyar Állami Földtani Intézet Kiadványa.

Peregi Zs. & Raincsák Gy. 1983: *Magyarázó a Bakony hegység 20 000-es földtani térképsorozatához, Veszprém*. – A Magyar Állami Földtani Intézet Kiadványa, 102 p.

Raincsák Gy. 1980: A Várpalota–Iszkaszentgyörgy közötti triász vonulat szerkezete és földtani felépítése. – *A Magyar Állami Földtani Intézet Évi Jelentése 1978*, 187–196.

Pueyo, E. L., Millán, H. & Pocoví, A. 2002: Rotation velocity of a thrust: a paleomagnetic study in the External Sierras (Southern Pyrenees). – *Sedimentary Geology* **146**, 191–208. https://doi.org/10.1016/S0037-0738(01)00172-5

Saïd, A., Baby, P., Chardon, D. & Ouali, J. 2011: Structure, paleogeographic inheritance, and deformation history of the southern Atlas foreland fold and thrust belt of Tunisia. – *Tectonics* **30**, TC6004. https://doi.org/10.1029/2011TC002862

Sieberer, A.-K., Willingshofer, E., Klotz, T., Ortner, H. & Pomella, H. 2023: Inversion of extensionalbasins parallel and oblique to their boundaries: inferences from analogue models and eldobservations from the Dolomites Indenter, European eastern Southern Alps. – *Solid Earth* **14/7,** 647–681. https://doi.org/10.5194/se-14-647-2023

Suppe, J. & Medwedeff, D. A. 1990: Geometry and kinematics of fault-propagation folding. – *Eclogae Geologicae Helvetiae* **83**, 409–454.

Szentes F. 1949: Adatok Balatonfüred környékének hegyszerkezetéhez. – *Földtani Közlöny* **79/2**, 253–257.

Szentes F. 1961: Magyarország hegységszerkezeti térképe. – *A Magyar Állami Földtani Intézet Évi Jelentése 1957–1958*, 7–12.

Tari, G. 1991: Multiple Miocene block rotation in the Bakony Mountains, Transdanubian Central Range, Hungary. – *Tectonophysics* **199**, 93–103. https://doi.org/10.1016/0040-1951(91)90120-H

Tari, G. 1994: Alpine Tectonics of the Pannonian Basin. – *PhD Dissertation*, Rice University, Houston, 501 p.

Tari G. & Horváth F. 2010: A Dunántúli-középhegység helyzete és eoalpi fejlődéstörténete a Keleti-Alpok takarós rendszerébe: egy másfél évtizedes tektonikai modell időszerűsége. – *Földtani Közlöny* **140/4**, 463–505.

Teleki G. 1939: Adatok Litér és környékének sztratigráfiájához és tektonikájához. – *A Magyar Királyi Földtani Intézet Évkönyve* **32/1**, 3–60.

Teleki G. 1941a: Adatok Felsőörs és környékének földtani viszonyaihoz. – *A Magyar Királyi Földtani Intézet Évi Jelentése 1936–38/I*, 295–301.

Teleki G. 1941b: Adatok a dunántúli paleozoikum tektonikájához. – *Földtani Közlöny* **71**, 205–212.

Twiss, R. J. & Moores, E. M. 2007: *Structural Geology*. – Second edition. W. H. Freeman and Company, New York, 736 p.

Ustaszewski, K. & Schmid, S. M. 2006: Control of preexisting faults on geometry and kinematics in the northernmost part of the Jura fold-and-thrust belt. – *Tectonics* **25.** https://doi.org/10.1029/2005TC001915

van Kooten, W. S. M. T., Ortner, H., Willingshofer, E., Sokoutis, D., Gruber, A. & Sausgruber, T. 2023: Oblique basin inversion leads to fold localisation at bounding faults: Analogue modelling of the Achental structure, Northern Calcareous Alps, Austria. – *Preprint*. *Egusphere*. https://doi.org/10.5194/egusphere-2022-1529

Vidal-Royo, O., Koyi, H. A. & Munoz, J. A. 2009: Formation of orogen-perpendicular thrusts due to mechanical constrasts in the basal decollement in the Central External Sierras (Southern Pyrenees, Spain). – *Journal of Structural Geology* **31**, 523–539. https://doi.org/10.1016/j.jsg.2009.03.011

Vörös A., Budai T., Lelkes Gy., Monostori M. & Pálfy J. 1997: A Balaton-felvidéki középső-triász medencefejlődés rekonstrukciója üledékföldtani és paleoökológiai vizsgálatok alapján [Middle Triassic basin evolution of the Balaton Highland (Hungary) based on sedimentological and paleoecological studies]. – *Földtani Közlöny* **127/1–2**, 145–177.

Woodward, N. B. 1987. Stratigraphic separation diagrams and thrust belt structural analysis. – In: 38th Field Conference, Wyoming Geological Association Guidebook, Jackson, H. (ed). Wyoming Geological Association Casper, 69–77. Casper.

Yagupsky, D. L., Cristallini, E. O., Fantín, J., Valcarce, G. Z., Bottesi, G. & Varadé, R. 2008: Oblique half-graben inversion of the Mesozoic Neuquén rift in the Malargüe fold and thrust belt, Mendoza, Argentina: New insights from analogue models. – *Journal of Structural Geology* **30/7**, 839–853. https://doi.org/10.1016/j.jsg.2008.03.007

Kézirat beérkezett: 2023. 12. 08.

Magyarhoni Földtani Társulat
Földtani Közlöny
Hungarian Geological Society
154/2, 257–260., Budapest, 2024

Galácz András és Vörös Attila tisztelete a rendszertanban

KOVÁCS Zoltán

H-1147 Budapest, Kerékgyártó utca 27/A
E-mail: kzkovacszoltan@gmail.com
ORCID: 0000-0001-7276-7321

Tribute to András Galácz and Attila Vörös in taxonomy

Abstract

In this short paper I list the species names that were named in honour of András GALÁCZ and Attila VÖRÖS, Hungarian geologists and paleontologists by their colleagues, friends and students. In addition to the sources of taxa, a few type specimens are re-illustrated.

I thank Alfréd DULAI, Vasily MITTA, Attila ŐSI, János SZABÓ and István SZENTE for their professional help.

Összefoglalás

Jelen közlemény célja, hogy közreadja azoknak a fajneveknek a listáját, melyekkel őslénytani tanulmányok szerzői – kollégák, barátok, tanítványok, tisztelők – elismerésüket fejezték ki a két idén jubiláló geológus és paleontológus, GALÁCZ András és VÖRÖS Attila tudományos munkássága iránt. A taxonok forrásai mellett néhány típuspéldány is újraközlésre kerül.

Az adatgyűjtéshez és az illusztrációkhoz nyújtott segítségért a következő kutatókat illeti köszönet: DULAI Alfréd, Vaszilij MITTA, ŐSI Attila, SZABÓ János, SZENTE István.

Galácz Andrásról elnevezett fosszilis fajok

Eucycloidea galaczi SZABÓ, 1983
bajoci (középső jura) csiga (Magyarország) (SZABÓ 1983)

Limea (*Pseudolimea*) *galaczi* SZENTE, 1995 (*I. tábla, 2. ábra*)
bath (középső jura) kagyló (Magyarország) (SZENTE 1995)

Metophioceras galaczi GÉCZY & MEISTER, 2007
sinemuri (kora jura) ammonitesz (Magyarország) (GÉCZY & MEISTER 2007)

Villania galaczi GÉCZY, 1998
pliensbachi (kora jura) ammonitesz (Magyarország) (GÉCZY 1998)

Geczyceras galaczi KOVÁCS, 2009 (*I. tábla, 5–6. ábra*)
toarci (kora jura) ammonitesz (Magyarország) (KOVÁCS 2009)

Cadomites galaczi PAVIA, 2002
késő bajoci – kora bath (középső jura) ammonitesz (Olaszország) (PAVIA 2002)

Sokurella galaczi MITTA, 2004 (*I. tábla, 3–4. ábra*)
bath (középső jura) ammonitesz (Oroszország) (MITTA 2004)

Dichotomosella galaczi VÖRÖS, 1995
bath (középső jura) brachiopoda (Magyarország) (VÖRÖS 1995)

Bakonydraco galaczi ŐSI, WEISHAMPEL & JIANU, 2005
santoni (késő kréta) azhdarchid repülő hüllő (Magyarország) (ŐSI et al. 2005)

Megjegyzés: GÉCZY Barnabás és Christian MEISTER bakonyi sinemuri–pliensbachi ammoniteszmonográfiájában (GÉCZY & MEISTER 2007) a 9–10. ábrán szerepel egy „*Catriceras galaczi*" fajnév (Horizon à Catriceras galaczi) – ez

azonban elírás. A név az ugyanebben a tanulmányban bevezetett, kora pliensbachi *Catriceras pannonicum* nov. sp. MEISTER & GÉCZY faj- és horizontnév helyett áll tévesen (lásd GÉCZY & MEISTER 2007: 195, 214, figs 27–29; MEISTER 2010).

Vörös Attiláról elnevezett fosszilis fajok

Tetracapnuchosphaera ? *voeroesi* KOZUR, MOIX & OZSVÁRT, 2009
karni (késő triász) radiolaria (Törökország) (KOZUR et al. 2009)

Pyrgotrochus vorosi SZABÓ, CONTI, MONARI & WENDT, 2019 (*I. tábla, 1. ábra*)
oxfordi (késő jura) csiga (Olaszország) (SZABÓ et al. 2019)

Alebusirhynchia vorosi BAEZA-CARRATALÁ, DULAI & SANDOVAL, 2018 (*I. tábla, 7. ábra*)
sinemuri (kora jura) brachiopoda (Spanyolország) (BAEZA-CARRATALÁ et al. 2018)

Mochlodon vorosi ŐSI, PRONDVAI, BUTLER & WEISHAMPEL, 2012 (*I. tábla, 8. ábra*)
santoni (késő kréta) rhabdodontida dinoszaurusz (Magyarország) (ŐSI et al. 2012)

Irodalom – References

BAEZA-CARRATALÁ, J. F., DULAI, A. & SANDOVAL, J. 2018: First evidence of brachiopods diversification after the end-Triassic extinction from the pre-Pliensbachian Internal Subbetic platform (Sinemurian, South-Iberian Paleomargin). – *Geobios* **51/5,** 367–384. https://doi.org/10.1016/j.geobios.2018.08.010

GÉCZY, B. 1998: Lower Pliensbachian ammonites of Villány (Hungary). – *Hantkeniana* **2,** 5–47.

GÉCZY, B. & MEISTER, C. 2007: Les ammonites du Sinémurien et du Pliensbachien inférieur de la montagne du Bakony (Hongrie). – *Revue de Paléobiologie* **26/1,** 137–305.

KORSÓS Z. & BARINA Z. 2018: A Magyar Természettudományi Múzeum munkatársai által 2018-ban leírt új fajok és taxonómiai revíziók (válogatás). – *Annales historico-naturales Musei nationalis hungarici* **110,** 165–188.

KOVÁCS, Z. 2009: Toarcian–Aalenian Hammatoceratinae (Ammonitina) from the Gerecse Mts (NE Transdanubian Range, Hungary). – *Fragmenta Palaeontologica Hungarica* **27,** 1–72.

KOZUR, H. W., MOIX, P. & OZSVÁRT, P. 2009: New Spumellaria (Radiolaria) from the Early Tuvalian Spongotortilispinus moixi Zone of Southeastern Turkey, with some remarks on the age of this fauna. – *Jahrbuch der Geologischen Bundesanstalt* **149/1,** 25–59.

MEISTER, C. 2010: Worldwide ammonite correlation at the Pliensbachian Stage and Substage Boundaries (Lower Jurassic). – *Stratigraphy* **7/1,** 83–101.

MITTA, V. V. 2004: *Sokurella galaczi* gen. et sp. nov. and other Middle Jurassic Parkinsoniidae (Ammonoidea) from the Lower Reaches of the Volga River. – *Paleontological Journal* **38/3,** 30–35, 257–264.

ŐSI A. 2012: *Dinoszauruszok Magyarországon*. – GeoLitera, Szeged, 168 p.

ŐSI, A., WEISHAMPEL, D. B. & JIANU, C. M. 2005: First evidence of azhdarchid pterosaurs from the Late Cretaceous of Hungary. – *Acta Palaeontologica Polonica* **50/4,** 777–787.

ŐSI, A., PRONDVAI, E., BUTLER, R. & WEISHAMPEL, D. B. 2012: Phylogeny, histology and inferred body size evolution in a new rhabdodontid dinosaur from the Late Cretaceous of Hungary. – *PLoS ONE* **7/9,** e44318. https://doi.org/10.1371/journal.pone.0044318

PAVIA, G. 2002: *Cadomites galaczi* n. sp. – In: PAVIA, G. & CRESTA, S. (Eds): Revision of Jurassic ammonites of the Gemmellaro Collections. *Quaderni del Museo Geologico „G. G. Gemmellaro"* **6,** 240–242.

SZABÓ, J. 1983: Lower and Middle Jurassic Gastropods from the Bakony Mountains (Hungary) Part V. Supplement to Archaeogastropoda; Caenogastropoda. – *Annales historico-naturales Musei nationalis hungarici* **75,** 27–46.

SZABÓ, J., CONTI, M. A., MONARI, S. & WENDT, J. 2019: Gastropods from the Jurassic neptunian sills of Rocca Busambra (north-western Sicily, Italy): Patellogastropoda, Pleurotomarioidea, Scissurelloidea, Fissurelloidea and Eucycloidea. – *Papers in Palaeontology* **7/1,** 27–110. https://doi.org/10.1002/spp2.1258

SZENTE, I. 1995: Bivalvia from the Bathonian (Middle Jurassic) of the Mecsek Mts, Hungary. – *Annales Universitatis Scientiarum Budapestinensis de Rolando Eötvös nominatae, Sectio Geologica* **30,** 93–109, 221–224.

VÖRÖS, A. 1995: Bathonian brachiopods of the Mecsek Mts (Hungary). – *Annales Universitatis Scientiarum Budapestinensis de Rolando Eötvös nominatae, Sectio Geologica* **30,** 181–208.

Kézirat beküldve: 2024. 05. 22.

I. tábla – Plate I

Fig. 1. *Pyrgotrochus vorosi* Szabó, Conti, Monari & Wendt, 2019. Holotype/holotípus, length/hossz: 24,2 mm (2×). Szabó et al. (2019, fig. 9/H)
Fig. 2. *Limea (Pseudolimea) galaczi* Szente, 1995. Holotype/holotípus, length/hossz: 20,5 mm (2×). Szente (1995, pl. 3, fig. 8).
Figs 3–4. *Sokurella galaczi* Mitta, 2004. Holotype/holotípus, D 72 mm (1×). Mitta (2004, pl. 3, fig. 1)
Figs 5–6. *Geczyceras galaczi* Kovács, 2009. Holotype/holotípus, D 194 mm (0,5×). Kovács (2009, fig. 8)
Fig. 7. *Alebusirhynchia vorosi* Baeza-Carratalá, Dulai & Sandoval, 2018. Length of specimens/példányok hossza: 7–9 mm (1,6×). Korsós & Barina (2018, fig. 20)
Fig. 8. *Mochlodon vorosi* Ősi, Prondvai, Butler & Weishampel, 2012. Holotype/holotípus. Ősi (2012, fig. 61)

I. tábla – Plate I

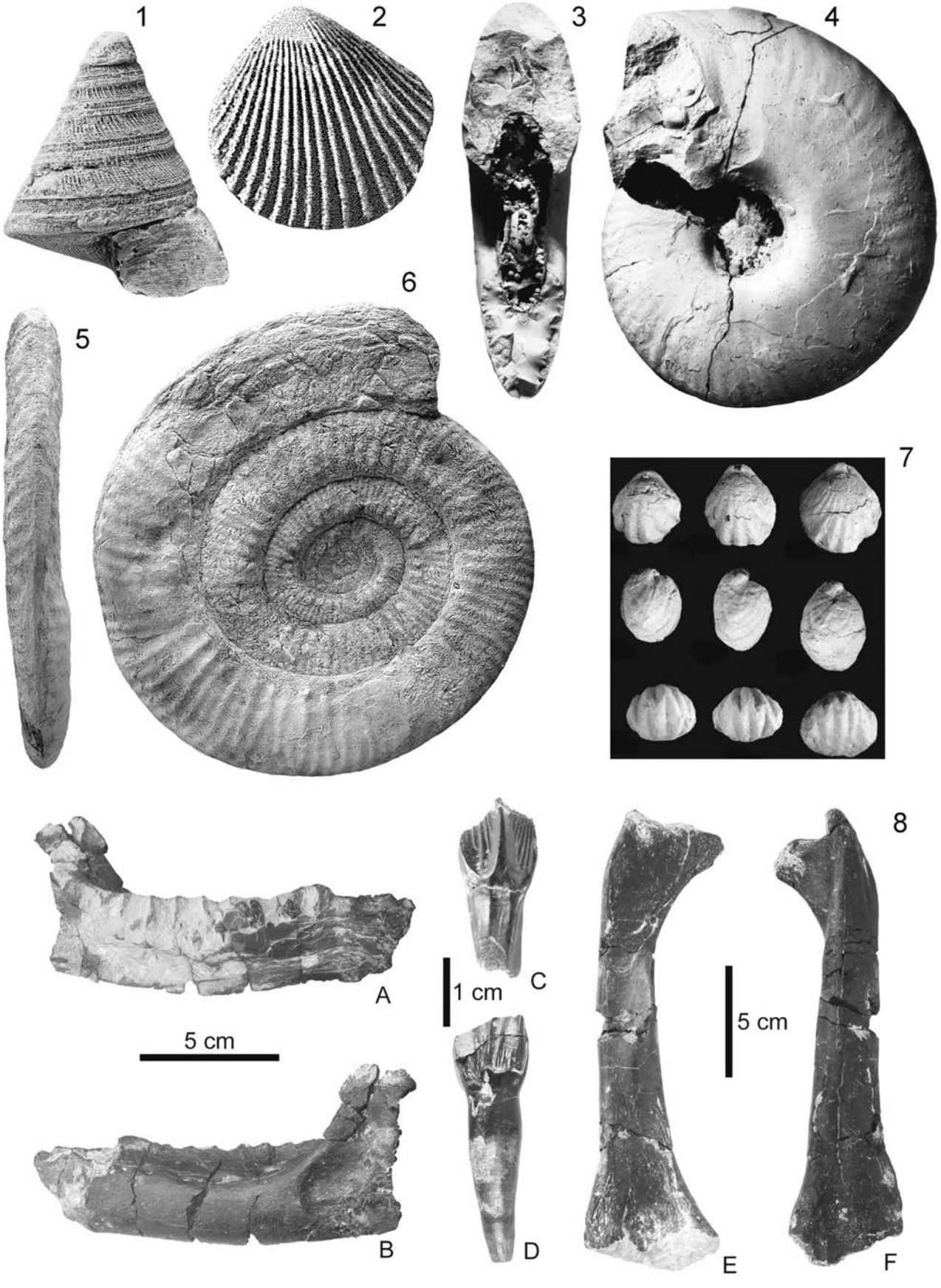

Magyarhoni Földtani Társulat
Földtani Közlöny
Hungarian Geological Society
154/2, 261–262., Budapest, 2024

Hírek, ismertetések

Összeállította: PIROS Olga

Események, rendezvények

Beszámoló a 27. Magyar Őslénytani Vándorgyűlésről

A Magyarhoni Földtani Társulat Őslénytani és Rétegtani Szakosztályának legfontosabb éves rendezvénye a Magyar Őslénytani Vándorgyűlés, melyet idén 2024. május 31. és június 1. között, immár 27. alkalommal rendeztünk meg. A terepbejárással egybekötött konferenciának ezúttal az Eger határában álló Mátyus Udvarház adott otthont.

Az idei találkozónkra 60 fő regisztrált, a bejelentett és megtartott előadások száma 29, a bemutatott poszterek száma négy volt. A jelenlévők között köszönthettük az idén 80. születésnapjukat ünneplő GALÁCZ András és VÖRÖS Attila professzor urakat, sokunk kedves kollégáit, sőt mestereit.

Számos korábbi alkalomhoz hasonlóan most is volt vendégelőadónk Peter ALSEN, a Dániai és Grönlandi Geológiai Szolgálat munkatársa személyében. Vendégünk *The limestones in the Cretaceous of Greenland – and their associated fossils* címmel tartott előadást, és egyúttal a grönlandi terepi tapasztalatairól is beszámolt.

A csütörtöki és a szombat délelőtti szekciókban elhangzott előadások – a szokásoknak megfelelően – a legkülönbözőbb korok és ősmaradványcsoportok kapcsán született legújabb tudományos eredményekről számoltak be. Az olykor nagyon speciális témákkal foglalkozó előadások között volt két általános érdeklődésre is számot tartó, a szokásos 15 percnél hosszabb prezentáció is: MAGYAR Imre *Százéves a Paratethys, Európa neogén beltengere* címmel, míg GALÁCZ András *Mi (vagy ki) a Homo sapiens típusa?* címmel tartott előadást.

A program feszített volt, a jó hangulatú, demokratikus légkörben egymást követték az előadások. Az előadók között professzorok és hallgatók egyaránt voltak.

A szakosztály vezetősége az idén is díjazta a fiatal kollégák által bemutatott legjobb előadásokat és posztereket. Az immár hagyományos versenyben az alábbi kollégák kapták a Földtani Társulat és a Magyar Dinoszaurusz Alapítvány által felajánlott könyvdíjakat:

GŐGÖS Gergő (hallgatói kategória), SEGESDI Martin (PhD kategória), KOCZÓ Levente (poszter kategória).

A vándorgyűlés második napja ez alkalommal is egy terepbejárás volt, melynek során a szervezők jelentős mértékben támaszkodtak DÁVID Árpád kollégánk helyismeretére. A bérelt autóbusszal megtett út megállói a következők voltak: Nagyvisnyó, Lukácshegy (alsó miocén); Nagyvisnyó, I. sz. vasúti bevágás (felső karbon); Nagyvisnyó, Mihalovits-kőfejtő (felső perm); Eger-Felnémet, mészkőbánya (középső triász). Az utóbbi helyen szakmai vita alakult ki, mert az újonnan előkerült, nagy méretű megalodontid kagylók alapján a kőzet korát többen késő triásznak vélték. Az utolsónak tervezett megállót – az egri volt Wind-féle téglagyár agyaggödrének meglátogatását – elmosta a közelgő zivatar. A kirándulás résztvevői a heves esőt a Szépasszony-völgyében, SIKE Tamás pincészetében vészelték át a szakavatott borász és kitűnő borai társaságában; senki nem ázott el.

Idén, a társulat valamennyi szakosztályának vezetőségéhez hasonlóan, az Őslénytani és Földtani Szakosztály vezetősége is megújult. A jelenlévők titkos szavazás útján a következő három évre megválasztották elnöknek PIROS Olgát, titkárnak MOHR Emőkét, vezetőségi tagoknak FŐZY Istvánt, BOSNAKOFF Mariannt, BOTFALVAI Gábort, ŐSI Attilát és SZIVES Ottiliát, póttagnak pedig KARÁDI-KAPILLER Viktort és GALÁCZ Andrást.

A rendezvény programját, az előadások kivonatát és a kirándulásvezetőt tartalmazó társulati kiadványunk az idén is megjelent, miként az elmúlt 26 évben minden alkalommal. Az ISBN számmal ellátott, 2024-es „sárga füzet” 56 oldal terjedelmű.

FŐZY István

Geoprogram kisiskolásoknak
(Balatonfüred, 2024. június 19.)

A Magyarhoni Földtani Társulat Észak- és Közép-dunántúli Területi Szervezete balatonfüredi általános iskolásoknak nyújtott ismeretterjesztő programot a város külterületén található Szákahegyi Geológiai Bemutatóhelyen. Az egykori kőfejtőben feltárul a középső triász Füredi Mészkő Formáció körülbelül 237 millió éve, sekélytengeri lagúnakörnyezetben lerakódott, látványos rétegsora. A BUDAI Tamás exelnök által szerkesztett ismertető táblákkal és a térség talán legszebb térdráncképződményével rendelkező bemutató ösvényen a Radnóti Miklós Általános Iskola négy osztálya – mintegy 120 harmadikos és negyedikes tanuló – interaktív geosétán és foglalkozáson ismerkedett testközelből a földtani alapfogalmakkal.

A program napján 36 fokos hőség tombolt, ami nem ideális egy ilyen rendezvényhez, ám ezzel a helyzettel is megbirkóztunk. Bár szakmai körökben nem kedvelik a feltárásban terpeszkedő bokrokat – mi ez esetben nagyon megbecsültük őket. A kőfejtő rövid bejárását követően a „delelő bokrok” tenyérnyi árnyékába leültetett gyereksereg meghallgatott egy kifejezetten erre a térségre adaptált „geomesét”, amely egy kis gyík és Kamon, a mesélő kő barátságáról szól. A kisdiákoknak mesébe ágyazott, de valódi helyszíneken (Lóczy-barlang és környéke) játszódó, az ő szintjükön megfogalmazott földtani folyamatokat (pl. diogenezis, karsztosodás, borsókő képződése stb.) kellett felismerniük. Ezt követően kis csoportokban a geosétához és a meséhez kapcsolódó geototót töltöttek ki a gyerekek. Mind a szervezőknek, mind a tanároknak és a diákoknak közös sikerélmény volt, hogy szinte az összes csoport maximális pontszámot ért el!

(Fotó: CSERNY Tibor)

A rendezvény kiváló lehetőséget teremtett a szakmai és földtani értékekre nyitott jövő generáció nevelésére, amit társulatunk a színvonalas tudományos kutatómunka mellett szintén küldetésének tekint.

CSERNY Tibor, SÁRDY Julianna

Könyvismertetés

Vörös Attila: The Middle Jurassic brachiopods of the Transdanubian Range, Hungary. – *Geologica Hungarica, series Palaeontologica* 61, 1–116.

VÖRÖS Attila akadémikus a hazai őslénytan kiemelkedő személyisége és a mezozoos (elsősorban jura) brachiopodák nemzetközileg elismert kutatója. Munkája során már eddig is számos monográfiával örvendeztette meg az őslénytan iránt érdeklődőket, részben a triász ammoniteszek, részben a jura brachiopodák feldolgozásának eredményeképpen. Ez utóbbi területen a hazai jura fauna általános áttekintése (1997), a pliensbachi fauna részletes feldolgozása (2009), majd a Pygopidae-monográfia (2022) után most a Dunántúli-középhegység középső jura faunája került sorra. Bár ez az anyag mind példányszámban, mind fajszámban jelentősen elmarad a liász faunáktól (1282 példány, 16 nemzetség, 28 faj), a maga nemében így is kiemelkedő, hiszen ez a Mediterrán térség leggazdagabb ismert középső jura együttese. A vizsgált anyag nagy része a Földtani Intézet rendszeres és részletes földtani térképezései során került elő a Bakonyban az 1960-as és 1970-es években. Az ezekhez kapcsolódó árkolások és részletes, réteg szerinti gyűjtések nagy mennyiségű brachiopoda-példányt tártak fel. NOSZKY Jenő, VIGH Gusztáv és a szerző kiegészítő gyűjtései is jelentősen hozzájárultak a vizsgált fauna megismeréséhez.

Korábban csak előzetes faunalisták és dokumentációk jelentek meg a hazai középső jura brachiopoda-faunáról (VÖRÖS 1993, 1997, 2001; VÖRÖS & DULAI 2007), a részletes rendszertani feldolgozást a most publikált *Geologica Hungarica*-kötet tartalmazza. A monográfia bevezető része a Dunántúli-középhegység középső jura rétegtanát, majd a brachiopodákat tartalmazó szelvényeket és a gyűjtési pontokat mutatja be az egyes fajok előfordulási adataival. A fauna általános ismertetését, idő- és térbeli változását, a vázlatos őskörnyezeti és részletes ősállatföldrajzi elemzéseket számos informatív ábra illusztrálja. A monográfia legnagyobb terjedelmű része a brachiopoda-fauna részletes rendszertani leírását adja, a bemutatott fajok közül egy, a nemzetségek közül négy taxon új a tudományra nézve. A leírásokat 57 ábra kíséri, amelyek főleg a brachiopodák belső morfológiáját ábrázolják a sorozatcsiszolatos vizsgálatok alapján. A kötet végén öt fotótábla mutatja be a leírt brachiopoda-fajok külső morfológiáját.

Az angol nyelvű monográfia szakmailag magas színvonalú, nagyon sok lényeges új eredményt tartalmaz, így a kötet szakmai lektoraként jó szívvel ajánlom az őslénytan és a jura időszak iránt érdeklődő szakemberek, egyetemi hallgatók és ősmaradványgyűjtők számára.

A kötet kereskedelmi forgalomba nem kerül. Aki szeretne hozzájutni, forduljon PALOTÁS Klárához (klara.palotas@sztfh.hu).

DULAI Alfréd
Magyar Természettudományi Múzeum

Magyarhoni Földtani Társulat
Földtani Közlöny 154/2 (2024) 111–262
Hungarian Geological Society

Tartalom — Contents

MINDSZENTY Andrea: Rendhagyó köszöntő GALÁCZ András és VÖRÖS Attila barátaim 80. születésnapjára. 113

BUDAI, Tamás, HAAS, János, KARÁDI, Viktor, VADLER, E., TÓTH, Emőke: Reconstruction of Middle Triassic platform drowning and basin evolution of the Balaton Highland: new micropaleontological constraints. – *A Balaton-felvidéki középső triász platformok megfulladásának és medencefejlődésének rekonstrukciója új mikropaleontológiai adatok alapján.* 115

GARCÍA JORAL, Fernando, BAEZA-CARRATALÁ, José Francisco, COMAS-RENGIFO, María José, GOY, Antonio: Disparity, diversity and body size changes of the Toarcian spiriferinides (Brachiopoda, Lower Jurassic) in the westernmost Tethys. – *Diszparitás, diverzitás és méretváltozás a toarci spiriferidáknál (alsó jura, Brachiopoda) a Tethys legnyugatabbi területein.* 133

MÜLLER, Tamás, PÁLFY, József: The Toarcian (Early Jurassic) Jenkyns Event in Hungary: stratigraphic, geochemical, and fossil records and their global implications. – *A toarci (kora jura) Jenkyns esemény magyarországi rétegtani, geokémiai és őslénytani kutatása és globális vonatkozásai.* 149

CRESTA, Stefano, AGOSTINELLI, Giorgio: Early Jurassic thecideids (Thecideidae, Brachiopoda) and associated fossils from Tivoli near Rome, Italy. – *Kora jura Thecideida brachiopodák és velük együtt előforduló egyéb ősmaradványok a Róma (Olaszország) melletti Tivoliból.* 169

CHANDLER, Robert: Bajocian stephanoceratid ammonites and their stratigraphy from Dorset, UK with reference to the work of András Galácz. – *Bajoci stephanoceratid ammoniteszek és rétegtanuk Dorsetből (Egyesült Királyság) hivatkozással Galácz András munkásságára.* 177

SZENTE, István: Two bivalve species, hitherto unrecorded, from the Upper Jurassic of the Transdanubian Range (Hungary). – *Két, a Dunántúli-középhegység felső jurájából eddig nem dokumentált kagylófaj.* 195

GŐGÖS, Gergő, SZÍVES, Ottilia: Barremian Leptoceratoididae (Ammonoidea) from the Transdanubian Range (Hungary): taxonomic interpretation and new insights to their paleoecology. – *Barrémi korú Leptoceratoididae ammoniteszek a Dunántúli-középhegységből: taxonómiai revízió és új paleoökológiai felvetések.* 199

HÉJA Gábor, BUDAI Tamás, CSICSEK Ádám: Triász medencegeometria és fáciesváltozások hatása a Balaton-felvidék és a Veszprémifennsík eoalpi szerkezetalakulására. – *The effect of Triassic basin geometry and lateral facies changes on the Eoalpine deformation of the Balaton Highland and the Veszprém Plateau (Transdanubian Range, Hungary).* 239

KOVÁCS Zoltán: Galácz András és Vörös Attila tisztelete a rendszertanban. 257

Hírek, ismertetések (összeállította: PIROS Olga) 261

Földtani Közlöny 154/2: Tisztelgés a 80 éves Galácz András és Vörös Attila munkássága előtt.